



ความคงตัวทางกายภาพและฤทธิ์ต้านจุลชีพต่อ Streptococcus mutans ของนาโนอิมัลชันที่  
ประกอบด้วยน้ำมันหอมระ夷

โดย  
นางสาวศิริกาญจน์ เพ็งอัน

วิทยานิพนธ์นี้เป็นส่วนหนึ่งของการศึกษาตามหลักสูตรปริญญาวิทยาศาสตรมหาบัณฑิต  
สาขาวิชาการทางเภสัชศาสตร์  
บัณฑิตวิทยาลัย มหาวิทยาลัยศิลปากร  
ปีการศึกษา 2552  
ลิขสิทธิ์ของบัณฑิตวิทยาลัย มหาวิทยาลัยศิลปากร

ความคงตัวทางกายภาพและฤทธิ์ต้านจุลชีพต่อ Streptococcus mutans ของนาโนอิมัลชันที่  
ประกอบด้วยน้ำมันหอมระเหย

โดย  
นางสาวศิริกาญจน์ เพ็งอัน

วิทยานิพนธ์นี้เป็นส่วนหนึ่งของการศึกษาตามหลักสูตรปริญญาวิทยาศาสตรมหาบัณฑิต  
สาขาวิชาวิทยาการทางเภสัชศาสตร์  
บัณฑิตวิทยาลัย มหาวิทยาลัยศิลปากร  
ปีการศึกษา 2552  
ลิขสิทธิ์ของบัณฑิตวิทยาลัย มหาวิทยาลัยศิลปากร

**PHYSICAL STABILITY AND ANTIMICROBIAL ACTIVITY AGAINST  
STREPTOCOCCUS MUTANS OF NANOEMULSIONS CONTAINING VOLATILE OILS**

**By**

**Sirikarn Pengon**

**A Thesis Submitted in Partial Fulfillment of the Requirements for the Degree**  
**MASTER OF SCIENCE**  
**Program of Pharmaceutical Science**  
**Graduate School**  
**SILPAKORN UNIVERSITY**  
**2009**

บัณฑิตวิทยาลัย มหาวิทยาลัยศิลปากร อนุมัติให้วิทยานิพนธ์เรื่อง “ความคงตัวทางกายภาพ และฤทธิ์ต้านจุลชีพต่อ *Streptococcus mutans* ของนาโนอิมัลชันที่ประกอบด้วยน้ำมันหอมระ夷”  
เสนอโดย นางสาวศิริกาญจน์ เพ็งอัน เป็นส่วนหนึ่งของการศึกษาตามหลักสูตรปริญญาวิทยาศาสตร์  
มหาบัณฑิต สาขาวิชาการทางเภสัชศาสตร์

.....  
(รองศาสตราจารย์ ดร.ศิริชัย ชินะตั้งกุร)

คณบดีบัณฑิตวิทยาลัย  
วันที่ .....เดือน ..... พ.ศ .....

อาจารย์ที่ปรึกษาวิทยานิพนธ์

1. เภสัชกร รองศาสตราจารย์ ดร.สันทยา ลิ่มมัทวากิริ๊ติ
2. เภสัชกรหญิง รองศาสตราจารย์ ดร.ชุตima ลิ่มมัทวากิริ๊ติ

..... ประธานกรรมการ

(เภสัชกรหญิง ผู้ช่วยศาสตราจารย์ ดร.จุรีย์ เจริญธีรบูรณ์)

...../...../.....

..... กรรมการ

(เภสัชกร รองศาสตราจารย์ ดร.ศรีสกุล สังข์ทองเงิน)

...../...../.....

..... กรรมการ

(เภสัชกร รองศาสตราจารย์ ดร.พรศักดิ์ ศรีอมรศักดิ์)

...../...../.....

..... กรรมการ

(เภสัชกร รองศาสตราจารย์ ดร.สันทยา ลิ่มมัทวากิริ๊ติ)

...../...../.....

..... กรรมการ

(เภสัชกรหญิง รองศาสตราจารย์ ดร.ชุตima ลิ่มมัทวากิริ๊ติ)

...../...../.....

51361208 : สาขาวิชาวิทยาการทางเภสัชศาสตร์

คำสำคัญ : นาโนอิมัลชัน/ น้ำมันหอมระ夷/ การต้านเชื้อจุลทรรศ์

ศิริกาญจน์ เพ็งอัน : ความคงตัวทางกายภาพและฤทธิ์ต้านจุลชีพต่อ *Streptococcus mutans* ของนาโนอิมัลชันที่ประกอบด้วยน้ำมันหอมระ夷. อาจารย์ที่ปรึกษาวิทยานิพนธ์ : ภก.รศ.ดร. sanatha ลิ่มมاثาวาริรัติ และ ภญ.รศ.ดร.ชุดามา ลิ่มมاثาวาริรัติ. 134 หน้า.

สารสักดิจัสมูน ไฟรบานชนิด โดยเฉพาะน้ำมันหอมระ夷จากพืช แสดงความสามารถในการต้านเชื้อจุลทรรศ์ที่น่าสนใจ อย่างไรก็ตามน้ำมันหอมระ夷นี้มีจำกัดในการใช้เนื่องจากไม่เข้ากับน้ำและเข้ากันไม่ได้ กับของเหลวในร่างกาย การศึกษาครั้งนี้มีวัตถุประสงค์เพื่อแก้ปัญหาโดยการเปลี่ยนแปลงน้ำมันหอมระ夷ให้อยู่ในรูป nanoemulsion น้ำมันในน้ำที่มีความเข้ากันได้ดีกับน้ำ โดยได้ทำการศึกษาโดยใช้น้ำมันหอมระ夷 ได้แก่ น้ำมันกานพลู น้ำมันสเปียร์มินต์ น้ำมันเปปเปอร์มินต์ น้ำมันอโปทามินต์ น้ำมันยูคาลิปตัส และน้ำมันทีทรี และศึกษาปัจจัยที่มีผลต่อคุณสมบัติทางกายภาพของนาโนอิมัลชัน ได้แก่ ชนิดและปริมาณของน้ำมันหอมระ夷และสารลดแรงตึงผิว (polyoxyethylene sorbitan monostearate (POS), PEG-40 hydrogenated castor oil (PGO), sodium lauryl sulphate (SLS) และ poloxamer (PLX)) การเตรียมนาโนอิมัลชันทำได้โดยการปั่นผสมส่วนของน้ำมันกับส่วนของน้ำแล้วนำไปประเมินผลด้วยการวัดขนาดอนุภาค ประจุบนพื้นผิวของอนุภาคหยดน้ำมัน และคุณสมบัติความคงตัวทางกายภาพอื่น หลังจากนั้นนำสูตรที่เหมาะสมไปประเมินความสามารถในการต้านเชื้อจุลทรรศ์ จากการศึกษาแสดงให้เห็นว่า ชนิดและปริมาณของสารลดแรงตึงผิวและน้ำมัน มีผลต่อความคงตัวทางกายภาพของอิมัลชัน สูตรที่มีส่วนผสมของ PGO ได้อิมัลชันที่มีความคงตัวทางกายภาพดี และมีขนาดหยดน้ำมันอยู่ในช่วงนาโนเมตร ขนาดอนุภาคลดลงจาก 2.163 ไมโครเมตรเป็น 114 นาโนเมตร เมื่อเพิ่มปริมาณของ PGO จาก 1 เป็นร้อยละ 10 โดยน้ำหนัก สูตรตำรับที่มีส่วนผสมของน้ำมันหอมระ夷ได้แก่ น้ำมันสเปียร์มินต์ น้ำมันเปปเปอร์มินต์ น้ำมันอโปทามินต์ น้ำมันยูคาลิปตัส และ น้ำมันทีทรีมีความคงตัวทางกายภาพดี และมีขนาดหยดน้ำมันอยู่ในช่วงนาโนเมตรเมื่อเทียบร่วมกับน้ำมันถั่วเหลืองในสัดส่วน 1:1 ส่วนสูตรตำรับที่มีส่วนผสมของน้ำมันกานพลูแสดงการแยกชั้น (cracking) ของอิมัลชันหลังการเก็บ ผลการทดลองแสดงให้เห็นว่าองค์ประกอบทางเคมีและความมีข้อของน้ำมันหอมระ夷มีผลต่อความคงตัวทางกายภาพของอิมัลชัน การศึกษาต่อมาได้นำอิมัลชันสูตรที่เหมาะสมไปประเมินผลการฆ่าเชื้อ *Streptococcus mutans* 104B ด้วยวิธีการเจือจางในอาหารเหลว ซึ่งพบว่านาโนอิมัลชันแสดงผลการฆ่าเชื้อได้ 100 เบอร์เซ็นต์ โดยสรุปการศึกษาครั้งนี้ได้แสดงให้เห็นปัจจัยที่มีความสำคัญต่อคุณสมบัติของนาโนอิมัลชัน ความรู้ที่ได้จากการศึกษาสามารถนำไปใช้เป็นแนวทางในการพัฒนาสูตรตำรับนาโนอิมัลชันที่มีฤทธิ์ต้านจุลทรรศ์ในอนาคตต่อไป

51361208 : MAJOR : PHARMACEUTICAL SCIENCES

KEY WORDS : NANOEMULSIONS/ VOLATILE OILS/ ANTIMICROBIAL ACTIVITY

SIRIKARN PENGON : PHYSICAL STABILITY AND ANTIMICROBIAL ACTIVITY AGAINST *STREPTOCOCCUS MUTANS* OF NANOEMULSIONS CONTAINING VOLATILE OILS. THESIS ADVISORS : ASSOC. PROF. SONTAYA LIMMATVAPIRAT, Ph.D., AND ASSOC. PROF. CHUTIMA LIMMATVAPIRAT, Ph.D. 134 pp.

Some herbal extracts, especially volatile oils from plants, demonstrated interesting antimicrobial activity. However, most of them have a limited application due to water immiscibility and incompatibility with body fluids. The purpose of the study was to solve the problems by conversion volatile oils into biocompatible oils in water (o/w) nanoemulsions. The volatile oils used in the study were clove oil, spearmint oil, peppermint oil, optamint oil, eucalyptus oil and tea tree oil. Factors affecting physical stability of nanoemulsions containing volatile oils such as types and amounts of volatile oils and surfactants (polyoxyethylene sorbitan monostearate (POS), PEG-40 hydrogenated castor oil (PGO), sodium lauryl sulphate (SLS) and poloxamer (PLX)) were investigated. The nanoemulsions were prepared by blending oil components with water phase and then evaluated for particle sizes, particle charges of oil droplets and other physical stabilities. The optimized formula was also tested for the antimicrobial activity. The results demonstrated that types and amounts of surfactants and volatile oils affected the physical stability. Formula containing PGO showed good physical stability and the droplet size was in nanometer range. The droplet size was decreased from 2.163  $\mu\text{m}$  to 114 nm as increasing amount of PGO from 1 to 10 %w/w. Formula containing volatile oils such as spearmint oil, peppermint oil, optamint oil, eucalyptus oil and tea tree oil showed good physical stability and the droplet size was in nanometer range when combined with soybean oil at a ratio 1:1. However, formula containing clove oil showed cracking after storage. The result suggested that chemical components and polarity of clove oil affected physical stability of emulsion. The selected formula was determined for antimicrobial activity against *Streptococcus mutans* 104B using broth dilution method. The nanoemulsions demonstrated 100% inhibition. The possible mechanism might be involved with the disruption of bacterial cell wall. In conclusion, the study demonstrated the crucial variables that determined the properties of nanoemulsions. The knowledge gain in this study could support the formulation of stable and effective antimicrobial nanoemulsions in the near future.

---

Program of Pharmaceutical Sciences   Graduate School,   Silpakorn University   Academic year 2009

Student's signature .....

Thesis Advisors' signature 1..... 2.....

## กิตติกรรมประกาศ

ในการทำวิทยานิพนธ์เรื่อง ความคงตัวทางกายภาพและฤทธิ์ต้านจุลชีพต่อ *Streptococcus mutans* ของนาโนอิมัลชันที่ประกอบด้วยน้ำมันหอมระ夷 สำเร็จลงตามวัตถุประสงค์ได้เป็นอย่างดี ด้วยความกรุณาและความช่วยเหลือจากเภสัชกร รองศาสตราจารย์ ดร.สันทายา ลิ่มน้ำทวาริกรัต් และ เภสัชกรหญิง รองศาสตราจารย์ ดร.ชุติมา ลิ่มน้ำทวาริกรัต් ที่ให้คำปรึกษา ดำเนินการต่างๆ รวมถึงการ ตรวจแก้ไขจนวิทยานิพนธ์ฉบับนี้สำเร็จลง ได้อย่างสมบูรณ์ ผู้เขียนขอขอบพระคุณเป็นอย่างสูงไว้ ณ โอกาสนี้

ขอขอบพระคุณเภสัชกรหญิง ผู้ช่วยศาสตราจารย์ ดร.จุรีย์ เจริญธีรบูรณ์, เภสัชกร รองศาสตราจารย์ ดร.พรศักดิ์ ศรีอมรศักดิ์ และเภสัชกร รองศาสตราจารย์ ดร.ศรีสกุล สังข์ทองเงินที่ให้ ความกรุณาเป็นประ不然 และคณะกรรมการสอบในครั้งนี้

ขอขอบพระคุณกองทุนสนับสนุนงานวิจัย ทุนวิจัยมหาบัณฑิต สาขาวิชาศัลSCI และ เทคโนโลยี ภายใต้โครงการเข้มแข็งภาคการผลิตกับงานวิจัย ทุน สาขาวิชา.-อุดสาหกรรมที่สนับสนุน เงินทุนในการทำงานวิจัยชั้นนี้ให้สำเร็จลุล่วงไปได้ด้วยดี

ขอขอบพระคุณรองศาสตราจารย์ ทันตแพทย์ จินตกร คูวัฒนสุชาติ ภาควิชาจุลชีววิทยา คณะทันตแพทยศาสตร์ มหาวิทยาลัยจุฬาลงกรณ์ และผู้ช่วยศาสตราจารย์ ดร. ธงชัย เตโชวิศาลา ภาควิชา จุลชีววิทยา คณะวิทยาศาสตร์ มหาวิทยาลัยศิลปากร ที่เอื้ออำนวยเชื้อแบคทีเรียในงานวิจัยชั้นนี้

ขอขอบพระคุณอาจารย์ คณะเภสัชศาสตร์ มหาวิทยาลัยศิลปากร ทุกท่านที่ให้ความรู้ ให้ สถานที่ในการทำงานวิจัย และให้คำปรึกษาอย่างดีเสมอมา

ขอขอบคุณเพื่อนๆ สาขาวิชาการทางเภสัชศาสตร์ (วท.ม.) และเพื่อนๆ พี่ๆ ที่อาคาร ปฏิบัติการเทคโนโลยีเภสัชกรรมทุกท่าน ที่ให้กำลังใจ ร่วมทึ้งอำนวยความสะดวกในการใช้เครื่องมือ และอุปกรณ์ในการทำวิจัยเป็นอย่างดี

ขอขอบคุณครอบครัว พ่อ แม่ และน้องสาว ที่คอยให้กำลังใจ ที่ค่อยให้ทำปรึกษา และแนะนำในเรื่องต่างๆ รวมทึ้งเป็นกำลังใจที่ดีเสมอมา

## สารบัญ

	หน้า
บทคัดย่อภาษาไทย .....	๑
บทคัดย่อภาษาอังกฤษ .....	๑
กิตติกรรมประกาศ.....	๒
สารบัญตาราง .....	๓
สารบัญภาพ .....	๔
บทที่	
1    บทนำ .....	1
ความเป็นมาและความสำคัญของปัญหา.....	1
ความมุ่งหมายและวัตถุประสงค์ของการศึกษา.....	5
สมมติฐานของการศึกษา .....	5
ขอบเขตของการศึกษา.....	5
2    ทบทวนวรรณกรรม .....	7
โรคฟันผุ.....	7
กรานจุลินทรี .....	7
ส่วนประกอบของกรานจุลินทรี.....	7
ชนิดของกรานจุลินทรี .....	9
การสร้างกรานจุลินทรี.....	9
การละลายของเคลือบฟันและเนื้อฟัน.....	12
ลักษณะของฟันที่มีสุขภาพดีและฟันผุ.....	13
ปัจจัยในการเกิดฟันผุ.....	16
ความรู้พื้นฐานของแบคทีเรีย .....	16
เชื้อแบคทีเรียในช่องปาก .....	19
แบคทีเรียที่เป็นสาเหตุของโรคฟันผุ .....	22
การก่อโรคของ <i>Streptococcus mutans</i> .....	26
อิมัลชัน.....	32
ชนิดของอิมัลชัน.....	32
ส่วนประกอบของอิมัลชัน .....	35
กลไกการเกิดอิมัลชัน .....	36

บทที่		หน้า
	สมบัติของอิมัลชันทางเครื่องสำอาง .....	37
	ความไม่คงตัวทางกายภาพของอิมัลชัน .....	40
	นาโนอิมัลชัน.....	41
	การประยุกต์ใช้ nano โนอิมัลชัน .....	42
	คุณสมบัติในการฆ่าเชื้อจุลชีพของ nano อิมัลชัน .....	42
	น้ำมันหอมระ夷.....	47
	น้ำมันกานพลู (Clove oil) .....	49
	น้ำมันสเปียร์มินต์ (Spearmint oil) .....	49
	น้ำมันเปลปเปอร์มินต์ (Peppermint oil) .....	50
	น้ำมัน尤卡ลิปตัส (Eucalyptus oil).....	50
	น้ำมันทีทรี (Tea tree oil).....	51
	น้ำมันถั่วเหลือง (Soybean oil).....	51
	น้ำยาบ้วนปาก (Mouth Wash) .....	52
3	วิธีดำเนินการวิจัย .....	56
	สารเคมีที่ใช้ในการวิจัย.....	56
	เครื่องมือที่ใช้ในการวิจัย .....	57
	วิธีดำเนินการวิจัย.....	58
	การเตรียมอิมัลชัน.....	58
	การประเมินทางกายภาพของอิมัลชัน .....	62
	การทดสอบฤทธิ์ยับยั้งเชื้อก่อโรคทางทันตกรรมของอิมัลชัน .....	64
4	ผลและอภิปรายผลของการศึกษา.....	65
	การศึกษาปัจจัยที่มีผลต่อกุณสมบัติทางกายภาพของอิมัลชัน .....	65
	ผลของสารลดแรงตึงผิวต่อการเกิดอิมัลชัน .....	65
	ผลของชนิดสารลดแรงตึงผิวต่อคุณสมบัติของอิมัลชัน .....	66
	ผลของปริมาณสารลดแรงตึงผิวต่อคุณสมบัติของอิมัลชัน.....	74
	ผลของน้ำมันต่อการเกิดอิมัลชัน.....	83
	ผลของชนิดน้ำมันหอมระ夷ต่อคุณสมบัติของอิมัลชัน .....	83
	ผลของสัดส่วนน้ำมันถั่วเหลืองต่อกุณสมบัติของอิมัลชันของระบบที่	
	ประกอบด้วยน้ำมันเปลปเปอร์มินต์ .....	91

บทที่	หน้า
ผลของน้ำมันถั่วเหลืองต่อคุณสมบัติของอิมัลชันของระบบที่ประกอบด้วยน้ำมันหอมระ夷ชนิดต่างกัน ..... การศึกษาความสามารถของอิมัลชันในการยับยั้งเชื้อจุลินทรีย์ก่อโรคทางทันตกรรม ( <i>S. mutans</i> ) ..... ผลของน้ำมันหอมระ夷ชนิดต่างๆ ในนาโนอิมัลชันต่อความสามารถในการยับยั้งเชื้อ <i>S. mutans</i> ..... ผลของนาโนอิมัลชันจากน้ำมันถั่วเหลืองร่วมกับน้ำมันหอมระ夷ชนิดต่างๆ ต่อความสามารถในการยับยั้งเชื้อ <i>S. mutans</i> ..... <b>5 สรุปผลของการศึกษาวิจัย.....</b> <b>เอกสารอ้างอิง .....</b> <b>ภาคผนวก .....</b> <b>ประวัติผู้วิจัย .....</b>	100 108 108 110 112 113 121 134

## สารบัญตาราง

ตารางที่		หน้า
1	การกระจายตัวของแบบที่เรียกที่ต้องการออกชิเงนในตำแหน่งต่างๆ ของช่องปาก .....	20
2	ชนิดของแบบที่เรียกที่ไม่ต้องการออกชิเงน.....	21
3	การกระจายตัวของแบบที่เรียกที่ไม่ต้องการออกชิเงนตามตำแหน่งต่าง ๆ ในช่องปาก .....	22
4	ลักษณะภายนอกที่มองเห็นของอิมัลชันและขนาดหยดอนุภาคของวัฎุภาคภายใน.....	32
5	ผลการผ่าเชือแบบที่เรียกแกรมบวกชนิดต่างๆ ด้วยนานาโนอิมัลชันหลังจากการผสมที่เวลา 10 และ 30 นาที.....	43
6	ผลการผ่าเชือแบบที่เรียกแกรมลบชนิดต่างๆ ด้วยนานาโนอิมัลชันหลังจากการผสมที่เวลา 10 และ 30 นาที.....	44
7	แสดงผลการผ่าเชือราชานิดต่างๆ ด้วยนานาโนอิมัลชันหลังจากการผสมที่ 10 และ 30 นาที .....	46
8	สูตรการเตรียมอิมัลชันเพื่อศึกษาผลของชนิดสารลดแรงตึงผิว .....	59
9	สูตรการเตรียมอิมัลชันเพื่อศึกษาผลของปริมาณสารลดแรงตึงผิว.....	59
10	สูตรการเตรียมอิมัลชันเพื่อศึกษาผลของชนิดน้ำมันหอมระเหย .....	61
11	สูตรการเตรียมอิมัลชันเพื่อศึกษาผลของน้ำมันถั่วเหลืองต่อคุณสมบัติของอิมัลชัน .....	61
12	สูตรการเตรียมอิมัลชันเพื่อศึกษาผลของการใช้น้ำมันถั่วเหลืองร่วมกับน้ำมันหอมระเหยชนิดต่างกันในสัดส่วน 50:50 ต่อคุณสมบัติของอิมัลชัน .....	62
13	แสดงผลความคงตัวของอิมัลชันที่เตรียมจากสารลดแรงตึงผิวชนิดต่างๆ.....	122
14	แสดงผลความคงตัวของอิมัลชันที่เตรียมจากสารลดแรงตึงผิวกลุ่ม PGO ปริมาณต่างกัน .....	122
15	แสดงผลความคงตัวของอิมัลชันที่เตรียมจากน้ำมันหอมระเหยชนิดต่างๆ .....	122
16	แสดงผลความคงตัวของอิมัลชันที่เตรียมได้จากน้ำมันถั่วเหลืองร่วมกับน้ำมันเปลปเปอร์มินต์ในสัดส่วนต่างๆ .....	123

ตารางที่		หน้า
17	แสดงผลความคงตัวของอิมัลชันที่เตรียมจากน้ำมันถั่วเหลืองร่วมกับน้ำมันหอมระ夷ชนิดต่างๆ .....	123
18	แสดงขนาดหยดน้ำมันของอิมัลชันที่เตรียมจากสารลดแรงตึงผิวนิคต่างๆ .....	124
19	แสดงขนาดหยดน้ำมันของอิมัลชันที่เตรียมจาก PGO ปริมาณต่างๆ .....	124
20	แสดงขนาดหยดน้ำมันของอิมัลชันที่เตรียมจากน้ำมันหอมระ夷ชนิดต่างๆ .....	124
21	แสดงขนาดหยดน้ำมันของอิมัลชันที่เตรียมได้จากน้ำมันถั่วเหลืองร่วมกับน้ำมันเปปเปอร์มินต์ในสัดส่วนต่างๆ .....	125
22	แสดงขนาดหยดน้ำมันของอิมัลชันที่เตรียมจากน้ำมันถั่วเหลืองร่วมกับน้ำมันหอมระ夷ชนิดต่างๆ .....	125
23	แสดงค่าซีต้าโพเทนเชียลของหยดน้ำมันของอิมัลชันที่เตรียมจากสารลดแรงตึงผิวนิคต่างๆ .....	126
24	แสดงค่าซีต้าโพเทนเชียลของหยดน้ำมันของอิมัลชันที่เตรียมจาก PGO ปริมาณต่างๆ .....	126
25	แสดงค่าซีต้าโพเทนเชียลของหยดน้ำมันของอิมัลชันที่เตรียมจากน้ำมันหอมระ夷ชนิดต่างๆ .....	127
26	แสดงค่าซีต้าโพเทนเชียลของหยดน้ำมันของอิมัลชันที่เตรียมจากน้ำมันถั่วเหลืองร่วมกับน้ำมันเปปเปอร์มินต์ในสัดส่วนต่างๆ .....	127
27	แสดงค่าซีต้าโพเทนเชียลของหยดน้ำมันของอิมัลชันที่เตรียมจากน้ำมันถั่วเหลืองร่วมกับน้ำมันหอมระ夷ชนิดต่างๆ .....	128
28	แสดงค่าความเป็นกรดค่าคงของอิมัลชันที่เตรียมจากสารลดแรงตึงผิวนิคต่างๆ .....	128
29	แสดงค่าความเป็นกรดค่าคงของอิมัลชันที่เตรียมจาก PGO ปริมาณต่างๆ .....	128
30	แสดงค่าความเป็นกรดค่าคงของอิมัลชันที่เตรียมจากน้ำมันหอมระ夷ชนิดต่างๆ .....	129
31	แสดงค่าความเป็นกรดค่าคงของอิมัลชันที่เตรียมจากน้ำมันถั่วเหลืองร่วมกับน้ำมันเปปเปอร์มินต์ในสัดส่วนต่างๆ .....	129
32	แสดงค่าความเป็นกรดค่าคงของอิมัลชันที่เตรียมจากน้ำมันถั่วเหลืองร่วมกับน้ำมันหอมระ夷ชนิดต่างๆ .....	130
33	แสดงความสามารถในการยับยั้งเชื้อ <i>S. mutans</i> ของอิมัลชันที่ประกอบด้วยน้ำมันหอมระ夷ชนิดต่างกัน (1x) .....	131

ตารางที่		หน้า
34	แสดงความสามารถในการยับยั้งเชื้อ <i>S. mutans</i> ของอิมัลชันที่ประกอบด้วยน้ำมันหอมระ夷ชนิดต่างกัน (10x) .....	131
35	แสดงความสามารถในการยับยั้งเชื้อ <i>S. mutans</i> ของอิมัลชันที่ประกอบด้วยน้ำมันหอมระ夷ชนิดต่างกัน (100x) .....	132
36	แสดงความสามารถในการยับยั้งเชื้อ <i>S. mutans</i> ของอิมัลชันที่ประกอบด้วยน้ำมันถั่วเหลืองร่วมกับน้ำมันหอมระ夷ชนิดต่างๆ (1x) .....	132
37	แสดงความสามารถในการยับยั้งเชื้อ <i>S. mutans</i> ของอิมัลชันที่ประกอบด้วยน้ำมันถั่วเหลืองร่วมกับน้ำมันหอมระ夷ชนิดต่างๆ (10x) .....	133
38	แสดงความสามารถในการยับยั้งเชื้อ <i>S. mutans</i> ของอิมัลชันที่ประกอบด้วยน้ำมันถั่วเหลืองร่วมกับน้ำมันหอมระ夷ชนิดต่างๆ (100x) .....	133

## สารบัญภาพ

ภาพที่	หน้า
1 การเกacheของโปรตีนกับผิวฟัน โดยมีแคลเซียมเป็นสะพาน.....	8
2 การเกacheของแบคทีเรียกับเยื่อช้ำฟัน.....	10
3 ชนิดของฟันผุ.....	12
4 Structure of Healthy Tooth .....	13
5 White Spots .....	14
6 Enamel Decay .....	14
7 Dentin Decay .....	15
8 Pulp Involvement.....	15
9 โครงสร้างของแบคทีเรียโดยสังเขป .....	17
10 ผนังหุ้มเซลล์ของแบคทีเรียชนิดแกรมบวกและแกรมลบ.....	19
11 แบคทีเรียแกรมบวก รูปร่างกลมหรือรีต่อกันเป็นสายสั้นหรือยาว ( <i>Streptococci</i> ) .....	23
12 โคลโโน่ของ <i>Streptococcus mutans</i> .....	24
13 โคลโโน่ของ <i>Streptococcus sobrinus</i> .....	24
14 แบคทีเรียแกรมบวก รูปร่างเป็นแท่ง อาจเป็นแท่งสั้นหรือยาว ( <i>Lactobacillus</i> ) .....	26
15 โครงสร้างพอลิเมอร์กลูแคนที่ละลายนำ.....	28
16 โครงสร้างพอลิเมอร์กลูแคนที่ไม่ละลายนำ.....	28
17 ปฏิกิริยาการเปลี่ยนไฟฟูเวยเป็นแอกเตตโดยเออนไซม์ LDH .....	29
18 ความสามารถในการสร้างกรดของ streptococci สายพันธุ์ต่าง ๆ ในสภาพที่เป็นกลาง (พีเอช 7.0).....	30
19 ความสามารถในการสร้างกรดของ streptococci สายพันธุ์ต่าง ๆ ในสภาพที่เป็นกรด (พีเอช 5.0) .....	30
20 water-in-oil emulsion !! และ oil-in-water emulsion .....	33
21 ลักษณะ nano อะมิลชั้นของ aceclofenac ที่ถ่ายภาพด้วย TEM (Transmission Electron Microscope).....	42

ภาพที่		หน้า
22	กราฟแสดงผลการฆ่าเชื้อไวรัสของนาโนอิมัลชัน (BCTP) โดยที่ความเข้มข้น 10% และ 1% ปราบเชื้อ vaccinia, influenza A และ Herpes simplex virus ได้ 100% ในเวลา 15 นาที .....	45
23	ภาพถ่ายจากกล้อง Electron microscopy ของเชื้อ influenza A ที่ผสมกับนาโนอิมัลชัน .....	45
24	Kinetics ของการฆ่าเชื้อ <i>Candida albicans</i> ด้วยนาโนอิมัลชันความเข้มข้น 1% และ 10% ที่เวลาต่างๆ โดยมี BHI medium เป็นตัวควบคุม .....	46
25	ภาพถ่ายจากกล้อง Electron microscopy ของ <i>Candida albicans</i> ที่ผสมกับนาโนอิมัลชัน .....	47
26	แผนภาพขั้นตอนการเตรียมอิมัลชัน โดยศึกษาผลของสารลดแรงตึงผิว.....	58
27	แผนภาพขั้นตอนการเตรียมอิมัลชัน โดยศึกษาผลของน้ำมันหอมระเหย .....	60
28	ลักษณะทางกายภาพของอิมัลชันที่เตรียม ได้จากการลดแรงตึงผิวต่างชนิดกัน (S1 : POS, S2 : PGO, S3 : SLS และ S4 : PLX) หลังการเตรียมและเก็บไว้ที่ 25 องศาเซลเซียสเป็นเวลา 24 ชั่วโมง.....	67
29	ลักษณะทางกายภาพของอิมัลชันที่เตรียม ได้จากการลดแรงตึงผิวต่างชนิดกัน (S1 : POS, S2 : PGO, S3 : SLS และ S4 : PLX) หลังการเตรียมและเก็บไว้ที่ 25 องศาเซลเซียสเป็นเวลา 1 สัปดาห์.....	67
30	ลักษณะทางกายภาพของอิมัลชันที่เตรียม ได้จากการลดแรงตึงผิวต่างชนิดกัน (S1 : POS, S2 : PGO, S3 : SLS และ S4 : PLX) หลังการเตรียมและเก็บไว้ที่สภาวะเร่ง .....	68
31	กราฟแสดงความสัมพันธ์ระหว่างชนิดของสารลดแรงตึงผิว (S1 : POS, S2 : PGO, S3 : SLS และ S4 : PLX) ต่อความคงตัวของอิมัลชัน .....	68
32	ภาพถ่ายโดยกล้องจุลทรรศน์ของอิมัลชันที่เตรียม ได้จากการลดแรงตึงผิว 4 ชนิด (S1 : POS, S2 : PGO, S3 : SLS และ S4 : PLX) ภายหลังการเตรียมและเก็บไว้ที่อุณหภูมิ 25 องศาเซลเซียสเป็นเวลา 24 ชั่วโมง (กำลังขยาย = 100x) .....	70

ภาพที่		หน้า
33	แสดงขนาดหดนำ้มันของอิมัลชันที่เตรียมได้จากสารลดแรงตึงผิว 4 ชนิด (S1 : POS, S2 : PGO, S3 : SLS และ S4 : PLX) ภายหลังการเตรียมและเก็บไว้ที่อุณหภูมิ 25 องศาเซลเซียสเป็นเวลา 24 ชั่วโมงและ 1 สัปดาห์และหลังการเก็บที่สภาวะเร่ง .....	71
34	แสดงค่าซีต้าโพเทนเซียลของหดนำ้มันของอิมัลชันที่เตรียมได้จากสารลดแรงตึงผิว 4 ชนิด (S1 : POS, S2 : PGO, S3 : SLS และ S4 : PLX) ภายหลังการเตรียมและเก็บไว้ที่อุณหภูมิ 25 องศาเซลเซียสเป็นเวลา 24 ชั่วโมงและ 1 สัปดาห์และหลังการเก็บที่สภาวะเร่ง .....	73
35	แสดงค่าความเป็นกรด-ด่างของอิมัลชันที่เตรียมได้จากสารลดแรงตึงผิว 4 ชนิด (S1 : POS, S2 : PGO, S3 : SLS และ S4 : PLX) ภายหลังการเตรียมและเก็บไว้ที่อุณหภูมิ 25 องศาเซลเซียสเป็นเวลา 24 ชั่วโมงและ 1 สัปดาห์และหลังการเก็บที่สภาวะเร่ง .....	74
36	ลักษณะทางกายภาพของอิมัลชันที่เตรียมได้จากสารลดแรงตึงผิวกลุ่ม PGO ปริมาณต่างกัน (C1 : 1%, C2 : 2.5%, C3 : 5%, C4 : 7.5% และ C5 : 10% โดยน้ำหนัก) หลังการเตรียมและเก็บไว้ที่ 25 องศาเซลเซียสเป็นเวลา 24 ชั่วโมง.....	76
37	ลักษณะทางกายภาพของอิมัลชันที่เตรียมได้จากสารลดแรงตึงผิวกลุ่ม PGO ปริมาณต่างกัน (C1 : 1%, C2 : 2.5%, C3 : 5%, C4 : 7.5% และ C5 : 10% โดยน้ำหนัก) หลังการเตรียมและเก็บไว้ที่ 25 องศาเซลเซียสเป็นเวลา 1 สัปดาห์ .....	76
38	ลักษณะทางกายภาพของอิมัลชันที่เตรียมได้จากสารลดแรงตึงผิวกลุ่ม PGO ปริมาณต่างกัน (C1 : 1%, C2 : 2.5%, C3 : 5%, C4 : 7.5% และ C5 : 10% โดยน้ำหนัก) หลังการเตรียมและเก็บไว้ที่สภาวะเร่ง.....	77
39	กราฟแสดงความสัมพันธ์ระหว่างปริมาณของ PGO (C1 : 1%, C2 : 2.5%, C3 : 5%, C4 : 7.5% และ C5 : 10 % โดยน้ำหนัก) ต่อความคงตัวของ อิมัลชัน .....	77

ภาพที่		หน้า
40	ภาพถ่ายโดยกล้องจุลทรรศน์ ของอิมัลชันที่เตรียมได้จากสารลดแรงตึงผิวกลุ่ม PGO ปริมาณต่างกัน (C1 : 1%, C2 : 2.5%, C3 : 5%, C4 : 7.5% และ C5 : 10 % โดยน้ำหนัก) หลังการเตรียมและเก็บไว้ที่อุณหภูมิ 25 องศาเซลเซียสเป็นเวลา 24 ชั่วโมง (กำลังขยาย = 100x) .....	79
41	แสดงขนาดหยดน้ำมันของอิมัลชันที่เตรียมได้จากการใช้ PGO ปริมาณต่างกัน (C1 : 1%, C2 : 2.5%, C3 : 5%, C4 : 7.5% และ C5 : 10 % โดยน้ำหนัก) ภายหลังการเตรียมและเก็บไว้ที่อุณหภูมิ 25 องศาเซลเซียสเป็นเวลา 24 ชั่วโมงและ 1 สัปดาห์และหลังการเก็บที่สภาวะเร่ง .....	80
42	แสดงค่าซีต้าโพเทนเซียลของหยดน้ำมันของอิมัลชันที่เตรียมได้จากการใช้ PGO ปริมาณต่างกัน (C1 : 1%, C2 : 2.5%, C3 : 5%, C4 : 7.5% และ C5 : 10 % โดยน้ำหนัก) ภายหลังการเตรียมและเก็บไว้ที่อุณหภูมิ 25 องศาเซลเซียสเป็นเวลา 24 ชั่วโมง และ 1 สัปดาห์และหลังการเก็บที่สภาวะเร่ง .....	81
43	แสดงค่าความเป็นกรด-ด่างของอิมัลชันที่เตรียมได้จากการใช้ PGO ปริมาณต่างกัน (C1 : 1%, C2 : 2.5%, C3 : 5%, C4 : 7.5% และ C5 : 10 % โดยน้ำหนัก) ภายหลังการเตรียมและเก็บไว้ที่อุณหภูมิ 25 องศาเซลเซียสเป็นเวลา 24 ชั่วโมง และ 1 สัปดาห์และหลังการเก็บที่สภาวะเร่ง .....	82
44	ลักษณะทางกายภาพของอิมัลชันที่เตรียมได้จากน้ำมันหอมระเหยชนิดต่างๆ (V1 : น้ำมันกานพลู, V2 : น้ำมันสเปียร์มินต์, V3 : น้ำมันเปลปเปอร์มินต์, V4 : น้ำมันออยปามินต์, V5 : น้ำมันยูคาลิปตัส และ V6 : น้ำมันทีทราย) หลังการเตรียมและเก็บไว้ที่ 25 องศาเซลเซียสเป็นเวลา 24 ชั่วโมง .....	84
45	ลักษณะทางกายภาพของอิมัลชันที่เตรียมได้จากน้ำมันหอมระเหยชนิดต่างๆ (V1 : น้ำมันกานพลู, V2 : น้ำมันสเปียร์มินต์, V3 : น้ำมันเปลปเปอร์มินต์, V4 : น้ำมันออยปามินต์, V5 : น้ำมันยูคาลิปตัส และ V6 : น้ำมันทีทราย) หลังการเตรียมและเก็บไว้ที่ 25 องศาเซลเซียสเป็นเวลา 1 สัปดาห์ .....	85
46	ลักษณะทางกายภาพของอิมัลชันที่เตรียมได้จากน้ำมันหอมระเหยชนิดต่างๆ (V1 : น้ำมันกานพลู, V2 : น้ำมันสเปียร์มินต์, V3 : น้ำมันเปลปเปอร์มินต์, V4 : น้ำมันออยปามินต์, V5 : น้ำมันยูคาลิปตัส และ V6 : น้ำมันทีทราย) หลังการเตรียมและเก็บไว้ที่สภาวะเร่ง .....	85

ภาพที่		หน้า
47	กราฟแสดงความสัมพันธ์ระหว่างน้ำมันหอมระ夷ชนิดต่างๆ (V1 : น้ำมันกานพลู, V2 : น้ำมันสเปียร์มินต์, V3 : น้ำมันเบปเปอร์มินต์, V4 : น้ำมันอโปathamินต์, V5 : น้ำมันยูคาลิปตัส และ V6 : น้ำมันทีทรี) ต่อความคงตัวของอิมัลชัน .....	86
48	ภาพถ่ายโดยกล้องจุลทรรศน์ของอิมัลชันที่เตรียมได้จากน้ำมันหอมระ夷ชนิดต่างๆ (V1 : น้ำมันกานพลู, V2 : น้ำมันสเปียร์มินต์, V3 : น้ำมันเบปเปอร์มินต์, V4 : น้ำมันอโปathamินต์, V5 : น้ำมันยูคาลิปตัส และ V6 : น้ำมันทีทรี) หลังการเตรียมและเก็บไว้ที่อุณหภูมิ 25 องศาเซลเซียสเป็นเวลา 24 ชั่วโมง (กำลังขยาย = 100x) .....	87
49	แสดงขนาดหยดน้ำมันของอิมัลชันที่เตรียมได้จากน้ำมันหอมระ夷ชนิดต่างๆ (V1 : น้ำมันกานพลู, V2 : น้ำมันสเปียร์มินต์, V3 : น้ำมันเบปเปอร์มินต์, V4 : น้ำมันอโปathamินต์, V5 : น้ำมันยูคาลิปตัส และ V6 : น้ำมันทีทรี) หลังการเตรียมและเก็บไว้ที่อุณหภูมิ 25 องศาเซลเซียสเป็นเวลา 24 ชั่วโมง และ 1 สัปดาห์ และหลังการเก็บที่สภาวะเร่ง .....	88
50	แสดงค่าความหนืดของอิมัลชันที่เตรียมได้จากน้ำมันหอมระ夷ชนิดต่างๆ (V1 : น้ำมันกานพลู, V2 : น้ำมันสเปียร์มินต์, V3 : น้ำมันเบปเปอร์มินต์, V4 : น้ำมันอโปathamินต์, V5 : น้ำมันยูคาลิปตัส และ V6 : น้ำมันทีทรี). .....	89
51	แสดงค่าซีต้าโพเทนเซียลของอิมัลชันที่เตรียมได้จากน้ำมันหอมระ夷ชนิดต่างๆ (V1 : น้ำมันกานพลู, V2 : น้ำมันสเปียร์มินต์, V3 : น้ำมันเบปเปอร์มินต์, V4 : น้ำมันอโปathamินต์, V5 : น้ำมันยูคาลิปตัส และ V6 : น้ำมันทีทรี) ภายหลังการเตรียมและเก็บไว้ที่อุณหภูมิ 25 องศาเซลเซียสเป็นเวลา 24 ชั่วโมง และ 1 สัปดาห์ และหลังการเก็บที่สภาวะเร่ง .....	90
52	แสดงค่าความเป็นกรด-ด่างของอิมัลชันที่เตรียมได้จากน้ำมันหอมระ夷ชนิดต่างๆ (V1 : น้ำมันกานพลู, V2 : น้ำมันสเปียร์มินต์, V3 : น้ำมันเบปเปอร์มินต์, V4 : น้ำมันอโปathamินต์, V5 : น้ำมันยูคาลิปตัส และ V6 : น้ำมันทีทรี) หลังการเตรียมและเก็บไว้ที่อุณหภูมิ 25 องศาเซลเซียสเป็นเวลา 24 ชั่วโมง และ 1 สัปดาห์ และหลังการเก็บที่สภาวะเร่ง .....	91

ภาพที่		หน้า
53	ลักษณะทางกายภาพของอิมัลชันที่เตรียม ได้จากน้ำมันถั่วเหลืองร่วม กับน้ำมันเปปเปอร์มินต์ในสัดส่วนต่างๆ (P1 คือ 75:25, P2 คือ 50:50, P3 คือ 40:60, P4 คือ 30:70, P5 คือ 20:80 และ P6 คือ 10:90) หลังการเตรียมและเก็บไว้ที่อุณหภูมิ 25 องศาเซลเซียสเป็นเวลา 24 ชั่วโมง.....	93
54	ลักษณะทางกายภาพของอิมัลชันที่เตรียม ได้จากน้ำมันถั่วเหลืองร่วมกับน้ำมัน เปปเปอร์มินต์ในสัดส่วนต่างๆ (P1 คือ 75:25, P2 คือ 50:50, P3 คือ 40:60, P4 คือ 30:70, P5 คือ 20:80 และ P6 คือ 10:90) หลังการเตรียม และเก็บไว้ที่อุณหภูมิ 25 องศาเซลเซียสเป็นเวลา 1 สัปดาห์ .....	94
55	ลักษณะทางกายภาพของอิมัลชันที่เตรียม ได้จากน้ำมันถั่วเหลืองร่วมกับน้ำมัน เปปเปอร์มินต์ในสัดส่วนต่างๆ (P1 คือ 75:25, P2 คือ 50:50, P3 คือ 40:60, P4 คือ 30:70, P5 คือ 20:80 และ P6 คือ 10:90) หลังการเตรียม และเก็บไว้ที่สภาวะเร่ง.....	94
56	กราฟแสดงความสัมพันธ์ระหว่างอิมัลชันที่เตรียม ได้จากน้ำมันถั่วเหลืองร่วม กับน้ำมันเปปเปอร์มินต์ในสัดส่วนต่างๆ (P1 คือ 75:25, P2 คือ 50:50, P3 คือ 40:60, P4 คือ 30:70, P5 คือ 20:80 และ P6 คือ 10:90) ต่อความ คงตัวของอิมัลชัน.....	95
57	ภาพถ่ายโดยกล้องจุลทรรศน์ของอิมัลชันที่เตรียม ได้จากน้ำมันถั่วเหลืองร่วม กับน้ำมันเปปเปอร์มินต์ในสัดส่วนต่างๆ (P1 คือ 75:25, P2 คือ 50:50, P3 คือ 40:60, P4 คือ 30:70, P5 คือ 20:80 และ P6 คือ 10:90) ภายหลัง การเตรียมและเก็บไว้ที่อุณหภูมิ 25 องศาเซลเซียสเป็นเวลา 24 ชั่วโมง (กำลังขยาย = 100x) .....	96
58	แสดงขนาดหยดน้ำมันของอิมัลชันที่เตรียม ได้จากน้ำมันถั่วเหลืองร่วมกับน้ำมัน เปปเปอร์มินต์ในสัดส่วนต่างๆ (P1 คือ 75:25, P2 คือ 50:50, P3 คือ 40:60, P4 คือ 30:70, P5 คือ 20:80 และ P6 คือ 10:90) ภายหลังการเตรียม และเก็บไว้ที่อุณหภูมิ 25 องศาเซลเซียสเป็นเวลา 24 ชั่วโมงและ 1 สัปดาห์ และหลังการเก็บที่สภาวะเร่ง .....	97

ภาพที่		หน้า
59	แสดงค่าซีต้าโพเทนเชียลของอิมัลชันที่เตรียมได้จากน้ำมันถั่วเหลืองร่วมกับน้ำมันเปปเปอร์มินต์ในสัดส่วนต่างๆ (P1 คือ 75:25, P2 คือ 50:50, P3 คือ 40:60, P4 คือ 30:70, P5 คือ 20:80 และ P6 คือ 10:90) หลังการเตรียมและเก็บไว้ที่อุณหภูมิ 25 องศาเซลเซียสเป็นเวลา 24 ชั่วโมงและ 1 สัปดาห์และหลังการเก็บที่สภาวะเร่ง .....	98
60	แสดงค่าความเป็นกรด-ด่างของอิมัลชันที่เตรียมได้จากน้ำมันถั่วเหลืองร่วมกับน้ำมันเปปเปอร์มินต์ในสัดส่วนต่างๆ (P1 คือ 75:25, P2 คือ 50:50, P3 คือ 40:60, P4 คือ 30:70, P5 คือ 20:80 และ P6 คือ 10:90) หลังการเตรียมและเก็บไว้ที่อุณหภูมิ 25 องศาเซลเซียสเป็นเวลา 24 ชั่วโมงและ 1 สัปดาห์และหลังการเก็บที่สภาวะเร่ง .....	99
61	ลักษณะทางกายภาพของอิมัลชันที่เตรียมได้จากน้ำมันถั่วเหลืองร่วมกับน้ำมันหอมระ夷ชนิดต่างๆ (F1 : น้ำมันกานพลู, F2 : น้ำมันสเปียร์มินต์, F3 : น้ำมันเปปเปอร์มินต์, F4 : optamint oil, F5 : น้ำมันยูคาลิปตัส และ F6 : น้ำมันทีทรี) หลังการเตรียมและเก็บไว้ที่อุณหภูมิ 25 องศาเซลเซียสเป็นเวลา 1 สัปดาห์.....	101
62	ลักษณะทางกายภาพของอิมัลชันที่เตรียมได้จากน้ำมันถั่วเหลืองร่วมกับน้ำมันหอมระ夷ชนิดต่างๆ (F1 : น้ำมันกานพลู, F2 : น้ำมันสเปียร์มินต์, F3 : น้ำมันเปปเปอร์มินต์, F4 : น้ำมันօอปทาเมินต์, F5 : น้ำมันยูคาลิปตัส และ F6 : น้ำมันทีทรี) หลังการเตรียมและเก็บไว้ที่ 25 องศาเซลเซียสเป็นเวลา 1 สัปดาห์ .....	102
63	ลักษณะทางกายภาพของอิมัลชันที่เตรียมได้จากน้ำมันถั่วเหลืองร่วมกับน้ำมันหอมระ夷ชนิดต่างๆ (F1 : น้ำมันกานพลู, F2 : น้ำมันสเปียร์มินต์, F3 : น้ำมันเปปเปอร์มินต์, F4 : น้ำมันօอปทาเมินต์, F5 : น้ำมันยูคาลิปตัส และ F6 : น้ำมันทีทรี) หลังการเตรียมและเก็บไว้ที่สภาวะเร่ง .....	102
64	กราฟแสดงความสัมพันธ์ระหว่างอิมัลชันที่เตรียมได้จากน้ำมันถั่วเหลืองร่วมกับน้ำมันหอมระ夷ชนิดต่างๆ (F1 : น้ำมันกานพลู, F2 : น้ำมันสเปียร์มินต์, F3 : น้ำมันเปปเปอร์มินต์, F4 : น้ำมันօอปทาเมินต์, F5 : น้ำมันยูคาลิปตัส และ F6 : น้ำมันทีทรี) ต่อความคงตัวของอิมัลชัน .....	103

ภาพที่	หน้า	
65	<p>ภาพถ่ายโดยกล้องจุลทรรศน์ของอิมัลชันที่เตรียมได้จากน้ำมันถั่วเหลืองร่วมกับน้ำมันหอมระ夷ชนิดต่างๆ (F1 : น้ำมันกานพลู, F2 : น้ำมันสเปียร์มินต์, F3 : น้ำมันเปลปเปอร์มินต์, F4 : น้ำมันอปปามินต์, F5 : น้ำมันยูคาลิปตัส และ F6 : น้ำมันทีทรี) หลังการเตรียมและเก็บไว้ที่อุณหภูมิ 25 องศาเซลเซียสเป็นเวลา 24 ชั่วโมง (กำลังขยาย = 100x) .....</p>	104
66	<p>แสดงขนาดหยดน้ำมันของอิมัลชันที่เตรียมได้จากน้ำมันถั่วเหลืองร่วมกับน้ำมันหอมระ夷ชนิดต่างๆ (F1 : น้ำมันกานพลู, F2 : น้ำมันสเปียร์มินต์, F3 : น้ำมันเปลปเปอร์มินต์, F4 : น้ำมันอปปามินต์, F5 : น้ำมันยูคาลิปตัส และ F6 : น้ำมันทีทรี) หลังการเตรียมและเก็บไว้ที่อุณหภูมิ 25 องศาเซลเซียสเป็นเวลา 24 ชั่วโมงและ 1 สัปดาห์ และหลังการเก็บที่สภาวะเร่ง .....</p>	105
67	<p>แสดงค่าซีตัวโพเทนเชียลของหยดน้ำมันของอิมัลชันที่เตรียมได้จากน้ำมันถั่วเหลืองร่วมกับน้ำมันหอมระ夷ชนิดต่างๆ (F1 : น้ำมันกานพลู, F2 : น้ำมันสเปียร์มินต์, F3 : น้ำมันเปลปเปอร์มินต์, F4 : น้ำมันอปปามินต์, F5 : น้ำมันยูคาลิปตัส และ F6 : น้ำมันทีทรี) ภายหลังการเตรียมและเก็บไว้ที่อุณหภูมิ 25 องศาเซลเซียสเป็นเวลา 24 ชั่วโมงและ 1 สัปดาห์ และหลังการเก็บที่สภาวะเร่ง .....</p>	106
68	<p>แสดงค่าความเป็นกรด-ด่างของอิมัลชันที่เตรียมได้จากน้ำมันถั่วเหลืองร่วมกับน้ำมันหอมระ夷ชนิดต่างๆ (F1 : น้ำมันกานพลู, F2 : น้ำมันสเปียร์มินต์, F3 : น้ำมันเปลปเปอร์มินต์, F4 : น้ำมันอปปามินต์, F5 : น้ำมันยูคาลิปตัส และ F6 : น้ำมันทีทรี) ภายหลังการเตรียมและเก็บไว้ที่อุณหภูมิ 25 องศาเซลเซียสเป็นเวลา 24 ชั่วโมง และ 1 สัปดาห์ และหลังการเก็บที่สภาวะเร่ง .....</p>	107
69	<p>แสดงความสามารถในการยับยั้งเชื้อ <i>S. mutans</i> ของอิมัลชันที่ประกอบด้วยน้ำมันหอมระ夷ชนิดต่างกัน (V1 : น้ำมันกานพลู, V2 : น้ำมันสเปียร์มินต์, V3 : น้ำมันเปลปเปอร์มินต์, V4 : น้ำมันอปปามินต์, V5 : น้ำมันยูคาลิปตัส, V6 : น้ำมันทีทรี, positive control : 0.2%CPC และ negative control : อิมัลชันที่เตรียมได้จากน้ำมันถั่วเหลือง) ที่ความเข้มข้นต่างๆ .....</p>	109

ภาพที่		หน้า
70	แสดงความสามารถในการยับยั้งเชื้อ <i>S. mutans</i> ของอิมัลชันที่เตรียมได้จาก น้ำมันถั่วเหลืองร่วมกับน้ำมันหอมระ夷ชนิดต่างๆ (F1 : น้ำมันกานพลู, F2 : น้ำมันสเปียร์มินต์, F3 : น้ำมันเปลปีโรมินต์, F4 : optamint oil, F5 : น้ำมันยูคาลิปตัส, F6 : น้ำมันทีทราย, positive control : 0.2%CPC และ negative control : อิมัลชันที่เตรียมได้จากน้ำมันถั่วเหลือง) ที่ความเข้มข้นต่างๆ .....	111
71	กราฟมาตราฐานเชื้อ <i>Streptococcus mutans</i> 104B .....	130

## บทที่ 1

### บทนำ

#### ความเป็นมาและความสำคัญของปัญหา

โรคฟันผุเป็นโรคในช่องปากที่พบได้ตั้งแต่วัยเด็กจนถึงวัยผู้ใหญ่ คือเป็นปัญหาสาธารณสุขที่พบได้ทั่วไปในหลายภูมิภาคในประเทศไทย สาเหตุของโรคฟันผุนั้นเกิดจากคราบจุลินทรีย์ (microbial plaque) ที่มีอยู่ในช่องปากโดยทั่วไป การละลายของฟัน หรือ hydroxyapatite ทำให้ฟันเปื่อยและหลุดออก เกิดเป็นโพรงฟันผุ การละลายนี้จะมีการดึงเอ่าแคลเซียมออก (chelation) ด้วย lactate ซึ่งวิธีนี้ไม่จำเป็นต้องอาศัยสภาวะที่เป็นกรด และการละลายฟันโดยเอนไซม์ของแบคทีเรียทำลายสารอินทรีย์ที่แทรกอยู่ระหว่าง hydroxyapatite ทำให้ hydroxyapatite หลุดออกไปง่าย หรือแบคทีเรียมีเอนไซม์ที่สามารถดึงเอ่าฟอสเฟตออกไปจาก hydroxyapatite ทำให้มีการสลายของฟัน (พวงเพ็ชร เดชะประทุมวัน 2536 : 9-17) แต่ก็ยังไม่มีผลการวิจัยที่สนับสนุน เพียงพอ จึงยังคงเชื่อถูกว่าการดูดซึมน้ำนมที่มีน้ำตาล จะมี pH ในคราบจุลินทรีย์ต่ำกว่า 5.5 อยู่ระยะหนึ่ง การสำรวจ pH รอบๆ บริเวณฟันผุจะมี pH ต่ำกว่าบริเวณที่ไม่ผุ และการสำรวจ แบคทีเรียในช่องปากพบว่า ในคนที่มีอัตราการเกิดฟันผุสูงมี *Streptococcus mutans* และ *Lactobacilli* สูงกว่าคนที่มีอัตราการเกิดฟันผุต่ำ และแบคทีเรียทั้ง 2 ชนิดนี้สามารถผลิตกรดได้มาก อย่างรวดเร็ว (รีวี เกียร์ ไพร์สแลด 2550 : 99)

เชื้อที่เป็นสาเหตุหลักของโรคฟันผุ คือเชื้อ *S. mutans* ซึ่งแบคทีเรียชนิดนี้สามารถเปลี่ยนน้ำตาลซึ่งโครงสร้างและสารโนบไอกเรตต์ไปเป็นกรดแลกติก (lactic acid) ที่สามารถย่อยสลายแร่ธาตุบริเวณผิวฟันได้ (demineralization) โดยกลไกการก่อโรคของเชื้อ *S. mutans* นั้นประกอบด้วยกลไกหลัก 3 ประการคือ ความสามารถในการยึดเกาะกับผิวฟัน ความสามารถในการสร้างกรดและความสามารถในการทนกรด ซึ่งกลไกทั้ง 3 นี้ จะส่งเสริมให้เชื้อ *S. mutans* สามารถเจริญอยู่ในช่องปากได้ แม้สภาวะในช่องปากจะมีความเป็นกรดต่ำ ในขณะที่ในสภาวะกรดนั้นจะมีความเป็นพิษต่อเซลล์ของเชื้ออื่น (รีวี เกียร์ ไพร์สแลด 2550 : 97-104)

อิมัลชัน (emulsions) จัดเป็นระบบที่ไม่มีความคงตัวทางเทอร์โมไดนามิกส์ (thermodynamically unstable system) ประกอบด้วยของเหลวอย่างน้อยสองชนิดซึ่งไม่ผสมเป็นเนื้อเดียวกัน (immiscible liquid) โดยของเหลวนิดหนึ่งเป็นหยดของเหลวที่กระจายอยู่ในของเหลวอีกชนิดหนึ่ง เรียกของเหลวที่กระจายตัวเป็นหยดเล็กๆ ว่า “วัฏภากภัยใน” (dispersed phase หรือ discontinuous phase หรือ internal phase) ส่วนของเหลวที่มีลักษณะต่อเนื่องนั้นเรียกว่า “วัฏภากภัยนอก” (continuous phase หรือ external phase) (เกษร จันทร์ศิริ 2551 ; Wright 1996 : 6-8 ; Hamouda et al. 2001 : 1-7) ตัวทำอิมัลชันส่วนใหญ่นักเป็นสารลดแรงตึงผิว (surfactant) ซึ่งไม่เลกุลประกอบด้วยส่วนที่ชอบน้ำ (hydrophilic หรือ oleophobic) และส่วนที่ไม่ชอบน้ำ (hydrophobic หรือ oleophilic) ระบบอิมัลชันที่ใช้มีอยู่ 2 ระบบคือ ระบบน้ำในน้ำมัน (w/o emulsion) และระบบน้ำมันในน้ำ (o/w emulsion) แต่ระบบที่นิยมใช้จะเป็นชนิดน้ำมันในน้ำ เนื่องจากเข้าได้กับน้ำสามารถถังออกได้ง่าย และสามารถใช้ในการนำส่งยาได้หลายชนิด (Shah, Bhalodia and Shelat 2010 : 24-32) นอกจากนี้แล้วระบบอิมัลชันยังมีความน่าสนใจในการนำมาใช้ เนื่องจากมีรายงานเกี่ยวกับการนำระบบอิมัลชันมาใช้ประโภช์ในการฆ่าเชื้อ ให้หลายชนิด เช่น *Candida albicans*, *Candida tropicalis*, *Microsporum gypseum*, *Trichophyton mentagrophytes*, *Trichophyton rubrum*, *Aspergillus fumigates*, *Bacillus subtilis* และ *Pseudomonas aeruginosa* เป็นต้น โดยอิมัลชันจะเข้าไปรวมตัวกับเยื่อหุ้มเซลล์ของเชื้อ แล้วทำลายเยื่อหุ้มเซลล์ทำให้เซลล์แตก (Shah et al. 2010 : 24-32) อีกทั้งการเตรียมสารที่มีฤทธิ์ในการฆ่าเชื้อให้อยู่ในรูปอิมัลชันนั้น ยังช่วยลดความเป็นพิษและความระคายเคืองต่อผิวหนังและเยื่อเมือกให้น้อยลงอีกด้วย (Myc et al. 2002 : 195-201 ; Chepurnov et al. 2003 : 315-320 ; Allaker and Douglas 2009 : 8-13 ; Kentish et al. 2008 : 170-175)

อิมัลชันที่สามารถใช้ในการฆ่าเชื้อโรคได้อย่างมีประสิทธิภาพนั้น การเป็นอิมัลชันที่มีขนาดอนุภาคเล็กกว่าระดับไมโครเมตร คือมีขนาดหยดของของเหลวอยู่ในช่วง 200-600 นาโนเมตร เนื่องจากจะเพิ่มโอกาสในการสัมผัสนับเบ็ด เชื้อให้มากขึ้น นานาอิมัลชันเป็นอิมัลชันขนาดเล็กกว่าระดับไมโครเมตร ในการเตรียมนานาโนอิมัลชันนั้นจำเป็นต้องให้พลังงานเข้าไปในระบบและต้องอาศัยเครื่องมือที่มีคุณสมบัติเฉพาะ ได้แก่ homogenizer, ultrasonic vibration และ high-pressure homogenizer (Wright 1996 : 6-8 ; Myc et al. 2002 : 195-201 ; Kentish et al. 2008 : 170-175 ; Jafari et al. 2008 : 1191-1202) เพื่อให้เกิดการกระจายอนุภาคของเหลวนิดหนึ่ง เช่น น้ำมัน ในของเหลวอีกชนิดหนึ่ง เช่น น้ำ และต้องใช้ปริมาณสารลดแรงตึงผิวที่มากพอในการเตรียม (Liedtke et al. 2000 : 183–185) โดยสารลดแรงตึงผิวแบ่งได้เป็นหลายกลุ่ม ขึ้นอยู่กับประจุไฟฟ้านส่วนหัว

ที่ละลายน้ำได้ดี (hydrophilic head) สำหรับส่วนหางจะไม่รวมกับน้ำแต่สามารถละลายในน้ำมันได้ดี (hydrophobic tail) สามารถแบ่งสารลดแรงตึงผิวออกเป็น 4 ประเภท ได้แก่

1. Anionic surfactant เป็นสารลดแรงตึงผิวที่ประจุไฟฟ้าน hydrophilic head ให้ประจุลบ ส่วนมากแสดงอยู่ในรูป carboxylate, sulfate หรือ phosphate สารลดแรงตึงผิวประเภทนี้จะมีผลซักฟอก ผลิตภัณฑ์ทำความสะอาด น้ำยาล้างชาม เป็นต้น

2. Cationic surfactant เป็นสารลดแรงตึงผิวที่ประจุไฟฟ้าน hydrophilic head ให้ประจุบวก ส่วนมากจะเป็นพาก quaternary สารลดแรงตึงผิวประเภทนี้ไม่สามารถทำงานได้ในสภาวะที่เป็นค่ากรด (pH 10-11) เนื่องจากเกลือแอมโมเนียมีการสูญเสียประจุบวก ทำให้เกิดการตกตะกอนได้ สารลดแรงตึงผิวประเภทนี้จะทำให้เกิดการระคายเคืองมากกว่าสารลดแรงตึงผิวประเภทแรกนิยมใช้ในพอกน้ำยาปรับผ้านุ่ม ครีมนวดผม และผลิตภัณฑ์จัดแต่งทรงผม เป็นต้น

3. Nonionic surfactant เป็นสารลดแรงตึงผิวที่ไม่มีประจุ โดยมีพอก polyether หรือ polyhydroxyl เป็นกลุ่มที่แสดงคุณสมบัติคล้ายพากที่มีประจุ ใช้มากในผลิตภัณฑ์ล้างทำความสะอาด พลิตภัณฑ์ทำความสะอาดพื้นผิว เป็นต้น

4. Amphoteric surfactant หรือ Zwitterions เป็นสารลดแรงตึงผิวที่มีประจุไฟฟ้าน hydrophilic head สามารถให้ได้ทั้งประจุบวกและประจุลบ โดยจะแสดงคุณสมบัติประเทตได้ขึ้นกับสภาพความเป็นกรด-ด่างของสภาวะแวดล้อม ถ้าสภาวะแวดล้อมเป็นด่าง ( $\text{pH} > 7$ ) ประจุไฟฟ้าน hydrophilic head จะให้ประจุลบ ถ้าสภาวะแวดล้อมเป็นกรด ( $\text{pH} < 7$ ) ประจุไฟฟ้าน hydrophilic head จะให้ประจุบวก และในสภาวะที่เป็นกลางจะไม่เกิดการให้ประจุไฟฟ้าน hydrophilic head สารลดแรงตึงผิวประเภทนี้นิยมใช้ในผลิตภัณฑ์เกี่ยวกับผิวหรือผม ปัจจุบันยังมีการนำมาใช้ในอยเมื่อเปรียบเทียบกับสารลดแรงตึงผิวประเภทอื่น (Holmberg et al. 2003 : 8-22)

สารลดแรงตึงผิวที่นิยมนำมาใช้ในทางเภสัชกรรมเกี่ยวกับผลิตภัณฑ์ในช่องปากและผิวนัง ได้แก่ สารลดแรงตึงผิวในกลุ่ม nonionic surfactant โดยเฉพาะสารในกลุ่มอนุพันธ์ของ polyoxyethylene castor oil เช่น Cremophor<sup>®</sup> RH40 ซึ่งเป็นสารลดแรงตึงผิวที่ไม่มีรสม สามารถใช้ในการละลายวิตามินหรือน้ำมันหอมระ夷ได้ดี อีกทั้งยังไม่เป็นพิษและไม่ก่อให้เกิดอาการแพ้ต่อสิ่งมีชีวิตอีกด้วย (Rowe, Sheskey, and Owen 2006 : 572-579)

นาโนอิมลชันเป็นระบบที่มีศักยภาพในการนำมาใช้ทางเภสัชกรรม เช่น ใช้เป็นระบบนำส่งยา (drug delivery system) โดยเฉพาะยาที่มีการละลายต่ำ เนื่องจากพบว่านาโนอิมลชันจะช่วยเพิ่มการละลายของยาและเพิ่มชีวประสิทธิผล (bioavailability) ของยา เช่น etoposide methotrexate และ fluorocarbon ซึ่งได้มีการนำมา nanoemulsion ใช้เตรียมยาที่ใช้ทางตา ทางผิวนัง หรือเป็นยารับประทาน เช่น ยาลดความดันโลหิต (antihypertensive drugs) และยาต้านอักเสบ (anti-

inflammatory drugs) เป็นต้น (เกยร์ จันทร์คิริ 2551 ; Chepurnov et al. 2003 : 315-320 ; Hibbard 2005 : 194-207 ; Allaker and Douglas 2009 : 8-13) นอกจากนี้ยังมีรายงานว่า nanoimulsion สามารถทำลายเชื้อหุ่มเซลล์ของแบคทีเรียก่อโรค (pathogen) ได้หลากหลายสายพันธุ์ โดยมีคุณสมบัติในการเลือกทำลายเฉพาะเชื้อหุ่มเซลล์ของเซลล์procariot และไวรัส แต่ไม่มีผลในการทำลายเซลล์ยูคาริโอตซึ่งเป็นเซลล์เนื้อเยื่ออ่อนนุ่มย์ (Chepurnov et al. 2003 : 315-320)

สารสกัดจากสมุนไพรบางชนิดโดยเดพะนำมันหอมระ夷จากพืชสมุนไพรแสดงความสามารถในการต้านจุลินทรีย์ก่อโรค ปัจจุบันนี้มีการนำสารสกัดจากพืชมาใช้เป็นสารต้านเชื้อจุลินทรีย์เป็นจำนวนมาก ซึ่งสารที่สกัดได้จากพืชนั้นจะเป็นสารพากจะะ โรมาติกหลายชนิด ส่วนมากจะเป็นสารจำพวกฟินอล และอนุพันธุ์ของฟินอล ซึ่งสารทั้งหมดนั้นเป็นเมแทบอไลท์ ทุติยภูมิ (secondary metabolites) สารผลิตภัณฑ์ธรรมชาติที่ได้จากพืชและมีฤทธิ์ต้านจุลินทรีย์ (antimicrobial activity) ได้แก่ phenol และ phenolic acids, quinines, flavonoids, tannins และ coumarins, terpenoids, alkaloids และ lectins ได้มีการนำสารสกัดจากพืชมาใช้ในผลิตภัณฑ์ดูแลช่องปาก โดยเดพะนำมายาบัวบานปากทัดแทนการใช้สารเคมีที่มีฤทธิ์ต้านจุลินทรีย์ สารเคมีเหล่านี้นั้น ได้แก่ povidone iodine, chlorhexidine และ cetylpyridinium chloride ตัวอย่างพืชหรือสารสกัด (extract) จากพืชที่มีฤทธิ์ต้านจุลินทรีย์ ได้แก่ มิสวาก (miswak) ซึ่งเป็นกิ่งไม้จากต้น *Salvadora persica* ซึ่งชาวมุสลิมนิยมใช้ทำความสะอาดฟัน นำมันทีทวี (tea tree oil) เป็นนำมันหอมระ夷 (essential oil) ที่สกัดได้จากใบของต้น *Melaleuca alternifolia* นำมันเปลเปลอร์มินต์ (peppermint oil) เป็นนำมันหอมระ夷ที่สกัดได้จากใบของต้น *Mentha piperita* (หรือรู้จักกันในชื่อ *M. balsamea* Willd.) สารสกัดจากใบชาเขียว (green tea) *Camellia sinensis* และน้ำผึ้งมา奴ก้า (manuka honey) เป็นน้ำผึ้งที่ได้จากต้น *Melaleuca* spp. เป็นต้น ในปัจจุบันนิยมนำนำมันหอมระ夷หรือสารสกัดเหล่านี้มาใช้เป็นส่วนประกอบในน้ำยาบัวบานปากเพื่อเพิ่มฤทธิ์ต้านจุลินทรีย์ โดยเดพะ เชื้อก่อโรคฟันผุและโรคเหงือกอักเสบ (Allaker and Douglas 2009 : 8-13) มีรายงานว่าการใช้น้ำมันหอมระ夷ร่วมกับหลายชนิดจะช่วยเสริมฤทธิ์กัน และลดอาการข้างเคียงจากการระคายเคืองผิวนัง ได้ นอกจากนี้ยังมีความเป็นพิษต่ำต่อผิวนังและช่องปาก (Price 1998 : 144-147)

จากการทบทวนวรรณกรรมที่ผ่านมาแสดงให้เห็นว่าระบบ nanoimulsion นี้ เป็นระบบที่มีประสิทธิภาพในการต้านจุลินทรีย์ อีกทั้งยังเป็นระบบที่ค่อนข้างปลอดภัย มีผลข้างเคียงต่ำ เนื่อเยื่อของนุ่มย์ต่ำ จึงเป็นระบบที่น่าสนใจ อย่างไรก็ตามระบบ nanoimulsion ยังเป็นระบบที่มีความคงตัวน้อย ยังไม่ค่อยได้รับการพัฒนา และยังไม่มีการนำมาใช้อย่างแพร่หลายนักในการนำมาเตรียมเป็นน้ำยาฆ่าเชื้อและน้ำยาบัวบานปาก นอกจากนี้ในปัจจุบันยังมีงานวิจัยจำนวนมากที่ทำการศึกษาถึงสารสกัดจากพืชที่มีฤทธิ์ยังการเจริญเติบโตของเชื้อ *S. mutans* งานวิจัยนี้จึงสนใจ

ศึกษาถึงปัจจัยที่มีผลต่อความคงตัวของน้ำมันหอมระ夷ในรูปนาโนอิมัลชัน โดยศึกษาถึงปัจจัยในด้านต่าง ๆ เช่น ชนิดของน้ำมัน ชนิดและปริมาณของสารลดแรงตึงผิว รวมทั้งศึกษาฤทธิ์ในการฆ่าเชื้อของน้ำมันหอมระ夷ในรูปนาโนอิมัลชัน เพื่อเป็นประโยชน์ในการเตรียมและพัฒนานาโนอิมัลชันที่มีความคงตัวและมีฤทธิ์ต้านเชื้อก่อโรค อีกทั้งยังใช้เป็นทางเลือกในการออกแบบน้ำยาฆ่าเชื้อและน้ำยาบ้วนปากเพื่อใช้ประโยชน์ทางด้านเภสัชกรรมภายในประเทศต่อไป

### ความผุ่งหมายและวัตถุประสงค์ของการศึกษา

1. การศึกษาผลของสารลดแรงตึงผิว (polyoxyethylene sorbitan monostearate (POS), PEG-40 hydrogenated castor oil (PGO), sodium lauryl sulphate (SLS) และ poloxamer (PLX) ต่อความคงตัวของระบบอิมัลชันชนิดน้ำมันในน้ำ
2. การศึกษารูปแบบของน้ำมันหอมระ夷 ได้แก่ น้ำมันสเปียร์มินต์, น้ำมันเบปเปอร์มินต์, น้ำมันออยปามินต์ น้ำมันยูคาลิปตัส และน้ำมันทีทรีต่อความคงตัวของระบบอิมัลชัน
3. ศึกษาฤทธิ์การยับยั้งเชื้อ *S. mutans* ของอิมัลชัน

### สมมติฐานของการศึกษา

1. ปัจจัยต่างๆ ได้แก่ ชนิดของน้ำมัน (น้ำมันถั่วเหลือง, น้ำมันกานพลู และน้ำมันหอมระ夷ชนิดต่างๆ ได้แก่ น้ำมันสเปียร์มินต์ น้ำมันเบปเปอร์มินต์ น้ำมันออยปามินต์ น้ำมันยูคาลิปตัส และน้ำมันทีทรี) ชนิดและปริมาณของสารลดแรงตึงผิว (POS, PGO, SLS และ PLX) มีผลต่อความคงตัวของระบบอิมัลชันและสามารถเตรียมอิมัลชันที่มีความคงตัวได้
2. อิมัลชันที่เตรียมได้มีฤทธิ์ยับยั้งเชื้อ *Streptococcus mutans*

### ขอบเขตของการศึกษา

1. น้ำมันที่ใช้ในการเตรียมอิมัลชัน
 

น้ำมันถั่วเหลือง น้ำมันกานพลู และน้ำมันหอมระ夷 ได้แก่ น้ำมันสเปียร์มินต์ น้ำมันเบปเปอร์มินต์ น้ำมันออยปามินต์ น้ำมันยูคาลิปตัส และน้ำมันทีทรี
2. สารลดแรงตึงผิวที่ใช้ในการเตรียมอิมัลชัน
 

POS, PGO, SLS และ PLX
3. ศึกษาความคงตัวของอิมัลชันที่อุณหภูมิ 25 องศาเซลเซียส และสภาวะเร่งโดยสลับอุณหภูมิ 4 องศาเซลเซียส กับ 45 องศาเซลเซียส 6 รอบ

4. ศึกษาลักษณะทางกายภาพได้แก่ ขนาดอนุภาคของหยดน้ำมัน ค่าความต่างศักย์ไฟฟ้าที่พื้นผิวน้ำนม ความหนืด และค่าความเป็นกรด-ด่างของอิมัลชัน โดยวิธีต่อไปนี้

4.1 ขนาดอนุภาคของหยดน้ำมันวัดโดยใช้เครื่องวัดขนาดอนุภาค

4.2 ค่าความหนืดโดยใช้เครื่อง Brookfield Digital Viscometer

4.3 ค่าความต่างศักย์ไฟฟ้าที่พื้นผิวน้ำนมวัดโดยใช้เครื่อง Zeta plus

4.4 ค่าความเป็นกรด-ด่างวัดโดยใช้เครื่อง pH meter

5. ศึกษาความสามารถในการยับยั้งเชื้อแบคทีเรียโดยเชื้อแบคทีเรียที่ทดสอบคือ เชื้อ *Streptococcus mutans* 104B (*S. mutans*) ด้วยวิธีเจือจางในอาหารเหลว (broth dilution) โดยทดสอบอิมัลชันที่ไม่เจือจาง เจือจาง 10 และ 100 เท่าตามลำดับ

## บทที่ 2

### ทบทวนวรรณกรรม

#### โรคฟันผุ

โรคฟันผุเป็นโรคในช่องปากที่พบได้ตั้งแต่วัยเด็กจนถึงวัยผู้ใหญ่ สาเหตุของโรคฟันผุนั้นเกิดจากคราบจุลินทรีย์ (microbial plaque) โดยจุลินทรีย์ส่วนใหญ่เป็นแบคทีเรีย ซึ่งแบคทีเรียที่อยู่ในคราบจุลินทรีย์นั้นก็มักเป็นจุลินทรีย์ปัจจัยในช่องปากนั้นเอง

#### คราบจุลินทรีย์

คราบจุลินทรีย์หมายถึงแผ่นคราบที่มีจุลินทรีย์เป็นส่วนประกอบที่สำคัญ นอกจากนั้นก็จะเป็นสารพอกอินทรีย์ และสารอนินทรีย์ คราบจุลินทรีย์เกิดขึ้นได้ทุกแห่งในช่องปาก มักพบบนส่วนที่แข็ง ไม่ค่อยเคลื่อนไหว ลิ้นกวาดไปไม่ถึง และทำความสะอาดได้ไม่เพียงพอ ซึ่งพบมากบนฟัน ซอกฟัน พื้นปลอม และบนวัสดุอุดฟัน คราบจุลินทรีย์ในบริเวณต่าง ๆ ประกอบด้วยแบคทีเรียต่างชนิดกันไป และเนื่องจากคราบจุลินทรีย์ประกอบด้วยแบคทีเรียเป็นส่วนใหญ่ บางครั้งเราอาจเรียกว่า คราบแบคทีเรีย หรือคราฟัน (dental plaque)

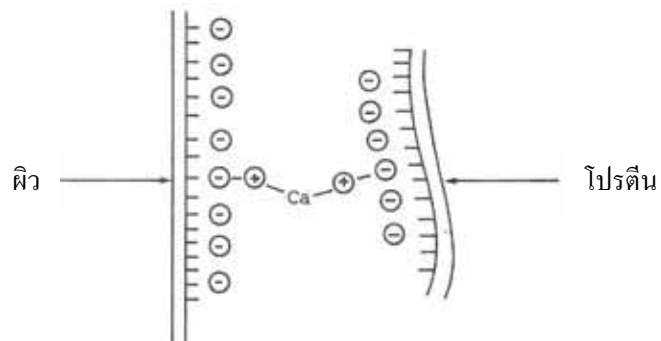
คราบจุลินทรีย์มีลักษณะนุ่มนวลนี้ด้วยติดกับผิวเคลือบฟัน หรือเคลือบราชฟัน โดยคราบจุลินทรีย์ที่เกิดใหม่จะหลุดออกได้ถ้าแปรงฟันถูกวิธีและทั่วถึง ซึ่งการแปรงฟันแบบธรรมชาติทั่วไปจะไม่สามารถขัดคราบจุลินทรีย์เก่าออกได้ คราบจุลินทรีย์จะมีสีขาวขุ่นจนถึงสีเหลืองอ่อน ขึ้นอยู่กับความเก่าของคราบจุลินทรีย์

#### ส่วนประกอบของคราบจุลินทรีย์

คราบจุลินทรีย์มีส่วนประกอบสำคัญ คือ

1. เยื่อจำ妃น (acquired pellicle)
2. จุลินทรีย์ (microbial)
3. สารีดเซลล์ (intercellular matrix)
4. สารอื่น ๆ เช่น สารอินทรีย์ และสารอนินทรีย์

เยื่อจาบฟัน (acquired pellicle) มีลักษณะบางใสคล้ายรอบฟัน เกิดจาก โปรตีน (protein) และ ไกลโคโปรตีน (glycoprotein) ในน้ำลาย โดยผิวฟันจะดูดซับ โปรตีนจากน้ำลาย การดูดซับนั้น เกิดจากปฏิกิริยาไฟฟ้าสถิต (electrostatic interaction) ผิวฟันที่แห้งสะอาดมีประจุลบ โปรตีนที่อยู่บนผนังเซลล์ของแบคทีเรียก็มีประจุลบเช่นกัน ดังนั้นการเกิดอันตรายร้ายจะต้องมีไอออนบวก เป็นสะพาน และ ไอออนนั้นก็คือแคลเซียม (ภาพที่ 1) เยื่อจาบฟันนี้เกิดรวดเร็วมาก เกิดได้ภายใน ไม่กี่นาทีหลังแปรงฟัน เยื่อจาบฟันจะทำหน้าที่ป้องกันฟันจากอันตรายของสารที่อยู่รอบฟัน เช่น การกัดกร่อนจากการที่แบคทีเรียผลิตขึ้นในปาก และป้องกันไม่ให้แบคทีเรียเกาะกับเคลือบฟัน แต่ แบคทีเรียบางชนิดก็จะเกาะเยื่อจาบฟันได้ดี และมีการแบ่งตัวบนเยื่อจาบฟัน จึงเป็นการเริ่มต้นของการเกิดคราบจุลินทรีย์



ภาพที่ 1 การเกาะของโปรตีนกับผิวฟัน โดยมีแคลเซียมเป็นสะพาน

ที่มา : พวงเพ็ชร เดชะประทุมวัน, สารต้านฟันผุและสารลดคราบจุลินทรีย์ (กรุงเทพฯ : โรงพยาบาลจุฬาลงกรณ์มหาวิทยาลัย, 2536), 12.

จุลินทรีย์ (microbial) จุลินทรีย์ในคราบจุลินทรีย์ส่วนใหญ่มักเป็นแบคทีเรีย โดย แบคทีเรียที่สำคัญได้แก่ Streptococcus, Actinomyces, Neisseria และ Bacteroids คราบจุลินทรีย์ ประกอบด้วยแบคทีเรียประมาณ 70-80% นอกจากแบคทีเรียแล้วก็ยังมีเชื้อราก (fungi) ปรอตอซัว (protozoa) และไวรัส (virus) เล็กน้อย

แบคทีเรียสามารถยึดกับฟันโดยตรงได้ พนที่บริเวณหลุมและร่องฟัน แต่ส่วนใหญ่จะเกาะกับเยื่อจาบฟัน ในระยะเริ่มเกิดคราบจุลินทรีย์ แบคทีเรียที่พบได้มากที่สุด คือ Streptococcus โดย Streptococcus หลายสายพันธุ์สามารถผลิตกรดในคราบจุลินทรีย์ได้

สารยึดเซลล์ (intercellular matrix) เมื่อแบคทีเรียเกาะบนเยื่อจาบฟัน จะเกิดการแบ่งตัว แบคทีเรียที่เกาะบนเยื่อจาบฟันได้ง่าย ได้แก่ Streptococcus โดยเฉพาะ *Streptococcus mutans* ซึ่ง เป็นแบคทีเรียสำคัญในการสร้างสารยึดเซลล์จากน้ำตาลซูโคส คือ dextran หรือ glucans ซึ่งมีความ

เห็นยวและจะทำหน้าที่คล้ายการยึดให้ทราบจุลินทรีที่ติดอยู่กับผิวฟัน และยึดเซลล์แบบที่เรียกว่า ด้วยกันและยังเป็นที่เกาะของแบบที่เรียกว่าพิมพ์

**สารอื่น ๆ** ได้แก่ เซลล์บุผิว (epithelium) ที่หลุดลอกออกมา สารอินทรีต่าง ๆ ที่ได้จากน้ำลาย และจากการทำลายของแบบที่เรียกว่า สารอนินทรีต่างๆ เช่น calcium, phosphate และ hydroxyapatite

### ชนิดของทราบจุลินทรี

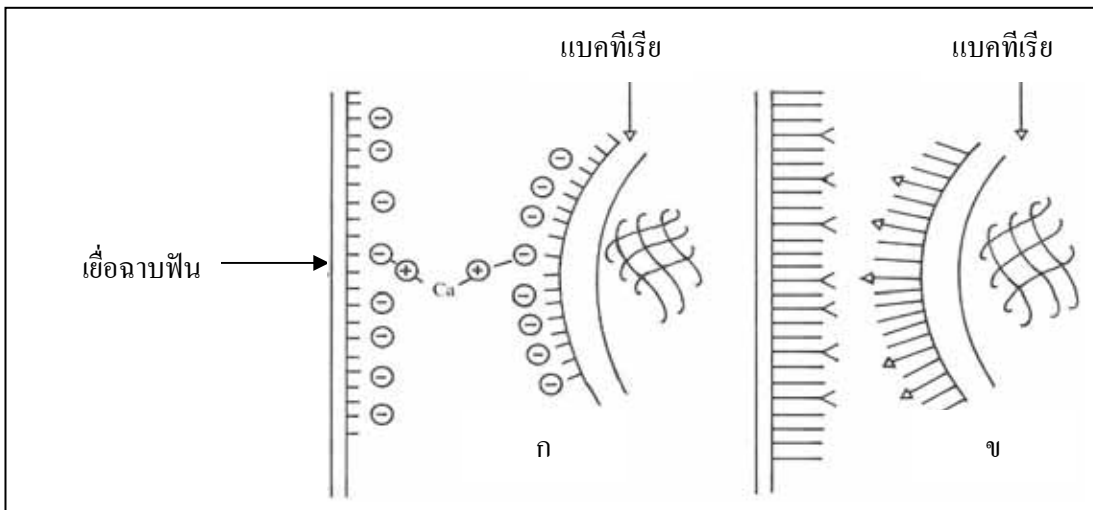
ทราบจุลินทรีแบ่งออกเป็น 2 ชนิด ตามตำแหน่งที่เกิดขึ้น ได้แก่ ทราบจุลินทรีที่อยู่เหนือเหงือก (supragingival plaque) และทราบจุลินทรีที่อยู่ใต้เหงือก (subgingival plaque) การเจริญของทราบจุลินทรีที่อยู่ใต้เหงือกนั้นจะมากกว่าทราบจุลินทรีที่อยู่เหนือเหงือก

### การสร้างทราบจุลินทรี

การสร้างทราบจุลินทรี โดยทั่วไปทราบจุลินทรีจะประกอบด้วย เยื่อจางฟัน แบบที่เรียกและอาหาร โดยเฉพาะ โปรตีนและคาร์โบไฮเดรท สามารถแบ่งการเกิดทราบจุลินทรี ออกเป็น 3 ระยะคือ

1. การเกาะยึดของแบบที่เรียกับฟัน หรือเยื่อจางฟัน
2. การแบ่งตัวอย่างรวดเร็วของแบบที่เรียก
3. การขยายตัวเป็นทราบจุลินทรีบนฟัน

การเกาะของแบบที่เรียบนเยื่อจางฟัน จะต้องยึดให้คงที่อยู่และมีการแบ่งตัว โดยอาศัย 2 วิธี คือ วิธีแรกจะเหมือนกับการจับของโปรตีนกับผิวของฟัน คือผิวของเยื่อจางฟันจะมีประจุลบ ผิวของแบบที่เรียกมีประจุลบ การยึดจะผ่านสะพานไอก่อนของแคลเซียม ซึ่งมีประจุตรงข้าม (ภาพที่ 2.ก) ด้วยเหตุนี้จะมีแรงค่อยดันให้ออกจากกัน แบบที่เรียกจะต้องช่วยด้วยการยื้นส่วนของเซลล์ (appendages) ไปจับอีกแรงหนึ่งเพื่อให้อยู่แน่น วิธีที่ 2 คือ บนผิวของเยื่อจางฟัน จะมีลักษณะพิเศษ พอเหมาะสมคล้ายการจับกับรีเซปเตอร์ (receptor) ซึ่งจะสามารถได้พอเหมาะสมกับโปรตีนที่อยู่บนผิวของเซลล์แบบที่เรียก หรือแบบแม่กุญแจกับลูกกุญแจ (ภาพที่ 2.ข)



ภาพที่ 2 การเกาะของแบคทีเรียกับเยื่อจาบฟัน ก. โดยมีแคลเซียมเป็นสะพาน ข. โดยวิธี receptor ที่มา : พวงเพ็ชร เดชะประทุมวัน, สารต้านฟันผุและสารลดคราบจุลินทรีย์ (กรุงเทพฯ : โรงพิมพ์ จุฬาลงกรณ์มหาวิทยาลัย, 2536), 13.

ระยะแรกที่แบคทีเรียเริ่มแบ่งตัว จะขยายต่อเรียงกันเป็นเซลล์ชั้นเดียว เรียงเซลล์ต่อเซลล์ ดังนั้นจะเป็นการขยายทางกว้างมากกว่าทางหนา หรือมีการแบ่งตัวเป็นกลุ่มเล็ก ๆ ซึ่งการแบ่งตัวนี้จะเกิดขึ้นได้ในเวลา 2-3 ชั่วโมง แบคทีเรีย *S. mutans* จะเจริญเติบโตได้ดีอย่างรวดเร็ว แบคทีเรียนิดนึงมีคุณสมบัติที่น่าสนใจคือ มีเอนไซม์ที่สามารถย่อยน้ำตาลชูโครส และเชื่อมต่อน้ำตาลให้เป็น dextrans หรือ glucans และ levans ซึ่ง dextrans หรือ glucans จะถูกน้ำลายน้ำได้น้อย มีลักษณะเหนียวจะทำหน้าที่เป็นการขัดคราบจุลินทรีย์ให้ติดกับฟัน และขัดเซลล์แบคทีเรียไว้ด้วยกัน และเป็นที่เกาะของแบคทีเรียที่มาทีหลัง และยังเป็นส่วนประกอบสำคัญของคราบจุลินทรีย์ (ประมาณ 20 เพรเซ็นต์) ส่วนที่ถูกน้ำได้บ้างก็จะใช้เป็นอาหารและพลังงานของแบคทีเรีย levans จะถูกน้ำได้ และเป็นแหล่งให้อาหารและพลังงานที่สำคัญของแบคทีเรีย นอกจากนี้จากอาหารที่ได้จากภายนอก

แบคทีเรียในคราบจุลินทรีย์แบ่งตัวได้อย่างรวดเร็ว ภายในเวลา 12-24 ชั่วโมง จะมีขนาดใหญ่พอที่จะมองเห็นได้ แบคทีเรียที่เจริญในระยะแรกจะเป็นพวก cocci ที่เจริญในอากาศได้ (aerobic-cocci) และจะแบ่งตัวขยายตามความกว้างมากกว่าความหนา และต่อมาเกิดมีการเพิ่มตัวทางด้านความหนาด้วย ส่งผลให้ชั้นในของคราบจุลินทรีย์มีอوكซิเจนน้อย และมีแบคทีเรียที่ไม่ต้องการอوكซิเจน (anaerobic bacteria) เจริญเติบโตอยู่ข้างใต้ ทำให้สัดส่วนของแบคทีเรียในคราบจุลินทรีย์เปลี่ยนแปลงไป

## ทราบจุลินทรีย์และฟันผุ

ตั้งแต่ปลายคริสต์ศตวรรษที่ 19 ได้มีผู้บรรยายถึงเรื่องฟันผุว่า เกิดจากกรดอินทรีย์กัดกร่อนแคลเซียมฟอสเฟตบนเคลือบฟัน จนถึงปัจจุบันก็ยังเชื่อทฤษฎีของกรดว่าเป็นตัวทำให้เกิดฟันผุ

ในปัจจุบันเป็นที่ยอมรับกันแล้วว่า ฟันผุเริ่มจากทราบจุลินทรีย์ แบคทีเรียในทราบจุลินทรีย์จะสร้างกรดอินทรีย์หลายชนิด กรดที่สำคัญคือกรดแลคติก (lactic acid) กรดชนิดนี้จะทำลายผิวเคลือบฟันและเนื้อฟัน ถ้าการทำลายนั้นมีการสูญเสียนื้อฟันไปมาก จะเรียกว่า ฟันผุ

เคลือบฟันเป็นส่วนที่มีแร่ธาตุมากที่สุดของร่างกาย แร่ธาตุนั้นได้แก่ เกลือแคลเซียม และ เกลือฟอสเฟต รูปเกลือที่สำคัญคือ hydroxyapatite เคลือบฟันแม้จะแข็งมาก คุรีนและแน่น แต่ที่ผิวของเคลือบฟันจะมีรูเล็ก ๆ มาก many ที่ยอมให้อ่อนที่มีขนาดเล็ก เช่น โซเดียม ไอออน แคลเซียม ไอออน และฟลูออไรด์ ไอออน เข้าไปได้ hydroxyapatite ละลายได้ง่ายในการละลายจะขึ้นอยู่กับความเป็นกรดด่าง (pH) อุณหภูมิ และ ไอออนที่อยู่โดยรอบ

แบคทีเรียหลายสายพันธุ์ในทราบจุลินทรีย์สามารถสร้างกรดจากคาร์โบไฮเดรตได้ แบคทีเรียที่ได้รับความสนใจและมีการค้นคว้าวิจัยมาก คือ *S. mutans* และ *Lactobacillus spp.* สำหรับ *Streptococcus* นั้นพบว่า สามารถผลิตกรดจากน้ำตาล ได้อย่างรวดเร็ว และสามารถสร้างสารยึดเซลล์ได้อีกด้วย สารยึดเซลล์ทำให้แบคทีเรียอยู่ร่วมกัน เป็นแหล่งอาหารและพลังงานของแบคทีเรีย จากรายงานการศึกษาความเป็นกรดของทราบจุลินทรีย์พบว่าทราบจุลินทรีย์ก่อนรับประทานอาหารจะมีความเป็นกรดด่างประมาณ 6.5-7 แต่ภายหลังการรับประทานอาหารจะมีความเป็นกรดเพิ่มขึ้นอย่างรวดเร็ว และมีระยะเวลาที่มีความเป็นกรดต่ำกว่า 5.5 ซึ่งถือว่าเป็นอันตรายต่อเคลือบฟัน ความเป็นกรดในช่องปากจะมากหรือน้อยจะขึ้นอยู่กับอาหารที่รับประทานถ้าเป็นอาหารพอกน้ำตาล โดยเฉพาะน้ำตาลซูโคสความเป็นกรดจะเพิ่มขึ้นอย่างรวดเร็ว ส่งผลให้มีการละลายของ hydroxyapatite ที่เคลือบฟัน เคลือบฟันจะอ่อนตัว และสลายออกมาได้ง่าย ทำให้มีรอยแพลงของเคลือบฟัน และเมื่อแพลงว่างและลึกมากขึ้น ก็จะกลายเป็นฟันผุในเวลาต่อมา

แบคทีเรียในทราบจุลินทรีย์ สามารถสร้างกรดได้เร็วช้าแตกต่างกัน *Streptococci*, *Lactobacilli*, *Actinomyces* และยีสต์ เป็นจุลินทรีย์ที่สามารถสร้างกรดได้มาก โดย *Streptococcus* จะสร้างกรดได้มากและรวดเร็วกว่าจุลินทรีย์ชนิดอื่น ในคนที่มีอัตราการเกิดฟันผุสูงจะพบปริมาณของ *S. mutans* ในน้ำลายและในทราบจุลินทรีย์สูงกว่าในคนที่มีอัตราฟันผุต่ำ ดังนั้นหากไม่มีแบคทีเรียที่สามารถผลิตกรดได้ภายในทราบจุลินทรีย์ ฟันก็จะไม่ผุ

อย่างไรก็ตาม โรคฟันผุในมนุษย์นั้นไม่ได้เกิดจากแบคทีเรียเพียงชนิดเดียว แต่เกิดจาก การทำงานร่วมกันของแบคทีเรียหลายชนิด ในระยะแรกเมื่อได้รับน้ำตาล แบคทีเรียที่สามารถสร้าง

กรดทุกตัวจะสร้างกรดจากน้ำตาล เมื่อจำนวนกรดในคราบจุลินทรีย์เพิ่มมากขึ้นจนถึงระดับหนึ่ง แบคทีเรียหลายสายพันธุ์ก็จะหยุดเจริญเติบโต เพราะเกิดภาวะที่ไม่เหมาะสมต่อการเจริญเติบโตหรือเพิ่มจำนวน แต่ *S. mutans* ยังคงสามารถเจริญต่อไปได้ในภาวะที่เป็นกรด

โดยทั่วไปมักพบฟันผุตามตำแหน่งที่ผู้ได้ 2 ชนิด คือ ฟันผุที่เกิดบนผิวเรียบ (smooth surface caries) (ภาพที่ 3 ก) และ ฟันผุที่หลุมและร่องฟัน (pit and fissure caries) (ภาพที่ 3 ข) คราบจุลินทรีย์ในแต่ละตำแหน่งจะมีแบคทีเรียแตกต่างกัน คราบจุลินทรีย์บนผิวเรียบ จะมี *S. mutans* (เนื่องจากมีการสร้างกลุ่มคนทำให้เก่าได้ดี) และ *S. salivaris* มาก ลักษณะของแพลงก์ตอนผุเริ่มเป็นจุดสำหรับคราบจุลินทรีย์ที่หลุมและร่องฟันจะพบ *S. sanguis*, *S. mutans* และ *Lactobacilli* มาก ลักษณะแพลงก์ผุที่เกิดตามหลุมและร่องฟัน มักชอนไปข้างใต้ในเนื้อฟัน มีความกว้างข้างใต้มากกว่าที่มองเห็น การเก่าของแบคทีเรียที่หลุมและร่องฟันนี้ อาจเก่าได้โดยตรงไม่จำเป็นต้องอาศัยเยื่อชานฟัน การผุที่หลุมและร่องฟันมีอัตราการผุสูงที่สุด



ภาพที่ 3 ชนิดของฟันผุ : ก) smooth surface caries ข) pit and fissure caries

ที่มา : Maple Tech International LLC, [Tooth Decay \[Online\]](#), accessed 1 September 2009.

Available from <http://www.dentistdig.com/g/tooth-decay.html>

### การละลายของเคลือบฟันและเนื้อฟัน

การเกิดฟันผุนั้น เกิดจากการละลายของฟัน หรือ hydroxyapatite ทำให้ฟันเปื่อยและหลุดออก เกิดเป็นโพรงฟันผุ การละลายนี้เกิดขึ้นจากการดึงแคลเซียมออกด้วยสารไดสารหนึ่งโดยการเกิดคีเลชัน (chelation) เช่น lactate สามารถดึงเอาแคลเซียมมารวมกับฟันได้และการดึงเอาแคลเซียมวิธีนี้ไม่จำเป็นต้องอาศัยสภาพที่เป็นกรด หรืออีกวิธีหนึ่งการละลายฟัน โดยเน้นใช้มือแบคทีเรียซึ่งจะทำลายสารอินทรีย์ที่แทรกอยู่ระหว่าง hydroxyapatite ทำให้ hydroxyapatite หลุดออกไปง่าย หรือแบคทีเรียมีเอนไซม์ที่สามารถดึงเอาฟอสฟे�ตออกไปจาก hydroxyapatite ทำให้มีการสลายของฟัน แต่ก็ยังไม่มีผลการวิจัยที่สนับสนุนเพียงพอ จึงยังคงเชื่อทฤษฎีที่ว่ากรดอินทรีย์ที่แบคทีเรียสร้างขึ้นละลาย hydroxyapatite เหตุผลที่สนับสนุนทฤษฎีนี้คือ การคืนพบคราบจุลินทรีย์

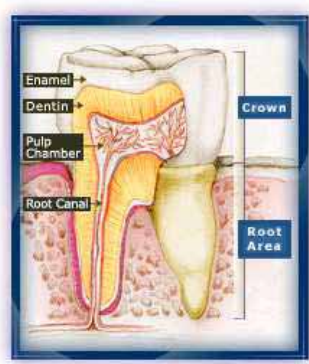
เมื่อมีน้ำตาล จะมีความเป็นกรดต่ำกว่า 5.5 อยู่ระยะหนึ่ง จากการสำรวจความเป็นกรดด่างพบว่าในบริเวณรอบ ๆ ฟันผุจะมีความเป็นกรดสูงกว่าบริเวณที่ไม่ผุ และการสำรวจแบบที่เรียกในช่องปากพบว่าในคนที่มีอัตราการเกิดฟันผุสูง จะมี *S. mutans* และ *Lactobacilli* สูงกว่าคนที่มีอัตราการเกิดฟันผุต่ำ และแบบที่เรียกว่า 2 ชนิดนี้สามารถผลิตกรดได้มากและรวดเร็ว

### ลักษณะของฟันที่มีสุขภาพดีและฟันผุ

#### 1. Healthy Tooth (ภาพที่ 4)

ฟันสุขภาพดีนั้นมีส่วนประกอบสำคัญ 3 ส่วน คือ

1. Enamel หรือพิวฟัน เป็นชั้นที่มีลักษณะแข็งคล้ายกับ crystal
2. Dentin หรือเนื้อฟัน เป็นชั้นที่อยู่ถัดจากพิวฟัน มีลักษณะอ่อนนุ่มกว่า
3. Pulp chamber หรือประสาทฟัน บริเวณนี้จะมีเส้นประสาทและเส้นเลือดจำนวนมาก



ภาพที่ 4 Structure of Healthy Tooth

ที่มา : Columbia University College of Dental Medicine, [Illustrations: How a Tooth Decays](#)

[Online], accessed 22 March 2010. Available from

<http://www.simplestepsdental.com/SS/ihtSS/r.WSIHW000/st.31843/t.31886/pr.3.html>

#### 2. White Spots (ภาพที่ 5)

แบบที่เรียกจะผลิตกรดโดยอาศัยน้ำตาลซึ่งกรดและสารโภชนาค์ไปไซเดรต หลังจากนั้นกรดจะกัดกร่อนบริเวณพิวฟันชั้นนอกเรียกว่า ปฏิกิริยา demineralization ลักษณะที่สังเกตเห็นได้คือ เกิดเป็นจุดสีขาวคล้ายขอลึก

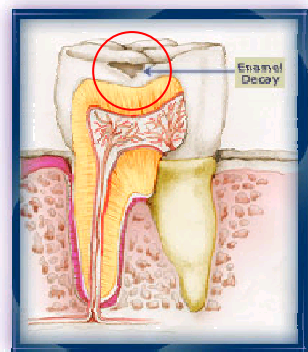


ภาพที่ 5 White Spots

ที่มา : Columbia University College of Dental Medicine, Illustrations: How a Tooth Decays [Online], accessed 22 March 2010. Available from <http://www.simplestepsdental.com/SS/ihtSS/r.WSIHW000/st.31843/t.31886/pr.3.html>

### 3. Enamel Decay (ภาพที่ 6)

ปฏิกิริยา demineralization เกิดขึ้นอย่างต่อเนื่อง ส่งผลให้ผิวฟันเริ่มเสีย และแตก

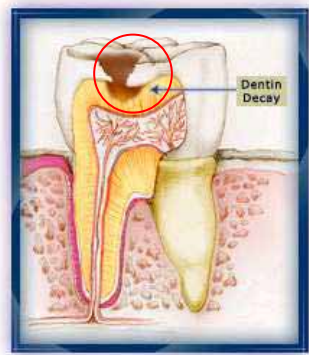


ภาพที่ 6 Enamel Decay

ที่มา : Columbia University College of Dental Medicine, Illustrations: How a Tooth Decays [Online], accessed 22 March 2010. Available from <http://www.simplestepsdental.com/SS/ihtSS/r.WSIHW000/st.31843/t.31886/pr.3.html>

#### 4. Dentin Decay (ภาพที่ 7)

การผุคลุกตามเข้าไปถึงเนื้อฟันทำให้เกิดการแพร่กระจายและเกิดเป็นโพรงใต้ผิวฟันขึ้น



ภาพที่ 7 Dentin Decay

ที่มา : Columbia University College of Dental Medicine, [Illustrations: How a Tooth Decays](#)

[Online], accessed 22 March 2010. Available from

<http://www.simplestepsdental.com/SS/ihtSS/r.WSIHW000/st.31843/t.31886/pr.3.html>

#### 5. Pulp Involvement (ภาพที่ 8)

เกิดการผุซึ่งประสาทฟัน ซึ่งเป็นบริเวณที่มีเส้นประสาทและเส้นเลือดอยู่มาก ทำให้เนื้อเยื่อรอบ ๆ ฟันบวมหรือเกิดเป็นแผลทำให้ผิวของเหงือกเปิดได้



ภาพที่ 8 Pulp Involvement

ที่มา : Columbia University College of Dental Medicine, [Illustrations: How a Tooth Decays](#)

[Online], accessed 22 March 2010. Available from

<http://www.simplestepsdental.com/SS/ihtSS/r.WSIHW000/st.31843/t.31886/pr.3.html>

## ปัจจัยในการเกิดพื้นผุ

คราบจุลินทรีย์เป็นสาเหตุของพื้นผุ และการที่ฟันจะผุนนั้นแบคทีเรียในคราบจุลินทรีย์ จะต้องผลิตกรดมากพอ จนทำให้ความเป็นกรดสูงถึงระดับที่เป็นอันตรายต่อฟัน ฉะนั้นปัจจัยของ การเกิดพื้นผุจะต้องประกอบด้วย แบคทีเรีย อาหาร(น้ำตาล) ฟัน และเวลาที่เพียงพอที่แบคทีเรียจะ สร้างกรดและทำลายฟันก่อนที่จะถูกกำจัดออกໄไป การแปรรูปฟันบ่อย ๆ และไม่รับประทานน้ำตาล จะเกิดพื้นผุได้น้อย

น้ำลาย แม้จะมีแบคทีเรีย และอาหารของแบคทีเรียนามากมาย แต่ก็มีคุณสมบัติหลายอย่าง ใน การป้องกันฟัน น้ำลายจะหล่อเลี้ยงปากและฟัน ช่วยชะล่อบนฟันและปากเนื่องจากมี การขับน้ำลายและมีการกลืนตลอดเวลา นอกจากนั้นน้ำลายยังประกอบด้วยโปรตีนที่จะไปสร้างเยื่อ น้ำฟัน มีสารภูมิคุ้มกัน และมีสารต้านจุลชีพ ซึ่งทำให้ปากปราศจากโรคทั้ง ๆ ที่มีจุลินทรีย์มากมาย นอกจากนั้นยังมีสารอนินทรีย์หลายอย่าง ซึ่งอยู่ในสภาพเป็นไออกอนามากมายที่สำคัญก็คือ แคลเซียม และฟอสเฟต และยังมี hydroxyapatite ด้วย เมื่อมีการละลายของ hydroxyapatite จากฟัน ก็สามารถ มี hydroxyapatite ตกผลึกกลับบนฟัน จากแคลเซียมและฟอสเฟตที่มีในน้ำลาย และจะพบปฏิกิริยา อย่างนี้ในปากตลอดเวลา และมีสมดุลกัน ที่ค่าพีเอชเป็นกลางจะเกิดปฏิกิริยานี้น้อย แต่ถ้ามีค่าพีเอช เป็นกรดจะตกรด ได้เร็วกว่า ทั้งนี้ต้องมีแคลเซียมและฟอสเฟตเพียงพอ

## ความรู้พื้นฐานของแบคทีเรีย

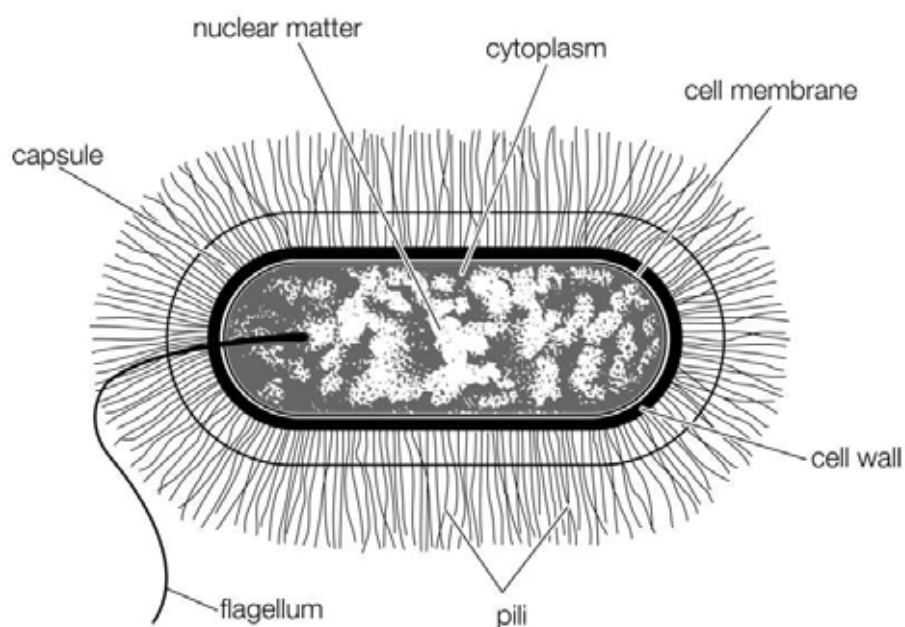
### รูปร่างและขนาด (Shape and size)

แบคทีเรียจำแนกตามลักษณะรูปร่างได้ 3 ชนิด ได้แก่ รูปร่างกลมหรือรี เรียกโคกโคน (cocci) รูปร่างเป็นแท่ง เรียกแบคซิลลิ (bacilli) และรูปร่างเป็นเกลียวเรียกสไปโรคีต (spirochaetes) แบคทีเรียบางสายพันธุ์อาจมีรูปร่างได้หลายรูปแบบ เช่น ทั้งกลมและเป็นแท่งเรียกพลีโอมอร์ฟิก (pleomorphic)

แบคทีเรียมีขนาดได้ตั้งแต่ 0.2 ไมโครเมตร ถึง 5 ไมโครเมตร ขนาดของแบคทีเรียที่เล็ก ที่สุดเท่ากับไวรัสที่มีขนาดใหญ่ที่สุด การเรียงตัวของแบคทีเรียนั่งๆ มีลักษณะที่แน่นอน นักจะ เป็นตามทิศทางที่แบคทีเรียแบ่งตัวเพิ่มจำนวน แบคทีเรียที่มีการเรียงตัวเป็นคู่เรียกว่า โพลโคกโคน (diplococci) เป็นเส้นยวารียกสเตรปโടโคกโคน (streptococci) หรือเรียงตัวจับกันเป็นกลุ่มเรียก สเตฟฟิโลโคกโคน (staphylococci)

### โครงสร้าง (Structure)

แบคทีเรียเป็นจุลชีพเซลล์เดียว ที่มีผนังหุ้มเซลล์ (cell wall) ที่แข็งและมีรูปร่างที่ซัดเจน ช่วยห่อหุ้มของเหลวในไซโทพลาสซึม และมีผนังหุ้มไซโทพลาสซึม (cytoplasmic membrane) ลักษณะโครงสร้างของแบคทีเรียโดยพื้นฐาน (ภาพที่ 9) มีรายละเอียดดังนี้



ภาพที่ 9 โครงสร้างของแบคทีเรียโดยสังเขป

ที่มา : Encyclopædia Britannica, [bacteria](#) [Online], accessed 20 May. 2010. Available from <http://www.britannica.com/EBchecked/topic/48203/bacteria>

### แฟลกเจลล่า (Flagella)

มีลักษณะเหมือนเส้นยาวๆ ประกอบจากโปรตีนแฟลกเจลิน (flagellin) มีหน้าที่ช่วยในการเคลื่อนไหวของแบคทีเรีย เพื่อหาแหล่งอาหาร แฟลกเจลลามีหลายรูปแบบ หากแฟลกเจลล่าอยู่ที่ตำแหน่งใดตำแหน่งหนึ่งของแบคทีเรีย มีเพียงเส้นเดียวเรียกว่าโนโนไตรคัส (monotrichous) หากมีแฟลกเจลลากลายเส้นเรียกว่า โลโฟไตรคัส (lophotrichous) และหากมีหลายเส้นและอยู่รอบๆ ตัวแบคทีเรียเรียกว่า เพอริไตรคัส (peritrichous)

แบคทีเรียรูปแท่ง นักจะมีแฟลกเจลล่าช่วยในการเคลื่อนไหว ในขณะที่แบคทีเรียรูปกลมไม่มีแฟลกเจลลารึง ไม่สามารถเคลื่อนไหวได้

### **พิลลี (Pilli)**

เป็นเส้นของโปรตีนคล้ายแฟลกเจลิน แต่มีขนาดสั้นกว่าแฟลกเจลามาก มีลักษณะคล้ายขน เส้นของโปรตีนนี้มีโปรตีนพิลิน (pilin) เป็นส่วนประกอบ มีหน้าที่ช่วยในการเกาะดิดของแบคทีเรียต่อไสสต์อื่นๆ และอาจมีหน้าที่ในการถ่ายทอดจีโนมของแบคทีเรียซึ่งกันและกัน (Marklund et al. 2006 : 2225 – 2242)

### **แคปซูล (Capsule)**

เป็นชั้นของโพลีแซคคาไรด์ที่ห่อหุ้มแบคทีเรีย ซึ่งอาจมีโปรตีนร่วมด้วย ชนิดของน้ำตาลในโพลีแซคคาไรด์ มีองค์ประกอบแตกต่างกัน ซึ่งนำมาใช้ระบุชนิดของสายพันธุ์อยู่ในแบคทีเรียบางชนิด ได้ แคปซูลมีความสำคัญคือ

1. ช่วยในการยึดเกาะของแบคทีเรียต่อไสสต์
2. ช่วยในการบังขึ้นกระบวนการฟ้าโก้ไซโทสของเม็ดเลือดขาว การมีแคปซูลจึงเป็นการช่วยให้แบคทีเรียมีความสามารถในการก่อโรคเพิ่มขึ้น

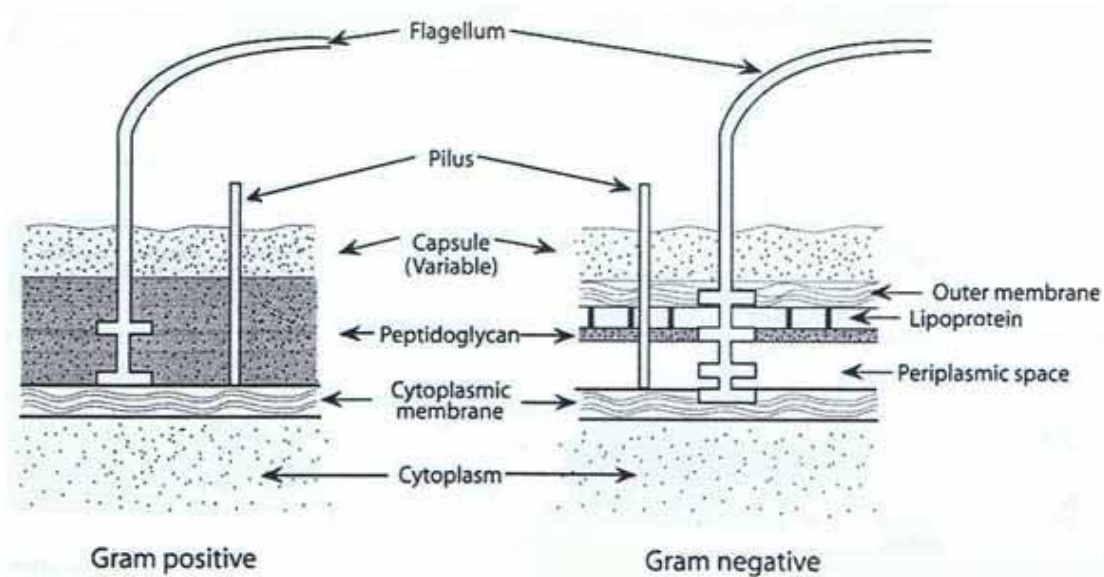
### **ผนังหุ้มเซลล์ (Cell wall)**

เป็นส่วนที่มีความแข็ง ทำให้แบคทีเรียมีรูปร่างที่ชัดเจน ผนังหุ้มเซลล์เป็นผนังหลายชั้นหุ้มภายนอกต่อจากชั้นผนังหุ้มไซโทพลาสมีน (cytoplasm membrane) มีลักษณะเป็นรูฐีก ๆ ให้สารไม่เลกุลเล็กผ่านเข้าออกได้ ชั้นในสุดของผนังหุ้มเซลล์ (inner layer) ประกอบด้วยชั้นของเปปทิโดไกลแคน (peptidoglycan) หุ้มด้วยผนังหุ้นนอก (outer membrane) ดังแสดงในภาพที่ 10 สามารถพบชั้นเปปทิโดไกลแคนได้ ทั้งในแบคทีเรียแกรมบวกและแบคทีเรียแกรมลบ แต่แบคทีเรียแกรมบวกมีชั้นเปปทิโดไกลแคนที่หนากว่าแบคทีเรียแกรมลบ จึงเป็นสาเหตุทำให้การติดสีแกรมต่างกัน อย่างไรก็ตามผนังหุ้มเซลล์ของแบคทีเรียแกรมลบ มีส่วนประกอบที่แบคทีเรียแกรมบวกไม่มีคือไลโปโพลีแซคคาไรด์ซึ่งประกอบด้วยไลโปโปรตีนและฟอสโฟไลปิด รวมตัวกันเป็นรูฐีก ๆ ให้ไม่เลกุลต่าง ๆ ผ่านได้

### **ผนังหุ้มไซโทพลาซึม (Cytoplasmic membrane)**

เป็นชั้นที่อยู่ด้านในต่อจากชั้นเปปทิโดไกลแคน เป็นยูนิตเมมเบรน (unit membrane) เช่นเดียวกับเซลล์ยูเครอริโอตเพียงแต่ไม่มีสเตอรอลเป็นองค์ประกอบ มีหน้าที่ในการ

1. เป็นผนังให้สารและไม่เลกุลต่าง ๆ ผ่านได้
2. เป็นแหล่งพลังงาน
3. เป็นที่สร้างวัตถุคิดสำหรับผนังหุ้มเซลล์
4. เป็นที่หลังeronไซม์ และที่อกซินที่แบคทีเรียผลิตขึ้นมา



ภาพที่ 10 ผนังหุ้มเซลล์ของแบคทีเรียชนิดแกรมบวกและแกรมลบ  
ที่มา : รีวี เดียร์ ไฟศาล, แบคทีเรียนช่องปาก (สงขลา : โรงพิมพ์นำพล, 2550), 4.

### ไซโทพลาซึม (Cytoplasm)

เป็นของเหลวภายในเซลล์แบคทีเรีย ซึ่งบรรจุนิวเคลียสหรือนิวคลีอยด์และօอกกาโนล์อื่นๆ เช่น ไรโนไซม์ ไมโทคอนเดรีย สารอาหารและօอ่อนต่างๆ

### นิวเคลียส หรือนิวคลีอยด์ (Nucleus or Nucleoil)

เป็นชิ้นส่วนของดีเอ็นเอ มีลักษณะเป็นวงกลม 1 ชุด มีเส้นประมาณ 2,000 ยีน มีการแบ่งตัวเป็นชุดของเซลล์แบ่งตัว

### เชื้อแบคทีเรียนช่องปาก

แบคทีเรียนช่องปากมีหลายสายพันธุ์ มีพัฒนาการที่ก่อโรคและไม่ได้ก่อโรคในช่องปากสามารถแบ่งกลุ่มแบคทีเรียนช่องปากออกเป็น 2 กลุ่ม ใหญ่ๆ ตามสภาวะในการเจริญเติบโต ได้แก่

#### 1. แบคทีเรียที่ต้องการออกซิเจน (Aerobic bacteria)

แบคทีเรียที่ต้องการออกซิเจน (aerobic bacteria) คือ แบคทีเรียที่สามารถเจริญเติบโตได้ในสภาวะที่มีออกซิเจน แบ่งเป็น 3 กลุ่ม คือ

1.1 Strict aerobes เป็นแบคทีเรียที่ต้องการออกซิเจนในการเจริญเติบโตเท่านั้น หากขาดออกซิเจนจะไม่สามารถเจริญเติบโตได้ เนื่องจากในกระบวนการเจริญเติบโตต้องอาศัยออกซิเจนในการเกิดปฏิกิริยาออกซิเดชัน (oxidation reaction)

1.2 Facultative anaerobes เป็นแบคทีเรียที่สามารถเจริญเติบโตได้ทั้งในสภาวะที่มีออกซิเจนและขาดออกซิเจน โดยในภาวะที่มีออกซิเจนการเจริญเติบโตจะเป็นแบบ oxidation และในภาวะที่ขาดออกซิเจนจะเป็นแบบ fermentation

1.3 Capnophilic aerobes เป็นแบคทีเรียที่เจริญได้ในสภาวะที่มีออกซิเจนแต่หากมีคาร์บอนไดออกไซด์อย่าง 5-10 จะเจริญได้ดีกว่า

#### การกระจายของแบคทีเรียที่ต้องการออกซิเจนในช่องปาก

ในระยะแรกช่องปากของทารกจะปราศจากเชื้อและจะได้รับเชื้อครั้งแรกโดยการปนเปื้อนเชื้อจากแม่ขณะที่คลอด ต่อมาก็ได้รับเชื้อเพิ่มจากอาหารนม และน้ำ จากเชื้อที่ได้รับมาอย่างมากหลายชนิดนั้น พบว่ามีเชื้อบางชนิดเท่านั้นที่สามารถดำรงอยู่และเจริญเติบโตได้ เชื้อพอกแรกที่สามารถดำรงชีวิตอยู่ได้เรียกว่าไพรโionีเยอร์ (pioneer bacteria) เชื้อเหล่านี้จะมีการปรับตัวได้กลุ่มเชื้อที่พบได้บ่อยคือ streptococci โดยเฉพาะสายพันธุ์ *Streptococcus salivarius* การกระจายตัวของเชื้อมีความแตกต่างกันตามตำแหน่งในช่องปากพอสรุปได้ดังตารางที่ 1

ตารางที่ 1 การกระจายตัวของแบคทีเรียที่ต้องการออกซิเจนในตำแหน่งต่าง ๆ ของช่องปาก

ชนิดของแบคทีเรียที่ต้องการออกซิเจน	ริมฟีปาก/เพดาน	กระพุ้งแก้ม	ลิ้น	น้ำลาย	ฟัน
Staphylococci	+++	+	+	+	-
Micrococci	+++	+	++	+	-
<i>Neisseria</i>	+	+	+++	+++	+
Streptococci	+	+++	+++	+++	+++
Haemophili	+	+++	+++	++	++
Anaerobes	-	+	+	+	++
Spirochaetes	-	+	+	+	+

ที่มา : รีวี เลียร์ ไฟศาล, แบคทีเรียในช่องปาก (สงขลา : โรงพิมพ์นำผล, 2550), 39.

#### 2. แบคทีเรียที่ไม่ต้องการออกซิเจน (Anaerobic bacteria)

แบคทีเรียที่ไม่ต้องการออกซิเจน คือ แบคทีเรียที่เจริญเติบโตในสภาวะที่ไม่มีออกซิเจนได้ดีกว่าในสภาวะที่มีออกซิเจน นอกจากนี้ยังเจริญเติบโตได้ในอาหารเพาะเลี้ยงเชื้อที่มีศักย์รีดักชัน (redox potential) ต่ำหรือเป็นลบ อีกความหมายหนึ่งของแบคทีเรียที่ไม่ต้องการ

ออกซิเจนในทางปฏิบัติการหมายถึง แบคทีเรียที่ถูกทำลายได้เมื่อออยู่ในสภาวะที่มีออกซิเจน ไม่สามารถเจริญเติบโต ได้บนอาหารเลี้ยงเชื้อที่เพาะเลี้ยงไว้ในบรรยายกาศที่มีออกซิเจน และในบรรยายกาศที่มีปริมาณคาร์บอนไดออกไซด์ร้อยละ 5-10 สามารถแบ่งแบคทีเรียที่ไม่ต้องการออกซิเจนตามความสามารถในการเจริญเติบโตในบรรยายกาศที่มีปริมาณออกซิเจนแตกต่างกันได้เป็น 3 ชนิด (ตารางที่ 2) ดังนี้

2.1 Aerotolerant anaerobes เป็นแบคทีเรียที่ไม่สามารถใช้ออกซิเจนได้ เพราะไม่มีสารตั้งต้นในกระบวนการหายใจ (respiration) แต่ออกซิเจนก็ไม่ทำให้แบคทีเรียกลุ่มนี้ตายได้ แบคทีเรียกลุ่มนี้จึงเจริญเติบโตในสภาวะไม่มีออกซิเจนได้ดีกว่าในสภาวะที่มีออกซิเจน แต่สามารถเจริญเติบโต ได้บนอาหารเลี้ยงเชื้อที่ดีพอหากใช้เชื้อจำนวนมาก สามารถอยู่ในบรรยายกาศธรรมชาติได้นานถึง 72 ชั่วโมง และเจริญเติบโตได้เล็กน้อยในบรรยายกาศที่มีการรับอนไดออกไซด์ร้อยละ 10

2.2 Obligate anaerobes หมายถึง แบคทีเรียที่ไม่สามารถเจริญเติบโตได้ในบรรยายกาศทั่วไป แม้จะใช้อาหารที่ดีพอและใช้เชื้อจำนวนมากก็ตาม เชื้อในกลุ่มนี้สามารถมีชีวิตอยู่ได้ในบรรยายกาศธรรมชาติเป็นเวลา 10 นาที ถึง 48 ชั่วโมง เจริญเติบโตได้ในสภาวะที่มีออกซิเจนร้อยละ 2-8 โดยขึ้นอยู่กับชนิดของแบคทีเรีย แบคทีเรียกลุ่มนี้มีหลากหลายสายพันธุ์ และเป็นสาเหตุของโรคติดเชื้อในคน โดยเฉพาะการติดเชื้อในช่องปาก

2.3 Extreme oxygen sensitive หรือ strict anaerobes หมายถึง แบคทีเรียที่ไม่สามารถเจริญเติบโตได้ในสภาวะที่มีออกซิเจนเกินร้อยละ 0.5 ออยู่ในบรรยายกาศได้ไม่เกิน 10 นาที

#### ตารางที่ 2 ชนิดของแบคทีเรียที่ไม่ต้องการออกซิเจน

ชนิดของแบคทีเรียที่ไม่ต้องการออกซิเจน	ปริมาณออกซิเจนที่สามารถเจริญเติบโตได้	สามารถทนออกซิเจนได้นาน
Aerotolerant anaerobes	ที่มีก๊าซ CO <sub>2</sub> ร้อยละ 10	72 ชม.
Obligate anaerobes	ร้อยละ 2-8	10 นาที – 48 ชม.
Strict anaerobes	น้อยกว่าร้อยละ 0.5	ไม่เกิน 10 นาที

ที่มา : รีวี เลียร์ ไฟศาล, แบคทีเรียนช่องปาก (สงขลา : โรงพิมพ์นำผล, 2550), 65.

#### การกระจายของแบคทีเรียที่ไม่ต้องการออกซิเจนในช่องปาก

แบคทีเรียที่ไม่ต้องการออกซิเจนส่วนใหญ่เป็นเชื้อประจำถิ่น (normal flora) ซึ่งสามารถตรวจพบได้หลายแห่งในร่างกาย เช่น ผิวนัง ช่องปาก ทางเดินอาหาร และช่องคลอด เป็นต้น บริเวณที่พบแบคทีเรียที่ไม่ต้องการออกซิเจนมากที่สุด คือ บริเวณร่องเหงือก (gingival crevice)

และลำไส้ใหญ่ (colon) จะพบแบคทีเรียที่ไม่ต้องการออกซิเจนมากกว่าแบคทีเรียที่ต้องการออกซิเจนในสัดส่วนประมาณ 100-1000 ต่อ 1 ส่วนบริเวณอื่น ๆ แบคทีเรียที่ไม่ต้องการออกซิเจนจะมีประมาณ 10 เท่าของแบคทีเรียที่ต้องการออกซิเจน เช่น ในช่องคลอดจะพบแบคทีเรียที่ไม่ต้องการออกซิเจนต่อแบคทีเรียที่ต้องการออกซิเจนในสัดส่วนประมาณ 5-10 ต่อ 1 ในน้ำลาย สัดส่วนประมาณ 3-10 ต่อ 1 และที่ผิวนังสัดส่วนประมาณ 10 ต่อ 1

ในช่องปาก แบคทีเรียที่ไม่ต้องการออกซิเจนส่วนใหญ่จัดเป็นชนิด obligate anaerobes สามารถตรวจพบได้บริเวณร่องเหงือก ลิ้น กระพุ่งแก้ม ครานจุลินทรีย์ และน้ำลาย โดยชนิดและปริมาณของแบคทีเรียที่ไม่ต้องการออกซิเจนจะแตกต่างกันไป ในน้ำลายและที่ลิ้นจะมีแบคทีเรียที่ไม่ต้องการออกซิเจนเป็นส่วนใหญ่และเป็นแบคทีเรียแกรมลบที่มีรูปร่างกลมติดสีแดง (gram negative cocci) เป็นเชื้อในจีนัส *Veillonella* ในครานจุลินทรีย์ใต้เหงือก (subgingival plaque) มักพบแบคทีเรียที่ไม่ต้องการออกซิเจนและเป็นแบคทีเรียแกรมลบที่มีรูปร่างเป็นแท่งติดสีแดง (gram negative bacilli) ดังตารางที่ 3

ตารางที่ 3 การกระจายตัวของแบคทีเรียที่ไม่ต้องการออกซิเจนตามตำแหน่งต่าง ๆ ในช่องปาก

ชนิดของแบคทีเรีย anaerobes	ลิ้น	น้ำลาย	ครานจุลินทรีย์เหนือเหงือก (supragingival plaque)	ครานจุลินทรีย์ใต้เหงือก (subgingival plaque)
Gram negative cocci	++++	++++	+	+
Gram negative bacilli	+	+	++	++++
Gram positive cocci	+	++	++++	++
Gram positive bacilli	++	+	+++	+++
Black-pigmented anaerobes	+	+	++	++++
Spirochaetes	+	+	+	++++

ที่มา : รีวี เลียร์ ไฟศาล, แบคทีเรียในช่องปาก (สงขลา : โรงพิมพ์นำพล, 2550), 66.

### แบคทีเรียที่เป็นสาเหตุของโรคฟันผุ

แบคทีเรียที่เป็นสาเหตุของโรคฟันผุ ส่วนมากเป็นแบคทีเรียที่ไม่ต้องการออกซิเจน รูปร่างกลม ข้อมติดสีแกรมบวก (aerobic gram-positive cocci) โดยเฉพาะแบคทีเรียกลุ่ม mutans group ได้แก่ *Streptococcus mutans* และ *Streptococcus sobrinus* และแบคทีเรียในกลุ่ม Lactobacilli ซึ่งเป็นเชื้อแบคทีเรียที่มีรูปร่างเป็นแท่ง

### 1. Mutans group (*mutans streptococci*)

*Streptococci* เป็นแบคทีเรียแกรมบวก รูปร่างกลมหรือรี ต่อกันเป็นสายสัมหรือยาว (ภาพที่ 11) มีลักษณะโคโนนิูน (convex) ทึบแสง (opaque) สามารถสร้างโพลีแซคคาไรด์ภายนอกเซลล์ (extracellular polysaccharide) จากน้ำตาลซูโครสได้ และบางสายพันธุ์สามารถเจริญเติบโตบนอาหารเลี้ยงเชื้อที่ผสมยาปฏิชีวนะเบซิตรัซิน (bacitracin) ดังนั้นแบคทีตรัซินจึงถูกนำมาผสมในอาหาร *mitis salivarius agar* (MSA) เวิร์ก *mitis salivarius bacitracin* (MSB) เพื่อใช้เป็น selective media สำหรับ mutans group บางสายพันธุ์ เช่น *Streptococcus mutans* และ *Streptococcus sobrinus* เป็นต้น



ภาพที่ 11 แบคทีเรียแกรมบวก รูปร่างกลมหรือรี ต่อกันเป็นสายสัมหรือยาว (*Streptococci*)

ที่มา : รีวี เดียร์ ไฟศาล, แบคทีเรียในช่องปาก (สงขลา : โรงพิมพ์นำผล, 2550), 126.

*S. mutans* เป็นแบคทีเรียที่มีความสำคัญในกลุ่มนี้ พบร้าบันผิวฟัน และเป็นสาเหตุของโรคฟันผุ มีการรายงานการพบแบคทีเรียนิดนึงเป็นครั้งแรกในปี ค.ศ. 1924 โคโนนิของ *S. mutans* สามารถสร้างโพลีแซคคาไรด์ภายนอกเซลล์บนอาหาร MSB ทำให้เห็นโคโนนีมีลักษณะเหมือนมีของเหลวใสเยิ่มอยู่รอบๆ โคโนนีมีลักษณะขุ่น ทึบ ขรุขระ ไม่เรียบ (ภาพที่ 12)



ภาพที่ 12 โคลoni ของ *Streptococcus mutans*

ที่มา : รีวี เลียร์ ไพบูลย์, แบบที่เรียนช่องปาก (สงขลา : โรงพิมพ์นำผล, 2550), 127.

*S. sobrinus* เป็นแบบที่เรียกสายพันธุ์หนึ่งที่สามารถเจริญเติบโตบนอาหารเลี้ยงเชื้อ MSB ได้เช่นเดียวกับ *S. mutans* แต่ลักษณะโคลoni ของ *S. sobrinus* มักมีรูปร่างเป็นแฉก และมีวงชุ่นล้อมรอบ (ภาพที่ 13) แต่ไม่ใช่ลักษณะที่แน่นอน



ภาพที่ 13 โคลoni ของ *Streptococcus sobrinus*

ที่มา : รีวี เลียร์ ไพบูลย์, แบบที่เรียนช่องปาก (สงขลา : โรงพิมพ์นำผล, 2550), 127.

เชื้อในกลุ่ม *mutans streptococci* สามารถสร้างโพลีแซคคาไรด์ภายในเซลล์ได้ทั้งแบบละลายน้ำ (soluble) และไม่ละลายน้ำ (insoluble) จากการใช้น้ำตาลซึ่งโคโรส สารนี้มีความสำคัญในการเกิดคราบจุลินทรีย์ (plaque formation) และเป็นสาเหตุที่ทำให้เกิดฟันผุตามมา นอกจากนี้เชื้อกลุ่มนี้ยังมีความสามารถในการสร้างกรดได้มากจากการใช้น้ำตาล และมีความสามารถในการคงทนอยู่รอดในภาวะที่เป็นกรดได้ด้วย จากเหตุผลดังกล่าวทำให้เชื้อกลุ่มนี้เป็นสาเหตุสำคัญของโรคฟันผุ

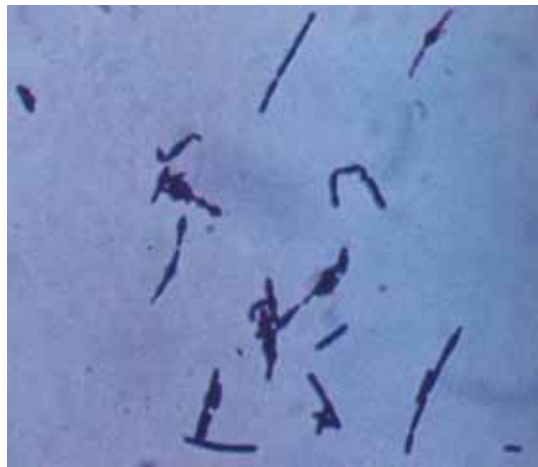
ซึ่งจำนวนเชื้อที่เพิ่มขึ้นนั้นจะมีความสัมพันธ์กับการเกิดโรคฟันผุ นอกจากนี้ยังพบว่า การกระหายของเชื้อในกลุ่มนี้มีความสัมพันธ์กับอายุ เชื้อชาติ และสภาพภูมิศาสตร์อีกด้วย (Marsh and Martin 2001 : 17-33)

## 2. Lactobacilli ในช่องปาก (Oral lactobacilli)

*Lactobacillus* เป็นแบคทีเรียแกรมบวก มีลักษณะเป็นรูปท่อขนาดลึกลึกลับ (ภาพที่ 14) แบคทีเรียกลุ่มนี้ได้น้อยในช่องปาก ประมาณร้อยละ 1 ของเชื้ออื่น ๆ แต่จะพบได้มากในน้ำลาย การส่งผ่านเชื้อในกลุ่มนี้มีการบ่งชี้ว่า การถ่ายทอดอาจผ่านจากช่องคลอดของแม่สู่ลูกในระหว่างการคลอด โดยเชื้อจะลดลงในช่วงเดือนแรกของอายุทารก และจะพบเพิ่มขึ้นอีกในเวลาต่อมาโดยได้รับเชื้อเพิ่มจากสิ่งแวดล้อมภายนอก (Matsumiya et al. 2002 : 43-49)

*Lactobacillus* spp. ในช่องปาก ส่วนใหญ่เป็นแบคทีเรียที่ไม่ต้องการออกซิเจน ชนิด microaerophilic บางชนิดเป็น obligate anaerobe เพาะเลี้ยงได้ในสภาวะที่มีกําจุ คาร์บอนไดออกไซด์หรือที่สภาวะที่ไม่มีออกซิเจน และอาหารเลี้ยงเชื้อที่มีความเป็นกรด สามารถใช้การโป๊ะไชเดรตเป็นแหล่งอาหาร แบคทีเรียกลุ่มนี้สามารถผลิตกรดได้จำนวนมาก สามารถทนกรดได้ดี การเพาะเลี้ยงแบคทีเรียในกลุ่มนี้จึงสามารถใช้ Rogosa media เป็น selective media เพื่อคัดกรองเชื้อได้ ซึ่งอาหารเลี้ยงเชื้อชนิดนี้จะมีกรดเป็นส่วนประกอบจึงทำให้มีสภาวะเป็นกรด ซึ่งแบคทีเรียชนิดอื่น ๆ จะไม่สามารถเจริญเติบโตในอาหารเลี้ยงเชื้อชนิดนี้ได้ แบคทีเรียกลุ่มนี้ที่พบได้บ่อยในช่องปากได้แก่ *L. fermentum*, *L. casei*, *L. rhamnosus* และ *L. paracasei* นอกจากนี้ยังมี *L. plantarum*, *L. acidophilus* และ *L. salivarius* (Teanpaisan and Dahlen 2006 : 79-83)

*Lactobacillus* spp. มักพบเป็นเชื้อประจำถิ่นในช่องปาก และจะพบได้มากขึ้นเมื่อมีการลุกคามของฟันผุ ซึ่งเป็นบริเวณที่มีความเป็นกรดมาก จากการที่พบเชื้อชนิดนี้ร่วมกับอาการฟันผุ จึงคาดว่า lactobacilli อาจเป็นสาเหตุของโรคฟันผุ จึงใช้แบคทีเรียนี้เป็นตัวบ่งชี้ความเสี่ยงในการเกิดโรคฟันผุ หากพบว่ามีแบคทีเรียชนิดนี้มากกว่า  $10^5$  โคลoni/มิลลิลิตร หรือมากกว่า 100 โคลoni/1.5 ตารางเซนติเมตรของฟันที่นับ แสดงว่ามีความเสี่ยงต่อโรคฟันผุสูง (Barsamian-Wunsch et al. 2004 : 231-239)



ภาพที่ 14 แบคทีเรียแกรมบวก รูป่างเป็นแท่ง อาจเป็นแท่งถั่นหรือยา (Lactobacillus)  
ที่มา : ร่วี เลียร ไฟศาด, แบคทีเรียในช่องปาก (สงขลา : โรงพิมพ์นำพล, 2550), 126.

ได้มีการรายงานการศึกษานิodicของเชื้อในรอยโรคฟันผุโดยเก็บตัวอย่างตรวจจากเนื้อฟันที่ผุ (carious dentine) โดยตรง แทนที่จะเก็บจากคราบจุลทรรศ์หรือน้ำลาย และใช้วิธีทางชีวโมเลกุลในการศึกษาลำดับนิวคลีโอไทด์ของยีน 16S rRNA พบร่องนิodicของจีนสที่พบได้มากในรอยโรคฟันผุที่ตรวจ คือ *Lactobacillus* spp. ซึ่งสปีชีส์ที่พบได้แก่ *L. fermentum*, *L. casei*, *L. panis*, *L. rhamnosus*, *L. reuteri*, *L. gasseri*, *L. crispatus*, *L. salivarius* และ *L. delbrueckii* (Munson et al. 2004 : 3023-3029 ; Chhour et al. 2005 : 843-849) นอกจากจะพบ *Lactobacillus* spp. ในเนื้อฟันที่ผุแล้ว ยังมีรายงานว่าพบเชื้อร่องนิodic ในคลองรากฟันที่ผ่านการรักษามาแล้วด้วย โดยพบได้ถึงร้อยละ 36 ซึ่งจะพบเชื้อกลุ่มนี้ได้มากที่สุดเมื่อเปรียบเทียบกับเชื้อร่องนิodic อื่น ๆ ที่พบได้แก่ *L. paracasei*, *L. casei*, *L. delbrueckii*, *L. crispatus* และ *L. rhamnosus* (Chavez 2003: 500-508)

#### การก่อโรคของ *Streptococcus mutans*

ตั้งแต่ปี ค.ศ. 1924 Clarke ได้แยกแบคทีเรียจากตำแหน่งของเชื้อฟันที่ผุ ต่อมายังแบคทีเรียนั้นมีชื่อว่า *S. mutans* มีข้อมูลความสัมพันธ์ของ *S. mutans* และฟันผุทั้งการศึกษาแบบตัดบางและระยะยาวได้ถูกรายงานไว้ และเชื่อว่า *S. mutans* เป็นสาเหตุของฟันผุ (Hamada and Slade 1980 : 331-384 ; Loesche 1986 : 353-380)

กลไกในการก่อโรคของ *S. mutans* มี 3 ประการ คือ

1. ความสามารถในการยึดเกาะ (adhesion)
2. ความสามารถในการสร้างกรด (acidogeneity)
3. ความสามารถในการทนกรด (aciduricity)

## ความสามารถในการยึดเกาะ (Adhesion)

ความสามารถในการยึดเกาะของ *S. mutans* ในครานจุลินทรีย์ ขึ้นกับปัจจัยหลัก 3 ประการคือ

### 1. การยึดเกาะที่ไม่ขึ้นกับน้ำตาลซูโครัส (Sucrose-independent adhesion)

โปรตีนสำคัญที่เกี่ยวข้องในการยึดเกาะ โดยไม่ขึ้นกับน้ำตาลซูโครัสเรียกว่า antigen I/II มีขนาด 185 kDa โปรตีนนี้สามารถพบได้ใน streptococcus ในช่องปากสายพันธุ์อื่นด้วย (Ma 1991 : 2686-2694) และมีการให้ชื่อ โปรตีนนี้ต่าง ๆ กัน เช่น P1, Spa P, Sr, Pac และ antigen B โปรตีนในกลุ่ม antigen I/II ของเชื้อแบคทีเรียเหล่านี้ แม้จะมีโครงสร้างบางส่วนที่เหมือนกัน แต่มีบางส่วนที่ต่างกัน จึงทำให้ความสามารถในการยึดเกาะกับ โปรตีนต่าง ๆ ในน้ำลายแตกต่างกันไป แล้วแต่ชนิดของเชื้อ (Whittaker, Klier, and Kolenbrander 1996 : 513-552 ; Petersen et al. 2002 : 249-256) ส่วนสำคัญของ โปรตีน antigen I/II ที่ไปยึดกับ โปรตีนอื่น ๆ ในน้ำลาย คือ อะลานีน (alanine) และ โพรลีน (proline) โปรตีนเหล่านี้มีความสำคัญในการยึดเกาะกับเยื่อผิวชั้นนอกสุดของ เยื่อหุ้มเซลล์ (pellicle) ที่เป็นส่วนสำคัญในการก่อตัวเป็นครานจุลินทรีย์บนผิวฟัน มีหลักฐานพบว่า เชื้อกลายพันธุ์ (mutant) P1 ที่ไม่สามารถสร้าง โปรตีน antigen I/II มีความสามารถในการยึดเกาะ กับไไฮดรอกซิอะพาไทต์ (hydroxyapatite) ที่เคลือบน้ำลายได้ลดลง (Ohta et al. 1989 : 981-988 ; Lee et al. 1989 : 3306-3313) แสดงให้เห็นว่าหากเชื้อแบคทีเรียขาด โปรตีน antigen I/II เชื้อจะเกาะ กับ โปรตีนในน้ำลายที่เคลือบบนผิวไไฮดรอกซิอะพาไทต์ ซึ่งเป็นส่วนประกอบของฟันได้ลดลง นอกจากนี้ยังพบว่าการขาด โปรตีน P1 จะทำให้การก่อรูปโครงสร้างของ biofilm ในหลอดทดลอง ผิดไป

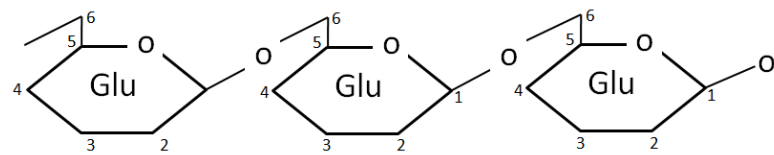
### 2. การยึดเกาะที่ขึ้นกับน้ำตาลซูโครัส (Sucrose-dependent adhesion)

กลไกสำคัญของการยึดเกาะที่ขึ้นกับน้ำตาลซูโครัส เกิดจากการทำงานของเอนไซม์ กลูโคซิลทรานส์เฟอร์เรส (glucosyltransferase, GTFs) ในการสังเคราะห์สารกลูแคน (glucans) โดย GTFs มีความสามารถในการย่อยซูโครัสได้เป็นกลูโคสและฟรูกโตส (Monchois, Willemot, and Monsan 1999 : 131-151) กลูโคสจะเข้ามต่อ กันเป็นพอลิเมอร์ของกลูแคน

*S. mutans* มีเอนไซม์ GTFs 3 ชนิดถูกสร้างโดยยีน *gtf B* *gtf C* และ *gtfD* ต่างจาก *S. sobrinus* ที่มียีนอีก 4 ยีน ในการควบคุมการสร้างกลูแคน GTFs อาจพนใน streptococci ชนิด อื่นในช่องปากได้

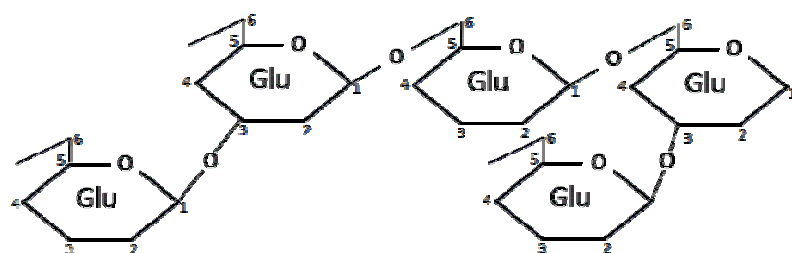
GTFs สามารถสร้างพอลิเมอร์กลูแคนที่ละลายน้ำ (soluble glucans) และ ไม่ละลายน้ำ (insoluble glucans) กลูแคนที่ละลายน้ำจะมีโครงสร้างส่วนใหญ่เป็นเส้นตรงของ  $\alpha 1, 6$  glycosidic

(ภาพที่ 15) ในขณะที่กลูแคนที่ไม่ละลายน้ำมีโครงสร้างเป็นกิ่งก้าน (branching) ของ  $\alpha 1, 3$  glycosidic เพิ่มเติมขึ้น (ภาพที่ 16) จึงละลายน้ำได้ยาก



ภาพที่ 15 โครงสร้างพอลิเมอร์กลูแคนที่ละลายน้ำ

ที่มา : รีวี เลียร์ ไฟศาล, แบปคทีเรียในช่องปาก (สงขลา : โรงพิมพ์นำผล, 2550), 98.



ภาพที่ 16 โครงสร้างพอลิเมอร์กลูแคนที่ไม่ละลายน้ำ

ที่มา : รีวี เลียร์ ไฟศาล, แบปคทีเรียในช่องปาก (สงขลา : โรงพิมพ์นำผล, 2550), 98.

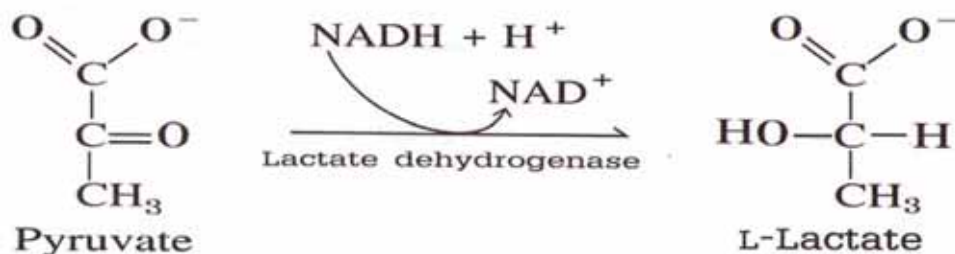
กลูแคนที่สองมีความสำคัญในการยึดเกาะของ *S. mutans* มีผลทำให้แบปคทีเรียชนิดนี้เกิดการยึดครอง (colonization) และเกิดฟันผุโดยกลไกในการสร้างกรดและทนกรด โดยเฉพาะกลูแคนที่ไม่ละลายน้ำมีความสำคัญในการก่อโรคฟันผุชนิดบันผิวเรียบ (Munro, Michalek, and Macrina 1995 : 327-332.) มีงานวิจัยจำนวนมากที่แสดงให้เห็นว่าหากมีการยับยั้งยีน *gtf* ไม่ให้มีการทำงาน จะมีผลทำให้ความสามารถในการก่อโรคฟันผุในสัตว์ทดลองลดลง

### 3. โปรตีนที่ยึดเกาะกับกลูแคน (Glucan binding protein, GBPs)

โปรตีนเหล่านี้ไม่ใช่เอนไซม์ (non-enzyme) แต่เป็นโปรตีนที่ยึดเกาะกับกลูแคน โปรตีนที่พบเป็นชนิดแรกในกลุ่มนี้คือ GBP A (Russell 1979 : 197-201) ต่อมาได้พบ GBP B (Smith et al. 1994 : 2545-2552) และ GBP D (Shah and Russell 2002) ตามลำดับ โปรตีนเหล่านี้มีความสำคัญในการสร้าง biofilm ของเชื้อและมีส่วนร่วมในการก่อโรคฟันผุ (Hazlett, Michalek and Banas 1998 : 2180-2185 ; Hazlett, Mazurkiewicz, and Banas 1999 : 3909-3914 ; Matsumoto et al., 2003 : 213-215)

### ความสามารถในการสร้างกรด (Acidogeneity)

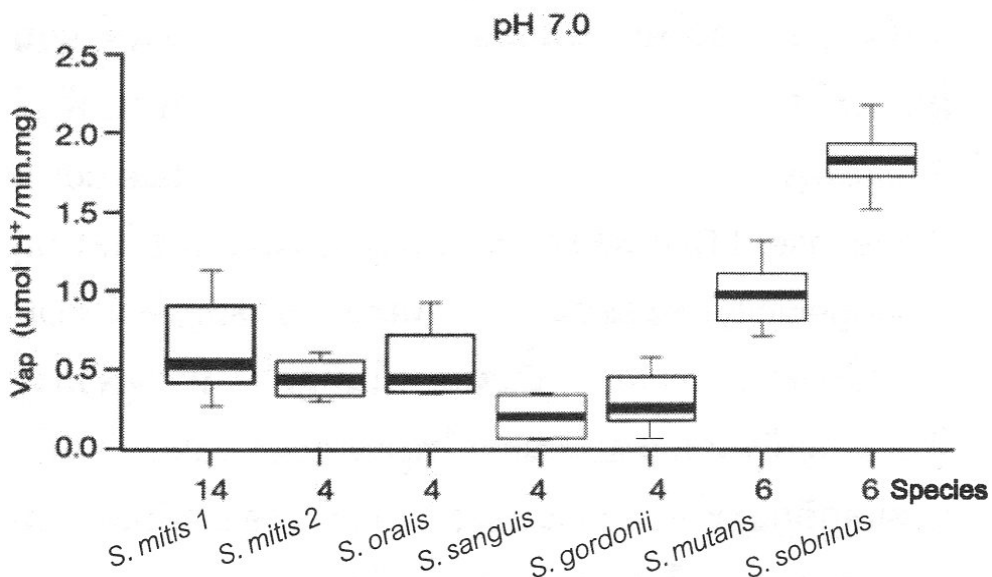
*S. mutans* มีความสามารถในการสร้างพลังงานจากน้ำตาลโดยผ่านวิถีไกโอลโคไอลติก (glycolytic pathway) และการหมัก (fermentation) ได้กรดชนิดต่าง ๆ ได้แก่ กรดแลกติก (lactic acid) กรดฟอร์มิก (formic acid) และกรดอะซีติก (acetic acid) รวมทั้งเอทานอล (ethanol) ในปริมาณที่แตกต่างกันขึ้นอยู่กับสภาวะในการเพาะเลี้ยง (Johnson, Gross and Hillman 1980 : 707-713) เช่น หากมีกลูโคสจำนวนมากจะได้กรดแลกติกเป็นส่วนใหญ่ (Dashper and Reynolds 1996 : 33-39) *S. mutans* ที่มีเอนไซม์แลกเกตดีไซโอดริเจนส์ (lactate dehydrogenase; LDH) ลดลง จะมีความสามารถในการก่อโรคฟันผุ (cariogenicity) ลดลง (Johnson et al. 1980 : 707-713) และหากขาดเอนไซม์ LDH อย่างเดียว *S. mutans* จะตายในที่สุด (Hillman, Chen and Snoep 1996 : 4319-4323) จากภาพที่ 17 เป็นการเปลี่ยนไพรูเวต (pyruvate) ไปเป็นกรดแลกติกและได้พลังงานออกมาโดยอาศัยการทำงานของเอนไซม์ LDH การพร่องหรือขาดเอนไซม์ชนิดนี้ จึงมีผลกระทบต่อการสร้างกรดและความอญ্তรอดของ *S. mutans* จึงคาดว่าจะสามารถนำสายพันธุ์ที่ถูกดัดแปลงยืนให้ขาดเอนไซม์ LDH มาใช้รักษาและป้องกันโรคฟันผุ (Hillman et al. 2000 : 543-549, 2002 : 361-366)



ภาพที่ 17 ปฏิกิริยาการเปลี่ยนไพรูเวตเป็นแลกเกตโดยเอนไซม์ LDH

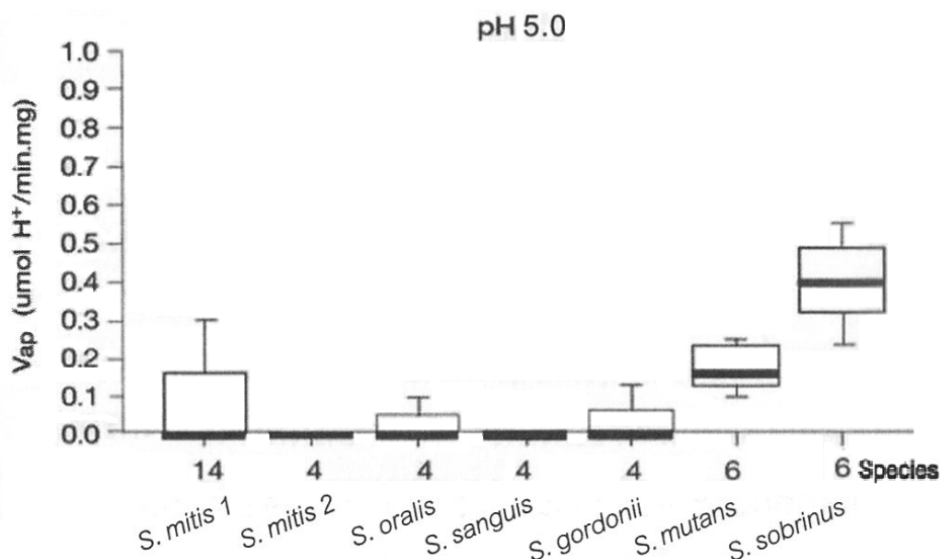
ที่มา : รีวี เลียร์ ไฟศาล, แบคทีเรียในช่องปาก (สงขลา : โรงพิมพ์นำผล, 2550), 99.

ความสามารถในการสร้างกรดของแบคทีเรีย streptococci ในช่องปากมีมากกว่า *streptococci* ทั่วไป โดยเฉพาะ *S. mutans* และ *S. sobrinus* มีความสามารถในการสร้างกรดได้มากที่สุดในสภาวะที่เป็นกลาง (พีเอช 7) (ภาพที่ 18) หรือแม้แต่ในสภาวะที่เป็นกรด (พีเอช 5) ทั้ง *S. mutans* และ *S. sobrinus* ยังคงความสามารถในการสร้างกรดได้ในขณะที่แบคทีเรีย streptococci ชนิดอื่นจะสร้างกรดได้ลดลง (ภาพที่ 19) (Soet, Nyvad, and Kilian 2000 : 486-490)



ภาพที่ 18 ความสามารถในการสร้างกรดของ streptococci สายพันธุ์ต่าง ๆ ในสภาวะที่เป็นกลาง (พี.เอช 7.0)

ที่มา : J.J. de Soet, B. Nyvad and M. Kilian, "Strain-related acid production by oral streptococci," *Caries Res* 6, 34 (2000) : 486-490.



ภาพที่ 19 ความสามารถในการสร้างกรดของ streptococci สายพันธุ์ต่าง ๆ ในสภาวะที่เป็นกรด (พี.เอช 5.0)

ที่มา : J.J. de Soet, B. Nyvad and M. Kilian, "Strain-related acid production by oral streptococci," *Caries Res* 6, 34 (2000) : 486-490.

การสร้างกรดทำให้สภาวะแวดล้อมในครานจุลินทรีย์เป็นกรดมากขึ้น จึงทำให้บริเวณน้ำนมاءสำหรับการเจริญเติบโตของ *S. mutans* และเชื้อชนิดอื่นที่สร้างกรดและทนกรดได้ทำให้การที่จะกลับคืนสู่สภาวะที่เป็นกลางต้องใช้เวลานานขึ้น (Graf 1970 : 426-435 ; Loesche 1986 : 353-380) และหากสภาพความเป็นกรดในครานจุลินทรีย์มีค่าพีเอชต่ำกว่า 5.5 ย่อมทำให้เกิดกระบวนการสูญเสียแร่ธาตุ (demineralization) จึงมีผลทำให้เกิดฟันผุขึ้น

### ความสามารถในการทนกรด (Aciduricity หรือ acid-tolerance)

*S. mutans* มีความสามารถในการทนกรดและยังสามารถเจริญเติบโตต่อไปได้แม้ในสภาวะกรดที่มีค่าพีเอชต่ำถึง 4.0 ก็ตาม (McNeill and Hamilton 2003 : 25-30) *S. mutans* จึงมีความสามารถต่างจาก streptococci ในช่องปากชนิดอื่น คือมีทั้งความสามารถในการสร้างกรดและทนกรดความสามารถในการทนกรดขึ้นกับกลไกสำคัญดังนี้

#### 1. การรักษาสภาพกรดด่างในเซลล์

ความสามารถในการสร้างกรดของ *S. mutans* เป็นผลมาจากการขับกรดออกจากร่องของ *S. mutans* โดยผ่านผนังหุ้มเซลล์ เนื่องจากสภาวะกรดมีความเป็นพิษต่อการทำงานของเซลล์ เอนไซม์สำคัญที่ทำหน้าที่ในการรักษาสภาพความเป็นกรดด่างในเซลล์ คือ ATPase หรือ F-ATPase ซึ่งจะทำหน้าที่ในการรักษาสภาพความเป็นกรดด่างผ่านเยื่อหุ้มเซลล์ มีรายงานว่า ความสามารถในการทนกรดขึ้นอยู่กับระดับเอนไซม์ F-ATPase ซึ่งมีความแตกต่างกันใน streptococci ในช่องปากสายพันธุ์ต่าง ๆ ทั้งนี้พบว่าหากสภาวะความเป็นกรดด่างลดลงต่ำลง จะเกิดการเพิ่มขึ้นของเอนไซม์ F-ATPase ของ *S. mutans* (Hamilton and Buckey 2007 : 65-71 ; Belli and Marquis 1991 : 1134-1138) ทำให้ *S. mutans* สามารถรักษาสภาพความเป็นกรดด่างได้ และมีการเปลี่ยนแปลงที่เยื่อหุ้มเซลล์ ทำให้ลดการนำเข้าของประจุบวก และมีการขับกรดออกสู่ภายนอกเพิ่มขึ้น

#### 2. การเหนี่ยวนำการทำงานของดีเอ็นเอและการสร้างโปรตีน

ในสภาวะกรดจะมีการเหนี่ยวนำการทำงานทำงานของยีนบางตัวและมีผลต่อการทำงานของเอนไซม์ (Quivey 2001 : 301-304) เช่น เอนไซม์ที่สร้างกรดไลโปไทโฉอิก (lipoteichoic acid synthesis) มีผลต่อเอนไซม์ที่เคลื่อนย้ายโปรตีน (protein translocation) เอนไซม์เหล่านี้มีบทบาทสำคัญในการสร้างเยื่อหุ้มเซลล์ ทำให้มีผลต่อโครงสร้างของเยื่อหุ้มเซลล์ของแบคทีเรีย ตัวอย่างเช่น หากสภาวะความเป็นกรดลดลงต่ำกว่า 5.0 จะทำให้ประสิทธิภาพในการเพิ่มกรุ่น D-alanine esters ที่ผนังไลโปไทโზอิกลดลง มีผลทำให้โครงสร้างของเยื่อหุ้มเซลล์เปลี่ยนแปลง และมีการส่งออกของประจุบวกเพิ่มมากขึ้น (Boyd et al. 2000 : 6055-6065)

### อิมลัชัน (Emulsion)

อิมลัชัน หมายถึงผลิตภัณฑ์รูปแบบหนึ่งที่ประกอบด้วยของเหลวอย่างน้อย 2 ชนิด ที่ไม่เข้ากันหรือไม่ละลายซึ่งกันและกัน เช่น น้ำและน้ำมัน ที่ถูกนำมาผสมด้วยกันในลักษณะที่ผสมผสานเข้าเป็นเนื้อเดียวกันได้โดยอาศัยตัวทำอิมลัชัน (emulsifier) แต่ถ้าส่วนใหญ่ด้วยกล้องจุลทรรศน์จะเห็นเป็น 2 วัตถุภาก คือ หยดน้ำอยู่ในของเหลวชนิดหนึ่งซึ่งเรียกว่า วัตถุภากภายใน (internal or dispersed phase) กระจายตัวแพร่กระจายอยู่ในของเหลวอีกชนิดหนึ่ง ซึ่งเรียกว่า วัตถุภากภายนอก (external or continuous phase) โดยทั่วไปหากของวัตถุภากภายในอาจทำให้มีขนาดต่าง ๆ กันได้ตั้งแต่ขนาดเล็กกว่า 0.05 ไมโครเมตร จนถึง 25 ไมโครเมตร ซึ่งขนาดใหญ่ของวัตถุภากภายในนี้มีผลต่อการกระจายแสง ได้ต่างกัน จึงทำให้อิมลัชันมีลักษณะภายนอกที่มีองค์ประกอบแตกต่างกัน ดังแสดงในตารางที่ 4

ตารางที่ 4 ลักษณะภายนอกที่มีองค์ประกอบของอิมลัชันและขนาดใหญ่ของวัตถุภากภายใน

ขนาดใหญ่ของวัตถุภากภายนอกใน (ไมโครเมตร)	ลักษณะอิมลัชันที่มีองค์ประกอบ
เล็กกว่า 0.05	โปร่งใส (transparent)
0.05 - 0.10	ขุ่นหรือโปร่งแสง (translucent)
0.10 - 1.00	สีขาวอมฟ้า
ใหญ่กว่า 1.00	ขุ่นขาวเทิน

ที่มา : พิมพ์ ลีลาพรพิสูฐ, อิมลัชันทางเครื่องสำอาง (เชียงใหม่ : คณะเภสัชศาสตร์ มหาวิทยาลัยเชียงใหม่, 2544) 1.

### ชนิดของอิมลัชัน

ชนิดของอิมลัชันที่พบได้โดยทั่วไปมักมีลักษณะขุ่นขาวคล้ายน้ำนม หรือมีลักษณะโปร่งใส สามารถแบ่งชนิดของอิมลัชันได้ดังนี้

#### 1. ชนิดของอิมลัชันที่แบ่งตามลักษณะภายนอกที่มีองค์ประกอบ มี 2 ชนิด คือ

1.1 แมกไครอิมลัชัน (macroemulsion) คือ อิมลัชันที่มีลักษณะขุ่นขาวซึ่งพบได้โดยทั่วไป อนุภาคของวัตถุภากภายนอกในมีขนาดตั้งแต่ 0.25 – 10 ไมโครเมตร (โดยทั่วไปใหญ่กว่า 1 ไมโครเมตร) จึงทำให้เกิดความแตกต่างในค่าดัชนีการหักเหแสงของวัตถุภากทั้งสอง และเกิดการกระจายแสงทำให้มองดูขุ่นขาว อิมลัชันชนิดนี้อาจแบ่งย่อยได้อีกเป็นอิมลัชันเนื้อหยอด (coarse emulsion) ซึ่งมีขนาดอนุภาคค่อนข้างใหญ่ และอิมลัชันเนื้อละเอียด (fine emulsion) ซึ่งมีขนาด

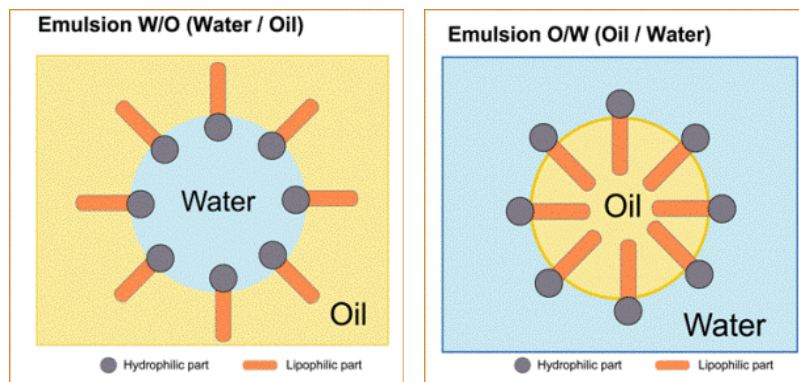
อนุภาคค่อนข้างเล็กหรือเล็กกว่า 5 ไมโครเมตรลงไป แม่คิโครอิมัลชันเป็นอิมัลชันที่พบมากที่สุดทั้งในอุตสาหกรรมอาหาร ยา และเครื่องสำอาง ตัวอย่างผลิตภัณฑ์ของอิมัลชันชนิดนี้ เช่น ไอศครีม ครีมรักษาโรคผิวหนัง ครีมกันแดด และโลชั่นทาผิว เป็นต้น

1.2 ไมโครอิมัลชัน (microemulsions) มีลักษณะโปร่งใส เนื่องจากอนุภาคของวัตถุภายนอกมีขนาดเล็กมาก (ประมาณ 10-75 นาโนเมตร) ซึ่งมีค่าน้อยกว่า 1 ใน 4 ของความยาวคลื่นแสงที่มองเห็นได้ (visible light) จึงไม่ hakkเหแสง แสงสะลุผ่านได้ ทำให้มองดูโปร่งใส หยดของวัตถุภายนอกมีลักษณะกลมลูกกลิ้องรอบด้วยฟิล์มของตัวอิมัลชัน มีหัวชนิดน้ำมันในน้ำ (o/w) และชนิดน้ำในน้ำมัน (w/o)

1.3 นาโนอิมัลชัน (nanoemulsions) หรือ mini-emulsion มีขนาดอนุภาค 50-200 นาโนเมตร ซึ่งอนุภาคขนาดเล็กมากทำให้เกิดการลดแรงโน้มถ่วง และมีการเคลื่อนที่แบบไร์ทิศทาง หรือการเคลื่อนที่แบบบราวน์เนียน (Brownian movement) ซึ่งอาจเป็นสาเหตุทำให้นาโนอิมัลชันไม่เกิดการแยกชั้น

2. ชนิดของอิมัลชันที่แบ่งตามชนิดของของเหลวที่เป็นวัตถุภายนอกและวัตถุภายนอกได้เป็น 3 ชนิด คือ

2.1 อิมัลชันชนิดน้ำในน้ำมัน (w/o emulsion) อิมัลชันชนิดนี้มีวัตถุภายนอกเป็นน้ำ วัตถุภายนอกเป็นน้ำมัน พอบอิมัลชันชนิดนี้ได้ปั่นในผลิตภัณฑ์เครื่องสำอาง เช่น ครีมล้างหน้า (cleansing cream) ครีมกลางคืน (night cream) ครีมนวดหน้า (massage cream) และครีมฮอร์โมน (hormone cream) เป็นต้น เนื่องจากอิมัลชันชนิดนี้มีความเหนอะหนะและล้างน้ำออกยาก จึงไม่เป็นที่นิยม



ภาพที่ 20 water-in-oil emulsion และ oil-in-water emulsion

ที่มา : Cargill, Incorporated, [Emulsifiers](#) [online], accessed 15 May 2010. Available from

[http://www.cargilltexturizing.com/products/functional/emulsifier/cts\\_prod\\_fun\\_emul\\_fun.shtml](http://www.cargilltexturizing.com/products/functional/emulsifier/cts_prod_fun_emul_fun.shtml)

2.2 อิมลัชันชนิดน้ำมันในน้ำ (o/w emulsion) อิมลัชันชนิดนี้กลับกับชนิดแรกคือ มีวัตถุภัณฑ์ในเป็นน้ำมัน วัตถุภัณฑ์อยู่ในน้ำ จึงมีความหนาแน่นอยู่ทางด้านนอก ทำแล้วกระจายตัวได้ดี ล้างน้ำออกง่าย เป็นที่นิยมมากในผลิตภัณฑ์เครื่องสำอาง เช่น ครีมและโลชั่นทาผิว (body cream and lotion) ครีมทาหน้า (vanishing cream) ครีมทา กันแดด (sunscreen cream) และครีมรองพื้น (foundation cream) เป็นต้น

2.3 อิมลัชันเชิงซ้อน (multiple emulsion) เป็นอิมลัชันที่มีวัตถุภัณฑ์ในชั้อนกัน อยู่ ซึ่งเป็นของเหลวต่างชนิดกัน เช่น w/o/w หรือ o/w/o อิมลัชันเชิงซ้อนนี้สามารถถูกกลบลายเป็น อิมลัชันธรรมชาติได้ เช่น w/o/w ซึ่งมีน้ำเป็นวัตถุภัณฑ์อยู่ในอิมลัชันธรรมชาติ แต่วัตถุภัณฑ์ในซึ่งเป็นน้ำมันจะมีหยดเล็กๆ ของน้ำซ่อนอยู่อีกด้วย เมื่อกลบลายเป็นอิมลัชันธรรมชาติ จะกลบลายเป็นชนิด o/w พบอิมลัชันชนิดนี้บ้างในผลิตภัณฑ์เครื่องสำอาง เช่น cold cream ซึ่งเป็นชนิด o/w/o เป็นต้น

### 3. ชนิดของอิมลัชันที่แบ่งตามความหนืดของอิมลัชัน ได้เป็น 2 ชนิดคือ

3.1 โลชั่น (lotion) เป็นอิมลัชันที่มีความหนืดต่ำ เพาะมีวัตถุภัณฑ์อยู่ในปริมาณที่สูง วัตถุภัณฑ์ในน้ำไม่เกิน 35% โลชั่นอาจเป็นทั้งชนิด o/w หรือ w/o ซึ่งอาจมีชื่อเรียกต่างกันออกไป น้ำนม (milky หรือ milky lotion) เป็นรูปแบบที่พบมากที่สุดในผลิตภัณฑ์ที่ใช้ทาผิว โดยเฉพาะผิวนุ่มนวลที่มีบริเวณกว้าง เพราะทานแล้วชุ่มชื้น ไม่เหนอะหนะ ดูดซึมดี ให้ความรู้สึกสบาย และล้างน้ำออกง่าย ตัวอย่างเช่น โลชั่นทาผิว โลชั่นป้องกันแสงแดด เป็นต้น โลชั่นชนิด w/o มีการใช้บ้างแต่ไม่นิยม เพราะทานแล้วเหนอะหนะผิว เช่น โลชั่นป้องกันแสงแดด ในกรณีที่ใช้ทาผิวก่อนลงว่ายน้ำควรเป็นโลชั่นชนิด w/o เพราะจะกันน้ำได้ดีกว่าชนิด o/w ทั้งนี้อาจเติมสารเพิ่มความหนืด (thickening agent) ลงในวัตถุภัณฑ์เพื่อให้โลชั่นหนืดขึ้น แต่ยังคงเป็นของเหลวที่ไหลได้

3.2 ครีม (cream) เป็นอิมลัชันที่มีความหนืดสูง (ลักษณะกึ่งแข็ง) เพาะมีส่วนประกอบของไนเจ็ง (wax) และกรดไนมัน (fatty acid) หรือไนมันชนิดแอลกอฮอล์ (fatty alcohol) ช่วยเพิ่มความหนืดและช่วยให้เนื้อครีมผสมกับน้ำมันในวัตถุภัณฑ์น้ำมันได้ ครีมมีทั้งชนิด o/w และ w/o มีความหนืดมากกว่าโลชั่น เพราะมีปริมาณวัตถุภัณฑ์ในสูงกว่าคือประมาณ 35-75% แล้วแต่ความหนืดของเนื้อครีมที่ต้องการ โดยมีการใช้สารเพิ่มเนื้อครีม (bodying หรือ stiffening agent) เช่น ไนมันและไนเจ็งดังที่กล่าวไว้ข้างต้น นอกจากนี้กรณีของครีมชนิด o/w อาจมีการเติมสารเพิ่มความหนืดร่วมด้วยในตัวรับ เช่น acacia, veegum และ methylcellulose เป็นต้น ซึ่งช่วยเพิ่มความหนืดให้แก่วัตถุภัณฑ์ ผลิตภัณฑ์เครื่องสำอางที่เป็นครีมชนิด o/w ได้แก่ ครีมทาผิว ครีมบำรุง ผนองผิว ครีมแต่งผิว ครีมโภนหนวด ครีมทา กันแดด ครีมระจับเหงื่อและขัดคลื่นตัว ครีมทาแก้สิว และครีมทาแก้ฝ้า เป็นต้น ครีมชนิด w/o ได้แก่ ครีมออร์โนน ครีมล้างหน้า ครีมนวดหน้า และครีมแต่งผิว เป็นต้น

นอกจากนี้ยังมีอิมัลชันชนิดพิเศษ คือ anhydrous emulsion ซึ่งไม่มีน้ำอยู่เลย ประกอบด้วย น้ำมันและสาร polyols เช่น glycerin, propylene, glycol และ PEG 400 เป็นต้น อิมัลชันที่ได้อาจมีลักษณะใสหรือขาวๆ

### ส่วนประกอบของอิมัลชัน

ผลิตภัณฑ์รูปแบบอิมัลชัน มีส่วนประกอบหลักที่สำคัญ 3 ส่วน คือ

1. วัตถุภาคน้ำ (water phase) ได้แก่ น้ำและสารต่างๆ ซึ่งอาจเป็นของแข็งหรือของเหลวที่ละลายได้ในน้ำ อาจเป็นสารเพิ่มความหนืด เช่น veegum, acacia, tragacanth, methylcellulose และ carbopol สารดูดความชื้นหรือฮิวเมกแทน (humectant) เช่น glycerin, propylene หรือสารในกลุ่ม glycals สารกันเสีย (preservative) เช่น methylparaben และ sodium benzoate สารลดแรงตึงผิว (surfactant) เช่น tween และ Sodium Lauryl Sulphate สีที่ละลายน้ำได้ เช่น amaranth และ tartrazine สารต้านออกซิเดชัน (antioxidant) เช่น sodium metabisulfite นอกจากนี้ อาจเป็นสารออกฤทธิ์อื่นที่ละลายน้ำได้ เช่น cetylpyridinium chloride และ benzalkonium chloride เป็นต้น สารต่างๆ เหล่านี้สามารถเติมลงในวัตถุภาคน้ำได้ ขึ้นอยู่กับส่วนประกอบของสูตรในผลิตภัณฑ์แต่ละประเภท

2. วัตถุภาcn้ำมัน (oil phase) ได้แก่ น้ำมันชนิดต่างๆ เช่น น้ำมันมะกอก (olive oil) น้ำมันแร่ (mineral oil) น้ำมันละหุ่ง (castor oil) สารในกลุ่มไขมัน เช่น stearyl alcohol, stearic acid, cetyl alcohol และ lanolin ไขแข็ง เช่น permaceti, beeswax, carnauba wax และ paraffin wax สีที่ละลายในน้ำมัน เช่น D&C Red No. 21 และ D&C Orange No.5 น้ำหอม เช่น น้ำมันเปลเปลอร์มินต์, orange oil และ perfume oil ชนิดต่างๆ สารกันทึบ เช่น butyrated hydroxyanisol (BHA) และ butyrated hydroxytoluene (BHT) สารลดแรงตึงผิว (surfactant) เช่น span และ Emulgin C 1000 รวมถึงสารออกฤทธิ์ชนิดต่างๆ เช่น ชอร์โวน และ วิตามิน เป็นต้น ขึ้นอยู่กับส่วนประกอบในสูตร คำรับของผลิตภัณฑ์แต่ละประเภท

3. ตัวทำอิมัลชัน (Emulsifier) ได้แก่ สารลดแรงตึงผิว เช่น tween, span และ Sodium Lauryl Sulphate colloidal ที่ชอบน้ำ เช่น acacia และ gelatin ของแข็งอนุภาคละเอียด เช่น bentonite และ colloidal magnesium aluminium silicate เป็นต้น ตัวทำอิมัลชันเป็นหัวใจสำคัญในการผสมผสานให้วัตถุภาcn้ำและน้ำมันเข้าเป็นเนื้อเดียวกันได้

### กลไกการเกิดอิมัลชัน (Sjoblom 2006 : 314)

โดยทั่วไปของเหลวสองชนิดซึ่งไม่เข้ากัน เมื่อนำมาร่วมกันจะแยกตัวออกเป็น 2 ชั้น เนื่องจากแรงตึงระหว่างผิว แต่เมื่อทำการเขย่าซึ่งเป็นการเพิ่มพลังงานและเพิ่มพื้นที่ผิวสัมผัสระหว่างของเหลวทั้งสอง จะทำให้ของเหลวทั้งสองรวมกันเป็นหนึ่งเดียว ในกันและกันได้ และมีลักษณะของอิมัลชันเกิดขึ้น แต่เป็นเพียงเหตุการณ์ที่เกิดขึ้นชั่วคราว ซึ่งหลักการทำงานเทอร์โมไดนามิกส์อธิบายได้ว่า การเขย่าเป็นการเพิ่มพลังงานอิสระที่พื้นผิว (surface free energy) ทำให้ของเหลวเข้ากันได้ชั่วคราว สถาภาวะนี้จะไม่คงตัว เพราะเมื่อหยุดเขย่าหยดของเหลวเหล่านี้จะพยายามกลับมาร่วมตัวกันและแยกชั้นเหมือนเดิม เนื่องจากมีการปรับสถาภาวะให้เข้าสู่จุดคงสภาพโดยการลดพื้นที่ผิวการสัมผัสระหว่างกันให้น้อยที่สุด เหตุการณ์ดังกล่าวนี้สามารถทำให้เกิดขึ้นได้อย่างถาวร โดยทำให้เกิดการกระจายตัวเป็นหยดเล็ก ๆ ซึ่งกันและกันระหว่างของเหลวทั้งสองชนิดโดยที่ขังคงสภาพอยู่ และจะไม่กลับไปแยกชั้นเหมือนเดิม โดยการเติมตัวทำอิมัลชันลงไปก่อนทำการการเขย่า ดังนั้นการเกิดอิมัลชันจึงต้องอาศัยกระบวนการ 2 ขั้นตอน คือ

1. การทำให้ของเหลวที่เป็นวัตถุภาคภายในแตกกระจายเป็นหยดเล็ก ๆ โดยอาศัยการให้พลังงาน ซึ่งอาจใช้ในรูปของความร้อน (heat) การคนหรือเขย่า (mechanical agitation) การสั่นสะเทือน โคลิกลีนเสียง (ultrasonic vibration) หรือไฟฟ้า (electricity) เป็นต้น

2. การทำให้หยดเล็กๆ ที่กระจายตัวอยู่นั้นคงสภาพอยู่ได้ โดยอาศัยตัวทำอิมัลชันซึ่งได้เคลมีการอธิบายกลไกการทำงานของตัวทำอิมัลชันไว้ดังนี้

2.1 ลดแรงตึงระหว่างผิวของของเหลวทั้งสอง เป็นการลดพลังงานอิสระที่พื้นผิวทำให้โอกาสที่หยดวัตถุภาคซึ่งกระจายตัวอยู่นั้น มีการรวมตัวกันได้น้อยลง และเป็นการเพิ่มความคงตัวทางเทอร์โมไดนามิกส์

2.2 เกิดฟิล์มที่แข็งแรงและยึดหยุ่น โดยรอบหยดวัตถุภาคภายใน ความแข็งแรงและลักษณะการเรียงตัวของโมเลกุลของฟิล์มนี้แตกต่างกันออกไป และวัตถุนี้จะมีความเข้มข้นของตัวทำอิมัลชันที่ใช้ฟิล์มอาจมีการเรียงตัวเป็นโมเลกุลเดี่ยว (monomolecular film) โดยหันด้านมีประจุเช้าหาวัตถุภาคน้ำ และด้านที่ไม่มีประจุหันเข้าหาวัตถุภาคน้ำมัน ฟิล์มนี้มักเกิดจากการใช้สารลดแรงตึงผิวเป็นตัวทำอิมัลชัน หรือมีการเรียงตัวช่อนกันของโมเลกุล (multimolecular film) เกิดจาก การใช้คอลลอยด์ที่ขอบน้ำเป็นตัวทำอิมัลชัน หรือมีการเรียงตัวของอนุภาคลีกคละอิเดของแข็ง (solid particle film) ซึ่งเกิดจากการใช้ของแข็งเล็กคละอิเดบางชนิดซึ่งดูดซับที่ผิวของวัตถุภาคทั้งสอง ฟิล์มที่เกิดขึ้นรอบหยดวัตถุภาคภายในนี้ทำหน้าที่เป็นกั้นชน (mechanical barrier) ป้องกันการสัมผัสกันโดยตรงของหยดวัตถุภาคภายใน ซึ่งกลไกนี้ถือว่าสำคัญที่สุด เพราะทราบได้ที่กั้นชนนี้ยังคงอยู่จะไม่ทำให้หยดวัตถุภาคภายในรวมตัวกันได้ ความแข็งแรงของกั้นชนนี้ยังขึ้นกับปริมาณของตัวทำ

อิมลชันที่ใส่ลงไปด้วย ถ้ามีปริมาณมากพอ การเรียงตัวของ โนเลกุลบันฟิล์ม ก็จะเรียงตัวกันหนาแน่นทำให้อิมลชันมีความคงตัวมากขึ้น ได้มีการศึกษาเกี่ยวกับคุณสมบัติหรือพฤติกรรมของฟิล์มที่เกิดขึ้นระหว่างผิวจากอเดิตามานถึงปัจจุบัน โดยมีสมนูติฐานใหม่อธิบายว่า อิมลชันที่คงตัวอาจเกิดจากมีชั้นของผลึกของเหลวอยู่ระหว่างผิวของหยดวัลภากภายในกับวัลภากภายนอกโดยมีโครงสร้างเป็นสามมิติ ซึ่งสามารถนำไปอธิบายปฏิกิริยาระหว่างกันของหยดวัลภากภายนใน ซึ่งเป็นสาเหตุทำให้อิมลชันเกิดการรวมตัวกันและแยกชั้นได้ นอกจากนี้ยังนำไปอธิบายกลไกการทำงานของตัวทำอิมลชันที่เป็นสารลดแรงตึงผิวนิดไม่มีประจุ (nonionic emulsifiers) โปรตีน (proteins) และสารจำพวกกัมที่มีขนาดโลเลกูลใหญ่ (macromolecular gums) ซึ่งทำให้อิมลชันคงสภาพได้ด้วย

2.3 เกิดชั้นคู่ของไฟฟ้าสถิตเป็นกันชนทางไฟฟ้า (electrical double layer) ซึ่งกันชนทางไฟฟ้าเกิดจากกลุ่มโนเลกุลที่มีประจุ (electrically charged groups) ซึ่งอยู่รอบผิวของหยดวัลภากภายนใน กลไกนี้ใช้อธิบายอิมลชันชนิด o/w ได้เป็นอย่างดี ตัวอย่างที่เห็นชัด คือ การใช้ sodium soap เป็นตัวทำอิมลชัน โนเลกุลที่เรียงตัวเป็นฟิล์มห่อหุ้มหยดวัลภากภายนจะหันด้านหัวที่เป็นไอออนเข้าหาวัลภากันน้ำ และหันด้านซึ่งเป็นไฮดราร์บอนเข้าหาวัลภากันน้ำมัน ไอออนที่มีประจุลบซึ่งเกิดจาก carboxylate group รอบหยดวัลภากภายนจะถูกล้อมรอบด้วยประจุบวกอีกชั้น ความต่างศักย์ไฟฟ้าที่เกิดจากไอออนประจุลบนี้จะผลักกัน ทำให้หยดน้ำมันไม่มีโอกาสเข้าใกล้กันถึงแม้ว่าตัวทำอิมลชันแต่ละชนิดซึ่งทำหน้าที่ในการทำให้เกิดอิมลชันและรักษาความคงตัวของผลิตภัณฑ์ไว้ได้นั้นอาจต้องอาศัยกลไกอย่างใดอย่างหนึ่งหรือมากกว่า 1 กลไก และอาจมีกลไกการทำงานต่างกันไปบ้าง แต่ข้อสำคัญ คือ ต้องเป็นสารที่สามารถถูกดูดซับอยู่ที่ผิวประจันระหว่างวัลภากันน้ำสองได้ และสร้างฟิล์มลักษณะได้ก็ได้ โดยปริมาณของตัวทำอิมลชันต้องมากพอที่จะเกิดฟิล์มแข็งแรงหนาแน่นรอบหยดวัลภากภายน จึงจะถือว่าตัวทำอิมลชันทำหน้าที่ได้อย่างสมบูรณ์

### สมบัติของอิมลชันทางเครื่องสำอาง

#### 1. ลักษณะภายนอกและความรู้สึก (appearance and feel)

ลักษณะภายนอกของอิมลชันมีด้วยกันหลายแบบ ขึ้นอยู่กับความหนืด ความยากง่ายในการเทออกจากรวด ความหมายหรือละเอียดของเนื้ออิมลชัน ความเป็นมัน การเหลืองมูก และความทึบแสง ปืนตัน ความรู้สึกเมื่อใช้อิมลชันจะแตกต่างกันขึ้นอยู่กับความมัน ความเหนอะหนะ ความเปียกเลี้น ความระคาย และคุณสมบัติการแผ่กระจายบนผิว ตลอดจนระยะเวลาในการแห้งตัว เมื่อใช้ทาบนผิว และเมื่อเก็บทิ้งไว้นาน คุณสมบัติดังกล่าวจะเริ่มทึบชั่นนิดและความคงตัวของอิมลชันถูกควบคุมโดยปัจจัยต่าง ๆ เช่น คุณสมบัติทางเคมีกายภาพของวัลภากันน้ำและน้ำมัน อัตราส่วนของวัลภากันน้ำและน้ำมัน ชนิดและความเข้มข้นของตัวทำอิมลชัน ลำดับการผสม อุณหภูมิในการ

เกิดอิมัลชัน ชนิดของเครื่องมือที่ใช้ผสม และอัตราความเร็วในการทำให้อิมัลชันเย็นตัวลง นอกจากนี้ขนาดอนุภาคของวัสดุภายนอกในกึ่งผลต่อสักจะมีอิมัลชันที่ได้ ความเหลือบมุกมักเกิดจาก stearic acid, cetyl alcohol, stearyl alcohol และอนุพันธ์ของมัน ซึ่งอัตราการเหลือบมุกจะเกิดเร็ว หรือช้าขึ้นอยู่กับอัตราการทำให้อิมัลชันเย็นตัวลง และอัตราการเกิดพลิกของสารเหล่านี้

คุณสมบัติเมื่อใช้ขึ้นอยู่กับสารที่ใช้เป็นส่วนประกอบในสูตรและชนิดของอิมัลชัน อิมัลชันที่มีปริมาณน้ำมันสูงจะเกิดฟิล์มนันบนผิว และถ้ามีไขมันชนิดแอลกอฮอล์ที่เป็นของแข็ง กรณีไขมัน เอสเตอโรล และไขมันแข็ง มักจะทำให้เกิดฟิล์มแห้งบนผิว ผลิตภัณฑ์ที่มี paraffin ปริมาณสูง จะรักษาลิ่นเมื่อทابผิว สารพวก polyols ในปริมาณสูงทำให้เกิดความชุ่มชื้น อิมัลชันชนิด o/w มักจะ เป็นมันน้อยกว่าชนิด w/o

## 2. วิทยาศาสตร์การไหล (Rheology)

คุณสมบัติการไหลที่เกี่ยวข้องกับคุณภาพและความคงตัวของอิมัลชัน ได้แก่ ความหนืด (viscosity) ความยืดหยุ่น (plasticity) และความอ่อนนิ่ม (elasticity) อิมัลชันส่วนใหญ่มีการไหลแบบ non-newtonian อาจเป็นแบบ pseudoplastic (ค่าความหนืดจะเปลี่ยนแปลงตามเวลาเมื่อมีแรงกระทำต่อการไหล ซึ่งเมื่อเพิ่มแรงกระทำให้เกิดการไหลความหนืดจะลดลง) แบบ plastic (ต้องเพิ่มแรงจนถึงจุดหนึ่งจึงจะมีการไหลเกิดขึ้น) ซึ่งเกิดกับอิมัลชันที่มีความหนืดสูง เช่น ครีม หรือแบบ thixotropic (เมื่อเพิ่มแรงให้โดยการเขย่าจะเหลว แต่เมื่อตั้งทิ้งไว้จะหนืด) ซึ่งเกิดกับพลาสติก

ความหนืดเป็นคุณสมบัติที่สำคัญของอิมัลชัน เพราะการเปลี่ยนแปลงความหนืดของอิมัลชันเนื่องจากสาเหตุใดก็ตาม จะส่งผลต่อคุณภาพและความคงตัวด้วย และยังมีผลต่อความรู้สึกของผู้ใช้ผลิตภัณฑ์นั้น เช่น ความน่าเชื่อถือ เป็นต้น ถ้าอิมัลชันมีความหนืดลดลง แสดงว่าหยดอนุภาคภายในมีขนาดโตขึ้น เนื่องจากเกิดการรวมตัวกัน (coalescence) และอิมัลชันจะมีอายุสั้นลง ปัจจัยที่มีผลต่อความหนืดของอิมัลชันมีดังนี้

- 2.1 ปริมาณวัสดุภายนอก
- 2.2 ความหนืดของวัสดุภายนอก
- 2.3 ขนาดและการกระจายของอนุภาควัสดุภายนอก ถ้ามีขนาดเล็กอิมัลชันจะหนืด
- 2.4 ความเข้มข้นของตัวทำอิมัลชัน
- 2.5 โครงสร้างทางเคมีของตัวทำอิมัลชัน
- 2.6 คุณสมบัติทางกายภาพของฟิล์มที่หุ้มรอบหยดน้ำมัน (วัสดุภายนอก)
- 2.7 วิธีเตรียมอิมัลชัน ถ้าใช้เครื่องมือที่มี shear rate สูง อิมัลชันที่ได้จะหนืด การเพิ่มความหนืดให้กับอิมัลชันเป็นการเพิ่มความคงตัว เพราะถ้ามีความหนืดมากจะต้านการไหลได้ดี

เมื่อทิ้งไวนานอิมลชันจะไม่เปลี่ยนแปลง อาจทำได้โดยใช้สารเพิ่มความหนืดในวัสดุภายนอก เช่น gum หรือใช้สารลดแรงตึงผิวในปริมาณที่มากเกินพอด้วย

### 3. ขนาดอนุภาค (Particle size)

ขนาดอนุภาคของอิมลชันมีผลต่อักษณะอิมลชันที่ได้ (ดังตารางที่ 4) คุณสมบัติการไหลและความคงตัวของอิมลชัน อิมลชันที่มีขนาดอนุภาคเล็กนักจะหนืด เนื้อเนียน และคงตัว ปัจจัยที่มีอิทธิพลต่อขนาดของอนุภาคอิมลชัน คือ ชนิดและความเข้มข้นของตัวทำอิมลชัน วิธีการผลิต เช่น ปริมาณพลังงานที่ให้และลำดับการผสม การวัดขนาดอนุภาคใช้วิธีตรวจสอบด้วยกล้องจุลทรรศน์ ใช้วิธีกระจายแสง (light scattering technique) การนับจำนวนอนุภาคด้วยเครื่อง coulter counter หรือการคำนวณโดยใช้ stoke's law

### 4. การกลับวัสดุภาครูป (Phase inversion)

ในบางสภาวะอิมลชันอาจเกิดการกลับวัสดุภาครูปไปมาระหว่างชนิด o/w และชนิด w/o ได้ ซึ่งการกลับวัสดุภาคนี้มีทั้งผลดีและผลเสีย ถ้าเป็นการกลับวัสดุภาครูปเพื่อได้อิมลชันชนิดคละเอียดโดยใช้เทคนิคการกลับวัสดุภาครูปที่เป็นผลดี แต่ถ้าเป็นการกลับวัสดุภาครูปแล้วอิมลชันเสียความคงตัวถ้าเป็นผลเสีย ตัวอย่างเช่น กรณีที่มีวัสดุภาครูปในมากกว่า 74% ซึ่งทำให้อิมลชันเปลี่ยนจากชนิด o/w เป็นชนิด w/o และไม่คงสภาพถ้าเป็นผลเสีย การกลับวัสดุภาครูปของอิมลชันอาจเกิดได้ในกรณีที่มีวัสดุภาครูปในน้อยกว่า 74% ซึ่งบีบกับปัจจัยดังนี้

4.1 ความเข้มข้นของตัวทำอิมลชัน ตัวทำอิมลชันในความเข้มข้นสูงจะทำให้สามารถใช้วัสดุภาครูปในได้มากกว่าก่อนจะเกิดการกลับวัสดุภาครูป

4.2 ชนิดของตัวทำอิมลชัน อิมลชันชนิด o/w นี้ ถ้าตัวทำอิมลชันมีค่า hydrophilic lipophilic balance (HLB) ต่ำ เช่น sorbitan monoester การเพิ่มความเข้มข้นจะทำให้ใช้วัสดุภาครูปในได้น้อยลงก่อนกลับวัสดุภาครูป ในทางกลับกันตัวทำอิมลชันที่มีค่า HLB สูง เช่น สารกลุ่ม polyoxyethylenes การเพิ่มความเข้มข้นจะทำให้ใช้วัสดุภาครูปในได้สูงขึ้นก่อนกลับวัสดุภาครูป

4.3 ชนิดและปริมาณองค์ประกอบต่าง ๆ ในตัวรับ การเติมอิเล็กโทรไลต์จะมีผลต่อการละลายหรือความคงตัวของตัวทำอิมลชันบางตัวรับ ตัวอย่างเช่น เติม calcium chloride ลงในอิมลชันชนิด o/w ซึ่งใช้ sodium soap เป็นตัวทำอิมลชัน จะทำให้เกิดการกลับวัสดุภาครูปเป็นชนิด w/o โดยมี calcium soap เป็นตัวทำอิมลชันแทน เป็นต้น

4.4 การเปลี่ยนอุณหภูมิ การกลับวัสดุภาครูปอาจเกิดระหว่างการเติมอิมลชันในขณะที่อิมลชันเย็นตัวลงสู่อุณหภูมิห้อง เรียกอุณหภูมิณ จุดกลับวัสดุภาครูป phase inversion temperature (PIT) เป็นปรากฏการณ์ที่เกิดขึ้นในการเติมอิมลชันที่ใช้ตัวทำอิมลชันชนิดไม่มีประจุโดยเฉพาะกลุ่ม polyoxyethylenes โดย PIT เป็นอุณหภูมิที่คุณสมบัติในการซ่อนน้ำและซ่อนน้ำมัน

ของตัวทำอิมัลชันมีความสมดุลกัน มีการสูญเสียน้ำทำให้เกิดการซุ่น อาจเรียกค่านี้ว่า HLB temperature การเปลี่ยนแปลงอุณหภูมิของอิมัลชันจาก ณ ที่สูงกว่าค่า PIT ไปหา ณ ที่ต่ำกว่าค่า PIT ทำให้การละลายของตัวทำอิมัลชันเปลี่ยนไป จึงทำให้อิมัลชันกลับวัฏภาชนะได้ มีการนำคุณสมบัติ ดังกล่าวไว้ไปใช้ประโยชน์ในการเตรียมอิมัลชันชนิด o/w ที่มีขนาดอนุภาคเล็กและคงตัว โดยใช้เทคนิคการกลับวัฏภาชนะ โดยการเตรียมอิมัลชัน ณ อุณหภูมิสูงกว่าค่า PIT นอกจานนี้ยังนำค่า PIT ไปใช้เป็นแนวทางในการเลือกตัวทำอิมัลชันที่เหมาะสมด้วย กล่าวคือ ควรเลือกตัวทำอิมัลชันที่ มีค่า PIT สูงกว่าอุณหภูมิที่ใช้ในการเก็บรักษาอิมัลชัน จึงจะทำให้อิมัลชันคงตัว โดยไม่กลับวัฏภาชนะ

4.5 ความคงตัว (stability) ผลิตภัณฑ์เครื่องสำอาง นอกจานี้ต้องมีลักษณะสวยงาม น่าใช้และมีคุณภาพดีแล้ว ความคงตัวตลอดระยะเวลาที่วางขายหรือก่อนถึงผู้บริโภคก็เป็นสิ่งสำคัญ ที่ต้องคำนึงถึงอย่างยิ่ง การเพิ่มความคงตัวอาจทำได้โดยการเติมสารต้านออกซิเดชัน สารกันเสีย การเลือกใช้น้ำหอมและสีที่เข้าได้กับส่วนประกอบในสูตรต่อมา นอกจานนี้ยังต้องเลือก ส่วนประกอบของวัฏภาชนะ น้ำมัน และตัวทำอิมัลชันที่เหมาะสมเพื่อให้ได้ผลิตภัณฑ์ที่มีความคงตัวทางกายภาพ

### ความไม่คงตัวทางกายภาพของอิมัลชัน

ความไม่คงตัวทางกายภาพของอิมัลชันมักเกิดจากการรวมตัวของหยดวัฏภาคนายใน แล้วแยกออกจากวัฏภาคนายนอก ซึ่งเกิดได้ 3 ลักษณะ คือ

1. Creaming เป็นลักษณะที่วัฏภาคนายในแยกตัวไปรวมกันลอยอยู่ชั้นบน หรือนอนกัน ภายนะ ทำให้เห็นแยกเป็นชั้นครีม และชั้นอิมัลชันที่เจือจาก มักเกิดกับอิมัลชันที่มีความหนืดต่ำ เช่น โอลิฟ เป็นความไม่คงตัวที่เกิดขึ้นไม่ถาวร เมื่อขยายสารการทำให้ชั้นที่แยกนี้ผสมกันได้ดังเดิม การป้องกันการเกิด creaming อาจทำได้โดยลดขนาดหยดของวัฏภาคนายใน เช่น ใช้ homogenizer หรือ ทำให้วัฏภาคน้ำที่ส่องมีความหนาแน่นเท่ากัน หรือเพิ่มความหนืดให้กับวัฏภาคนายออกโดยใช้สารเพิ่มความหนืด

2. Flocculation เป็นความไม่คงตัวชนิดไม่ถาวร เช่นกัน แต่รุนแรงกว่า creaming เพราะ หยดอนุภาคนายในที่แยกตัวรวมกันนี้เกิดแรงdragging กันอย่างอ่อน ๆ ซึ่งจะนำไปสู่การเกิด coalescence ซึ่งเป็นความไม่คงตัวอย่างถาวรได้ flocculation นี้อาจเกิดก่อน หลัง หรือระหว่างการเกิด creaming ได้ การขยายให้กลับสู่สภาพเดิมจะขึ้นกับแรงdragging กันระหว่างอนุภาคนาย ซึ่งพิจารณาได้ จากคุณสมบัติทางเคมีของตัวทำอิมัลชัน อัตราส่วนวัฏภาคนายในกับวัฏภาคนายออก ความเข้มแข็ง ของสารอิเล็กโทรไลต์ และตัวทำอิมัลชันที่มีประจุ การป้องกันการเกิด flocculation อาจทำได้โดย ทำให้มีแรงผลักระหว่าง electrical double layer สูงพอ โดยใช้ตัวทำอิมัลชันที่มีประจุที่ดูดซับได้ที่

ผิวประจัน ทำให้เกิดฟิล์มแข็งแรงที่เรียกว่าไกล์ชิดหนาแน่น หรือถ้าเป็นตัวทำอิมัลชันชนิด ไม่มีประจุ ควรใช้ความเข้มข้นสูงพอที่จะเกิดฟิล์มหนาหุ้มรอบหยดน้ำภายนอก

3. Coalescence เป็นความไม่คงตัวชนิดการโดยหยดอนุภาคภายในเกิดหลอมรวมตัวกันเป็นหยดที่โตขึ้นจนแยกออกเป็นชั้นน้ำและน้ำมันอย่างชัดเจน เนื่องจากฟิล์มที่หุ้มรอบหยดน้ำภายนอกในไม่แข็งแรง หรือการเพิ่มอุณหภูมิซึ่งทำให้ตัวทำอิมัลชันบางชนิดแตกตะกอน การป้องกัน coalescence อาจทำได้โดยเลือกชนิดและปริมาณของตัวทำอิมัลชันอย่างเหมาะสม อาจใช้ตัวทำอิมัลชันร่วมหรือเพิ่มความหนืดของวัสดุภายนอก

### นาโนอิมัลชัน (Nanoemulsion)

นาโนอิมัลชันส่วนใหญ่มักอยู่ในรูปของอิมัลชันชนิด o/w มีขนาดอนุภาคอยู่ที่ประมาณ 50-1000 นาโนเมตร แต่โดยทั่วไปพบขนาดอนุภาคที่ 100-500 นาโนเมตร อนุภาคที่พบนี้จะพบทั้งที่เป็นวัสดุภายน้ำในน้ำมัน และวัสดุภายน้ำมันในน้ำ โดยที่บางครั้งอาจมีการเรียกนาโนอิมัลชันว่า sub-micron emulsion (SME) หรือ mini-emulsion

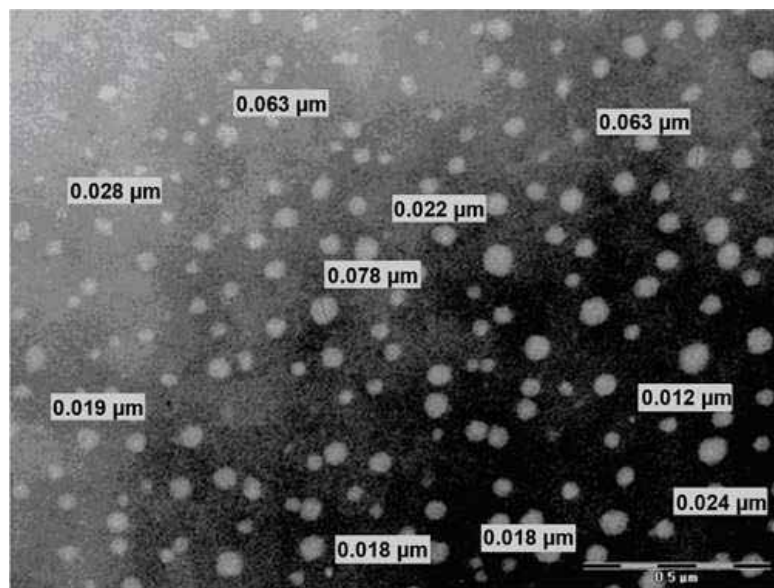
นาโนอิมัลชัน มีส่วนประกอบหลัก คือ น้ำมัน น้ำและสารลดแรงตึงผิว โดยสามารถคงรูปอยู่ได้จากผิวฟิล์มของสารลดแรงตึงผิว สามารถเตรียมได้จากสารลดแรงตึงผิวหลายชนิดแต่ต้องคำนึงถึงความเป็นพิษของสาร เช่น กัน แต่โดยทั่วไปแล้วจำเป็นต้องใช้สารลดแรงตึงผิวในปริมาณสูง เพื่อเพิ่มความคงตัวของของเหลว (Tcholakova, Denkov, and Danner 2004 : 7444–7458) โดยทั่วไปขั้นตอนการทำนาโนอิมัลชันจะเป็นการผสมวัสดุภายนอกโดยใช้แรงเชิงกลที่สูง ซึ่งประโยชน์ของนาโนอิมัลชันมีดังนี้ (วรารณ์ บรรยายประเสริฐ 2552 : 117-118)

1. นาโนอิมัลชันมีพื้นที่ผิวสัมผัสมากกว่าแมคโครอิมัลชัน ดังนั้นจึงทำให้นาโนอิมัลชันมีประสิทธิภาพในการส่งผ่านสารสำคัญได้ดีกว่า

2. นาโนอิมัลชันมีโอกาสเกิด creaming, flocculation และ coalescence ได้ต่ำกว่าแมคโครอิมัลชัน

3. สามารถเตรียมนาโนอิมัลชันได้หลายรูปแบบ เช่น ครีม โลชั่น สเปรย์ และโฟม

4. นาโนอิมัลชันไม่ก่อให้เกิดอาการระคายเคืองต่อผิวหนัง หรือเนื้อเยื่อต่างๆ ของร่างกาย รวมทั้งในเซลล์ของสัตว์ ดังนั้นจึงสามารถนำนาโนอิมัลชันมาใช้ได้กับคนและสัตว์



ภาพที่ 21 ลักษณะ nanoemulsion ของ aceclofenac ที่ถ่ายภาพด้วย TEM (Transmission Electron Microscope)

ที่มา : Faiyaz Shakeel et al. "Nanoemulsions as Vehicles for Transdermal Delivery of Aceclofenac," *AAPS PharmSciTech* 4, 8 (December 2007) : Article 104.

#### การประยุกต์ใช้นาโนอิมัลชัน (Application of nanoemulsion)

ในทางเครื่องสำอางได้มีการนำนาโนอิมัลชันมาใช้นำพาสารสำคัญทางเครื่องสำอางให้ซึมเข้าสู่ผิวหนังโดยเฉพาะพวงน้ำมัน นาโนอิมัลชันเป็นอิมัลชันที่เหมาะสมสำหรับการใช้เป็นตัวกลางในการนำพาสารสำคัญพวงน้ำมันได้ดีกว่าพวงไอลิปโซโซม (liposomes) โดยข้อดีของนาโนอิมัลชันที่เหมือนกับไอลิปโซโซม คือ สามารถช่วยในเรื่องการซึมผ่านของสารสำคัญเข้าสู่ผิวหนังของมนุษย์ได้ดี ทำให้มีปริมาณสารสำคัญจำนวนมากที่ซึมเข้าสู่ผิวหนัง และด้วยการที่มีพื้นที่ผิวสัมผัสสูงจึงทำให้นาโนอิมัลชันสามารถเป็นสารตัวกลางในการส่งผ่านสารต่างๆ ได้ดี และยังช่วยเพิ่มกระบวนการทางชีวภาพต่างๆ ให้กับผิวหนัง เช่น การช่วยทำให้ผิวหนังลดการสูญเสียน้ำ โดยนาโนอิมัลชันจะช่วยเพิ่มความแข็งแรงให้กับผิว (วรรณณ์ จราญาประเสริฐ 2552 : 117-121)

#### คุณสมบัติในการนำเข้าชุดชีพของนาโนอิมัลชัน

มีผู้ทำการศึกษาคุณสมบัติในการนำเข้าชุดชีพของนาโนอิมัลชัน โดยนาโนอิมัลชันมีความสามารถในการนำเข้าชุดชีพหลายชนิด ได้แก่ เซื้อแบนค์ที่เรียกว่ารูบและแกรมลบ เซื้อไวรัส และเซื้อร่า โดยมีผู้ทำการศึกษาผลการนำเข้าของระบบนาโนอิมัลชันโดยมีการเตรียมโดยใช้สารลดแรงตึงผิวนิดต่างๆ ด้วย (Myc et al. 2002 : 195-201)

ได้มีรายงานการทดสอบเชื้อแบคทีเรียแกรมบวกและแกรมลบด้วยนาโนอิมัลชัน โดยการทดสอบนาโนอิมัลชันสูตร GMO/CPC กับแบคทีเรียแกรมบวกและแกรมลบเป็นเวลา 10 และ 30 นาที พบว่า นาโนอิมัลชันที่ใช้มีประสิทธิภาพในการฆ่าเชื้อแบคทีเรียได้สูงกว่า 95% ดังแสดงในตารางที่ 5 และ 6 (Wright 1996 ; Hamouda et al. 2001 : 1-7)

นอกจากมีการศึกษาคุณสมบัติในการฆ่าเชื้อแบคทีเรียแล้ว ยังได้มีการรายงานความสามารถในการฆ่าเชื้อไวรัสได้อีกด้วย โดยเชื้อไวรัสที่ได้มีการศึกษาได้แก่ เชื้อ vaccinia virus, เชื้อ Influenza A virus และเชื้อ Herpes simplex virus (Wright 1996 ; Hamouda et al. 2001 : 1-7) ดังแสดงในภาพที่ 22-23

ตารางที่ 5 ผลการฆ่าเชื้อแบคทีเรียแกรมบวกชนิดต่างๆ ด้วยนาโนอิมัลชันหลังจากการทดสอบที่เวลา 10 และ 30 นาที

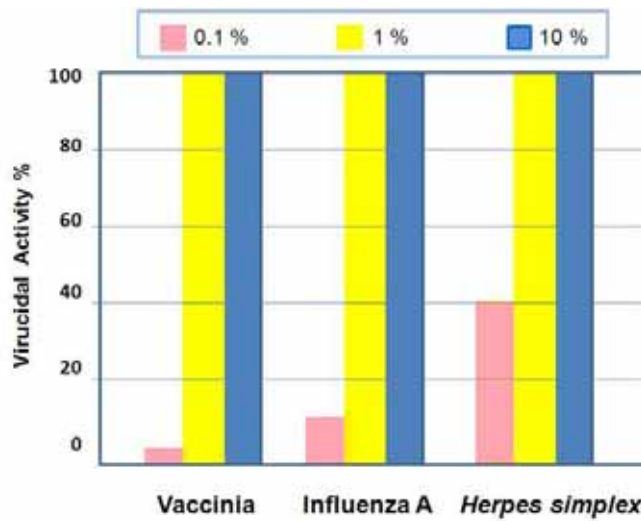
Bacteria	Innoculum (CFU)	%Inactive after 10 minutes incubation	%Inactive after 30 minutes incubation
<i>Staphylococcus aureus</i> (type 8)	$2 \times 10^7$	99.99	99.99
<i>Staphylococcus aureus</i> (type 5)	$9 \times 10^6$	100	99.99
<i>Staphylococcus epidermidis</i> (strain 977)	$8 \times 10^5$	100	100
Group B	$2.9 \times 10^7$	99.99	100
<i>Streptococcus</i> (capsular type III)			
Group A	$3.3 \times 10^7$	99.99	99.99
<i>Streptococcus</i> (beta-hemolytic)			
<i>Listeria monocytogenes</i>	$1.3 \times 10^8$	99.99	99.99
<i>Streptococcus pneumoniae</i> (type 5 ATCC 6305)	$6.4 \times 10^7$	100	100
<i>Propionibacterium acnus</i> (ATCC 6919)	$1.2 \times 10^8$	100	100
<i>Gardnerella vaginalis</i> (ATCC 14018)	$5.5 \times 10^7$	100	100

ที่มา : D.C. Wright, "Antimicrobial oil-in-water emulsions," United States Patent, 1996 : 5-6.

ตารางที่ 6 ผลการฆ่าเชื้อแบคทีเรียแกรมลบชนิดต่างๆ ด้วยนาโนอิมลชันหลังจากการผสมที่เวลา 10 และ 30 นาที

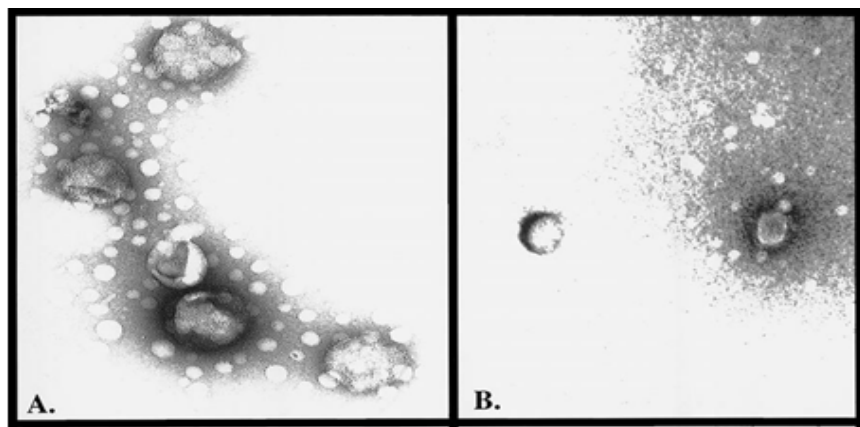
Bacteria	Innoculum (CFU)	%Inactive after 10 minutes incubation	%Inactive after 30 minutes incubation
<i>Escherichia coli</i> Type 018:K1	$2.1 \times 10^7$	97.1	96.7
<i>Escherichia coli</i> Type 018:K	$3.2 \times 10^7$	89.7	99.6
<i>Escherichia coli</i> 35 (epimerase deficient)	$3 \times 10^7$	94	85
<i>Pseudomonas aeruginosa</i> Type FD-1	$3.8 \times 10^7$	99	99
<i>Pseudomonas aeruginosa</i> MEP strain 2192	$8 \times 10^7$	99.1	97.5
<i>Haemophilus influenzae</i> capsular type b	$1 \times 10^7$	99.99	99.99
<i>Neisseria neningitidis</i> type b (ATPP 13090)	$1.6 \times 10^8$	100	100
<i>Neisseria gonorrhoeae</i> (ATCC 9793)	$1.2 \times 10^6$	100	100

ที่มา : D.C. Wright, "Antimicrobial oil-in-water emulsions," United States Patent, 1996 : 6.



ภาพที่ 22 กราฟแสดงผลการฆ่าเชื้อไวรัสของนาโนอิมัลชัน (BCTP) โดยที่ความเข้มข้น 10% และ 1% ปรากฏผลการฆ่าเชื้อ vaccinia, influenza A และ *Herpes simplex virus* ได้ 100% ในเวลา 15 นาที

ที่มา : Tarek Hamouda et al., “A novel surfactant nanoemulsion with a unique non-irritant topical antimicrobial activity against bacteria, enveloped viruses and fungi,” Microbiology Research, no. 156, 1 (2001) : 1-7.



ภาพที่ 23 ภาพถ่ายจากกล้อง Electron microscopy ของเชื้อ influenza A ที่ผ่านการทดสอบกับนาโนอิมัลชัน  
 A. influenza A virus ที่ยังไม่ผ่านการทดสอบกับนาโนอิมัลชัน,  
 B. influenza A virus ที่ทดสอบกับนาโนอิมัลชันเป็นเวลา 15 นาทีพบว่า ไม่ปรากฏเชื้อหุ้มของไวรัสให้เห็น

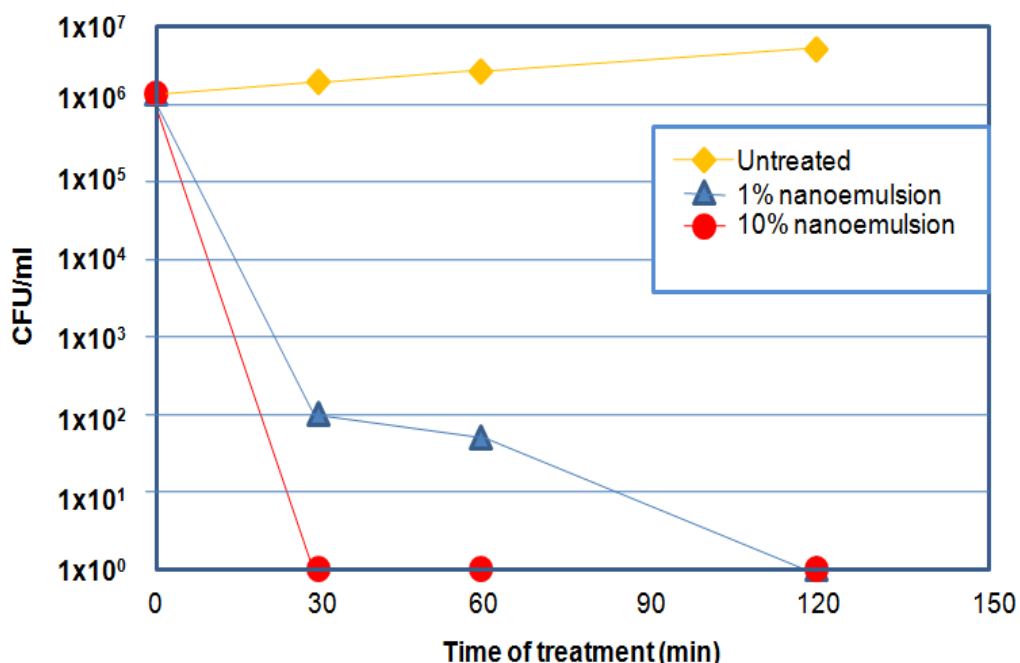
ที่มา : Tarek Hamouda et al., “A novel surfactant nanoemulsion with a unique non-irritant topical antimicrobial activity against bacteria, enveloped viruses and fungi,” Microbiology Research, no. 156, 1 (2001) : 1-7.

นอกจากนี้แล้วยังมีรายงานคุณสมบัติในการฆ่าเชื้อรากด้วย nanoemulsion อีกด้วย โดยเชื้อรากดที่มีการนำมาศึกษาคือ *Candida albicans* และเชื้อรากด *Candida tropicalis* (Myc et al. 2002 : 195-201) ดังแสดงในตารางที่ 7 และภาพที่ 24-25

ตารางที่ 7 แสดงผลการฆ่าเชื้อรากดต่างๆ ด้วย nanoemulsion หลังจากการผสมที่ 10 และ 30 นาที

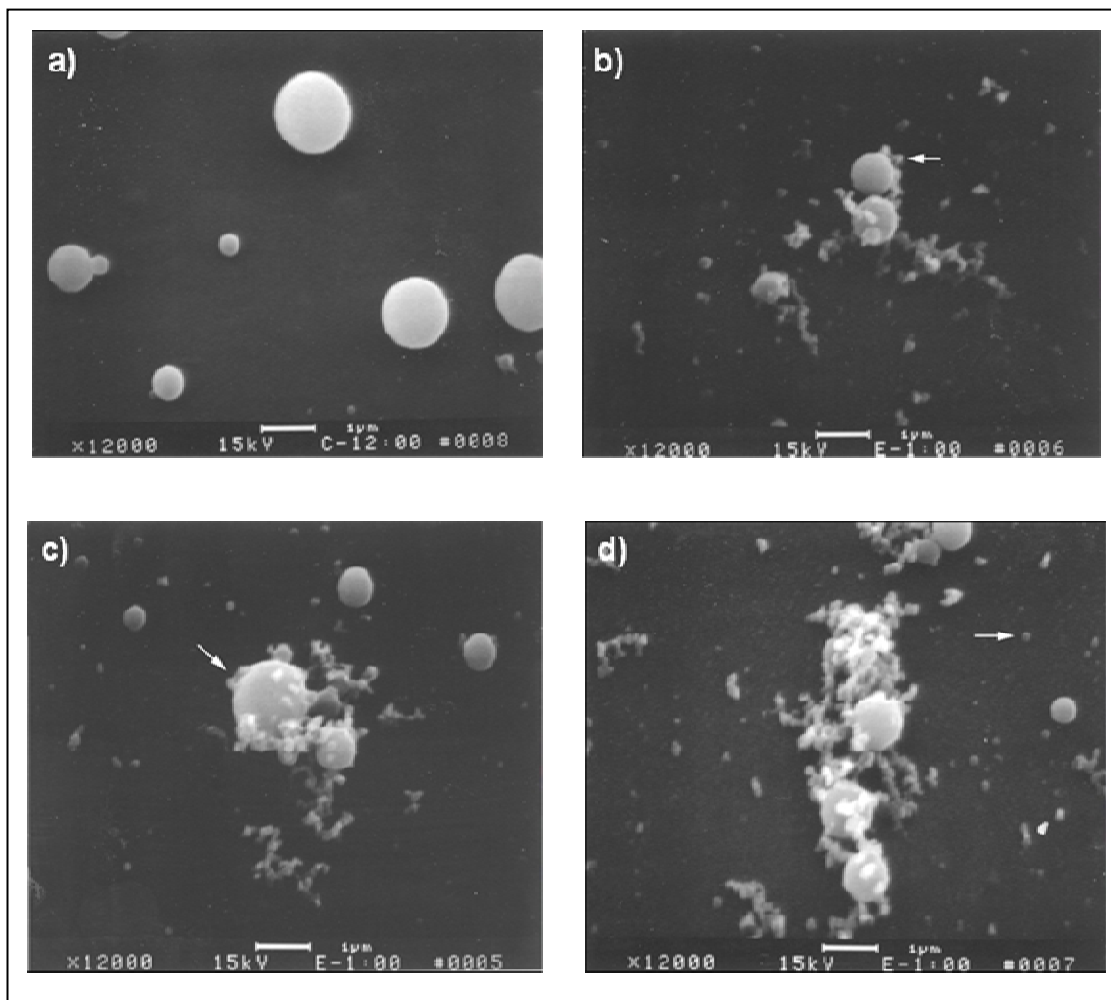
Yeast	Innoculum (CFU)	%Inactive after 10 minutes incubation	%Inactive after 30 minutes incubation
<i>Candida albicans</i>	$3.2 \times 10^5$	62.5	62.5
<i>Candida tropicalis</i>	$5.4 \times 10^5$	100	100

ที่มา : A. Myc et al., "The fungicidal activity of novel nanoemulsion (X8W60PC) against clinically important yeast and filamentous fungi," *Mycopathologia* 4, 155 (2002) : 195-201.



ภาพที่ 24 Kinetics ของการฆ่าเชื้อ *Candida albicans* ด้วย nanoemulsion ความเข้มข้น 1% และ 10% ที่เวลาต่างๆ โดยมี BHI medium เป็นตัวควบคุม

ที่มา : A. Myc et al. "The fungicidal activity of novel nanoemulsion (X8W60PC) against clinically important yeast and filamentous fungi," *Mycopathologia* 4, 155 (2002) : 195-201.



ภาพที่ 25 ภาพถ่ายจากกล้อง Electron microscopy ของ *Candida albicans* ที่ทดสอบกับนาโนอิมัลชัน ภาพ a แสดงภาพเชื้อยีสต์ปกติ ภาพ b, c, d แสดงภาพของเชื้อยีสต์ที่ทดสอบกับนาโนอิมัลชันความเข้มข้น 1% ที่เวลาต่างๆ (ลูกศรที่เป็นหยดของนาโนอิมัลชัน) กำลังขยาย = 12,000x

ที่มา: A. Myc et al. "The fungicidal activity of novel nanoemulsion (X8W60PC) against clinically important yeast and filamentous fungi," Mycopathologia 4, 155 (2002) : 195-201.

### น้ำมันหอมระเหย

การสกัดน้ำมันหอมระเหย (essential oil) ทำได้หลายวิธี เช่น การบีบเย็น (cold pressing) การกลั่นด้วยไอน้ำ (steam distillation) การสกัดด้วยตัวทำละลาย (solvent extraction) สกัดสารโดยใช้ของไหหลังอิภิกุต (supercritical fluid extraction) และการสกัดด้วยเฟสสองแข็ง (solid phase extraction) การศึกษาองค์ประกอบของน้ำมันหอมระเหยด้วยเทคนิค gas

chromatography (GC), liquid chromatography (LC) และการกลั่น (distillation) ทำให้ทราบว่าสารสำคัญที่เป็นองค์ประกอบของน้ำมันหอมระเหยมีฤทธิ์ทางชีวภาพ (biological activity) ที่หลากหลาย เช่น ต้านการแพ้ (antiallergic) ยับยั้งเอนไซม์ (enzyme inhibitory) ต้านอักเสบ (anti-inflammatory) ต้านการก่อภัยพันธุ์ (antimutagenic) ต้านสารก่อมะเร็ง (anticarcinogenic) ต้านไวรัส (antiviral) ไล่แมลง (insect repellent) ฤทธิ์ม่าหอย (molluscicidal) และต้านจุลชีพ (antimicrobial) เป็นต้น (Nakatsu et al. 2000 : 571-631 ; Bakkali et al. 2008 : 446-475) สารสำคัญในน้ำมันหอมระเหยที่มีฤทธิ์ทางชีวภาพและมีศักยภาพในการนำมาประยุกต์ใช้ในเภสัชกรรม ได้แก่ eudesmol derivative เป็นอนุพันธ์ชนิดใหม่ที่มีโครงสร้างทางเคมีเป็น sesquiterpenes มีฤทธิ์ต้านการก่อภัยพันธุ์ acyclic terpene alcohols เป็นสารจำพวก polyphenol ที่มีฤทธิ์ยับยั้งเอนไซม์ tyrosinase กำลังได้รับความนิยมในการนำมาใช้เป็นส่วนประกอบในเครื่องสำอางชนิดต่าง ๆ totarol จัดเป็น diterpene phenol ที่นิยมนำมาใช้ร่วมกับยาปฏิชีวนะ (antibiotics) เพื่อกำจัดเชื้อก่อโรคที่ต้องยา (methicillin resistant *Staphylococcus aureus* strain) perillaldehyde และ polygodial เป็นสารสำคัญที่ได้จากพืชสมุนไพรของญี่ปุ่นสามารถออกฤทธิ์เสริมกันในการต้านจุลชีพ (synergistic antimicrobial activity) จากที่กล่าวมาจะเห็นได้ว่ามีแนวโน้มในการนำน้ำมันหอมระเหยมาใช้เตรียมผลิตภัณฑ์ต่าง ๆ เพื่อการป้องกันและดูแลสุขภาพ เช่น ยาจักษ์โรค เครื่องสำอาง ผลิตภัณฑ์เพื่อสุขภาพปากและฟัน (oral care products) และสารกันเสียในอาหาร เป็นต้น (Nakatsu et al. 2000 : 571-631)

ผลิตภัณฑ์เพื่อสุขภาพปากและฟันที่มีฤทธิ์ต้านจุลชีพมักมีน้ำมันหอมระเหยเป็นส่วนประกอบสำคัญ โดยเฉพาะน้ำยาบ้วนปาก (mouthwash) ที่มีฤทธิ์ต้านแบคทีเรีย (antibacterial activity) ซึ่งการทดสอบการใช้แอลกอฮอล์ด้วยน้ำมันหอมระเหยนี้จะช่วยลดการเกิดคราบจุลินทรีย์ (antiplaque) และกำจัดคราบทินปูน (anticalculus) ได้ดี นอกจากนี้ยังช่วยทำให้ลมหายใจหอมสดชื่นและลดการเกิดโรคเหงือกอักเสบ (gingivitis) ได้ด้วย น้ำยาบ้วนปากที่มีฤทธิ์ต้านจุลชีพมักประกอบด้วย thymol และ eugenol ซึ่งสารสำคัญทั้งสองชนิดนี้เป็นองค์ประกอบในน้ำมันหอมระเหยที่มีฤทธิ์ยับยั้งการเจริญเติบโตของ *Actinomyces viscosus* ในหลอดทดลอง ที่ระดับความเข้มข้น 25 ส่วนในล้านส่วน (ppm) มีรายงานว่าการบ้วนปากด้วยน้ำยาบ้วนปากที่ประกอบด้วย thymol และ eugenol เป็นระยะเวลานาน 4 วัน จะสามารถลดคราบจุลินทรีย์ได้เกือบ 60 เปอร์เซ็นต์ นอกจากนี้ยังมีรายงานว่าในผลิตภัณฑ์น้ำยาบ้วนปากที่ประกอบด้วยน้ำมันหอมระเหยจะมีฤทธิ์ลดการเกิดคราบจุลินทรีย์ได้ยาวนาน (longer lasting) มากกว่าผลิตภัณฑ์น้ำยาบ้วนปากที่ประกอบด้วย triclosan ซึ่งเป็นสารสังเคราะห์ที่มีฤทธิ์ต้านแบคทีเรียและนิยมใช้เป็นสารออกฤทธิ์สำคัญในน้ำยาบ้วนปากที่มีจำหน่ายทั่วไป (Nakatsu et al. 2000 : 571-631) นอกจากจะมีการนำน้ำมันหอมระเหย

มาใช้เป็นส่วนประกอบในน้ำยาบ้วนปากแล้ว ยังมีการนำมาใช้เป็นส่วนประกอบในยาสีฟันอีกด้วย เพราะน้ำมันหอมระเหยมีฤทธิ์ต้านจุลชีพและลดการอักเสบ ทั้งนี้มีรายงานว่า cineole, menthone และ menthol สามารถช่วยเพิ่มการซึมผ่านเยื่อหางได้ด้วย (Nakatsu et al. 2000 : 571-631) มีรายงานว่า eugenol และ geraniol เป็นสารสำคัญในน้ำมันหอมระเหยที่มีฤทธิ์ขับยั้งการเพิ่มจำนวนของเซลล์มะเร็งช่องปากในมนุษย์ (human mouth epidermal carcinoma cell line) (Bakkali et al. 2008 : 446-475) จึงคาดว่าจะสามารถนำน้ำมันหอมระเหยมาประยุกต์ใช้ในผลิตภัณฑ์เพื่อสุขภาพช่องปากและฟันได้ก็ว่างวดมากขึ้น โดยน้ำมันหอมระเหยที่นำมาใช้ในการศึกษาวิจัยได้แก่

### 1. น้ำมันกานพลู (Clove oil)

น้ำมันกานพลู (clove oil) สารกัดได้จากดอกตูมแห้งของต้นกานพลู *Eugenia caryophyllata* L. Merr. & Perry น้ำมันกานพลูประกอบด้วยสารในกลุ่ม phenylpropanoids เช่น carvacrol, thymol, eugenol และ cinnamaldehyde น้ำมันกานพลูมีฤทธิ์ขับยั้งแบคทีเรียก่อโรคได้หลายชนิด เช่น *Listeria monocytogenes*, *Escherichia coli*, *Salmonella Typhimurium* และ *Staphylococcus aureus* โดยเฉพาะ multi-resistant *Staphylococcus epidermidis* นอกจากนี้ยังมีฤทธิ์ต้านไวรัสก่อโรคเอดส์ (herpes simplex virus) ต้านไวรัสก่อโรคตับอักเสบซี (hepatitis C virus) ต้านเชื้อราก (antifungal) ต้านอักเสบ ไล่แมลง และเป็นพิษต่อเซลล์ (cytotoxic) เป็นต้น (Chaieb et al. 2007 : 501-506) eugenol ซึ่งเป็นองค์ประกอบสำคัญในน้ำมันกานพลูมีฤทธิ์บรรเทาปวด (analgesic) ชาเฉพาะที่ (local anesthetic) ต้านอักเสบ และต้านแบคทีเรีย จึงได้มีการนำน้ำมันกานพลูมาใช้บรรเทาอาการปวดฟัน โดยมีประสิทธิภาพใกล้เคียงกับเจลที่ประกอบด้วย benzocaine เพิ่มขึ้น 20 เท่า เช่นต์ การใช้น้ำมันกานพลูร่วมกับ zinc oxide ยังช่วยลดอาการอักเสบจากการถอนฟันได้อีกด้วย มีรายงานการแพ้ eugenol ในน้ำมันกานพลู เช่น ทำให้เกิดผื่นแดงในช่องปากและริมฝีปาก (Price 1998 : 144-147)

### 2. น้ำมันสเปียร์มินต์ (Spearmint oil)

น้ำมันสเปียร์มินต์ (spearmint oil) สารกัดได้จากต้นสเปียร์มินต์ (*Mentha spicata* L.) องค์ประกอบสำคัญในน้ำมันสเปียร์มินต์ ได้แก่  $\alpha$ -pinene,  $\beta$ -pinene, carvone, 1,8-cineole, linalool, limonene, myrcene, caryophyllene และ menthol น้ำมันสเปียร์มินต์มีฤทธิ์ขับยั้งแบคทีเรียแกรมลบ และแกรมบวกได้หลายชนิด เช่น *Bacillus subtilis*, *S. aureus*, *Micrococcus luteus*, *S. mutans* และ *E. coli* รวมทั้ง *Candida albicans* และ *Saccharomyces cerevisiae* เป็นต้น น้ำมันสเปียร์มินต์มีฤทธิ์ต้านจุลชีพ ฆ่าเชื้อ (antiseptic) บรรเทาอาการหดเกร็งของกล้ามเนื้อเรียบ (antispasmodic) และขับลม (carminative) เป็นต้น น้ำมันสเปียร์มินต์ไม่มีพิษและไม่ทำให้เกิดอาการระคายเคืองหากนำมาใช้

ในระดับความเข้มข้นที่เหมาะสม เนื่องจากน้ำมันสเปปเปอร์มินต์ประกอบ menthol ในปริมาณต่ำ จึงค่อนข้างปลอดภัยในการนำมาใช้กับเด็ก

### 3. น้ำมัน佩ปเปอร์มินต์ (Peppermint oil)

น้ำมัน佩ปเปอร์มินต์ (peppermint oil) สกัดได้จากสกัดได้จากใบของต้นสะระแหน่ *Mentha piperita* (หรือรู้จักกันในชื่อ *M. balsamea* Willd.) องค์ประกอบสำคัญในน้ำมัน佩ปเปอร์มินต์ได้แก่ menthol, menthone, 1,8-cineole, methyl acetate, methofuran, isomenthone, limonene,  $\beta$ -pinene,  $\alpha$ -pinene, germacrene, trans-sabinene hydrate และ pulegone (H.-G. Grigoleit, and P. Grigoleit 2005 : 612-616) น้ำมัน佩ปเปอร์มินต์มีฤทธิ์ขับยุงเชื้อก่อโรคได้หลายชนิด เช่น *Salmonella typhimurium*, *Enterobacter aerogenes*, *E. coli*, *Klebsiella pneumoniae*, *Pseudomonas aeruginosa*, *Salmonella typhi*, *S. paratyphi* A, *S. paratyphi* B, *Proteus mirabilis*, *P. vulgaris*, *Shigella dysenteriae* และ *Yersinia enterocolitica* เป็นต้น (Saeed, Naim, and Tariq 2006 : 869-872) น้ำมัน佩ปเปอร์มินต์มีฤทธิ์ต้านจุลชีพ ต้านไวรัส (antiviral) บรรเทาปวด (analgesic) ต้านอักเสบ แก้คัน (antipruritic) ผ่าเชื้อ และบรรเทาอาการหดเกร็งของกล้ามเนื้อเรียบ เป็นต้น น้ำมัน佩ปเปอร์มินต์ไม่มีพิษและไม่ทำให้เกิดอาการระคายเคืองหากนำมาใช้ในขนาดที่เหมาะสมอย่างไรก็ตามควรระมัดระวังการนำไปใช้ในสตรีมีครรภ์ในช่วงไตรมาสแรก (Bakkali et al. 2008 : 446-475 ; Burt 2004 : 223-253 ; Saeed et al. 2006 : 869-872) Optamint<sup>®</sup> คือสารสกัดจากสะระแหน่ (peppermint extract) จัดเป็นน้ำมันหอมระ夷หรือสารประกอบที่ให้กลิ่นรสในอาหาร (food flavoring compound) มีประวัติการนำมาใช้ทั่วโลกในและภายนอกอย่างยาวนาน องค์การอาหารและยา (FDA) จัดให้น้ำมัน佩ปเปอร์มินต์อยู่ในสถานะ “generally recognized as safe” (GRAS) status จึงนับว่ามีความปลอดภัยในการนำไปประยุกต์ใช้เป็นผลิตภัณฑ์ต่าง ๆ ได้อย่างปลอดภัย (Grigoleit and Grigoleit 2005 : 612-616)

### 4. น้ำมันยูคาลิปตัส (Eucalyptus oil)

น้ำมันยูคาลิปตัส (eucalyptus oil) สกัดได้จากกิ่งและใบของพืชในจีนัส (genus) *Eucalyptus* องค์ประกอบทางเคมีของน้ำมันยูคาลิปตัส ได้แก่ cineol, pinene, limonene, cymene, phellandrene, terpinene และ aromadendrene เป็นต้น (Li, Madden, and Potts 1995 : 299-318) น้ำมันยูคาลิปตัสมีฤทธิ์ต้านสิ่ง บรรเทาปวด ต้านแบคทีเรีย ต้านเชื้อรา ต้านอักเสบ บรรเทาอาการหดเกร็งของกล้ามเนื้อเรียบ และฆ่าแมลง เป็นต้น (Batish et al. 2008 : 2166-2174) มีรายงานว่าเมื่อนำน้ำมันยูคาลิปตัสมาใช้ภายนอกจะไม่เป็นพิษและไม่ระคายเคือง แต่เมื่อนำน้ำมันยูคาลิปตัสมาใช้ภายในกลับพบว่าน้ำมันยูคาลิปตัสถูกด 3.5 มิลลิลิตร จะทำให้เสียชีวิตได้ หากร่างกายได้รับ

น้ำมันยุคälipตสเกินขนาดจะทำให้กล้ามเนื้ออ่อนแรง คลื่นไส้ และอาเจียน (Batish et al. 2008 : 2166-2174)

### 5. น้ำมันทีทรี (Tea tree oil)

น้ำมันทีทรี (tea tree oil) เป็นน้ำมันหอมระ夷ที่สกัดได้จากต้น *Melaleuca alternifolia* จึงมีชื่อเรียกอีกอย่างหนึ่งว่า melaleuca oil องค์ประกอบทางเคมีของน้ำมันทีทรี ได้แก่ terpinen-4-ol,  $\gamma$ -terpinene,  $\alpha$ -terpinene, 1,8-cineole,  $\alpha$ -terpinolene,  $\alpha$ -terpineol,  $\alpha$ -pinene และ  $p$ -cymene น้ำมันทีทรีมีฤทธิ์ขับยุง *Enterococcus faecalis*, *Staphylococcus aureus*, *Escherichia coli* และ *Pseudomonas aeruginosa* นอกจากนี้ยังมีฤทธิ์ต้านเชื้อรา ต้านอักเสบ และต้านมะเร็ง (Hammer et al. 2006 : 616-625 ; Faoagali, George, and Leditschke 1997 : 349-351) อย่างไรก็ตามมีรายงานว่า น้ำมันทีทรีมีความเป็นพิษต่อไฟbroblast (human fibroblast) และเซลล์เยื่อบุผิว epithelial cell) ของมนุษย์ จึงเป็นข้อจำกัดในการนำน้ำมันทีทรีไปประยุกต์ใช้ในทางเภสัชกรรม การนำน้ำมันทีทรีมาใช้ทาภายนอก (topical use) จะค่อนข้างปลอดภัย ทำให้เกิดอาการไม่พึงประสงค์ได้น้อยมาก และในบางครั้งหากเกิดอาการไม่พึงประสงค์ขึ้นก็จะหายได้เอง มีรายงานว่าการรับประทานน้ำมันทีทรีในปริมาณสูงจะเกิดความเป็นพิษต่อร่างกาย และในระดับความเข้มข้นสูงจะทำให้เกิดอาการระคายเคืองต่อผิวหนัง ได้ ดังนั้นจึงไม่ควรเตรียมน้ำมันทีทรีในรูปแบบของผลิตภัณฑ์สำหรับการรับประทาน และหากใช้ในรูปแบบของผลิตภัณฑ์สำหรับทาภายนอกต้องใช้ในระดับความเข้มข้นต่ำ อย่างไรก็ตามองค์ประกอบทางเคมีของน้ำมันทีทรีก็ไม่เป็นพิษต่ออีน (genotoxic) (Hammer et al. 2006 : 616-625)

### น้ำมันถั่วเหลือง (Soybean oil)

น้ำมันถั่วเหลือง (soybean oil) สกัดได้จากเมล็ดถั่วเหลือง (soybean) จากต้น *Glycine max* น้ำมันถั่วเหลืองประกอบด้วยสารในกลุ่มฟีโนอล (phenolic compounds) เป็นจำนวนมาก นอกจากนี้ในเมล็ดถั่วเหลืองยังประกอบด้วย phytic acid,  $\alpha$ -linolenic acid, oleic acid และสารในกลุ่ม isoflavones เช่น genistein และ daidzein (Naito et al. 2000 : 811-816 ; Ruth, Shaker, and Morrissey 2001 : 177-184) ซึ่งสารเหล่านี้มีฤทธิ์ต้านออกซิเดชัน (antioxidant) จึงมีฤทธิ์ป้องกันการเกิด lipid oxidation สามารถลดระดับโคเลสเตอรอลในกระแสโลหิต ป้องกันการเกิดโรคหัวใจและหลอดเลือด ป้องกันโรคเบาหวาน และต้านอักเสบ เป็นต้น มีรายงานว่าถั่วเหลืองมีฤทธิ์ขับยุง การสร้างเส้นฟอยใหม่ (antiangiogenic effect) จึงมีฤทธิ์ต้านมะเร็งด้วย (Naito et al. 2000 : 811-816) มีรายงานความเป็นพิษของน้ำมันถั่วเหลืองว่าหนูทดลองเพศเมีย (female Sprague-Dawley rat) ที่กินน้ำมันถั่วเหลืองเกิดเนื้องอกที่เต้านม (mammary tumor) (Kritchevsky, Weber and Klurfeld 1992 :

175-179) อย่างไรก็ตามมีรายงานว่าการรับประทานน้ำมันถั่วเหลืองเป็นอาหารในปริมาณที่เหมาะสม มีความปลอดภัยและช่วยป้องกันโรคบางอย่างในมนุษย์ได้ (Hammond et al. 2008 : 311-323) เช่น ป้องกันการเกิดภาวะโโคเลสเตรอลหรือไตรกลีเซอไรด์ในกระแสโลหิตสูง และป้องกันการเกิดโรคหัวใจและหลอดเลือด เป็นต้น

### น้ำยาบ้วนปาก (Mouth Wash)

มีรายงานว่าน้ำยาบ้วนปาก (mouth rinse) ที่ประกอบด้วย cetylpyridinium chloride (CPC) สามารถลดคราบจุลินทรีย์เหนือเหงือก (supragingival plaque) และโรคเหงือกอักเสบ (gingivitis) ได้อย่างมีประสิทธิภาพ ต่อมาก็มีการศึกษาประสิทธิภาพในการกำจัดคราบจุลินทรีย์ (plaque) ที่เกิดจากแบคทีเรียที่ไม่ต้องการออกซิเจนในการเจริญเติบโต (anaerobic bacteria) โดยเปรียบเทียบระหว่างน้ำยาบ้วนปากที่ประกอบด้วย CPC เข้มข้น 0.05 เปอร์เซ็นต์ กับน้ำยาบ้วนปากที่ประกอบด้วยฟลูออไรด์ (fluoride) พบว่ามีฤทธิ์ต้านจุลินทรีย์ (antimicrobial activity) ต่อคราบจุลินทรีย์เหนือเหงือก ซึ่งรวมตัวกันเป็นฟิล์ม (biofilm) ที่เกิดขึ้นภายหลังการแปรงฟันหรือการทำความสะอาดในช่องปาก แรกเริ่มจะมีเมือกไขส่องน้ำลายมาเกาะที่พื้นผิวฟัน จากนั้นจุลินทรีย์ในช่องปากจะตามมาเกาะทับกันจนกลายเป็นแหล่งรวมของจุลินทรีย์หลายชนิด มีระบบท่อส่งน้ำและอาหารไปยังจุลินทรีย์ อีกทั้งส่งสารพิษและกรดมาขยับภายนอกแผ่นคราบจุลินทรีย์ ในการศึกษานี้อาสาสมัครจำนวน 117 คน (ชาย 55 คน มีอายุเฉลี่ย 30.41 ปี หญิง 62 คน อายุเฉลี่ย 28.70 ปี) จะบ้วนปากวันละ 2 ครั้ง เป็นเวลา 14 วัน ด้วยน้ำยาบ้วนปากดังกล่าวจำนวน 20 มิลลิลิตร เป็นเวลา 30 วินาที นอกจากนี้ยังให้อาสาสมัครแปรงฟันด้วยยาฟันผสมฟลูออไรด์ด้วย จากการนำคราบจุลินทรีย์มาวิเคราะห์ทางจุลชีววิทยาภายในเวลา 12 ชั่วโมง หลังจากการบ้วนปาก พบว่าน้ำยาบ้วนปากที่ประกอบด้วย CPC สามารถลดจำนวนจุลินทรีย์ที่ไม่ต้องการออกซิเจนในคราบจุลินทรีย์เหนือเหงือก ได้อย่างมีนัยสำคัญเมื่อเปรียบเทียบกับน้ำยาบ้วนปากที่ประกอบด้วยฟลูออไรด์ นอกจากนี้ยังไม่มีอาสาสมัครคนใดออกໄปจากการทดลองเพราžeเกิดอาการไม่พึงประสงค์จากการใช้น้ำยาบ้วนปาก (Hu et al. 2009 : 2540-2548)

The Federal Drug and Cosmetics Act เป็นกฎหมายที่เกี่ยวข้องกับเครื่องสำอาง (cosmetic) ซึ่งคำว่าเครื่องสำอางนั้นหมายถึงสิ่งที่นำมาใช้กับร่างกายมนุษย์ เพื่อการทำความสะอาด ความสวยงาม และเพิ่มความน่าดึงดูด (promoting attractiveness) หรือเปลี่ยนแปลงสภาพลักษณ์ (appearance) โดยปราศจากผลกระทบต่อโครงสร้างและหน้าที่ของร่างกาย การนำสารต่าง ๆ มาใช้เป็นส่วนประกอบในน้ำยาบ้วนปาก (mouth rinse) เพื่อระงับกลิ่นปาก จึงเป็นเครื่องสำอาง การนำยา เช่น chlorhexidine มาใช้เป็นส่วนประกอบในน้ำยาบ้วนปากเพื่อต้านจุลินทรีย์จะจัดน้ำยาบ้วน

ปากนี้เป็นยา (drug) ดังนั้นนำยาบ้วนปากชนิดนี้จึงมีข้อบ่งใช้ (indication) สำหรับการรักษาสุขอนามัยในช่องปาก ในผู้ป่วยที่มีการมัดฟันด้วยลวด (intermaxillary fixation) ในผู้ป่วยที่สวมเครื่องมือจัดฟันชนิดถอดได้ (removable orthodontic appliance) หรือเครื่องมือจัดฟันชนิดติดแน่น (fixed orthodontic appliance) การสูบฟันปลอมหรือฟันเทียม ผู้ป่วยด้วยโรคฟันผุหรือแผลร้อนใน (aphthous ulceration) ผู้ป่วยที่พักรักษาตัวในโรงพยาบาลติดต่อกันเป็นระยะเวลานาน และลดการติดเชื้อแบคทีเรียในช่องปากหลังจากการผ่าตัด การใช้น้ำยาบ้วนปากจึงมีวัตถุประสงค์เพื่อลดหรือกำจัดกลิ่นเหม็นในปาก (oral malodor) นอกจากนี้ในการรักษาภูมิคุ้มกันเนื้อเยื่อกล้ามดออกจะหล่อสีชมพุ (tongue flora) ซึ่งพบได้ทุกที่โดยเฉพาะลิ้นจะถูกกำจัดออกไปด้วยการแปรรูปลิ้นและใช้น้ำยาบ้วนปาก

จากการศึกษาการยับยั้งจุลินทรีย์ที่ไม่ต้องการออกซิเจนในการเจริญเติบโตที่อาศัยอยู่บนผิวลิ้นนั้น พบว่าจุลินทรีย์เหล่านี้สามารถสังเคราะห์เมแทabolite ได้แก่ indol, skatol และ volatile sulfur components (เช่น hydrogen sulfide, metil mercaptan, dimetil sulfide และ dimetil disulfide) ซึ่งเป็นสาเหตุของกลิ่นปาก (oral malodor) ดังนั้นการใช้น้ำยาบ้วนปากจึงช่วยลดจำนวนจุลินทรีย์ที่เป็นสาเหตุของกลิ่นปากได้ น้ำยาบ้วนปากที่ประกอบด้วย chlorhexidine, sanguinarine, listerine antiseptic หรือ cetylpyridinium chloride สามารถช่วยลดจำนวนจุลินทรีย์ที่อาศัยบนลิ้น (cultivable tongue flora) ได้ อย่างไรก็ตามไม่มีรายงานทางคลินิกถึงประสิทธิภาพในการลดกลิ่นปากของ chlorine dioxide นอกจากนี้ยังมีรายงานว่า zinc chloride มีประสิทธิภาพในการลดกลิ่นปากได้นานถึง 3 ชั่วโมง ภายหลังการใช้น้ำยาบ้วนปากที่ประกอบด้วย zinc chloride ต่อมาได้มีการนำเกลือ sodium chloride มาใช้แทน zinc chloride เพื่อลดกลิ่นปาก โดยทำหน้าที่เป็นสารปอกปิด (masking agent) นอกจากนี้ยังมีรายงานว่า Listerine มีฤทธิ์ปอกปิดได้ยาวนาน (longer-lasting masking effect) เพื่อมุ่งให้ต้านจุลินทรีย์ (antimicrobial effect) ร่วมด้วย สำหรับ cetylpyridinium chloride สามารถลด organoleptic score ได้นานถึง 8 ชั่วโมง ภายหลังการบ้วนปาก มีรายงานว่า น้ำยาบ้วนปากที่ประกอบด้วย triclosancopolymer-sodium fluoride มีประสิทธิภาพดีกว่า น้ำยาบ้วนปากที่ประกอบด้วย cetylpyridinium chloride หรือ phenolic flavor อย่างมีนัยสำคัญ (Hu et al. 2009 : 2540-2548)

น้ำยาบ้วนปากที่ประกอบด้วย chlorhexidine สามารถลดจำนวนแบคทีเรียและยีดระยะเวลาของการเกิดการสะสมของแบคทีเรียบนเยื่อบุ ได้ การใช้สารอื่นเสริม (adjunctive use) เช่น oxidizing agent หรือ prexyborate โดยนำมาใช้ร่วมกับ chlorhexidine จะทำฤทธิ์ยับยั้งแบคทีเรียที่ทำให้เกิดคราบจุลินทรีย์หรือเหจือกอักเสบดีขึ้นมากกว่าการใช้ chlorhexidine เพียงอย่างเดียว นอกจากนี้ oxidizing agent ยังทำให้เกิดรอยเปื้อน (stain) จาก chlorhexidine ได้ลดลงอีกด้วย ผู้ป่วย

ที่ใช้น้ำยาบ้วนปากที่ประกอบด้วย chlorhexidine ที่มีความเข้มข้น 0.2 เปอร์เซ็นต์ เป็นเวลานาน 1 สัปดาห์ จะทำให้เกิดอาการไม่พึงประสงค์ เช่น ฟันเปลี่ยนสี การรับรู้รสอาหารเปลี่ยนไป และรู้สึกแสบร้อนที่ปลายลิ้น เป็นต้น (Hu et al. 2009 : 2540-2548)

Delmopinol (decapinol) จัดเป็น surface-active agent ที่มีฤทธิ์ต้านแบคทีเรียอย่างอ่อนโยนทำหน้าที่ป้องกันการเกาะติดและการเพิ่มจำนวนของแบคทีเรียนผิวฟัน ดังนั้นสารชนิดนี้จึงสามารถลดการเกิดคราบจุลินทรีย์และการเกิดโรคเหงือกอักเสบ (gingivitis) ได้

การใช้น้ำยาบ้วนปาก (mouth rinse หรือ gargle) และสเปรย์สำหรับช่องปาก (oral spray) เป็นประจำจะช่วยควบคุมอาการอักเสบในบริเวณคอหอย (oropharyngeal inflammation) ได้ มีรายงานการศึกษาเกี่ยวกับการนำ methylene blue dye มาใช้เป็นเครื่องหมาย (marker) ของการแพร่กระจาย (distribution) ของยาที่ใช้ในบริเวณโคนลิ้นหรือต่ำแห่งที่เชื่อมต่อระหว่างช่องปากและช่องคอ (oropharynx)

ได้มีการนำน้ำยาบ้วนปากที่ประกอบด้วย เกลือโซดา (soda) chlorhexidine, lidocaine, Benadryl และ Maalox mixture มาใช้รักษาเยื่อบุช่องปากอักเสบจากการรักษาด้วยเคมีบำบัด (chemotherapy-induced mucositis) ได้อย่างมีประสิทธิภาพ GM-CSF mouth rinse (0.5 microgram/ml) เป็นน้ำยาบ้วนปากที่อาจช่วยลดช่วงเวลาที่เกิดอาการเยื่อบุช่องปากอักเสบจากการรักษาด้วยเคมีบำบัดได้

นอกจากนี้ยังไม่มีการนำเสนอถึงความสัมพันธ์ระหว่างโรคปริทันต์ (periodontitis) กับโรคหัวใจและหลอดเลือด (cardiovascular disease) ซึ่งคาดว่าแบคทีเรียในช่อง 2 ชนิด คือ *Streptococcus sanguis* และ *Porphyromonas gingivalis* สามารถขอกินให้เกิดการเกาะกันของเกร็ดเลือด (platelet aggregation) ในหลอดทดลอง ได้ ซึ่งน้ำยาบ้วนปากที่ประกอบด้วยน้ำมันหอมระ夷 (essential-oil mouth rinse) สามารถเข้าไปรบกวนการทำงานของเยื่อหุ้มเซลล์ของแบคทีเรียดังกล่าว ได้ น้ำยาบ้วนปากที่ประกอบด้วยน้ำมันหอมระ夷 (essential oil) ที่มีฤทธิ์ฆ่าเชื้อโรค (antiseptic) เช่น Listerine สามารถลดจำนวนเชื้อ *Streptococcus mutans* ในคราบจุลินทรีย์และนำลายได้ cetyltrimethylammonium naproxenate เป็นสารที่ออกฤทธิ์ฆ่า *Streptococcus sanguis* ได้รวดเร็วมาก สามารถกำจัด *S. pyogenes*, *S. dysgalactiae* และ *S. mutans* ได้รวดเร็ว และยังมีฤทธิ์ยับยั้ง *Moraxella catarrhalis* อีกด้วย cetyltrimethylammonium naproxenate เกิดขึ้นจากการจับกันเป็นเกลือระหว่างยาต้านอักเสบที่ไม่ใช่สเตียรอยด์ (nonsteroidal antiinflamatory drug) กับ quaternary ammonium compound น้ำยาบ้วนปากที่ประกอบด้วย benzalkonium สามารถยับยั้งการเกิดคราบจุลินทรีย์ได้ *sanguinaria* เป็นสารผลิตภัณฑ์ธรรมชาติในกลุ่ม alkaloid ที่ได้จากพืช สามารถลดคราบจุลินทรีย์ที่เป็นสาเหตุของโรคฟันผุและโรคปริทันต์ได้ ต่อมามีรายงานว่า *sanguinaria* มี

ความสัมพันธ์กับการเกิดฝ้าขาวหรือเนื้องอกจากเซลล์ของร่างกายที่มีความผิดปกติ (leukoplakia) อย่างไรก็ตามจากการศึกษาความเป็นพิษและการทำให้ตัวอ่อนของสัตว์ทดลองผิดปกติกันพบว่าอัลคา洛ยด์ชนิดนี้ไม่มีพิษต่อเซลล์เพาะเลี้ยงและสัตว์ทดลองแต่อย่างใด ดังนั้นจึงคาดว่าการใช้ sanguinaria ไม่น่าจะทำให้เกิดเนื้องอกจากเซลล์ของร่างกายที่มีความผิดปกติขึ้นได้ sanguinaria สามารถลดการสะสมของจุลินทรีย์ ทำหน้าที่ผ่าชื่อโรคในช่องปาก ซึ่งจะօอกฤทธิ์โดยตรงในการลดกระบวนการออกซิเดชันของเนื้อเยื่อ

## บทที่ 3

### วิธีดำเนินการวิจัย

#### สารเคมีที่ใช้ในการวิจัย

1. Glycerol monooleate (Lot No. 1-6297, Imperial Industrial Chemicals (Thailand) Co.,Ltd.)
  2. น้ำมันถั่วเหลือง (บริษัท น้ำมันพืชไทย จำกัด (มหาชน))
  3. น้ำมันกานพลู (Lot No. 6168, H.E.DANIEL LTD.)
  4. น้ำมันอโปทามินต์ (Batch No. RO 0250, Greater Pharma Co., LTD)
  5. น้ำมันยูคาลิปตัส (Batch No. RO 0245, Greater Pharma Co., LTD)
  6. น้ำมันสเปียร์มินต์ (Batch No. RO 0249, Greater Pharma Co., LTD)
  7. น้ำมันแปปเปอร์มินต์ (Batch No. RO 0068, Greater Pharma Co., LTD)
  8. น้ำมันทีที (Batch No. RO 0364, Greater Pharma Co., LTD)
  9. Phytosterol (Batch No. UI8B040005, Cognis Corporation)
  10. Polyoxyethylene sorbitan monostearate (Lot No.59630, P.C. DRUG CENTER CO.,LTD)
  11. PEG-40 Hydrogenated Castor Oil (Lot No. 98-2394, BASF)
  12. Sodium Lauryl Sulphate (Lot No. 000148, VIDHYASOM CO., LTD)
  13. Poloxamer (Lot No. 9205-1395, BASF)
  14. น้ำกลั่น (General Hospital Products Public Co.,Ltd)
  15. Brain Heart Infusion Broth (Batch No. VM008293, Merck KGaA)
  16. Brain Heart Infusion Agar (Batch No. VM006625, Merck KGaA)
  17. Mitis Salivarius Agar (Lot No. 1402063, Sigma-Aldrich Co.)
  18. VIAL TTC Solution 1% (Batch No. 9167462, Becton Dickinson Co.)

### เครื่องมือที่ใช้ในการวิจัย

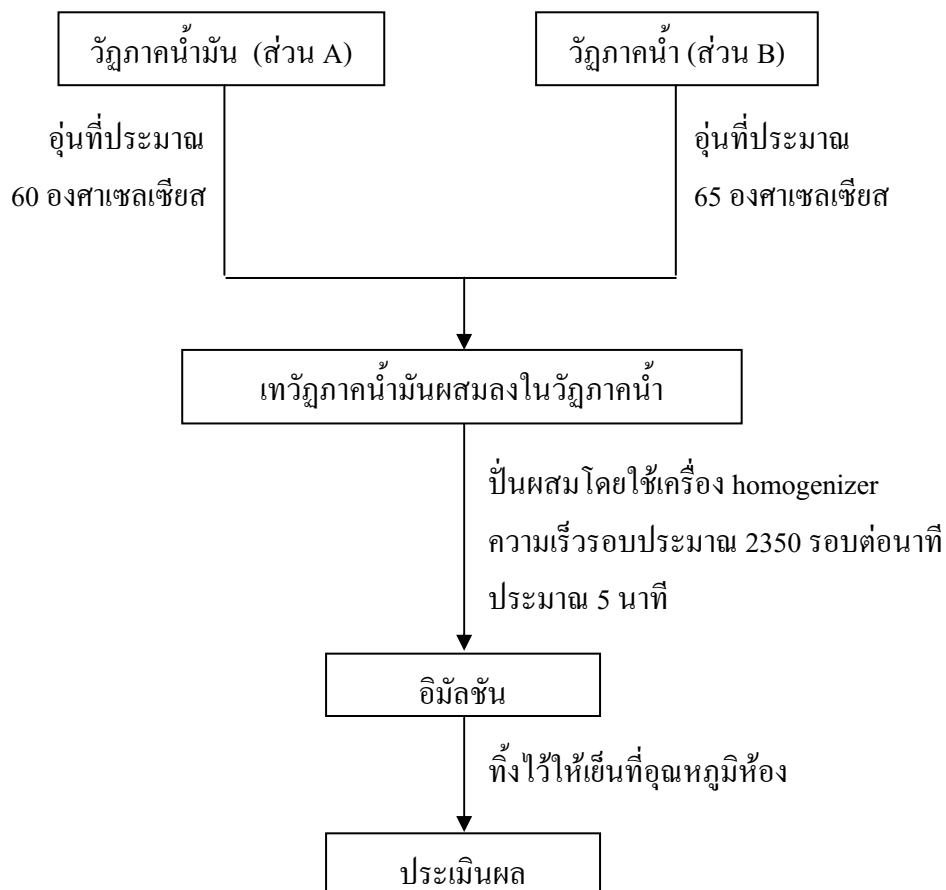
1. Beaker (50, 100, 250 มิลลิลิตร)
2. Cylinder (100 มิลลิลิตร)
3. Stirring rod
4. Thermometer
5. Magnetic stirrer และ magnetic bar
6. Homogenizer (รุ่น X1020, Ystral GmbH, Germany)
7. กล้องจุลทรรศน์ (รุ่น CX41RF, OLYMPUS, Japan)
8. กล้องคิจิตอล (Dinolite, AM423X)
9. Particle size analyzer (Horiba, LA-950, Japan)
10. pH meter (Mettler-Toledo GmbH, China)
11. Viscometer (Brook field Digital Viscometer, RVTD, USA)
12. Zeta potential analyzer (Zeta plus, Brookhaven, USA)
13. UV-VIS Spectrophotometer (รุ่น 1100series, Agilent, USA)
14. Laminar air flow (รุ่น S2010, Holten, Denmark)
15. Petri dish (ขนาด 100x15 มิลลิเมตร)
16. Glass tube (ขนาด 16x160 มิลลิเมตร)
17. ขวด Schott DURAN ขนาด 250, 500, 1000 มิลลิลิตร
18. Bacterial Incubator (Contherm Digital Series, New Zealand)
19. Shaking Incubator (รุ่น SI4-2, SL SHELL LAB, USA)
20. Automatic autoclave (Model : LS-2D ; SCIENTIFIC PROMOTION CO.,LTD)
21. Micropipette 20-100 µl, 100-1000 µl , 1-5 ml, 1-10 ml (masterpette ; Bio-Active Co.,Ltd.)
22. Micropipette tip
23. Centrifuge tubes-Sterile 15 ml, 50 ml (BIOLOGIX RESEARCH COMPANY)
24. Eppendorf tubes
25. Anaerobic Container (Batch No. 72930, Merck KGaA)
26. Anaerocult® A for microbiology (Batch No. 83012, Merck KGaA)
27. Anaerotest® for microbiology (Batch No. HC816543, Merck KGaA)

## วิธีดำเนินการวิจัย

### 1. การเตรียมอิมัลชัน (Wright 1996 : 4)

กระบวนการเตรียมอิมัลชันจะใช้วิธีการให้ความร้อนแก่ทั้งส่วนวัตถุภาคน้ำมันและน้ำ โดยเริ่มจากการนำวัตถุภาคน้ำมัน มาอุ่นที่ประมาณ 60 องศาเซลเซียส จนละลายหมด คนให้เข้ากัน และนำส่วนวัตถุภาคน้ำ มาอุ่นที่ประมาณ 65 องศาเซลเซียส นำส่วนวัตถุภาคน้ำมันเทผสมลงในวัตถุภาคน้ำและปั่นผสม โดยใช้เครื่อง homogenizer ความเร็วรอบประมาณ 2350 รอบต่อนาที ประมาณ 5 นาที ทิ้งไว้ให้เย็นที่อุณหภูมิห้อง จากนั้นนำอิมัลชันที่ได้เทใส่ภาชนะบรรจุ เพื่อรอการประเมินผล ต่อไป โดยในส่วนวัตถุภาคน้ำและน้ำมันจะมีองค์ประกอบที่แตกต่างกันขึ้นอยู่กับวัตถุประสงค์ในการศึกษาต่อไปนี้

#### 1.1 การศึกษาผลของสารลดแรงตึงผิว



ภาพที่ 26 แผนภาพขั้นตอนการเตรียมอิมัลชันโดยศึกษาผลของสารลดแรงตึงผิว

1.1.1 องค์ประกอบของสูตรตำรับเพื่อศึกษาผลของชนิดสารลดแรงตึงผิว

ตารางที่ 8 สูตรการเตรียมอิมลชันเพื่อศึกษาผลของชนิดสารลดแรงตึงผิว

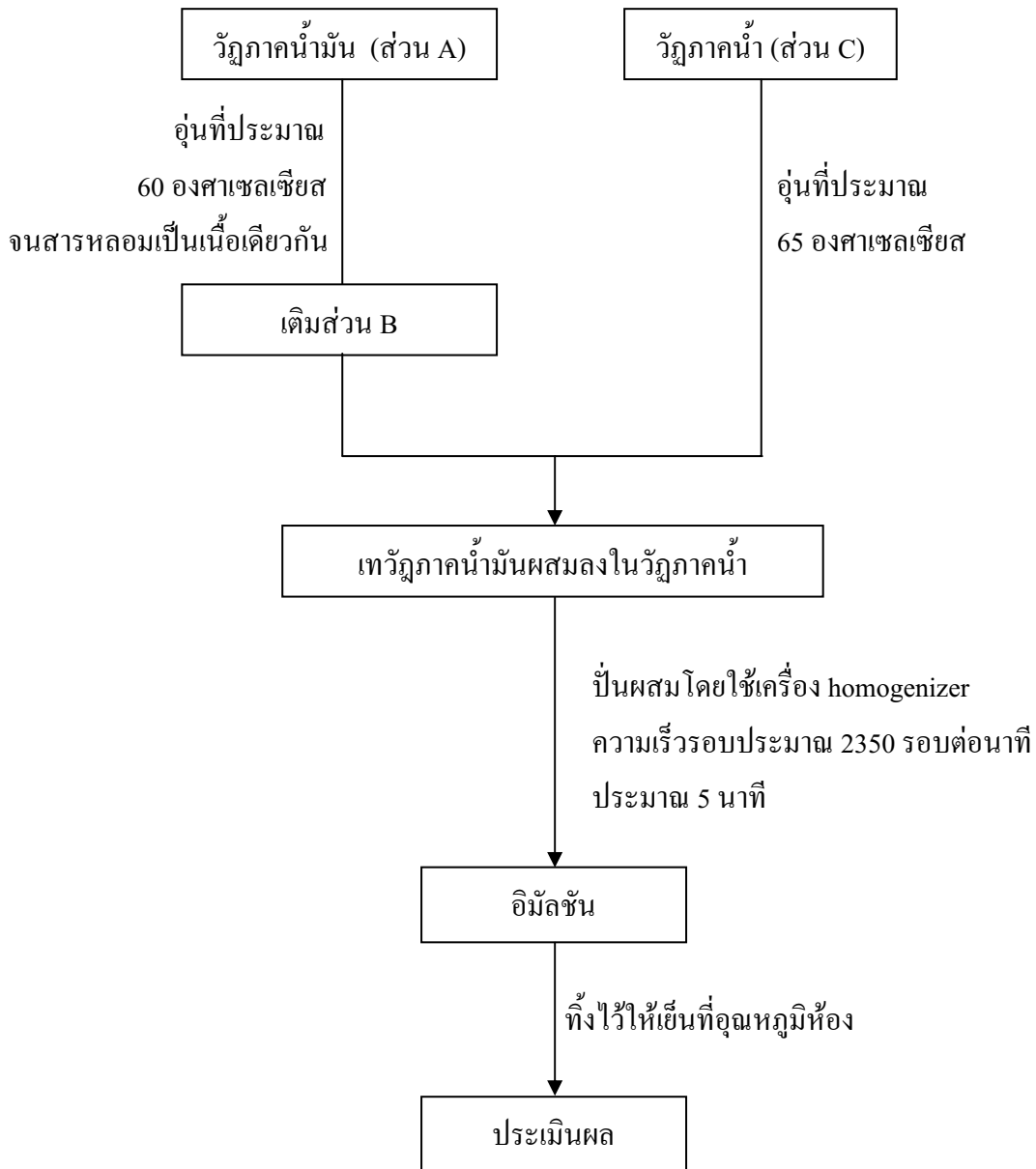
Part	Material	Amount (% w/w)			
		S1	S2	S3	S4
	Glycerol monooleate	5.5	5.5	5.5	5.5
	Soybean oil	17.5	17.5	17.5	17.5
	Phytosterol	1.5	1.5	1.5	1.5
A	POS	5.0	-	-	-
	PGO	-	5.0	-	-
	SLS	-	-	5.0	-
	PLX	-	-	-	5.0
B	Water qs to	100	100	100	100

1.1.2 องค์ประกอบของสูตรตำรับเพื่อศึกษาผลของปริมาณสารลดแรงตึงผิว

ตารางที่ 9 สูตรการเตรียมอิมลชันเพื่อศึกษาผลของปริมาณสารลดแรงตึงผิว

Part	Material	Amount (% w/w)				
		C1	C2	C3	C4	C5
	Glycerol monooleate	5.5	5.5	5.5	5.5	5.5
A	Soybean oil	17.5	17.5	17.5	17.5	17.5
	Phytosterol	1.5	1.5	1.5	1.5	1.5
	PGO	1.0	2.5	5.0	7.5	10.0
B	Water qs to	100	100	100	100	100

### 1.2 การศึกษาผลของน้ำมันหอมระเหย



ภาพที่ 27 แผนภาพขั้นตอนการเตรียมอัมลัชณ์โดยศึกษาผลของน้ำมันหอมระเหย

1.2.1 องค์ประกอบของสูตรตำรับเพื่อศึกษาผลของชนิดน้ำมันหอมระเหย

ตารางที่ 10 สูตรการเตรียมอิมลชันเพื่อศึกษาผลของชนิดน้ำมันหอมระเหย

Part	Material	Amount (% w/w)					
		V1	V2	V3	V4	V5	V6
A	Glycerol monooleate	5.5	5.5	5.5	5.5	5.5	5.5
	Phytosterol	1.5	1.5	1.5	1.5	1.5	1.5
	PGO	5.0	5.0	5.0	5.0	5.0	5.0
B	Clove oil	17.5	-	-	-	-	-
	Spearmint oil	-	17.5	-	-	-	-
	Peppermint oil	-	-	17.5	-	-	-
	Optamint oil	-	-	-	17.5	-	-
	Eucalyptus oil	-	-	-	-	17.5	-
C	Tea tree oil	-	-	-	-	-	17.5
	Water qs to	100	100	100	100	100	100

1.2.2 องค์ประกอบของสูตรตำรับเพื่อศึกษาผลของน้ำมันถั่วเหลืองต่อคุณสมบัติของอิมลชัน

ตารางที่ 11 สูตรการเตรียมอิมลชันเพื่อศึกษาผลของน้ำมันถั่วเหลืองต่อคุณสมบัติของอิมลชัน

Part	Material	Amount (% w/w)					
		P1	P2	P3	P4	P5	P6
A	Glycerol monooleate	5.5	5.5	5.5	5.5	5.5	5.5
	Phytosterol	1.5	1.5	1.5	1.5	1.5	1.5
	PGO	5.0	5.0	5.0	5.0	5.0	5.0
B	Soybean oil	13.125	8.75	7	5.25	3.5	1.75
	Peppermint oil	4.375	8.75	10.5	12.25	14	15.75
C	Water qs to	100	100	100	100	100	100

1.2.3 องค์ประกอบของสูตรตำรับเพื่อศึกษาผลของการใช้น้ำมันหอมระ夷ร่วมกับน้ำมันถั่วเหลืองในสัดส่วนต่างกัน

ตารางที่ 12 สูตรการเตรียมอิมัลชันเพื่อศึกษาผลของการใช้น้ำมันถั่วเหลืองร่วมกับน้ำมันหอมระ夷ชนิดต่างกันในสัดส่วน 50:50 ต่อคุณสมบัติของอิมัลชัน

Part	Material	Amount (% w/w)					
		F1	F2	F3	F4	F5	F6
A	Glycerol monooleate	5.5	5.5	5.5	5.5	5.5	5.5
	Phytosterol	1.5	1.5	1.5	1.5	1.5	1.5
	PGO	5.0	5.0	5.0	5.0	5.0	5.0
	Soybean oil	8.75	8.75	8.75	8.75	8.75	8.75
B	Clove oil	8.75	-	-	-	-	-
	Spearmint oil	-	8.75	-	-	-	-
	Peppermint oil	-	-	8.75	-	-	-
	Optamint oil	-	-	-	8.75	-	-
	Eucalyptus oil	-	-	-	-	8.75	-
	Tea tree oil	-	-	-	-	-	8.75
C	Water qs to	100	100	100	100	100	100

## 2. การประเมินทางกายภาพของอิมัลชัน

### 2.1 การตรวจสอบลักษณะทางกายภาพ (physical appearance)

ทำการตรวจสอบลักษณะภายนอกของอิมัลชันโดยทำการตรวจสอบการเกิดการแยกชั้นครีม (creaming) และบันทึกผลเป็น % creaming และการแยกชั้นของส่วนประกอบของอิมัลชันออกเป็นส่วนน้ำมันและส่วนน้ำ (cracking)

### 2.2 การตรวจสอบคุณภาพของจุลทรรศน์และกล้องจุลทรรศน์อิเล็กตรอน

นำอิมัลชันที่เตรียมแบ่งออกเป็น 3 ชุด แล้วสูบตัวอย่างแต่ละชุดปริมาตร 200 ไมโครลิตร เจือจางด้วยน้ำปริมาตร 200 ไมโครลิตร นำมาดูดลักษณะอนุภาคหยดน้ำมันผ่านกล้องจุลทรรศน์ (รุ่น CX41RF, OLYMPUS, Japan) และถ่ายภาพโดยใช้กล้องดิจิตอล (Dinolite, AM423X)

### 2.3 การตรวจวัดขนาดอนุภาคของอิมัลชัน

นำอิมัลชันที่เตรียมได้นำอิมัลชันที่เตรียมแบ่งออกเป็น 3 ชุด แล้วสูงตัวอย่างแต่ละชุดปริมาตร 300 ไมโครลิตร ไปเจือจางด้วยน้ำปรับปริมาตรให้เป็น 3 มิลลิลิตร หลังจากนั้นนำตัวอย่างที่เตรียมได้ปริมาตรประมาณ 100 ไมโครลิตร ไปตรวจวัดขนาดอนุภาคของหยดน้ำมันด้วยเครื่องวัดขนาดอนุภาค (Horiba, LA-950, Japan) ชนิด fraction cells โดยใช้หลักการวัดการกระจายแสงของอนุภาคที่อยู่กับที่ในอิมัลชัน ทำการวัดซ้ำ 3 ครั้ง

### 2.4 การตรวจวัดความหนืดของอิมัลชัน

นำอิมัลชันที่เตรียมได้นำอิมัลชันที่เตรียมแบ่งออกเป็น 3 ชุด แล้วสูงตัวอย่างแต่ละชุดปริมาตร 16 มิลลิลิตร ไปตรวจวัดความหนืดด้วยเครื่องวัดความหนืด (Brookfield Digital Viscometer, RVTD, USA) โดยใช้หัว UL (ultra low adapter) ในการวัด ทำการวัดซ้ำ 3 ครั้ง

### 2.5 การวัดค่าซีต้าโพเทนเซียล (zeta potential)

นำอิมัลชันที่เตรียมได้นำอิมัลชันที่เตรียมแบ่งออกเป็น 3 ชุด แล้วสูงตัวอย่างแต่ละชุดปริมาตร 200 ไมโครลิตร ไปเจือจางด้วยน้ำปรับปริมาตรให้เป็น 5 มิลลิลิตร หลังจากนั้นนำตัวอย่างที่เตรียมได้ปริมาตรประมาณ 3 มิลลิลิตร ได้ไปตรวจวัดค่าซีต้าโพเทนเซียล ด้วยเครื่อง zeta potential analyzer (Zeta plus, Brookhaven, USA) วัดจำนวน 30 รอบ ทำการวัดซ้ำ 3 ครั้ง

### 2.6 การตรวจวัดค่าความเป็นกรดด่างของอิมัลชัน

นำอิมัลชันที่เตรียมได้นำอิมัลชันที่เตรียมแบ่งออกเป็น 3 ชุด แล้วนำตัวอย่างแต่ละชุดไปตรวจวัดค่าความเป็นกรดด่างโดยใช้เครื่อง pH meter (Mettler-Toledo GmbH, China) ทำการวัดซ้ำ 3 ครั้ง

### 2.7 การตรวจสอบความคงสภาพทางกายภาพด้วยวิธีการเร่ง

นำอิมัลชันทึ้งหมุดที่ได้แบ่งได้ขวดแก้วขนาด 50 มิลลิลิตร จำนวน 3 ขวด และนำไปตั้งทิ้งไว้ที่อุณหภูมิห้อง (ประมาณ 25 องศาเซลเซียส) บันทึกความคงตัวของอิมัลชันภายหลังการเตรียม 24 ชั่วโมง และหลังเก็บไว้เป็นเวลา 7 วัน และนำอิมัลชันไปเก็บในสภาพเร่งโดยนำเข้าตู้อบที่อุณหภูมิ 45 องศาเซลเซียส สลับกับตู้เย็นที่อุณหภูมิ 4 องศาเซลเซียส เป็นเวลา 12 วัน (จำนวน 6 รอบ) แล้วบันทึกผลอีกครั้งตามหัวข้อประเมินที่ 2.1-2.6

### 3. การทดสอบฤทธิ์ยับยั้งเชื้อ ก่อโรคทางทันตกรรมของอิมัลชัน

#### 3.1 การเตรียมเชื้อก่อโรคทางทันตกรรม

นำเชื้อ *S. mutans* 104B มาเพาะเลี้ยงใน Brain Heart Infusion Broth แล้วบ่งใน anaerobic jar (Batch No. 72930, Merck KGaA) ที่ 37 องศาเซลเซียส นาน 48 ชั่วโมง นำ stock เชื้อ ที่ได้มาวัดค่าการดูดกลืนแสงที่ 540 นาโนเมตร เพื่อหาความเข้มข้นของเชื้อ (CFU/ml)

#### 3.2 วิธีการเตรียมเชื้อและทดสอบความสามารถในการยับยั้งเชื้อ

นำเชื้อ stock มาเจือจางให้ได้ความเข้มข้นประมาณ  $10^5$  CFU/ml ด้วย Brain Heart Infusion Broth หลังจากนั้นนำมาทดสอบความสามารถในการยับยั้งเชื้อ โดยใช้วิธี broth dilution ดัดแปลงมาจากวิธีของ Wright (1996 : 4) โดยทำการผสมกับอิมัลชันที่เตรียมได้ที่ความเข้มข้นต่างๆ (ไม่เจือจาง, เจือจาง 10 เท่า และเจือจาง 100 เท่า) ในอัตราส่วนเชื้อต่ออิมัลชันเป็น 9:1 นำไปเข้าเครื่อง shaking incubator (รุ่น SI4-2, SL SHEL LAB, USA) อุณหภูมิ 37 องศาเซลเซียส 200 รอบต่อนาที เป็นเวลา 10 นาที แล้วทำการเจือจาง 50 เท่า ( $n=3$ ) โดยมีการใช้ cetyl pyridinium chloride (CPC) สำหรับเป็น positive control และมีการใช้อิมัลชันที่เตรียมได้จากน้ำมันถั่วเหลืองเป็น negative control ในการศึกษาครั้งนี้

#### 3.3 การประเมินผลการยับยั้งเชื้อ

ทำการประเมินผล โดยการนำอิมัลชันที่ผสมกับเชื้อปริมาตรรวม 100 ไมโครลิตร ไปกระจายบน Brain Heart Infusion Agar ให้ทั่ว จากนั้นนำเข้าเครื่อง bacterial incubator (Contherm Digital Series, New Zealand) อุณหภูมิ 37 องศาเซลเซียส เป็นเวลา 18-24 ชั่วโมง นับจำนวนโคลoni บันทึกผลการยับยั้งเชื้อ *S. mutans* 104B โดยคำนวณจากสูตร

$$\% \text{inhibititon} = \frac{\text{Total colony} - \text{Survival colony}}{\text{Total colony}} \times 100$$

## บทที่ 4

### ผลและอภิปรายผลของการศึกษา

#### 1. การศึกษาปัจจัยที่มีผลต่อคุณสมบัติทางกายภาพของอิมัลชัน

จากการเตรียมอิมัลชันโดยให้ความร้อนกับวัสดุภาชนะน้ำมัน 60 องศาเซลเซียส จนส่วนประกอบน้ำมันทั้งหมดละลายเป็นเนื้อเดียวกัน และให้ความร้อนกับวัสดุภาชนะ 65 องศาเซลเซียส แล้วนำวัสดุภาชนะน้ำมันเทผสมลงในวัสดุภาชนะน้ำ โดยทำการปั่นผสมด้วยเครื่อง homogenizer ความเร็วรอบประมาณ 2350 รอบต่อนาที ประมาณ 5 นาที ทำให้ได้อิมัลชันที่มีลักษณะขาวขุ่น โดยมีความแตกต่างกันขึ้นอยู่กับองค์ประกอบในสูตรตัวรับที่ใช้ ในการวิจัยครั้งนี้ไม่ได้นำการศึกษาปัจจัยที่เกี่ยวข้องกับสภาพต่างๆ ของกระบวนการเตรียม โดยทำการเลือกสภาพการเตรียมจาก การศึกษาเบื้องต้นที่สามารถเตรียมอิมัลชันในสูตรต่างๆ ได้ แต่ยังไหร่ตามในการวิจัยครั้งนี้จะเน้นศึกษาส่วนที่เกี่ยวข้องกับองค์ประกอบของตัวรับอิมัลชันที่มีผลต่อคุณสมบัติทางกายภาพอย่างชัดเจน เช่น ชนิดและปริมาณของสารลดแรงตึงผิว ชนิดและปริมาณของน้ำมันหอมระ夷และน้ำมันอื่นที่ใช้ เป็นต้น ซึ่งได้แสดงรายละเอียดในลำดับต่อไป

##### 1.1 ผลของสารลดแรงตึงผิวต่อการเกิดอิมัลชัน

ชนิดและปริมาณสารลดแรงตึงผิวจะเป็นตัวแปรที่สำคัญในการกำหนดคุณสมบัติของอิมัลชัน นอกจากนี้แล้วในการพัฒนาครั้งนี้มีความมุ่งหมายในการนำอิมัลชันที่ได้ไปเป็นส่วนประกอบของผลิตภัณฑ์สุขภาพสำหรับช่องปากจึงได้ทำการเลือกใช้สารลดแรงตึงผิวที่มีความปลอดภัยและมีรสชาติที่ดี โดยเน้นเฉพาะสารที่มีการใช้ในผลิตภัณฑ์ดังกล่าว ได้แก่ POS, PGO, SLS และ PLX มาเป็นส่วนประกอบในการเตรียมอิมัลชัน (Niazi 2004 : 153) โดยทำการประเมินเปรียบเทียบคุณสมบัติของอิมัลชันที่เตรียมได้ ทั้งด้วยการตรวจสอบด้วยตาเปล่ารวมไปถึงการใช้เครื่องมือชนิดต่างๆ ในการทดสอบ เช่น ขนาดของหยดน้ำมัน ประจุที่พื้นผิวหรือซีต้าโพเทนเชียล การแยกชั้น (cracking) การเกิดครีม (creaming) ความหนืด ค่าความเป็นกรดค้างเป็นต้น โดยมีการทดสอบทันทีที่เตรียมและประเมินผลหลังเก็บไว้ที่สภาวะเร่ง

### 1.1.1 ผลของชนิดสารลดแรงตึงผิวต่อคุณสมบัติของอิมัลชัน

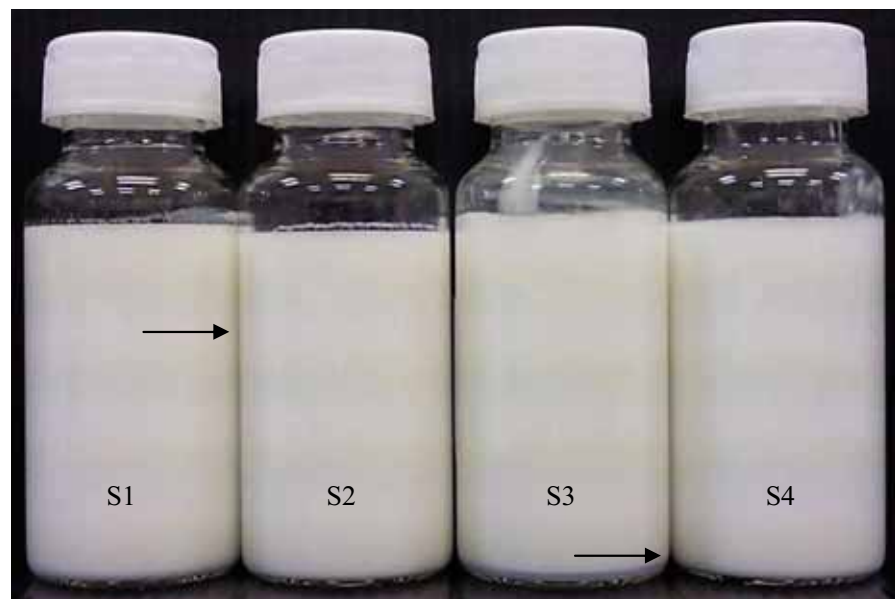
#### 1.1.1.1 ผลของชนิดสารลดแรงตึงผิวต่อลักษณะทางกายภาพ (physical appearance) ของอิมัลชัน

ภาพที่ 28 แสดงผลเปรียบเทียบลักษณะทางกายภาพของอิมัลชัน ก่อนนำไปทดสอบความคงตัวโดยมีการเปรียบเทียบการใช้สารลดแรงตึงผิวในกลุ่มต่างกัน ได้แก่ POS (สูตร S1), PGO (สูตร S2), SLS (สูตร S3) และ PLX (สูตร S4) ซึ่งพบว่าการใช้สารลดแรงตึงผิวในกลุ่ม POS และ SLS เกิดการแยกของส่วนอิมัลชันที่มีสีขาวขึ้นและขาวอ่อนอย่างชัดเจน (เกิด creaming) ในขณะที่การใช้สารลดแรงตึงผิว 2 กลุ่มที่เหลือคือ PGO และ PLX ได้อิมัลชันที่มีลักษณะเป็นเนื้อเดียวกันตลอดแสดงให้เห็นถึงแนวโน้มของความคงตัวที่ดีกว่าของสารในกลุ่มนี้

เพื่อเป็นการศึกษาความคงตัวเปรียบเทียบเพิ่มเติม จึงได้ทำการเก็บตัวอย่างอิมัลชันไว้ทั้งที่อุณหภูมิห้องและการเก็บในสภาวะเร่ง โดยการสับอุณหภูมิที่ 4 และ 45 องศาเซลเซียส ดังแสดงในภาพที่ 29-30 ผลการศึกษาพบว่าชนิดสารลดแรงตึงผิวมีต่อความคงตัวของอิมัลชันกล่าวคือ เมื่อใช้สารลดแรงตึงผิวในกลุ่ม POS, SLS และ PLX ได้ตัวรับอิมัลชันที่มีความคงตัวไม่ดี สังเกตได้จากการแยกของชั้นครีม โดยมีแนวโน้มค่าเบอร์เซ็นต์ครีมลดลงหลังการศึกษาความคงตัว ในขณะที่ตัวรับอิมัลชันที่ประกอบด้วยสารลดแรงตึงผิวในกลุ่ม PGO ไม่เกิดการแยกของครีม โดยมีเบอร์เซ็นต์ครีมเท่ากับ 100 ทั้งหลังการเตรียมและเก็บไว้ที่ 25 องศาเซลเซียสเป็นเวลา 24 ชั่วโมงและ 1 สัปดาห์ และหลังจากเก็บไว้ที่สภาวะเร่งคือที่อุณหภูมิ 4 องศาเซลเซียสสับกับอุณหภูมิ 45 องศาเซลเซียส จำนวน 6 รอบ ดังแสดงในภาพที่ 31 ซึ่งเป็นการยืนยันผลความคงตัวที่ดีกว่าของสารในกลุ่มหลังนี้ นอกจากนี้ยังพบว่า PGO มีความคงตัวที่น้อยกว่าสารลดแรงตึงผิวในกลุ่มอื่น (Rowe et al. 2006 : 572-579) ดังนั้นในการศึกษาต่อไปจึงทำการเลือก PGO เพื่อใช้ในการศึกษาปัจจัยอื่นต่อไป

โดยทั่วไปแล้วสารลดแรงตึงผิวมีส่วนช่วยในการเกิดอิมัลชันโดยปราศตัวแปรอยู่ที่บริเวณผิวประจัน (interface) ระหว่างชั้นของไขมันและน้ำ (Baret et al. 2009 : 6088–6093) สารลดแรงตึงผิวที่ดีสามารถห่อหุ้มหยดน้ำมันไว้ได้อย่างสมบูรณ์และป้องกันไม่ให้เกิดการรวมตัวของหยดน้ำมัน โดยสารลดแรงตึงผิวนี้จะห่อหุ้มอย่างสมบูรณ์หรือไม่ขึ้นอยู่กับคุณสมบัติหลายประการรวมไปถึงคุณสมบัติของชั้นน้ำมันด้วย (McClements and Dungan 1993 : 7304-7308) ในกรณีนี้เป็นไปได้ว่าสารในกลุ่ม PGO มีโครงสร้างที่เหมาะสมและเข้ากันได้กับวัตถุภาคน้ำมันที่ใช้จึงทำให้เกิดการห่อหุ้มหยดน้ำมันและป้องกันการรวมตัวของหยดน้ำมันได้ดีกว่า ซึ่งผลที่ได้สอดคล้องกับการศึกษาโดย Fernandez และคณะ (2004) เพื่อเป็นการศึกษาในส่วนกลไก

การเกิดความคงตัวของอิมัลชัน จึงได้ทำการทดสอบโดยการประเมินผลคุณสมบัติต่าง ๆ ของ อิมัลชันเพิ่มเติมต่อไป



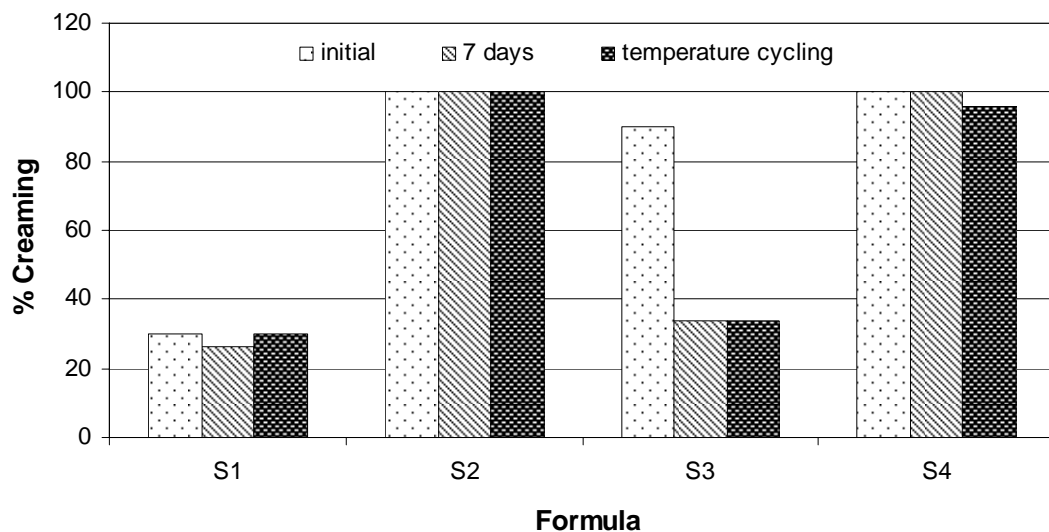
ภาพที่ 28 ลักษณะทางกายภาพของอิมัลชันที่เตรียมได้จากสารลดแรงตึงผิวต่างชนิดกัน (S1 : POS, S2 : PGO, S3 : SLS และ S4 : PLX) หลังการเตรียมและเก็บไว้ที่ 25 องศาเซลเซียสเป็นเวลา 24 ชั่วโมง



ภาพที่ 29 ลักษณะทางกายภาพของอิมัลชันที่เตรียมได้จากสารลดแรงตึงผิวต่างชนิดกัน (S1 : POS, S2 : PGO, S3 : SLS และ S4 : PLX) หลังการเตรียมและเก็บไว้ที่ 25 องศาเซลเซียสเป็นเวลา 1 สัปดาห์



ภาพที่ 30 ลักษณะทางกายภาพของอิมัลชันที่เตรียมได้จากสารลดแรงตึงผิวต่างชนิดกัน (S1 : POS, S2 : PGO, S3 : SLS และ S4 : PLX) หลังการเตรียมและเก็บไว้ที่สภาวะเร่ง

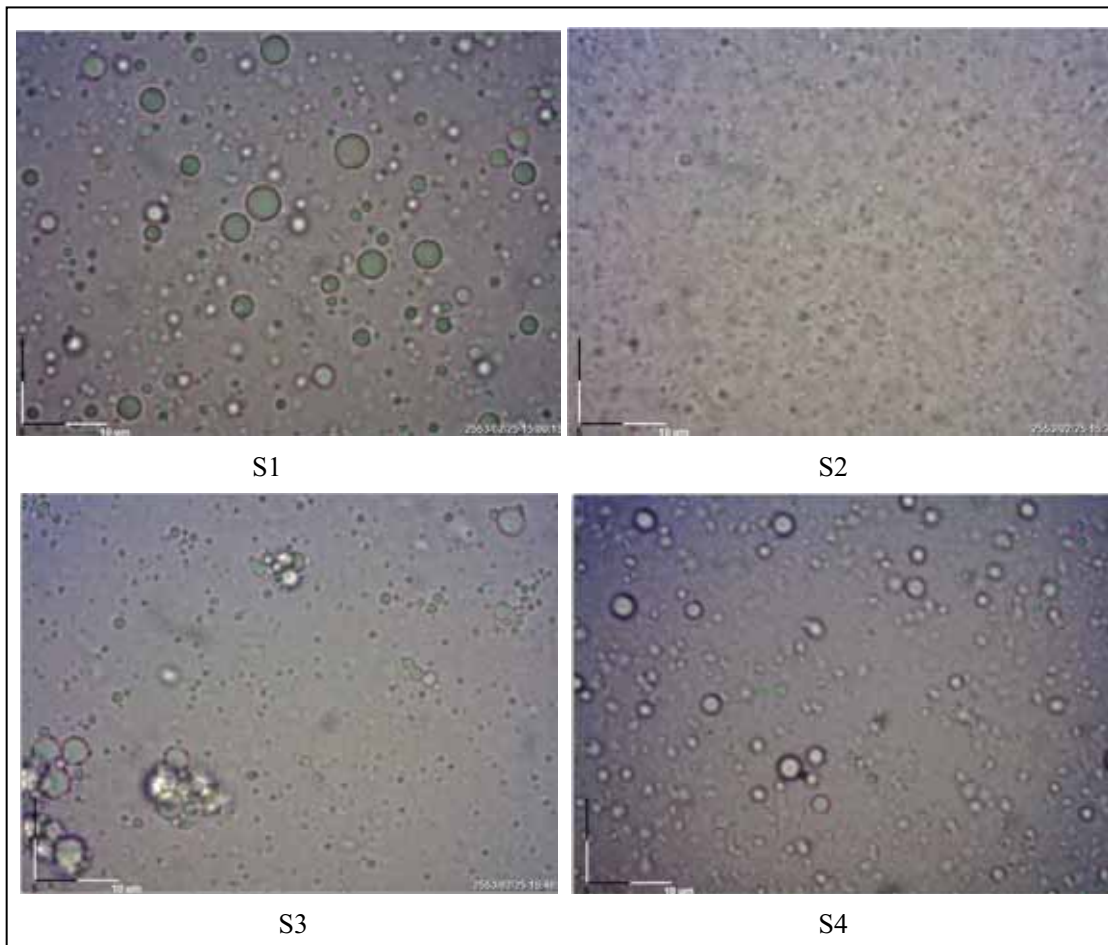


ภาพที่ 31 กราฟแสดงความสัมพันธ์ระหว่างชนิดของสารลดแรงตึงผิว (S1 : POS, S2 : PGO, S3 : SLS และ S4 : PLX) ต่อความคงตัวของอิมัลชัน

### 1.1.1.2 ผลของชนิดสารลดแรงตึงผิวต่อขนาดของหยดน้ำมัน

ขนาดของหยดน้ำมันมีผลโดยตรงต่อคุณสมบัติของอิมัลชัน เช่น ลักษณะทางกายภาพ ความน่าใช้ ความคงตัวของอิมัลชัน เป็นต้น (Kim and Kim 2003 : 2295 – 2301) นอกจากนี้แล้วการประยุกต์ใช้สำหรับการนำไปใช้เป็นผลิตภัณฑ์สำหรับช่องปาก ขนาดของหยดน้ำมันจะมีผลโดยตรงต่อการผ่าเชื้อด้วย ขนาดของหยดน้ำมันที่เล็กลงโดยเฉลี่ยในช่วงนาโนเมตรมีผลเพิ่มพูนที่พิเศษของหยดน้ำมันอย่างมากที่ส่งผลต่อการผ่าเชื้อโดยตรง (Pal, Tak and Song 2007 : 1712–1720) ดังนั้นการศึกษาผลของปัจจัยต่างๆ ที่มีผลต่อขนาดของหยดน้ำมันจึงมีความสำคัญ ในการวิจัยครั้งนี้ได้มีการศึกษาผลของชนิดของสารลดแรงตึงผิวต่อขนาดของหยดน้ำมันดังแสดงในภาพที่ 32-33

ผลการศึกษาพบว่าเมื่อใช้สารลดแรงตึงผิวในกลุ่ม POS, SLS และ PLX ส่งผลให้อิมัลชันที่เตรียมได้มีขนาดค่อนข้างใหญ่อยู่ในช่วง ไมโครเมตรและสามารถเห็นอนุภาคของหยดน้ำมันได้อย่างชัดเจน โดยกล้องจุลทรรศน์ โดยมีขนาดเฉลี่ยที่วัดโดยเครื่องวัดขนาดอนุภาคเท่ากับ 1.766, 2.699 และ 1.779 ไมโครเมตร ตามลำดับ ในขณะที่สารลดแรงตึงผิวในกลุ่ม PGO สามารถเตรียมอิมัลชันที่มีขนาดอนุภาคเล็กมากในระดับนาโนเมตร (ภาพถ่ายด้วยกล้องจุลทรรศน์ เห็นอนุภาคของหยดน้ำมันไม่ชัดเจน เนื่องจากมีขนาดอนุภาคที่เล็กเกินขีดจำกัดของกล้องที่ใช้ ประกอบกับมีการเคลื่อนไหวอนุภาคอย่างรวดเร็วจากการเคลื่อนไหวแบบบรรทานเนียนทำให้ยากต่อ การถ่ายภาพ) เมื่อนำไปวัดขนาดโดยใช้เครื่องวัดขนาดอนุภาคจะมีขนาดอยู่ในช่วง 151 ถึง 196 นาโนเมตร ซึ่งแสดงให้เห็นว่า PGO เป็นสารลดแรงตึงผิวที่เหมาะสมที่สุดในการเตรียมนาโนอิมัลชันสำหรับระบบที่ประกอบด้วยสูตรตำรับดังกล่าว

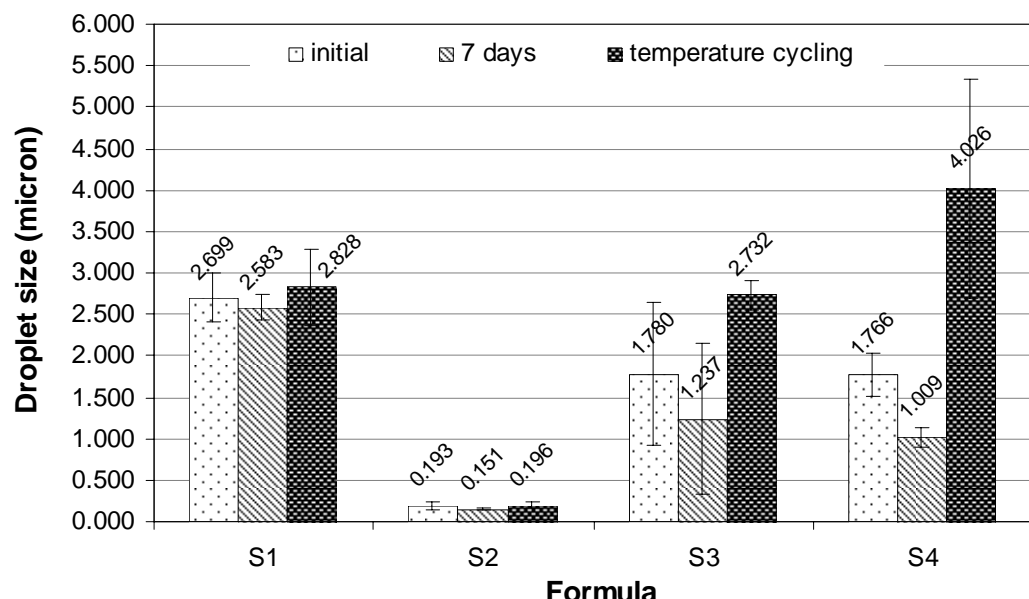


ภาพที่ 32 ภาพถ่ายโดยกล้องจุลทรรศน์ของอิมัลชันที่เตรียมได้จากสารลดแรงตึงผิว 4 ชนิด (S1 : POS, S2 : PGO, S3 : SLS และ S4 : PLX) ภายหลังการเตรียมและเก็บไว้ที่อุณหภูมิ 25 องศาเซลเซียสเป็นเวลา 24 ชั่วโมง (กำลังขยาย = 100x)

ในส่วนผลการทดสอบความคงตัวภายหลังการเก็บไว้ที่อุณหภูมิห้องและสภาพเร่งต่อขนาดของหยดน้ำมันได้แสดงไว้ในภาพที่ 33 จากการศึกษาพบว่าขนาดของหยดน้ำมันของอิมัลชันมีแนวโน้มไม่แตกต่างอย่างชัดเจนเมื่อเทียบกับเว้นสูตรที่ใช้ SLS ขนาดของหยดน้ำมันมีแนวโน้มที่เพิ่มมากขึ้นเล็กน้อย สอดคล้องกับผลลักษณะทางกายภาพในภาพที่ 31 ซึ่งมีเปอร์เซ็นต์ครีมลดลงอย่างชัดเจนหลังการเก็บซึ่งน่าจะเกิดจากขนาดหยดน้ำมันที่โตขึ้นทำให้เกิดการแยกของชั้นครีมเพิ่มมากขึ้น สำหรับการใช้ PGO เป็นสารช่วยลดแรงตึงผิวนั้นพบผลที่น่าสนใจคือขนาดของหยดน้ำมันยังคงอยู่ในช่วง nano เมตรถึงแม้ว่าถูกเก็บที่สภาพเร่ง

โดยปกติแล้วระบบอิมัลชันเป็นระบบที่ไม่มีความคงตัวทางอุณหพลวัต (thermodynamic stable) กล่าวคือเป็นระบบที่ไม่คงตัว หยดน้ำมันขนาดเล็กมีแนวโน้มเกิดการรวมตัวกันเพื่อลดพลังงานพื้นผิว (Sadurní et al. 2005 : 438-445) สารลดแรงตึงผิวเป็น

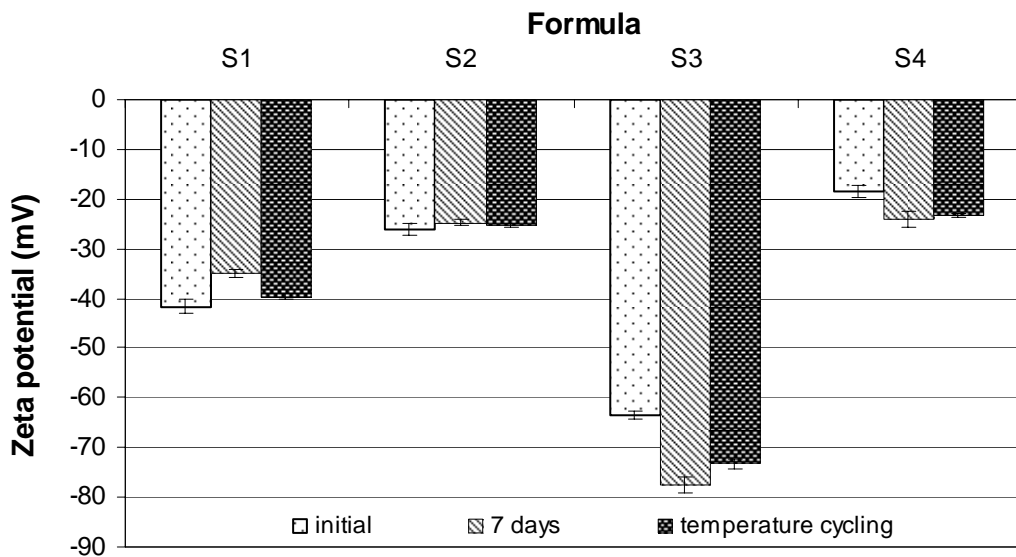
องค์ประกอบที่สำคัญที่ช่วยเพิ่มความคงตัวของระบบดังกล่าวเนื่องจากสารชนิดนี้มีโครงสร้างของโมเลกุลที่ประกอบด้วยทั้งส่วนที่ละลายในน้ำและในไขมันได้ดี ทำให้สามารถเข้าไปอยู่ระหว่างพื้นผิวของน้ำมันและน้ำ เพื่อลดแรงตึงผิวและพลังงานพื้นผิว รวมถึงเกิดเป็นชั้นที่หุ้ม วัสดุภาชนะในป้องกันไม่ให้เกิดการรวมตัวของหยดน้ำมัน โดยสารลดแรงตึงผิวนางชนิดมีประจุที่ช่วยเสริมแรงผลักซึ่งส่งผลให้ความคงตัวของระบบอิมัลชันดีขึ้น (Corrigan and Healy 2002 : 2639-2653 ; Gullapalli and Sheth 1999 : 233-238) ในกรณีการใช้สารลดแรงตึงผิวทั้งในกลุ่มที่ไม่มีประจุได้แก่ POS, PGO และ PLX และมีการใช้ SLS ซึ่งเป็นสารลดแรงตึงผิวที่มีประจุ การศึกษาพบว่า SLS มีความคงตัวค่อนข้างน้อยทั้งๆที่มีประจุซึ่งควรเพิ่มความคงตัวจาก electrostatic repulsion (Quan, Khoe and Bagster 2001 : 478-484) อย่างไรก็ตามในการศึกษาครั้งนี้พบว่าการใช้สารลดแรงตึงผิวในกลุ่มไม่มีประจุโดยเฉพาะการใช้สารในกลุ่ม PGO กลับได้ผลความคงตัวที่ดีกว่าในกรณีเป็นไขมีโครงสร้างที่เข้ากันได้ไม่ดีกับวัสดุภาชนะน้ำมันทำให้ยึดเกาะที่พื้นผิวของหยดน้ำมันได้ไม่ดีนักส่งผลให้ไม่สามารถป้องกันการรวมตัวหยดน้ำมันได้ ในขณะที่ PGO น่าจะมีโครงสร้างที่เข้ากันได้ดีกับวัสดุภาชนะน้ำมันที่ใช้มากกว่า ประกอบกับมีโครงสร้างที่เป็นสายโซ่ที่ยื่นมีอุบลมาเป็นการเพิ่ม steric hindrance ช่วยป้องกันไม่ให้เกิดการรวมตัวกันของหยดน้ำมันส่งผลให้มีขนาดหยดน้ำมันที่เล็กและความคงตัวที่มากที่สุดดังกล่าว



ภาพที่ 33 แสดงขนาดหยดน้ำมันของอิมัลชันที่เตรียมได้จากสารลดแรงตึงผิว 4 ชนิด (S1 : POS, S2 : PGO, S3 : SLS และ S4 : PLX) ภายหลังการเตรียมและเก็บไว้ที่อุณหภูมิ 25 องศาเซลเซียสเป็นเวลา 24 ชั่วโมงและ 1 สัปดาห์และหลังการเก็บที่สภาวะเร่ง

### 1.1.1.3 ผลกระทบชนิดสารลดแรงตึงผิวต่อค่าซีต้าโพเทนเชี่ยวลดของหยดน้ำมัน ค่าซีต้าโพเทนเชี่ยวลดหรือศักย์ไฟฟ้าที่แตกต่างระหว่างชั้นที่ติดกับผิว

ของอนุภาค (stationary layer) กับตัวกลางที่ใช้ (dispersion medium) เป็นตัวชี้วัดที่เกี่ยวข้องกับความคงตัวของอนุภาคโดยเนพาะอนุภาคที่มีขนาดเล็กในระดับนาโนเมตร อนุภาคที่มีค่าซีต้าโพเทนเชี่ยวลดสูงมากขึ้นมีผลทำให้เกิดการหลักกันของอนุภาคที่มีประจุเดียวกัน ทำให้โอกาสที่อนุภาคมาชนและรวมตัวกันมีแนวโน้มเกิดได้มากมากขึ้น (Jeong, Oh and Kim 2001 : 247-253) อิมลัชันโดยเฉลี่ยนานาโนอิมลัชันที่ประกอบด้วยหยดน้ำมันที่มีขนาดเล็ก ดังนั้นการวัดค่าซีต้าโพเทนเชี่ยวลดจึงช่วยในการอธิบายปรากฏการณ์บนพื้นผิว รวมถึงการนำไปใช้อธิบายเกี่ยวกับเรื่องความคงตัวได้ผลการทดสอบค่าซีต้าโพเทนเชี่ยวลดของอิมลัชันที่เตรียมได้โดยใช้สารลดแรงตึงผิวต่างกันได้แสดงไว้ในภาพที่ 34 จากการศึกษาพบว่า การใช้สารลดแรงตึงผิวทุกกลุ่มให้ค่าซีต้าโพเทนเชี่ยวลดเป็นลบทั้งหมด โดยการใช้ SLS มีค่าความเป็นลบมากที่สุดซึ่งสอดคล้องกับโครงสร้างของ SLS ที่มีประจุลบจากหมู่ sulfate ดังนั้น การห่อหุ้มหยดน้ำมันด้วย SLS จึงส่งผลให้ไม่มีค่าเป็นลบมากที่สุด ดังกล่าว แต่อย่างไรก็ตามผลที่ได้ไม่ได้สอดคล้องกับความคงตัวทางกายภาพดังที่แสดงในหัวข้อ 1.1.1.1 ดังที่ได้กล่าวมาแล้วค่าซีต้าโพเทนเชี่ยวลดที่มากขึ้น อนุภาคของหยดน้ำมันความรวมตัวกันได้ยากขึ้น ความคงตัวทางกายภาพน่าจะดีกว่า ในกรณีนี้เป็นไปได้ว่าอาจมีปัจจัยอื่นที่มีผลต่อความคงตัวมากกว่าประจุที่พื้นผิวที่ทำให้ออนุภาคหลักกัน โดยปัจจัยที่เป็นไปได้อาจเกี่ยวข้องกับความสมบูรณ์หรือความแข็งแรงของชั้นของสารลดแรงตึงผิวที่หุ้มหยดน้ำมันไว้ดังที่ได้กล่าวไว้ในกรณีนี้สารลดแรงตึงผิวในกลุ่มนี้มีประจุนegaive จะเกิดการห่อหุ้มหยดน้ำมันได้สมบูรณ์และแข็งแรงมากกว่า นอกจากนี้แล้วเมื่อเปรียบเทียบความคงตัวทางกายภาพของสารลดแรงตึงผิวในกลุ่มนี้มีประจุทั้ง 3 ตัวที่ใช้จะเห็นได้ว่าค่าซีต้าโพเทนเชี่ยวลดมีค่าเรียงตามลำดับดังนี้ PGO > PLX > POS ซึ่งสอดคล้องกับความคงตัวทางกายภาพด้วย ผลที่ได้แสดงให้เห็นว่า PGO มีการห่อหุ้มหยดน้ำมันได้มากที่สุด (หยดน้ำมันประกอบด้วยน้ำมันถั่วเหลืองซึ่งมีประจุเป็นลบ ดังนั้นการห่อหุ้มด้วยสารลดแรงตึงผิวนี้ผลทำให้หยดน้ำมันแสดงความเป็นลบน้อยลง)

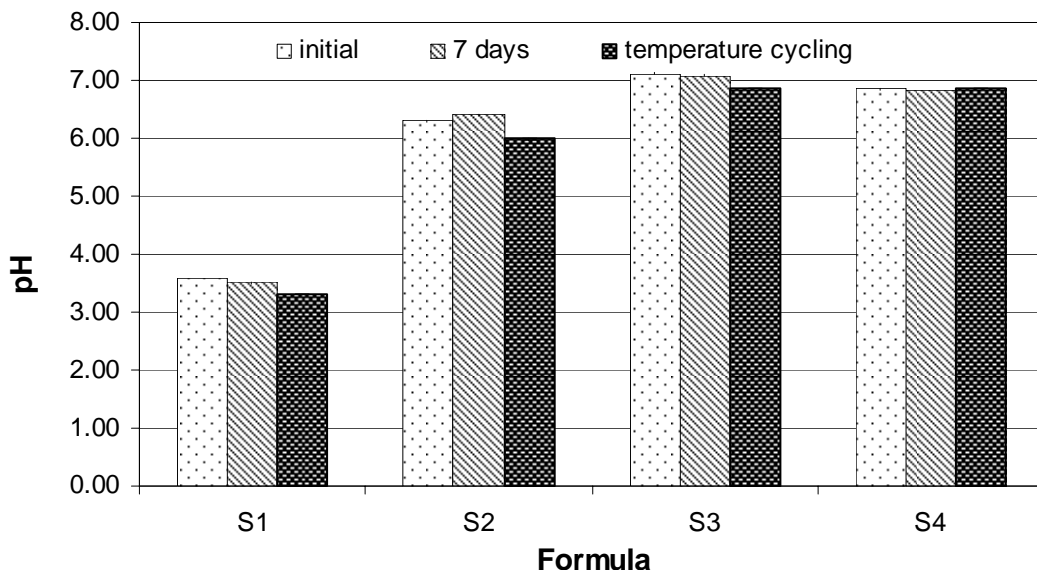


ภาพที่ 34 แสดงค่าซีต้าโพเทนเซียลของหยดน้ำมันของอิมัลชันที่เตรียมได้จากสารลดแรงตึงผิว 4 ชนิด (S1 : POS, S2 : PGO, S3 : SLS และ S4 : PLX) ภายหลังการเตรียมและเก็บไว้ที่อุณหภูมิ 25 องศาเซลเซียสเป็นเวลา 24 ชั่วโมงและ 1 สัปดาห์และหลังการเก็บที่สภาวะร่อง

#### 1.1.1.4 ผลของชนิดสารลดแรงตึงผิวต่อค่าความเป็นกรด-ด่างของอิมัลชัน

ค่าความเป็นกรด-ด่าง เป็นตัวชี้วัดที่เกี่ยวข้องกับการนำอิมัลชันไปใช้ในผู้บุริโภค โดยเฉพาะการนำไปใช้กับการฆ่าเชื้อทางทันตกรรม โดยต้องคำนึงถึงค่าความเป็นกรด-ด่างภายในช่องปาก ซึ่งมีค่า pH อยู่ในช่วง 6.2-7.4 (Aframian, Davidowitz and Benoliel 2006 : 420-423) ขณะที่เชื้อ *S. mutans* ที่เป็นเชื้อก่อโรคฟันผุสามารถเจริญเติบโตได้ดีในสภาวะเป็นกรด (รีวีเดียร์ไฟศาล 2550 : 97-104) ดังนั้น อิมัลชันที่เตรียมได้ควรมีค่าความเป็นกรด-ด่างที่เป็นกลางอยู่ในช่วง 6.2-7.4 ผลการทดสอบค่าความเป็นกรด-ด่างของอิมัลชันที่เตรียมได้โดยใช้สารลดแรงตึงผิวต่างกัน ได้แสดงไว้ในภาพที่ 35 จากการศึกษาพบว่า การใช้สารลดแรงตึงผิวในกลุ่ม PGO, SLS และ PLX ให้ค่าความเป็นกรด-ด่างเป็น 6.30, 7.12 และ 6.85 ตามลำดับ ซึ่งเป็นค่าความเป็นกรด-ด่างที่เหมาะสมต่อการนำมาใช้ในช่องปากดังที่กล่าวข้างต้น ในขณะที่สารลดแรงตึงผิวในกลุ่ม POS ให้ค่าความเป็นกรด-ด่างเป็น 3.58 ซึ่งเป็นสภาวะที่เป็นกรดมาก จึงอาจส่งผลต่อการเจริญของเชื้อ *S. mutans* ได้ และเมื่อทำการศึกษาต่อโดยวัดค่าความเป็นกรด-ด่างภายหลังการเก็บที่อุณหภูมิห้องและสภาวะร่อง พบร่วมค่าความเป็นกรด-ด่างของอิมัลชันที่เตรียมได้จากสารลดแรงตึงผิวทุกกลุ่มนี้ ค่าคงที่ไม่เกิดการเปลี่ยนแปลง ดังนั้นเมื่อนำผลของความคงตัวและขนาดของหยดน้ำมันของอิมัลชันมาพิจารณาร่วมด้วย พบร่วมค่าความเป็นกรด-ด่างของอิมัลชันที่เตรียมได้จากสารลดแรงตึงผิวที่

น่าสนใจ คือ ให้ค่าความเป็นกรด-ด่างที่เหมาะสมต่อการเตรียมอิมัลชันเพื่อใช้ในการผ่าเชื้อก่อโรคทางทันตกรรมต่อไป



ภาพที่ 35 แสดงค่าความเป็นกรด-ด่างของอิมัลชันที่เตรียมได้จากสารลดแรงตึงผิว 4 ชนิด (S1 : POS, S2 : PGO, S3 : SLS และ S4 : PLX) ภายหลังการเตรียมและเก็บไว้ที่อุณหภูมิ 25 องศาเซลเซียสเป็นเวลา 24 ชั่วโมงและ 1 สัปดาห์และหลังการเก็บที่สภาวะเร่ง

### 1.1.2 ผลของปริมาณสารลดแรงตึงผิวต่อคุณสมบัติของอิมัลชัน

จากการศึกษาที่ผ่านมา พบว่า สารลดแรงตึงผิวที่เหมาะสมในการนำมาใช้เตรียมอิมัลชันคือ PGO เนื่องจากสามารถเตรียมอิมัลชันที่มีความคงตัว มีขนาดอนุภาคเล็กในช่วงนาโนเมตรและขนาดใกล้เคียงกับคลอดการเก็บรักษา รวมถึงมีค่าความเป็นกรดค่าด่างอยู่ในช่วง 6.2-7.4 จึงเลือกนำ PGO มาศึกษาต่อในเรื่องผลของปริมาณสารลดแรงตึงผิวที่มีต่อคุณสมบัติต่างๆ ของอิมัลชันโดยใช้ PGO ในปริมาณตั้งแต่ 1, 2.5, 5, 7.5 และ 10 % โดยน้ำหนัก

#### 1.1.2.1 ผลของปริมาณสารลดแรงตึงผิวต่อลักษณะทางกายภาพ

ภาพที่ 36 แสดงผลเปรียบเทียบลักษณะทางกายภาพของอิมัลชัน ก่อนนำไปทดสอบความคงตัวโดยมีการเปรียบเทียบการใช้สารลดแรงตึงผิวในกลุ่ม PGO บริมาณต่างๆ ได้แก่ 1, 2.5, 5, 7.5 และ 10 % โดยน้ำหนัก พบว่าการใช้สารลดแรงตึงผิวกลุ่ม PGO ได้อิมัลชันที่มีลักษณะทางกายภาพที่ดี โดยมีลักษณะที่นิ่วเนื้อเดียวกันตลอดอิมัลชันที่เตรียม ไม่

มีแนวโน้มการเกิดแยกชั้นหรือแยกครีม ถึงแม้ว่าจะใช้สารลดแรงตึงผิวในปริมาณที่ค่อนข้างน้อยถึงระดับ 1% โดยนำหนัก แสดงให้เห็นถึงแนวโน้มของความคงตัวที่ดีของสารในกลุ่ม PGO

เพื่อเป็นการศึกษาความคงตัวเปรียบเทียบเพิ่มเติม จึงได้ทำการเก็บตัวอย่างอิมลชันไว้ทั้งที่อุณหภูมิห้องและการเก็บในสภาวะเร่ง โดยการสลับอุณหภูมิที่ 4 และ 45 องศาเซลเซียส ดังแสดงในภาพที่ 37-38 ผลการศึกษาพบว่าลักษณะทางกายภาพของอิมลชันที่เตรียมได้จากการใช้สารลดแรงตึงผิวในกลุ่ม PGO ปริมาณต่างกัน ไม่มีความแตกต่างกันชัดเจน โดยไม่เกิดการแยกของครีมและมีเบอร์เซ็นต์ครีมเท่ากับ 100 ทั้งหลังการเตรียมและเก็บไว้ที่ 25 องศาเซลเซียสเป็นเวลา 24 ชั่วโมงและ 1 สัปดาห์ และหลังจากเก็บไว้ที่สภาวะเร่งคือที่อุณหภูมิ 4 องศาเซลเซียสสลับกับอุณหภูมิ 45 องศาเซลเซียส จำนวน 6 รอบ ดังแสดงในภาพที่ 39 ซึ่งเป็นการยืนยันผลความคงตัวที่ดีของสารในกลุ่มนี้

ดังที่กล่าวมาข้างต้นว่าสารลดแรงตึงผิวจะช่วยในการเกิดอิมลชันโดยปราศตัวแทนอยู่ที่บริเวณผิวประจัน (interface) ระหว่างชั้นของไขมันและน้ำ ปริมาณสารลดแรงตึงผิวที่มากพอจะช่วยห่อหุ้มหยดน้ำมันไว้ให้อย่างสมบูรณ์และป้องกันไม่ให้เกิดการรวมตัวของหยดน้ำมัน (Baret et al. 2009 : 6088–6093) ในกรณีนี้เป็นไปได้ว่าสารในกลุ่ม PGO น่าจะมีโครงสร้างที่เหมาะสมและเข้ากันได้กับวัสดุภาชนะน้ำมันที่ใช้จึงทำให้เกิดการห่อหุ้มหยดน้ำมันและป้องกันการรวมตัวของหยดน้ำมันได้ดีแม้จะใช้ในปริมาณที่ค่อนข้างต่ำซึ่งผลที่ได้สอดคล้องกับการศึกษาในหัวข้อ 1.1.1.1



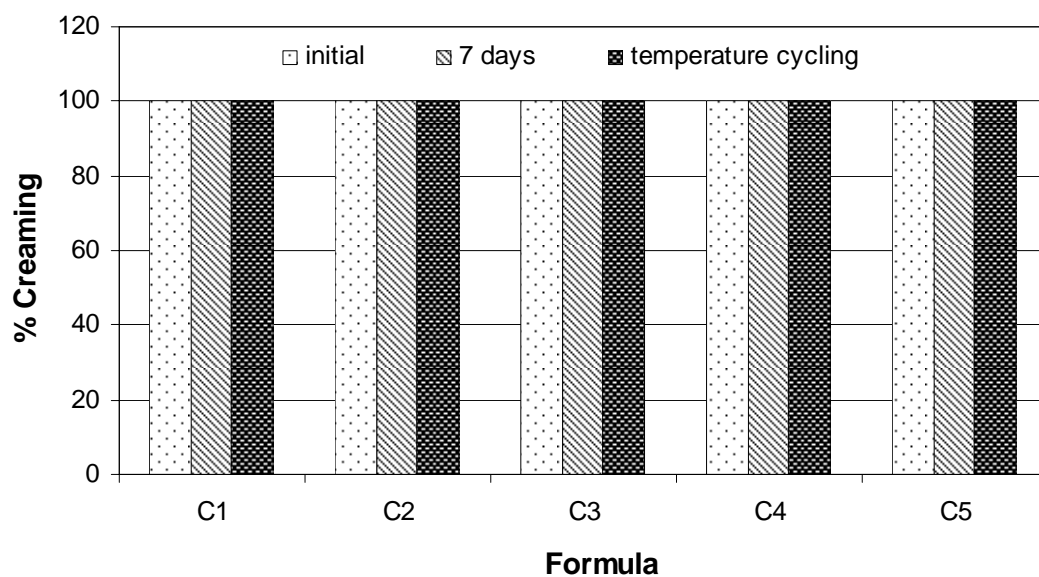
ภาพที่ 36 ลักษณะทางกายภาพของอิมัลชันที่เตรียมได้จากสารลดแรงตึงผิวกลุ่ม PGO ปริมาณต่างกัน (C1 : 1%, C2 : 2.5%, C3 : 5%, C4 : 7.5% และ C5 : 10 % โดยน้ำหนัก) หลังการเตรียมและเก็บไว้ที่ 25 องศาเซลเซียสเป็นเวลา 24 ชั่วโมง



ภาพที่ 37 ลักษณะทางกายภาพของอิมัลชันที่เตรียมได้จากสารลดแรงตึงผิวกลุ่ม PGO ปริมาณต่างกัน (C1 : 1%, C2 : 2.5%, C3 : 5%, C4 : 7.5% และ C5 : 10 % โดยน้ำหนัก) หลังการเตรียมและเก็บไว้ที่ 25 องศาเซลเซียสเป็นเวลา 1 สัปดาห์



ภาพที่ 38 ลักษณะทางกายภาพของอิมัลชันที่เตรียมได้จากสารลดแรงตึงผิวกลุ่ม PGO ปริมาณต่างกัน (C1 : 1%, C2 : 2.5%, C3 : 5%, C4 : 7.5% และ C5 : 10 % โดยน้ำหนัก) หลังการเตรียมและเก็บไว้ที่สภาวะเร่ง

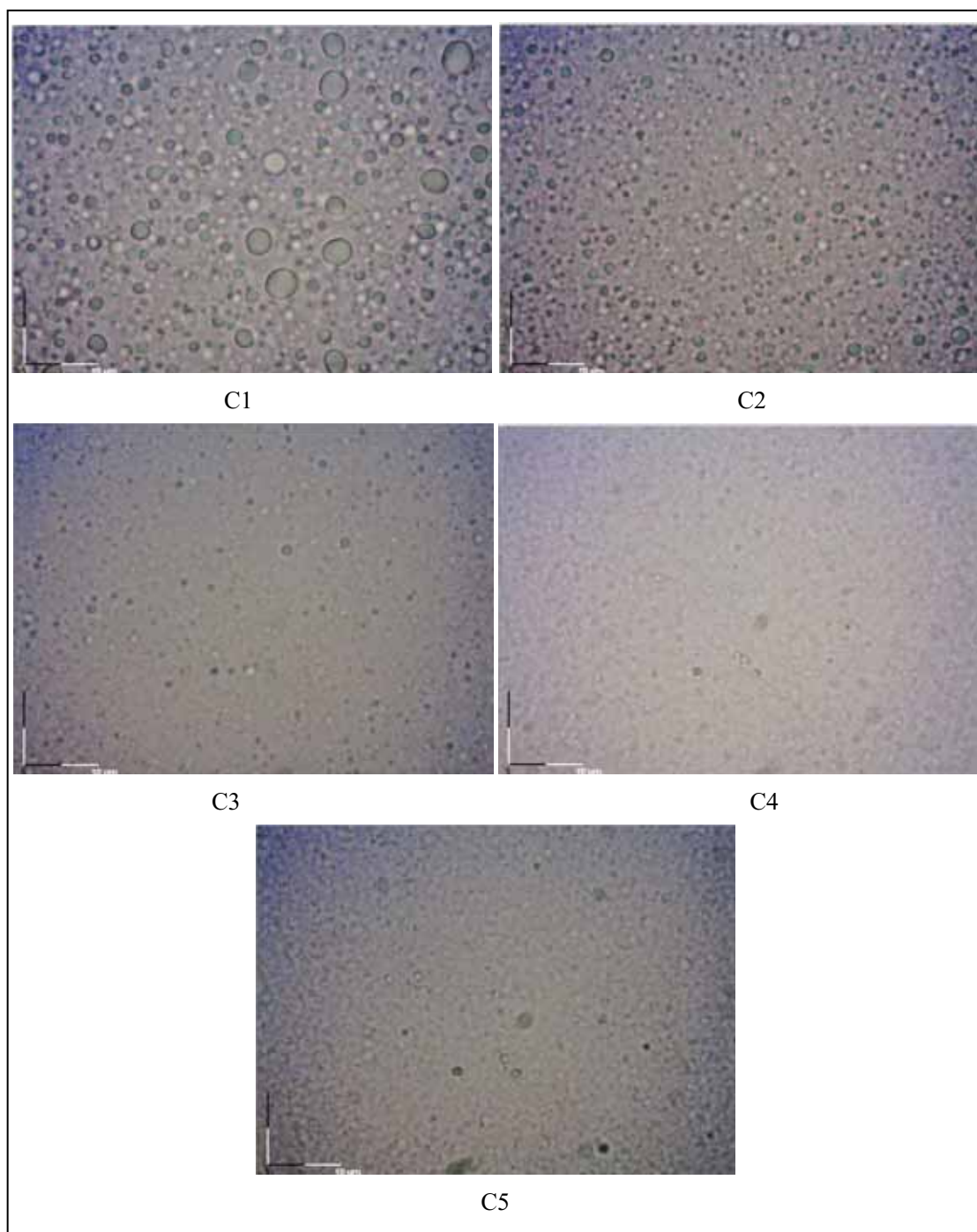


ภาพที่ 39 กราฟแสดงความสัมพันธ์ระหว่างปริมาณของ PGO (C1 : 1%, C2 : 2.5%, C3 : 5%, C4 : 7.5% และ C5 : 10 % โดยน้ำหนัก) ต่อความคงตัวของอิมัลชัน

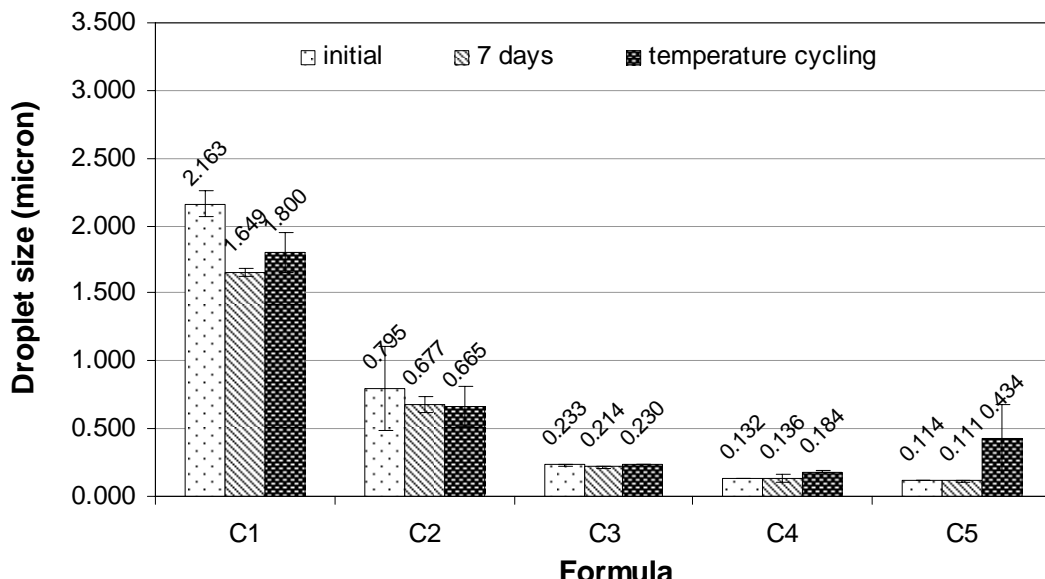
### 1.1.2.2 ผลของปริมาณสารลดแรงตึงผิวต่อขนาดของหยดน้ำมัน

จากที่กล่าวมาข้างต้นว่าขนาดของหยดน้ำมันมีผลโดยตรงต่อคุณสมบัติของและมีผลโดยตรงต่อการซึ่งร่วมด้วย นอกจากนี้แล้วถึงแม้ว่าลักษณะทางกายภาพภายนอกจะมีลักษณะเหมือนกัน แต่คุณสมบัติอื่นรวมไปถึงขนาดของหยดน้ำมันอาจมีความแตกต่างกันได้ ในการวิจัยครั้งนี้จึงได้มีการศึกษาผลของปริมาณของสารลดแรงตึงผิวต่อขนาดของหยดน้ำมันร่วมด้วยดังแสดงในภาพที่ 40-41

ผลการศึกษาพบว่าเมื่อใช้สารลดแรงตึงผิวในกลุ่ม PGO ปริมาณ 1 และ 2.5 % โดยน้ำหนัก ส่งผลให้อิมัลชันที่เตรียมได้มีขนาดหยดน้ำมันค่อนข้างใหญ่อยู่ในช่วงไม่ครอบและสามารถเห็นอนุภาคของหยดน้ำมันได้อย่างชัดเจน โดยกล้องจุลทรรศน์ โดยมีขนาดเฉลี่ยที่วัดโดยเครื่องวัดขนาดอนุภาคเท่ากับ 2.163 และ 0.795 ไมโครเมตร ตามลำดับ ในขณะที่ปริมาณ 5, 7.5 และ 10 % โดยน้ำหนัก สามารถเตรียมอิมัลชันที่มีขนาดอนุภาคเล็กมากในระดับ nano เมตร (ภาพถ่ายด้วยกล้องจุลทรรศน์เห็นอนุภาคของหยดน้ำมันไม่ชัดเจน เนื่องจากมีขนาดอนุภาคที่เล็กเกินขีดจำกัดของกล้องที่ใช้ประกอบกับมีการเคลื่อนไหวอนุภาคอย่างรวดเร็วจากการเคลื่อนไหวแบบธรรมเนียมทำให้ยากต่อการถ่ายภาพ) เมื่อนำไปวัดขนาดโดยใช้เครื่องวัดขนาดอนุภาคจะมีขนาดอยู่ในช่วง 111 ถึง 233 นาโนเมตร ผลการทดสอบดังกล่าวแสดงให้เห็นว่าปริมาณสารลดแรงตึงผิวมีผลต่อขนาดของหยดน้ำมันอย่างชัดเจน ระดับสารลดแรงตึงผิวในปริมาณน้อยกว่า 5% โดยน้ำหนัก ปริมาณสารลดแรงตึงผิวจะไม่มากเพียงพอต่อการหุ้มหยดน้ำมันในระดับ nano เมตรซึ่งมีพื้นที่ผิวจำนวนมากໄได้ซึ่งผลการทดสอบจะสอดคล้องกับรายงานของ Tchlakova และคณะ (2004) ซึ่งพบว่าการเพิ่มปริมาณสารลดแรงตึงผิวจะช่วยห่อหุ้มหยดน้ำมันไว้ได้อย่างสมบูรณ์ และป้องกันไม่ให้เกิดการรวมตัวของหยดน้ำมันส่งผลให้ขนาดหยดน้ำมันของอิมัลชันมีแนวโน้มลดลง เมื่อทำการศึกษาต่อโดยเก็บตัวอย่างอิมัลชันไว้ทั้งที่อุณหภูมิห้องและการเก็บในสภาพเร่งโดยการสลับอุณหภูมิที่ 4 และ 45 องศาเซลเซียส ดังแสดงในภาพที่ 41 ผลการศึกษาพบว่าขนาดของหยดน้ำมันมีขนาดไม่เปลี่ยนแปลงมากนัก สูตรที่มี PGO ในระดับตั้งแต่ 2.5% โดยน้ำหนักยังมีขนาดของหยดน้ำมันอยู่ในช่วง nano เมตรและไม่มีแนวโน้มการเพิ่มขึ้นของขนาดหยดน้ำมันชัดเจน (ในกรณีของ PGO ระดับ 10% โดยน้ำหนัก หลังเก็บที่สภาพเร่งพบว่ามีขนาดของอนุภาคใหญ่ขึ้นในกรณีนี้ขนาดอนุภาคไม่ได้เกิดจากขนาดของหยดน้ำมันที่โตขึ้น แต่เกิดจากการรวมตัวกันของ PGO ที่มากเกินกว่าที่จะหุ้มหยดน้ำมันได้หมด เกิดการรวมตัวกันเป็นอนุภาคขนาดเล็ก ทำให้วัดขนาดของอนุภาคโดยรวมได้โตขึ้น ซึ่งยืนยันผลด้วยกล้องจุลทรรศน์ที่พบลักษณะเส้นไขขนาดเล็กในขณะที่หยดน้ำมันยังมีขนาดเล็กอยู่ในช่วง nano เมตร)



ภาพที่ 40 ภาพถ่ายโดยกล้องจุลทรรศน์ของอิมัลชันที่เตรียมได้จากสารลดแรงตึงผิวกลุ่ม PGO ปริมาณต่างกัน (C1 : 1%, C2 : 2.5%, C3 : 5%, C4 : 7.5% และ C5 : 10 % โดยน้ำหนัก) หลังการเตรียมและเก็บไว้ที่อุณหภูมิ 25 องศาเซลเซียสเป็นเวลา 24 ชั่วโมง (กำลังขยาย = 100x)



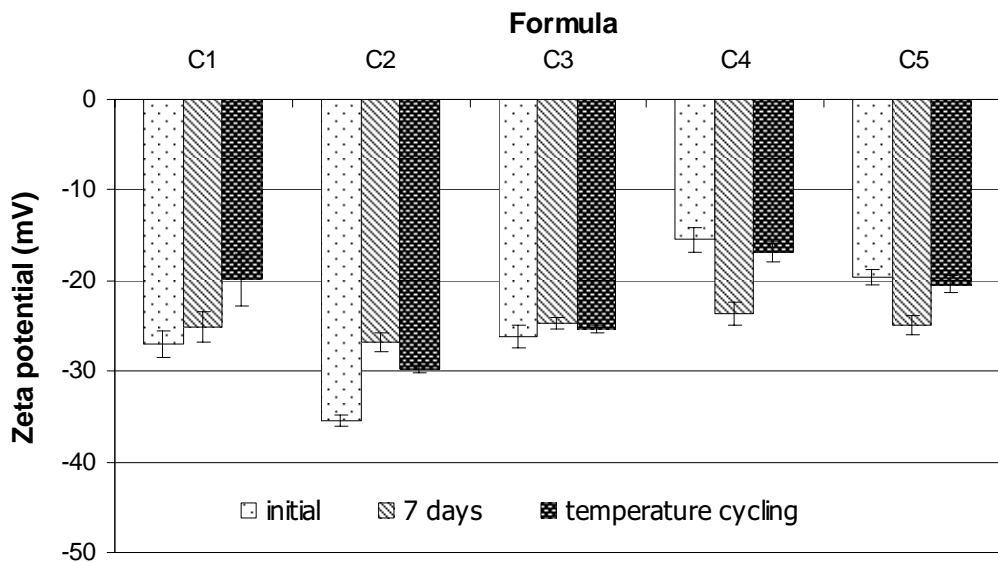
ภาพที่ 41 แสดงขนาดหยดน้ำมันของอิมัลชันที่เตรียมได้จากการใช้ PGO ปริมาณต่างกัน (C1 : 1%, C2 : 2.5%, C3 : 5%, C4 : 7.5% และ C5 : 10 % โดยน้ำหนัก) ภายหลังการเตรียมและเก็บไว้ที่อุณหภูมิ 25 องศาเซลเซียสเป็นเวลา 24 ชั่วโมงและ 1 สัปดาห์และหลังการเก็บที่สภาวะเร่ง

จากผลการทดสอบดังกล่าวจึงได้ทำการเลือกสูตรคำรับที่มี PGO ในระดับ 5% โดยน้ำหนักในการศึกษาปัจจัยอื่นต่อไป เนื่องจากการใช้ในระดับต่ำอาจทำให้บางสูตรคำรับที่ประกอบด้วยน้ำมันหรือสารลดแรงตึงผิวอื่นเสียความคงตัวได้ซึ่งทำให้ยากต่อการเปรียบเทียบ รวมไปถึงการใช้สารลดแรงตึงผิวในระดับต่ำนี้จะมีผลต่อนาคของหยดน้ำมันที่โตขึ้นร่วมด้วย นอกจากนี้การใช้ในระดับมากเกินไป ทำให้เหลือสารลดแรงตึงผิวที่ไม่ได้นำไปใช้ในการหุ้นหยดน้ำมัน ซึ่งอาจเกิดการรวมตัวกันและทำให้ผลที่ได้เกิดข้อผิดพลาดได้

#### 1.1.2.3 ผลของปริมาณสารลดแรงตึงผิวต่อค่าซีต้าโพเทนเชียลของหยดน้ำมัน

ดังที่ได้อธิบายไว้ในหัวข้อ 1.1.1.3 ค่าซีต้าโพเทนเชียลเป็นตัวชี้วัดที่แสดงถึงประจุที่ผิวของหยดน้ำมัน ในการศึกษารังนี้มีการเพิ่มปริมาณสารลดแรงตึงผิวซึ่งน่าจะมีผลต่อการห่อหุ้นที่ผิวของหยดน้ำมันเปลี่ยนแปลงไปด้วย การเพิ่มปริมาณสารลดแรงตึงผิวการทำให้หยดน้ำมันถ่วงเหลืองถูกห่อหุ้นมากขึ้นซึ่งน่าจะทำให้ค่าซีต้าโพเทนเชียลมีความเป็นลบน้อยลง เพื่อเป็นการศึกษาผลของปริมาณสารลดแรงตึงผิวต่อปรากฏการณ์พื้นผิวเพิ่มเติม จึงได้ทำการวัดซีต้าโพเทนเชียลของคำรับอิมัลชันที่ประกอบด้วย PGO ในปริมาณต่างกัน ดังแสดงในภาพที่ 42 จาก

การศึกษาพบว่า การใช้สารลดแรงตึงผิวคลุ่ม PGO ที่ปริมาณต่างๆ ให้ค่าซีต้าโพเทนเซียลเป็นลบ ทั้งหมด การเพิ่มปริมาณสารลดแรงตึงผิวมีแนวโน้มทำให้ค่าซีต้าโพเทนเซียลมีค่าความเป็นลบ น้อยลง โดยที่ระดับสารลดแรงตึงผิว 2.5 % โดยน้ำหนักจะได้ผลที่แตกต่างออกไปกล่าวคือเมื่อค่าซีต้าโพเทนเซียลเป็นลบมากขึ้นเมื่อเทียบกับ 1% โดยน้ำหนัก



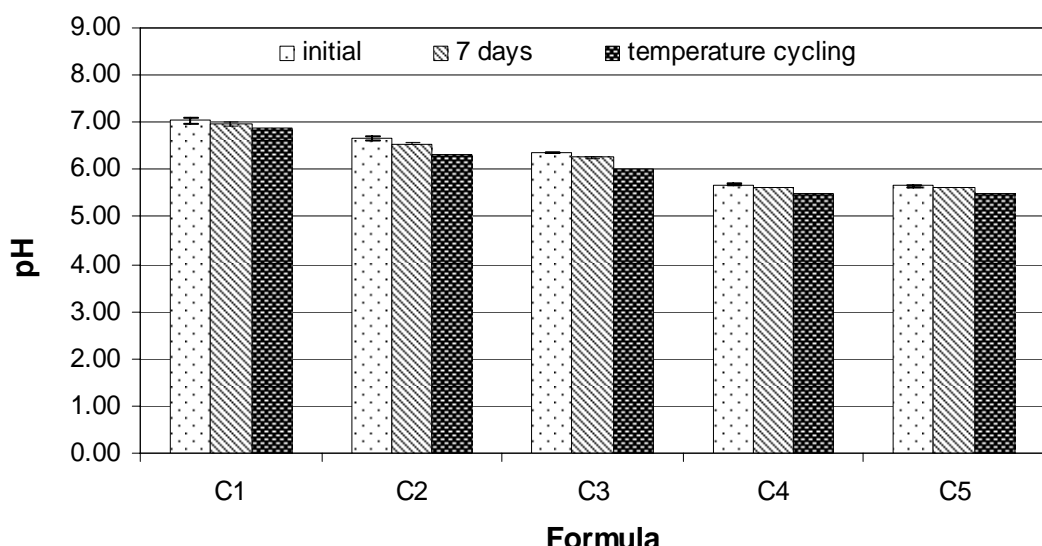
ภาพที่ 42 แสดงค่าซีต้าโพเทนเซียลของหยดน้ำมันของอิมัลชันที่เตรียมได้จากการใช้ PGO ปริมาณต่างกัน (C1 : 1%, C2 : 2.5%, C3 : 5%, C4 : 7.5% และ C5 : 10 % โดยน้ำหนัก) ภายหลังการเตรียมและเก็บไว้ที่อุณหภูมิ 25 องศาเซลเซียสเป็นเวลา 24 ชั่วโมง และ 1 สัปดาห์ และหลังการเก็บที่สภาวะเร่ง

โดยทั่วไปแล้วการเพิ่มสารลดแรงตึงผิวมีผลโดยตรงต่อการหุ้มที่ผิวหยดน้ำมัน กล่าวคือเมื่อเพิ่มปริมาณสารลดแรงตึงผิวมากขึ้น ทำให้เกิดการคลุมที่ผิวของหยดน้ำมัน ซึ่งน่าจะมีผลทำให้ค่าซีต้าโพเทนเซียลของหยดน้ำมันถ้วนเหลืองมีความเป็นลบน้อยลง แต่อย่างไรก็ตามในการศึกษารังนี้จะมีบางจุดที่ได้ผลไม่สอดคล้อง ซึ่งแสดงให้เห็นว่าจะมีปัจจัยอื่นร่วมด้วย ที่ส่งผลต่อการเปลี่ยนแปลงประจุที่พื้นผิว เมื่อพิจารณาถึงขนาดของหยดน้ำมันประกอบด้วย (ภาพที่ 40) จะเห็นได้ว่า การเพิ่ม PGO จะส่งผลให้ขนาดของหยดน้ำมันเล็กลงด้วย โดยขนาดจะลดลงอย่างชัดเจนเมื่อเพิ่มจาก 1% เป็น 2.5% โดยน้ำหนัก ดังนั้นพื้นที่ผิวของหยดน้ำมันจะมีการเพิ่มขึ้นอย่างรวดเร็วส่งผลให้สารลดแรงตึงผิวไม่สามารถคลุมผิวของหยดน้ำมันได้อย่างสมบูรณ์ ส่งผลให้ค่าซีต้าโพเทนเซียลมีความเป็นลบมากขึ้น แต่อย่างไรก็ตามเมื่อเพิ่ม PGO ในระดับมากกว่า 2.5% โดย

น้ำหนัก หยดน้ำมันจะอยู่ในช่วงนาโนเมตรและไม่มีขนาดที่ลดลงอย่างชัดเจน จึงทำให้เห็นความสัมพันธ์ระหว่างปริมาณสารลดแรงตึงผิว กับซีดีโอเพนเชียลชัคเจนนี้

#### 1.1.2.4 ผลของปริมาณสารลดแรงตึงผิวต่อค่าความเป็นกรด-ด่างของอิมัลชัน

ผลการทดสอบค่าความเป็นกรด-ด่างของอิมัลชันที่เตรียมได้โดยใช้สารลดแรงตึงผิวกลุ่ม PGO ที่ปริมาณต่างกันดังแสดงไว้ในภาพที่ 43 จากการศึกษาพบว่า การใช้สารลดแรงตึงผิวกลุ่ม PGO ในปริมาณ 1, 2.5 และ 5% โดยน้ำหนัก ให้ค่าความเป็นกรด-ด่างเป็น 7.04, 6.67 และ 6.37 ตามลำดับ ซึ่งเป็นค่าความเป็นกรด-ด่างที่เหมาะสมต่อการนำมาใช้ในช่องปากดังที่กล่าวข้างต้น ในขณะที่สารลดแรงตึงผิวปริมาณ 7.5 และ 10% โดยน้ำหนักให้ค่าความเป็นกรด-ด่างเป็น 5.68 และ 5.65 ตามลำดับ ซึ่ง เป็นสภาวะที่เป็นกรด จึงอาจส่งผลต่อการเจริญของเชื้อ *S. mutans* ได้ และเมื่อทำการศึกษาต่อโดยวัดค่าความเป็นกรด-ด่างภายหลังการเก็บที่อุณหภูมิห้องและสภาวะเร่ง พบร่วมกับค่าความเป็นกรด-ด่างของอิมัลชันที่เตรียมได้จากสารลดแรงตึงผิวทุกกลุ่ม มีค่าคงที่ ไม่เกิดการเปลี่ยนแปลง ดังนั้นมีอนามัยของความคงตัว ขนาดของหยดน้ำมันของอิมัลชัน และค่าซีดีโอเพนเชียลมาพิจารณาร่วมด้วย พบร่วมกับสารลดแรงตึงผิวกลุ่ม PGO ที่ปริมาณ 5% โดยน้ำหนักเป็นปริมาณที่เหมาะสม ต่อการเตรียมอิมัลชันเพื่อใช้ในการฟอกฟัน โรคทางทันตกรรมต่อไป



ภาพที่ 43 แสดงค่าความเป็นกรด-ด่างของอิมัลชันที่เตรียมได้จากการใช้ PGO ปริมาณต่างกัน (C1 : 1%, C2 : 2.5%, C3 : 5%, C4 : 7.5% และ C5 : 10 % โดยน้ำหนัก) ภายหลังการเตรียมและเก็บไว้ที่อุณหภูมิ 25 องศาเซลเซียสเป็นเวลา 24 ชั่วโมงและ 1 สัปดาห์ และหลังการเก็บที่สภาวะเร่ง

## 1.2 ผลของน้ำมันต่อการเกิดอิมลัชัน

ในการศึกษาที่ผ่านมาในหัวข้อ 1.1 นี้จะเป็นการทดสอบผลของสารลดแรงตึงผิวโดยใช้น้ำมันถั่วเหลืองเพียงชนิดเดียวเป็นตัวแทนของการศึกษา แต่อย่างไรก็ตามชนิดและปริมาณของน้ำมันมีส่วนสำคัญในการกำหนดคุณสมบัติของอิมลัชันและเป็นตัวกำหนดคุณสมบัติในการยับยั้งเชื้อแบคทีเรียต่าง ๆ (Nakatsu et al. 2000 : 571-631 ; Bakkali et al. 2008 : 446-475) ประกอบกับการพัฒนาครั้งนี้มีความมุ่งหมายที่จะนำอิมลัชันที่ได้ไปเป็นส่วนประกอบของผลิตภัณฑ์สุขภาพสำหรับช่องปากจึงได้ทำการศึกษาผลของน้ำมันร่วมด้วย โดยเลือกใช้น้ำมันหอมระ夷 6 ชนิดที่มีฤทธิ์ยับยั้งเชื้อแบคทีเรีย มีความปลดปล่อยและมีร速ชาติที่ดีโดยเน้นเฉพาะน้ำมันหอมระ夷ที่มีการใช้ในผลิตภัณฑ์สำหรับช่องปากคือ น้ำมันกานาพลู น้ำมันสเปียร์มินต์ น้ำมันเปปเปอร์มินต์ น้ำมันอโปทามินต์ น้ำมันยูคาลิปตัส และน้ำมันทีทิร์มาใช้ในการเตรียมอิมลัชัน นอกจากนี้แล้วยังมีการศึกษาผลของการใช้น้ำมันหอมระ夷ในลักษณะต่างกันโดยใช้ร่วมกับน้ำมันถั่วเหลือง โดยทำการประเมินเบรียบที่ยับคุณสมบัติของอิมลัชันที่เตรียมได้ ทั้งด้วยการตรวจสอบด้วยตาเปล่ารวมไปถึงการใช้เครื่องมือชนิดต่าง ๆ ในการทดสอบ เช่น ขนาดของหยดน้ำมัน ซีต้าโพเทนเซียล การแยกชั้น (cracking) การเกิดครีม (creaming) ความหนืด ค่าความเป็นกรดค้าง เป็นต้น โดยมีการทดสอบทันทีที่เตรียมและประเมินผลหลังเก็บไว้ที่สภาวะร่าง

### 1.2.1 ผลของชนิดน้ำมันหอมระ夷ต่อคุณสมบัติของอิมลัชัน

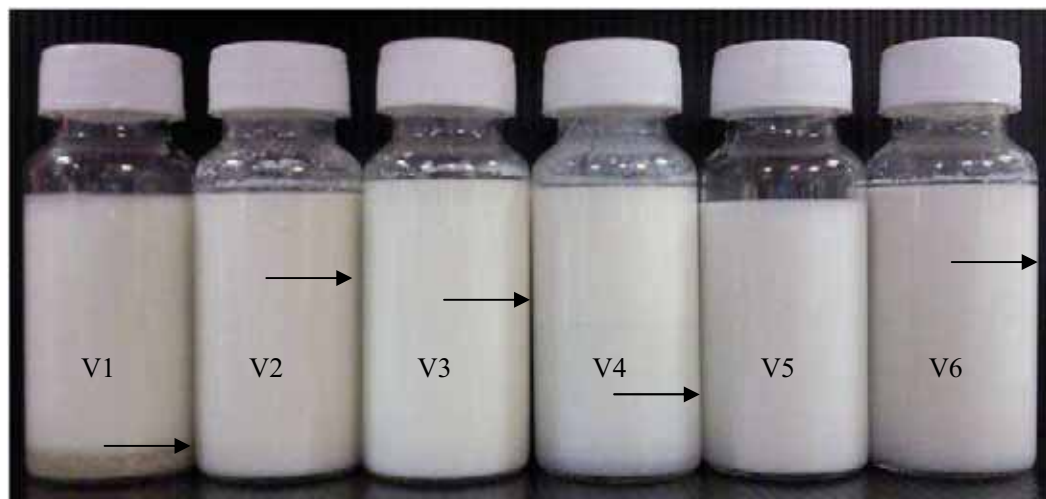
#### 1.2.1.1 ผลของชนิดน้ำมันหอมระ夷ต่อลักษณะทางกายภาพของอิมลัชัน

ภาพที่ 44 แสดงผลเบรียบที่ยับลักษณะทางกายภาพของอิมลัชัน ก่อนนำไปทดสอบความคงตัวโดยมีการเบรียบที่ยกการใช้น้ำมันหอมระ夷ในกลุ่มต่างกันได้แก่ น้ำมันกานาพลู (V1), น้ำมันสเปียร์มินต์ (V2), น้ำมันเปปเปอร์มินต์ (V3), น้ำมันอโปทามินต์ (V4), น้ำมันยูคาลิปตัส (V5) และ น้ำมันทีทิร์ (V6) ซึ่งพบว่าการใช้น้ำมันกานาพลูเกิดการแยกชั้นของน้ำมัน (cracking) การใช้น้ำมันหอมระ夷กลุ่มน้ำมันสเปียร์มินต์ น้ำมันเปปเปอร์มินต์ น้ำมันอโปทามินต์ และน้ำมันทีทิร์เกิดการแยกส่วนอิมลัชันที่มีสีขาวเข้มและสีขาวอ่อนอย่างชัดเจน (creaming) ในขณะที่น้ำมันยูคาลิปตัสได้อิมลัชันที่มีลักษณะเป็นเนื้อดียกันตลอด แสดงให้เห็นว่า การใช้น้ำมันหอมระ夷เป็นองค์ประกอบในวัสดุakanน้ำมันมีแนวโน้มที่จะได้อิมลัชันที่มีความคงตัวทางกายภาพน้อย โดยน้ำมันกานาพลูมีแนวโน้มความคงตัวที่ไม่ดีมากที่สุด

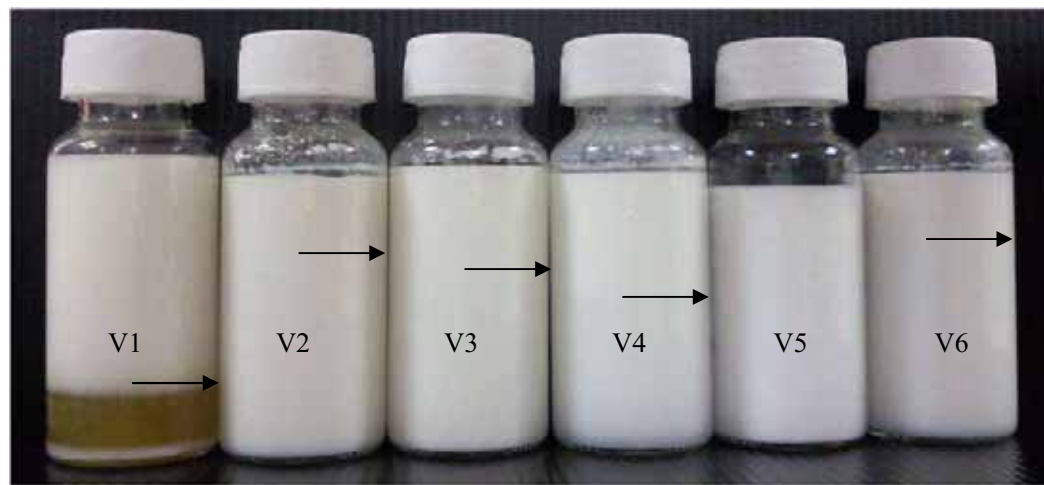
เพื่อเป็นการศึกษาความคงตัวเบรียบที่ยกเพิ่มเติม จึงได้ทำการเก็บตัวอย่างอิมลัชันไว้ทั้งที่อุณหภูมิห้องและการเก็บในสภาวะร่างโดยการสับอุณหภูมิที่ 4 และ 45 องศาเซลเซียส ดังแสดงในภาพที่ 45-46 ผลการศึกษาพบว่าชนิดน้ำมันหอมระ夷มีผลต่อความคงตัวของอิมลัชันกล่าวคือ เมื่อใช้น้ำมันกานาพลู น้ำมันสเปียร์มินต์ น้ำมันเปปเปอร์มินต์ น้ำมัน

อปทามินต์ และน้ำมันทีทรีได้捺รับอิมลชันที่มีความคงตัวไม่ดี สังเกตได้จากการแยกของชั้นครีม โดยมีแนวโน้มค่าเปอร์เซ็นต์ครีมลดลงหลังการศึกษาความคงตัว โดยเฉพาะการเตรียมอิมลชันจากน้ำมันกานพลู เกิดการแยกชั้นของน้ำมันอย่างชัดเจน เมื่อเก็บไว้ที่อุณหภูมิห้องเป็นเวลา 1 สัปดาห์ และเมื่อเก็บในสภาพเร่ง โดยการสับอุณหภูมิที่ 4 และ 45 องศาเซลเซียส ในขณะที่捺รับอิมลชันที่ประกอบด้วยน้ำมันยูคาลิปตัสไม่เกิดการแยกของครีม โดยมีเปอร์เซ็นต์ครีมเท่ากับ 100 ทั้งหลังการเตรียมและเก็บไว้ที่ 25 องศาเซลเซียสเป็นเวลา 24 ชั่วโมงและ 1 สัปดาห์ และหลังจากเก็บไว้ที่สภาพเร่งคือที่อุณหภูมิ 4 องศาเซลเซียสสับกับอุณหภูมิ 45 องศาเซลเซียส จำนวน 6 รอบ ดังแสดงในภาพที่ 47 ซึ่งเป็นการยืนยันผลความคงตัวที่ดีกว่าของน้ำมันหอมระเหยในกลุ่มหลังนี้

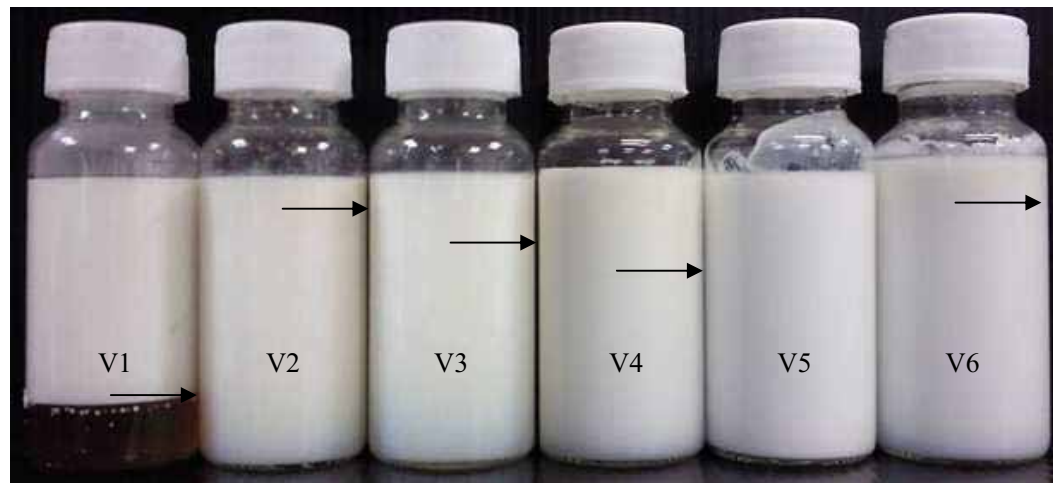
เนื่องจากน้ำมันหอมระเหย เป็นสารสำคัญที่ได้จากการหมักดิบ ดังนั้น จึงมีส่วนประกอบทางเคมีที่หลากหลาย โดยสารสำคัญที่พบมากในน้ำมันหอมระเหยเป็นสารในกลุ่ม terpenes และ phenols ซึ่งมีความหนาแน่นต่ำ สามารถระเหยได้ง่าย ดังนั้นการเตรียมอิมลชันโดยใช้น้ำมันหอมระเหยจึงมีความคงตัวน้อยกว่าการเตรียมโดยใช้น้ำมันถั่วเหลือง ดังแสดงในหัวข้อ 1.1.1 แต่อย่างไรก็ตามเนื่องจากน้ำมันหอมระเหยมีความนำ善于ในคุณสมบัติการผ่าเชื้อที่ดี จึงได้ทำการศึกษาถึงปัจจัยอื่นที่มีผลทำให้น้ำมันหอมระเหยในรูปอิมลชันมีความคงตัวมากขึ้น เช่น โดยการผสมร่วมกับน้ำมันถั่วเหลืองซึ่งจะกล่าวในรายละเอียดในตอนต่อไป



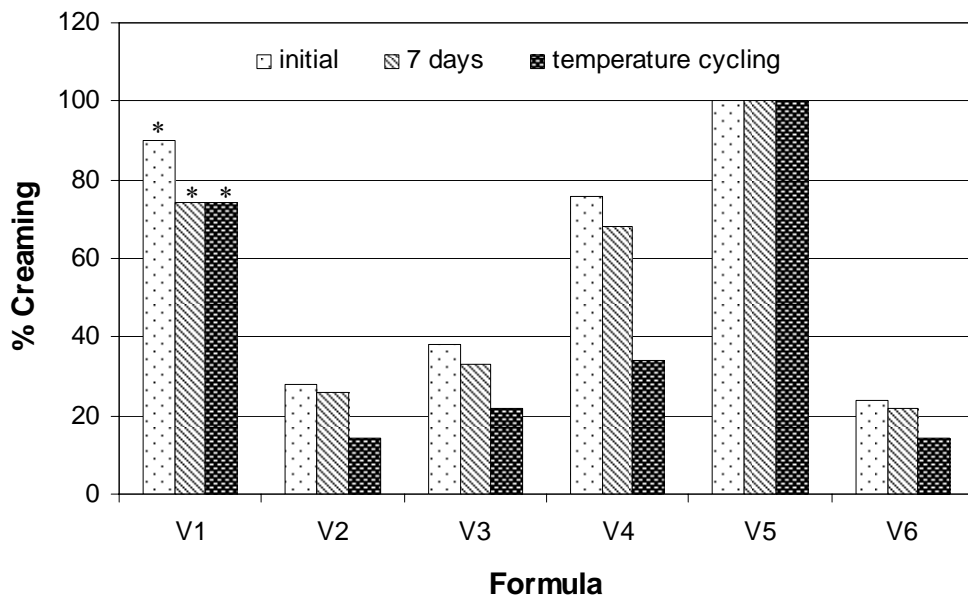
ภาพที่ 44 ลักษณะทางกายภาพของอิมลชันที่เตรียมได้จากน้ำมันหอมระเหยชนิดต่างๆ (V1 : น้ำมันกานพลู, V2 : น้ำมันสเปียร์มินต์, V3 : น้ำมันเบปเปอร์มินต์, V4 : น้ำมันอปทามินต์, V5 : น้ำมันยูคาลิปตัส และ V6 : น้ำมันทีทรี) หลังการเตรียมและเก็บไว้ที่ 25 องศาเซลเซียส เป็นเวลา 24 ชั่วโมง



ภาพที่ 45 ลักษณะทางกายภาพของอิมัลชันที่เตรียมได้จากน้ำมันหอมระ夷ชนิดต่างๆ (V1 : น้ำมัน  
กานพลู, V2 : น้ำมันสเปียร์มินต์, V3 : น้ำมันแปปเปอร์มินต์, V4 : น้ำมันօปทาเมินต์, V5 :  
น้ำมันยูคาลิปตัส และ V6 : น้ำมันทีทรี) หลังการเตรียมและเก็บไว้ที่ 25 องศาเซลเซียส<sup>๙</sup>  
เป็นเวลา 1 สัปดาห์



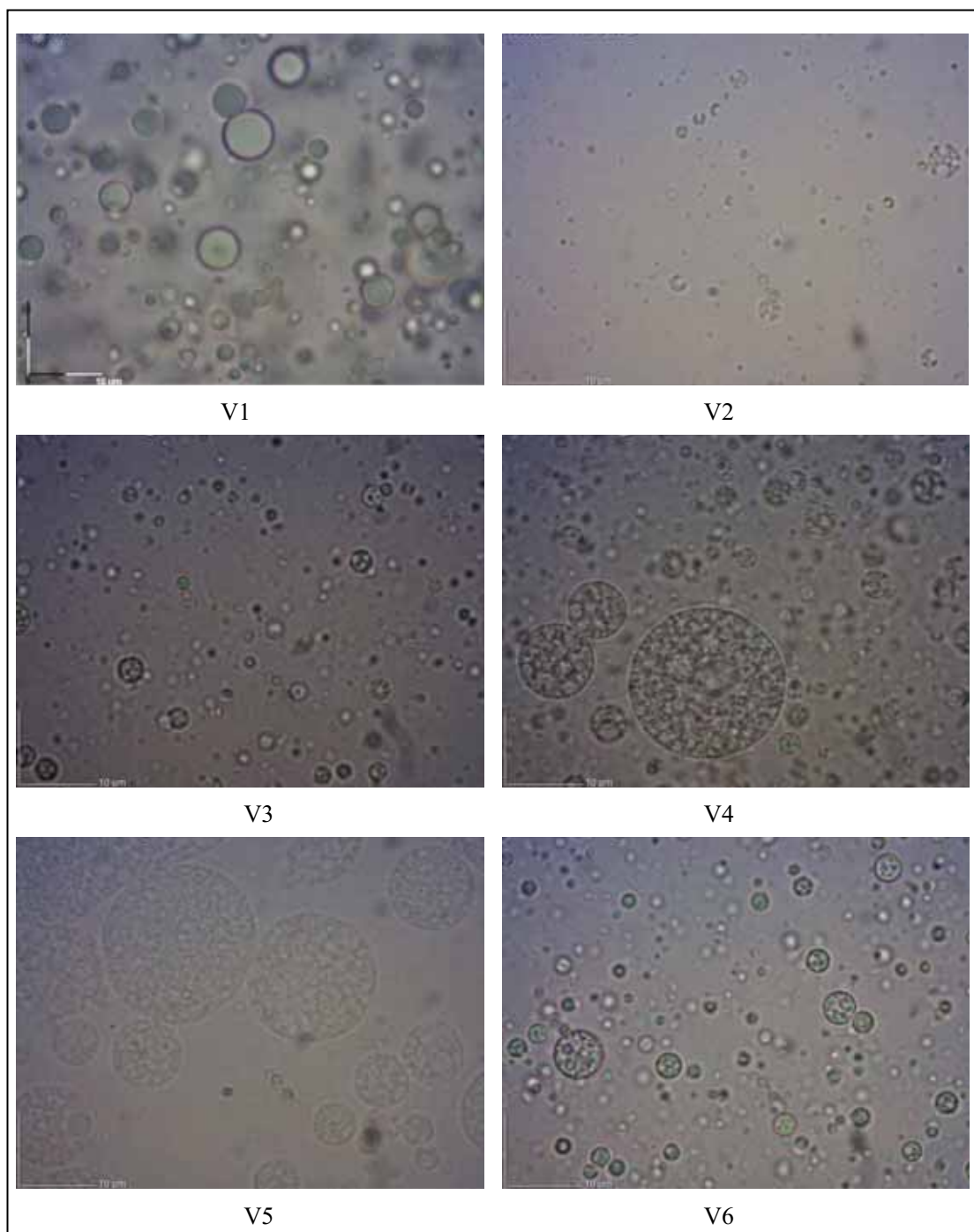
ภาพที่ 46 ลักษณะทางกายภาพของอิมัลชันที่เตรียมได้จากน้ำมันหอมระ夷ชนิดต่างๆ (V1 : น้ำมัน  
กานพลู, V2 : น้ำมันสเปียร์มินต์, V3 : น้ำมันแปปเปอร์มินต์, V4 : น้ำมันօปทาเมินต์, V5 :  
น้ำมันยูคาลิปตัส และ V6 : น้ำมันทีทรี) หลังการเตรียมและเก็บไว้ที่สภาวะเร่ง



ภาพที่ 47 กราฟแสดงความสัมพันธ์ระหว่างน้ำมันหอมระ夷ชนิดต่างๆ (V1 : น้ำมันกานพลู, V2 : น้ำมันสเปียร์มินต์, V3 : น้ำมันเปลปเปอร์มินต์, V4 : น้ำมันออบพาเมินต์, V5 : น้ำมันยูคาลิปตัส และ V6 : น้ำมันทีทรี) ต่อความคงตัวของอิมัลชัน หมายเหตุ \* เกิดการแยกชั้นแบบ cracking

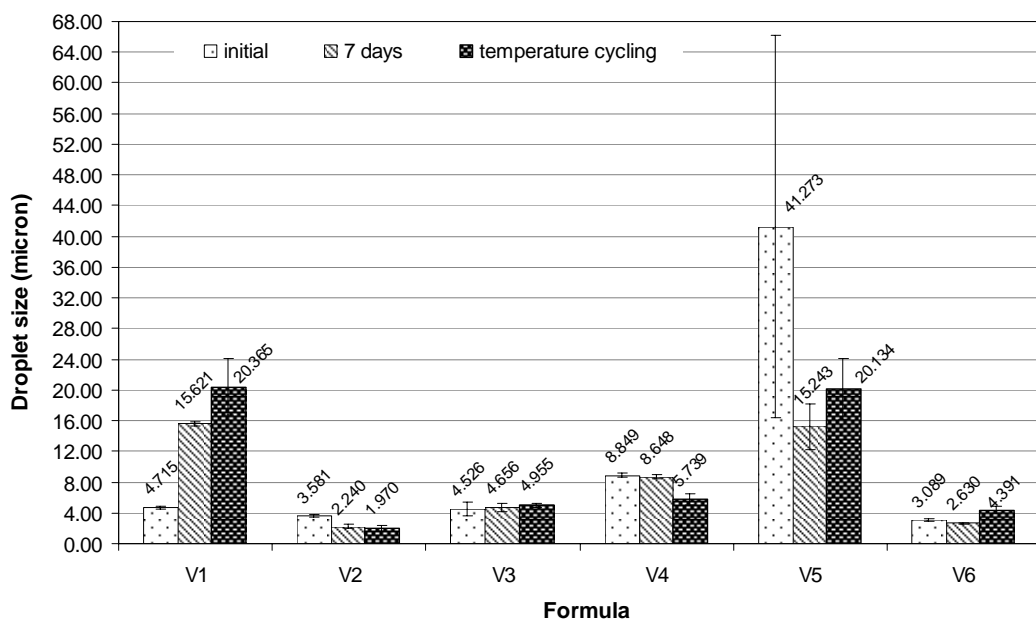
#### 1.2.1.2 ผลของชนิดน้ำมันหอมระ夷ต่อขนาดของหยดน้ำมัน

ผลการศึกษาพบว่าการใช้น้ำมันหอมระ夷ทุกชนิด ได้แก่ น้ำมันกานพลู น้ำมันสเปียร์มินต์ น้ำมันเปลปเปอร์มินต์ น้ำมันออบพาเมินต์ น้ำมันยูคาลิปตัส และน้ำมันทีทรี ส่งผลให้อิมัลชันที่เตรียมได้มีขนาดค่อนข้างใหญ่อยู่ในช่วงไม่ครอนและสามารถเห็นอนุภาคของหยดน้ำมัน ได้อย่างชัดเจน โดยกล้องจุลทรรศน์ ดังแสดงในภาพที่ 48 ลักษณะของหยดน้ำมันที่เตรียมได้จากน้ำมันหอมระ夷จะค่อนข้างแตกต่างกัน โดยในสูตรที่ใช้น้ำมันกานพลูมีลักษณะหยดน้ำมันกลมและแยกตัวออกเป็นหยดเดี่ยวที่แยกกันชัดเจน ในขณะที่สูตรอื่นจะมีลักษณะคล้ายกับพหุอิมัลชัน (multiple emulsion) โดยขนาดเฉลี่ยที่วัดโดยเครื่องวัดขนาดอนุภาคเท่ากับ 4.715, 3.581, 4.526, 8.849, 41.273 และ 3.089 ไมโครเมตร สำหรับน้ำมันกานพลู น้ำมันสเปียร์มินต์ น้ำมันเปลปเปอร์มินต์ น้ำมันออบพาเมินต์ น้ำมันยูคาลิปตัส และน้ำมันทีทรีตามลำดับ ผลที่ได้แสดงให้เห็นว่าคุณสมบัติของน้ำมันหอมระ夷ที่แตกต่างกันมีผลต่อได้ลักษณะและขนาดของหยดน้ำมันร่วมด้วย



ภาพที่ 48 ภาพถ่ายโดยกล้องจุลทรรศน์ของอิมัลชันที่เตรียมได้จากน้ำมันหอมระ夷ชนิดต่างๆ (V1 : น้ำมันกานพลู, V2 : น้ำมันสเปียร์มินต์, V3 : น้ำมันเปลปเปอร์มินต์, V4 : น้ำมันօอปทามินต์, V5 : น้ำมันยูคาลิปตัส และ V6 : น้ำมันทีทราย) หลังการเตรียมและเก็บไว้ที่อุณหภูมิ 25 องศาเซลเซียสเป็นเวลา 24 ชั่วโมง (กำลังขยาย = 100x)

ภาพที่ 49 แสดงขนาดของหยดน้ำมันภายหลังเก็บตัวอย่างอิมัลชันไว้ที่อุณหภูมิห้องและสภาวะเร่งโดยการสับอุณหภูมิที่ 4 และ 45 องศาเซลเซียส ผลการทดลองพบว่าขนาดหยดน้ำมันมีแนวโน้มใหม่ขึ้นในสูตรที่มีการใช้น้ำมันกานพลูซึ่งค่อนข้างสอดคล้องกับความคงตัวทางกายภาพที่แสดงไว้ในหัวข้อ 1.2.1.1 ในขณะที่การใช้น้ำมันหอมระ夷ที่เหลือคือน้ำมันสเปียร์มินต์ น้ำมันเปลปเปอร์มินต์ น้ำมันօอปทาเมินต์ และน้ำมันทีทรีมีขนาดอนุภาคค่อนข้างคงที่เมื่อเก็บไว้ที่อุณหภูมิห้องและการเก็บในสภาวะเร่ง

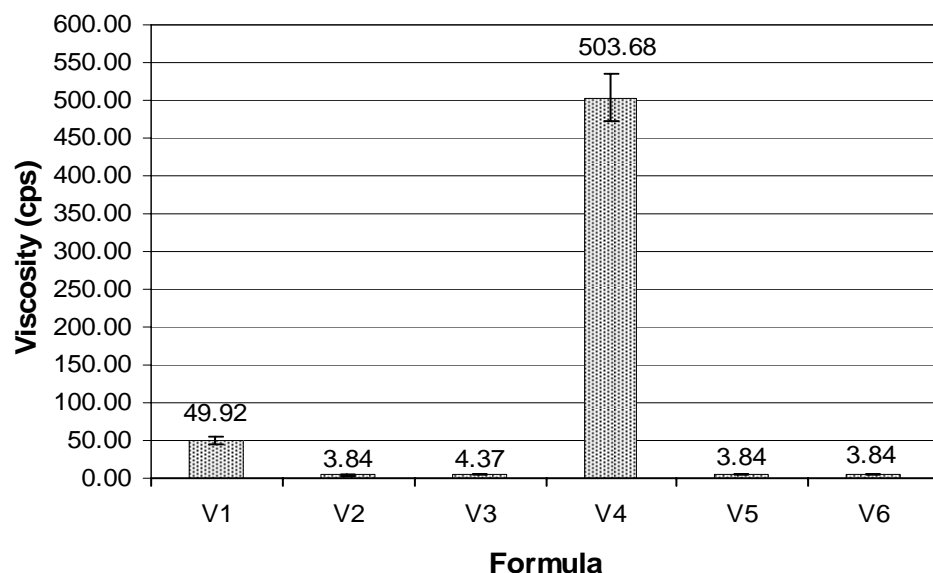


ภาพที่ 49 แสดงขนาดหยดน้ำมันของอิมัลชันที่เตรียมได้จากน้ำมันหอมระ夷ชนิดต่างๆ (V1 : น้ำมันกานพลู, V2 : น้ำมันสเปียร์มินต์, V3 : น้ำมันเปลปเปอร์มินต์, V4 : น้ำมันօอปทาเมินต์, V5 : น้ำมันยูคาลิปตัส และ V6 : น้ำมันทีทรี) หลังการเตรียมและเก็บไว้ที่อุณหภูมิ 25 องศาเซลเซียสเป็นเวลา 24 ชั่วโมงและ 1 สัปดาห์และหลังการเก็บที่สภาวะเร่ง

### 1.2.1.3 ผลของชนิดน้ำมันหอมระ夷ต่อค่าความหนืดของอิมัลชัน

ความหนืดเป็นคุณสมบัติที่สำคัญของอิมัลชัน เพราะการเปลี่ยนแปลงความหนืดของอิมัลชันเนื่องจากสาเหตุใดก็ตาม จะส่งผลต่อคุณภาพและความคงตัวด้วย และยังมีผลต่อความรู้สึกของผู้ใช้ผลิตภัณฑ์นั้น เช่น ความน่าเชื่อถือ เป็นต้น ผลการศึกษาพบว่า การใช้น้ำมันหอมระ夷 ได้แก่ น้ำมันสเปียร์มินต์ น้ำมันเปลปเปอร์มินต์ น้ำมันօอปทาเมินต์ และ

น้ำมันทีทรี ได้อิมัลชันที่มีความหนืดต่ำอยู่ในช่วง 3.84 ถึง 4.37 cps ในขณะที่สูตรที่มีส่วนผสมของน้ำมันกานพลูมีความหนืดเป็น 49.92 cps ซึ่งอาจเป็นความหนืดของน้ำมันกานพลูที่แยกออกมาตั้งแต่ต้นซึ่งมีความหนืดมากกว่าน้ำมันหอมระ夷ชนิดอื่น ส่วนสูตรที่มีส่วนผสมของน้ำมันยูคาลิปตัสพบว่ามีความหนืดสูงที่สุดเป็น 503.68 cps ดังแสดงในภาพที่ 50 ซึ่งผลดังกล่าวแสดงให้เห็นว่าความคงตัวทางกายภาพที่ดีของสูตรตำรับที่ประกอบด้วยน้ำมันยูคาลิปตัสที่แสดงในภาพที่ 47 นั้นเกิดจากความหนืดที่มากนั่นเอง ความหนืดที่มากมีผลทำให้หยดน้ำมันเกิดการรวมตัวกันได้ยากขึ้น (Sjöblom 2006 : 248) ส่งผลทำให้สูตรตำรับดังกล่าวมีค่าเบอร์เซ็นต์ครีมสูงสุดและไม่ค่อยเปลี่ยนแปลงภายหลังการเก็บ แต่ย่างไรก็ตามสูตรที่ประกอบด้วยน้ำมันยูคาลิปตัสนั้นจะเป็นสูตรที่มีความหนืดมากเกินไป ประกอบด้วยขนาดหยดน้ำมันที่มีขนาดใหญ่ จึงไม่ได้เลือกสูตรนี้เพื่อทำการศึกษาต่อไป



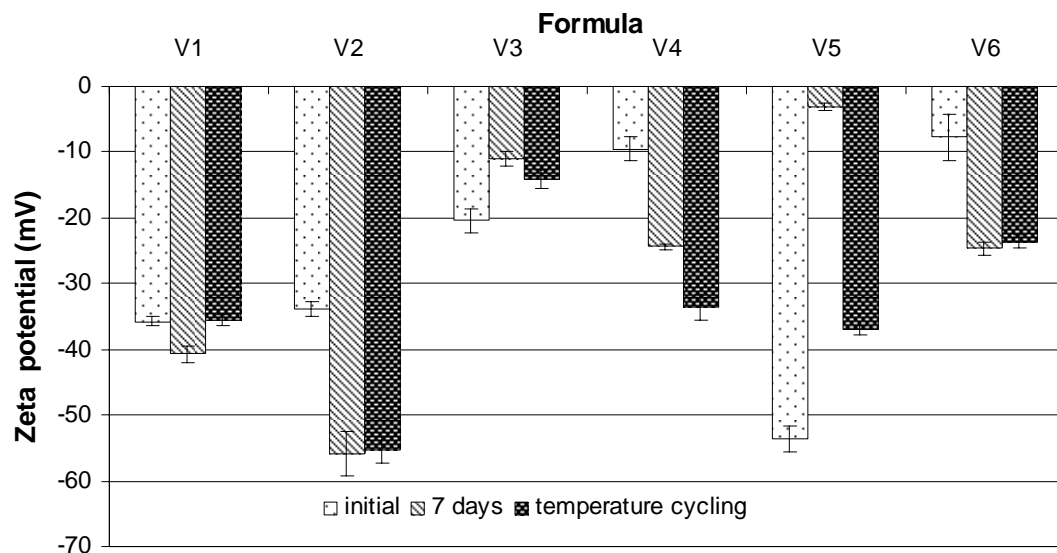
ภาพที่ 50 แสดงค่าความหนืดของอิมัลชันที่เตรียมได้จากน้ำมันหอมระ夷ชนิดต่างๆ (V1 : น้ำมันกานพลู, V2 : น้ำมันสเปียร์มินต์, V3 : น้ำมันเปลบเบอร์มินต์, V4 : น้ำมันอปทาเมินต์, V5 : น้ำมันยูคาลิปตัส และ V6 : น้ำมันทีทรี)

#### 1.2.1.4 ผลของชนิดน้ำมันหอมระ夷ต่อค่าซีต้าโพเทนเซียลของหยดน้ำมัน

ผลการทดสอบค่าซีต้าโพเทนเซียลของอิมัลชันที่เตรียมได้โดยใช้น้ำมันหอมระ夷ต่างกันได้แสดงไว้ในภาพที่ 51 จากการศึกษาพบว่า ค่าซีต้าโพเทนเซียลของน้ำมัน

ห้อมระเหยแต่ละชนิดมีค่าค่อนข้างแตกต่างกันมาก ถึงแม้ว่าทุกสูตรตำรับจะให้ค่าซีต้าโพเทนเชียลเป็นลบ แสดงให้เห็นว่าคุณสมบัติของน้ำมันห้อมระเหยจะมีผลค่อนข้างมากต่อประจุที่พื้นผิวของหยดน้ำมัน องค์ประกอบในน้ำมันห้อมระเหยแต่ละชนิดที่มีสารประกอบที่แตกต่างกันไปน่าจะมีผลโดยตรงต่อค่าซีต้าโพเทนเชียลดังกล่าว

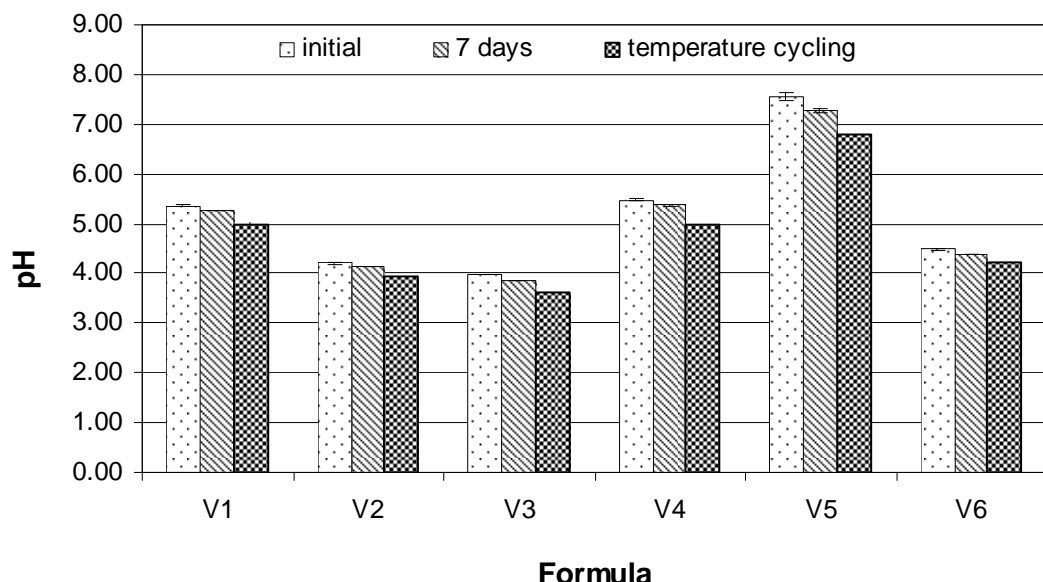
สำหรับผลของการเก็บต่อค่าซีต้าโพเทนเชียลนี้จะมีความแตกต่างกันไปขึ้นกับชนิดของน้ำมันห้อมระเหยที่ใช้ เช่นเดียวกัน หลังการเก็บที่สภาวะเร่งสูตรที่ใช้น้ำมันห้อมระเหยหลายชนิด เช่น น้ำมันสเปียร์มินต์ น้ำมันอโปทามินต์ และน้ำมันทีทรี มีแนวโน้มค่าซีต้าโพเทนเชียลเพิ่มมากขึ้นซึ่งสอดคล้องกับความคงตัวทางกายภาพที่ลดลง ในกรณีนี้เป็นไปได้ว่าหลังจากอิมลัชันเริ่มเสื่อมความคงตัว สารลดแรงตึงผิวห้องห้องน้ำมันได้สมบูรณ์น่องลงสู่ผลให้มีค่าซีต้าโพเทนเชียลมากขึ้น แต่อย่างไรก็ตามก็มีสูตรตำรับที่ประกอบน้ำมันห้อมระเหยบางชนิดมีค่าซีต้าโพเทนเชียลดลดลง เช่น น้ำมันเบปเบอร์มินต์ และ น้ำมันยูคาลิปตัส ในกรณีนี้น่าจะมีปัจจัยอื่นที่แตกต่างกันไปที่กำหนดค่าซีต้าโพเทนเชียลร่วมด้วย ที่ยังต้องการศึกษาต่อไป



ภาพที่ 51 แสดงค่าซีต้าโพเทนเชียลของอิมลัชันที่เตรียมได้จากน้ำมันห้อมระเหยชนิดต่างๆ (V1 : น้ำมันกานพลู, V2 : น้ำมันสเปียร์มินต์, V3 : น้ำมันเบปเบอร์มินต์, V4 : น้ำมันอโปทามินต์, V5 : น้ำมันยูคาลิปตัส และ V6 : น้ำมันทีทรี) ภายหลังการเตรียมและเก็บไว้ที่อุณหภูมิ 25 องศาเซลเซียสเป็นเวลา 24 ชั่วโมงและ 1 สัปดาห์ และหลังการเก็บที่สภาวะเร่ง

### 1.2.1.5 ผลของชนิดน้ำมันหอนระเหยต่อค่าความเป็นกรด-ด่างของอิมลชัน

ผลการทดสอบค่าความเป็นกรด-ด่างของอิมลชันที่เตรียมได้จากน้ำมันหอนระเหยต่างชนิดกัน ดังแสดงไว้ในภาพที่ 52 จากการศึกษาพบว่า การใช้น้ำมันหอนระเหยต่างชนิดกันในการเตรียมอิมลชัน ให้ค่าความเป็นกรด-ด่างอยู่ในช่วง 3.98-7.55 และเมื่อทำการศึกษาต่อโดยวัดค่าความเป็นกรด-ด่างภายหลังการเก็บที่อุณหภูมิห้องและสภาวะเร่ง พบร่วมกับค่าความเป็นกรด-ด่างของอิมลชันที่เตรียมได้จากสารลดแรงตึงผิวทุกกลุ่ม มีค่าคงที่ ไม่เกิดการเปลี่ยนแปลง



ภาพที่ 52 แสดงค่าความเป็นกรด-ด่างของอิมลชันที่เตรียมได้จากน้ำมันหอนระเหยชนิดต่างๆ (V1 : น้ำมันกานพลู, V2 : น้ำมันสเปียร์มินต์, V3 : น้ำมันแปปเปอร์มินต์, V4 : น้ำมันอโปทามินต์, V5 : น้ำมันยูคาลิปตัส และ V6 : น้ำมันทีทรี) หลังการเตรียมและเก็บไว้ที่อุณหภูมิ 25 องศาเซลเซียสเป็นเวลา 24 ชั่วโมงและ 1 สัปดาห์ และหลังการเก็บที่สภาวะเร่ง

### 1.2.2 ผลของสัดส่วนน้ำมันถัวเหลืองต่อคุณสมบัติของอิมลชันของระบบที่ประกอบด้วยน้ำมันแปปเปอร์มินต์

จากการศึกษาในหัวข้อ 1.2.1 พบร่วมกับการเตรียมอิมลชันที่วัสดุภายน้ำมัน ประกอบด้วยน้ำมันหอนระเหยเพียงอย่างเดียว ส่งผลให้อิมลชันที่เตรียมได้เสียความคงตัว มีขนาดอนุภาคค่อนข้างใหญ่ ในขณะที่การเตรียมโดยใช้น้ำมันถัวเหลืองทำให้ได้อิมลชันที่มีความคงตัวที่ดี

และมีขนาดหยอดน้ำมันเล็กในระดับนาโนเมตร ดังแสดงในหัวข้อ 1.1 ดังนั้นในการศึกษาครั้งนี้จึงได้ทำการทดสอบการใช้น้ำมันถั่วเหลืองร่วมกับน้ำมันหอมระ夷โดยเลือกใช้น้ำมันเปปเปอร์มินต์เป็นตัวแทนในการศึกษาโดยทำการศึกษาผลของการใช้สัดส่วนระหว่างน้ำมันถั่วเหลืองและน้ำมันเปปเปอร์มินต์ที่ต่างกันต่อคุณสมบัติของอิมัลชันดังจะได้กล่าวในรายละเอียดต่อไป

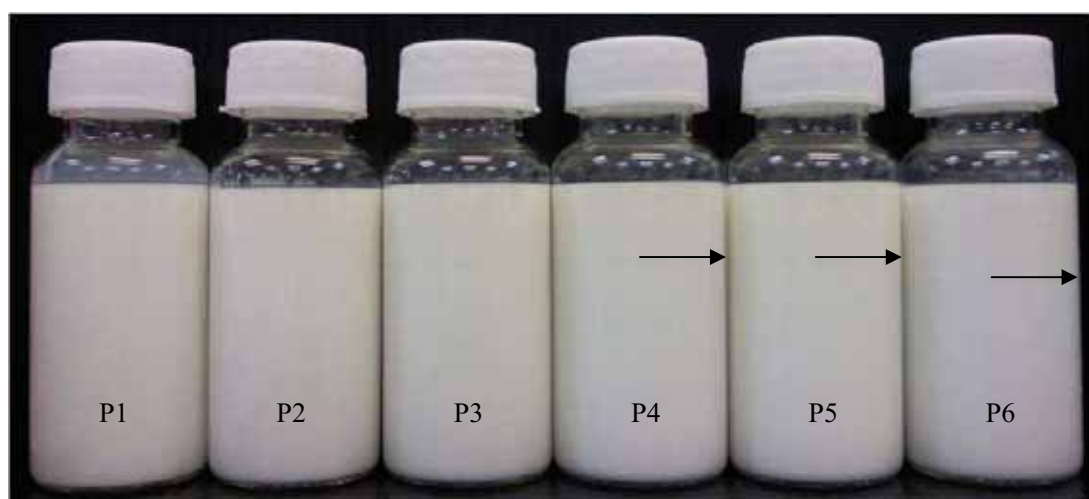
#### **1.2.2.1 ผลของสัดส่วนน้ำมันถั่วเหลืองต่อลักษณะทางกายภาพของอิมัลชัน**

ภาพที่ 53 แสดงผลเปรียบเทียบลักษณะทางกายภาพของอิมัลชัน ก่อนนำไปทดสอบความคงตัว โดยมีการเปรียบเทียบการใช้น้ำมันถั่วเหลืองร่วมกับน้ำมันเปปเปอร์มินต์ในสัดส่วนต่างๆ ได้แก่ 75:25 (สูตร P1), 50:50 (สูตร P2), 40:60 (สูตร P3), 30:70 (สูตร P4), 20:80 (สูตร P5) และ 10:90 (สูตร P6) ซึ่งพบว่าการใช้น้ำมันถั่วเหลืองร่วมกับน้ำมันเปปเปอร์มินต์ในสัดส่วน 30:70, 20:80 และ 10:90 เกิดการแยกของส่วนอิมัลชันที่มีสีขาวเข้มและขาวอ่อนอย่างชัดเจน ในขณะที่การใช้น้ำมันถั่วเหลืองร่วมกับน้ำมันหอมระ夷กลุ่มน้ำมันเปปเปอร์มินต์ในสัดส่วน 75:25, 50:50 และ 40:60 ได้อิมัลชันที่มีลักษณะเป็นเนื้อเดียวกันตลอดแสดงให้เห็นถึงแนวโน้มของความคงตัวที่ดี เมื่อมีสัดส่วนของน้ำมันถั่วเหลืองเพิ่มมากขึ้น

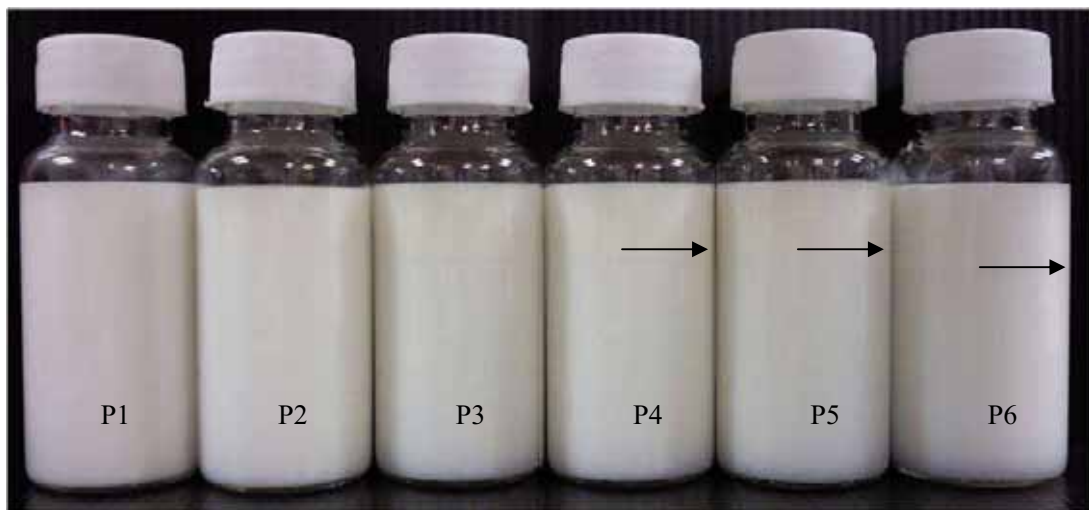
สำหรับผลความคงตัวทางกายภาพหลังการเก็บที่อุณหภูมิห้อง และหลังศึกษาในสภาพเร่งโดยการสับปะรดอุณหภูมิที่ 4 และ 45 องศาเซลเซียส ได้แสดงในภาพที่ 54-55 ตามลำดับ ผลการศึกษาพบว่าการใช้น้ำมันถั่วเหลืองร่วมกับน้ำมันเปปเปอร์มินต์ในสัดส่วนต่างๆ มีผลต่อความคงตัวของอิมัลชันกล่าวคือ เมื่อใช้น้ำมันถั่วเหลืองร่วมกับน้ำมันเปปเปอร์มินต์สัดส่วน 40:60, 30:70, 20:80 และ 10:90 ได้ควาร์บอิมัลชันที่มีความคงตัวไม่ดี สังเกตได้จากการแยกของชั้นครีม โดยมีแนวโน้มค่าเบปอร์เซ็นต์ครีมลดลงหลังการศึกษาความคงตัวที่อุณหภูมิห้อง และเมื่อเก็บไว้ที่สภาพเร่งคือที่อุณหภูมิ 4 องศาเซลเซียสสับปะรดกับอุณหภูมิ 45 องศาเซลเซียส จำนวน 6 รอบ ในขณะที่ควาร์บอิมัลชันที่ประกอบด้วยน้ำมันถั่วเหลืองร่วมกับน้ำมันเปปเปอร์มินต์ในสัดส่วน 75:25 และ 50:50 ไม่เกิดการแยกของครีม โดยมีเบปอร์เซ็นต์ครีมเท่ากับ 100 ทั้งหลังการเตรียมและเก็บไว้ที่ 25 องศาเซลเซียสเป็นเวลา 24 ชั่วโมงและ 1 สัปดาห์ และหลังจากเก็บไว้ที่สภาพเร่งคือที่อุณหภูมิ 4 องศาเซลเซียสสับปะรดกับอุณหภูมิ 45 องศาเซลเซียส จำนวน 6 รอบ ดังแสดงในภาพที่ 56 ซึ่งเป็นการยืนยันผลความคงตัวที่ดีกว่าเมื่อสัดส่วนน้ำมันถั่วเหลืองมากขึ้น

จากผลทางกายภาพดังกล่าวแสดงให้เห็นว่า น้ำมันถั่วเหลืองมีส่วนช่วยในการเพิ่มความคงตัวได้ โดยระดับต่ำสุดที่จะทำให้ความคงตัวทางกายภาพอยู่ในเกณฑ์ยอมรับได้คือมีปริมาณน้ำมันถั่วเหลืองอย่างน้อย 50% โดยน้ำหนัก การเพิ่มความคงตัวทางกายภาพน่าจะเกิดเนื่องจากน้ำมันถั่วเหลืองเป็นน้ำมันที่สามารถเข้ากันได้ (miscible) กับน้ำมันเปปเปอร์มินต์โดยสามารถละลายและอยู่ร่วมกันได้อย่างสมบูรณ์ในทุกสัดส่วน ประกอบกับมีความหนาแน่นที่

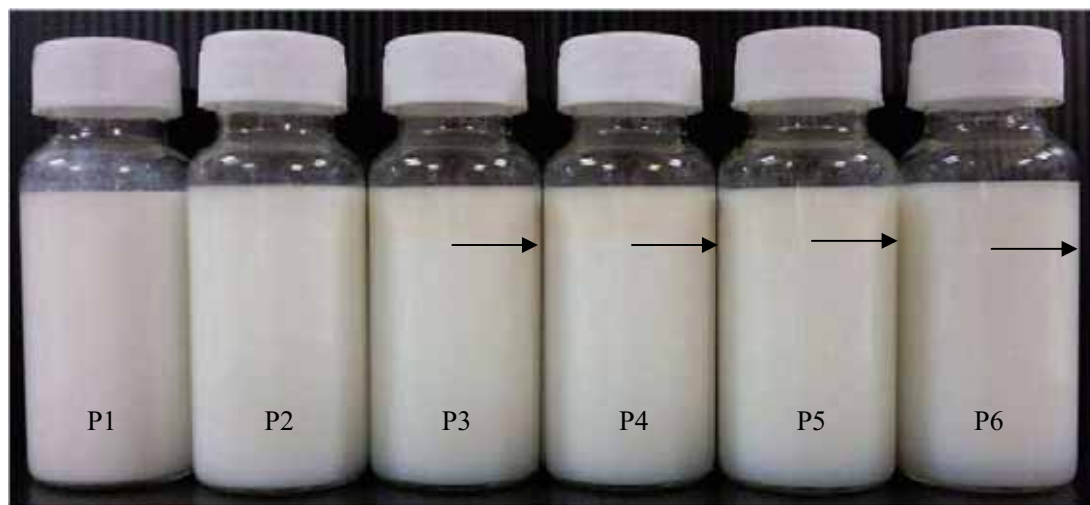
ค่อนข้างไม่แตกต่างกัน ในขณะระบบอิมัลชันที่ใช้น้ำมันถั่วเหลืองมีความคงตัวทางกายภาพที่สูง และเข้ากันได้ดีกับสารลดแรงตึงผิวที่ใช้ดังที่ได้อธิบายไว้ในตอน 1.1 จึงสามารถเก็บกักน้ำมัน เปปเปอร์มินต์ที่ใช้อยู่ภายในและเพิ่มความคงตัวของระบบอิมัลชันโดยรวมได้ ถึงแม้ว่าจะไม่ สามารถรักษาความคงตัวไว้ในระดับที่น้อยกว่า 50 % โดยน้ำหนักก็ตาม ซึ่งสอดคล้องกับการศึกษา ของ Hsu และ Nacu (2003) แต่อย่างไรก็ตามเนื่องจากน้ำมันหอมระ夷ก็นิความสำคัญในการเป็น ตัวกำหนดคุณสมบัติในการยับยั้งเชื้อแบคทีเรียต่างๆ (Nakatsu et al. 2000 : 571-631 ; Bakkali et al. 2008 : 446-475) ในขณะที่น้ำมันถั่วเหลืองไม่มีฤทธิ์ในการฆ่าเชื้อโดยตรง ดังนั้นการศึกษาจึงต้อง คำนึงถึงในส่วนความสามารถในการฆ่าเชื้อร่วมด้วยซึ่งจะได้กล่าวในตอนต่อไป



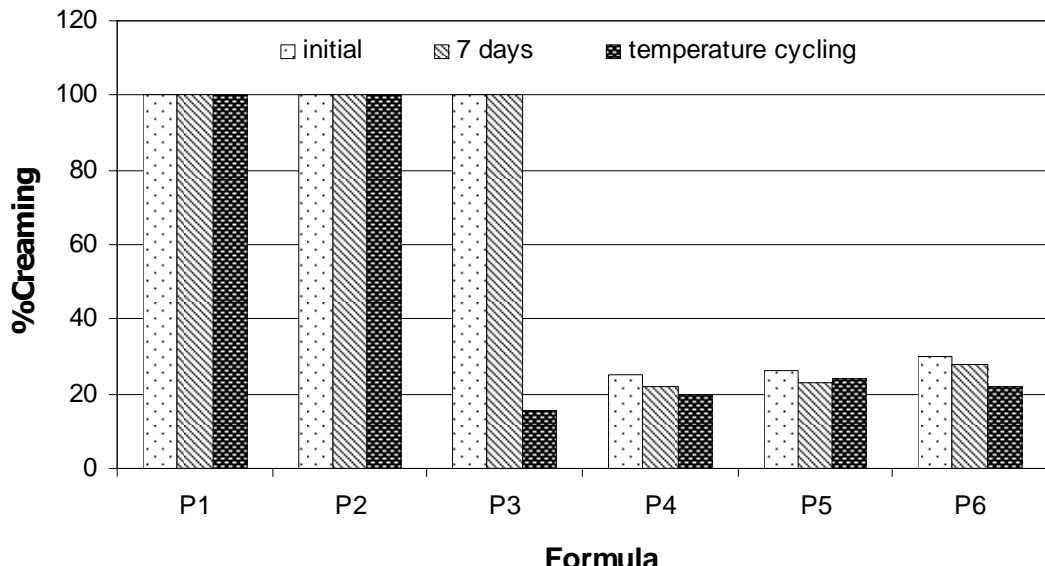
ภาพที่ 53 ลักษณะทางกายภาพของอิมัลชันที่เตรียมได้จากน้ำมันถั่วเหลืองร่วมกับน้ำมัน เปปเปอร์มินต์ในสัดส่วนต่างๆ (P1 คือ 75:25, P2 คือ 50:50, P3 คือ 40:60, P4 คือ 30:70, P5 คือ 20:80 และ P6 คือ 10:90) หลังการเตรียมและเก็บไว้ที่อุณหภูมิ 25 องศาเซลเซียส เป็นเวลา 24 ชั่วโมง



ภาพที่ 54 ลักษณะทางกายภาพของอิมัลชันที่เตรียมได้จากน้ำมันถั่วเหลืองร่วมกับน้ำมันเปปเปอร์มินต์ในสัดส่วนต่างๆ (P1 คือ 75:25, P2 คือ 50:50, P3 คือ 40:60, P4 คือ 30:70, P5 คือ 20:80 และ P6 คือ 10:90) หลังการเตรียมและเก็บไว้ที่อุณหภูมิ 25 องศาเซลเซียส เป็นเวลา 1 สัปดาห์



ภาพที่ 55 ลักษณะทางกายภาพของอิมัลชันที่เตรียมได้จากน้ำมันถั่วเหลืองร่วมกับน้ำมันเปปเปอร์มินต์ในสัดส่วนต่างๆ (P1 คือ 75:25, P2 คือ 50:50, P3 คือ 40:60, P4 คือ 30:70, P5 คือ 20:80 และ P6 คือ 10:90) หลังการเตรียมและเก็บไว้ที่สภาพร่าง

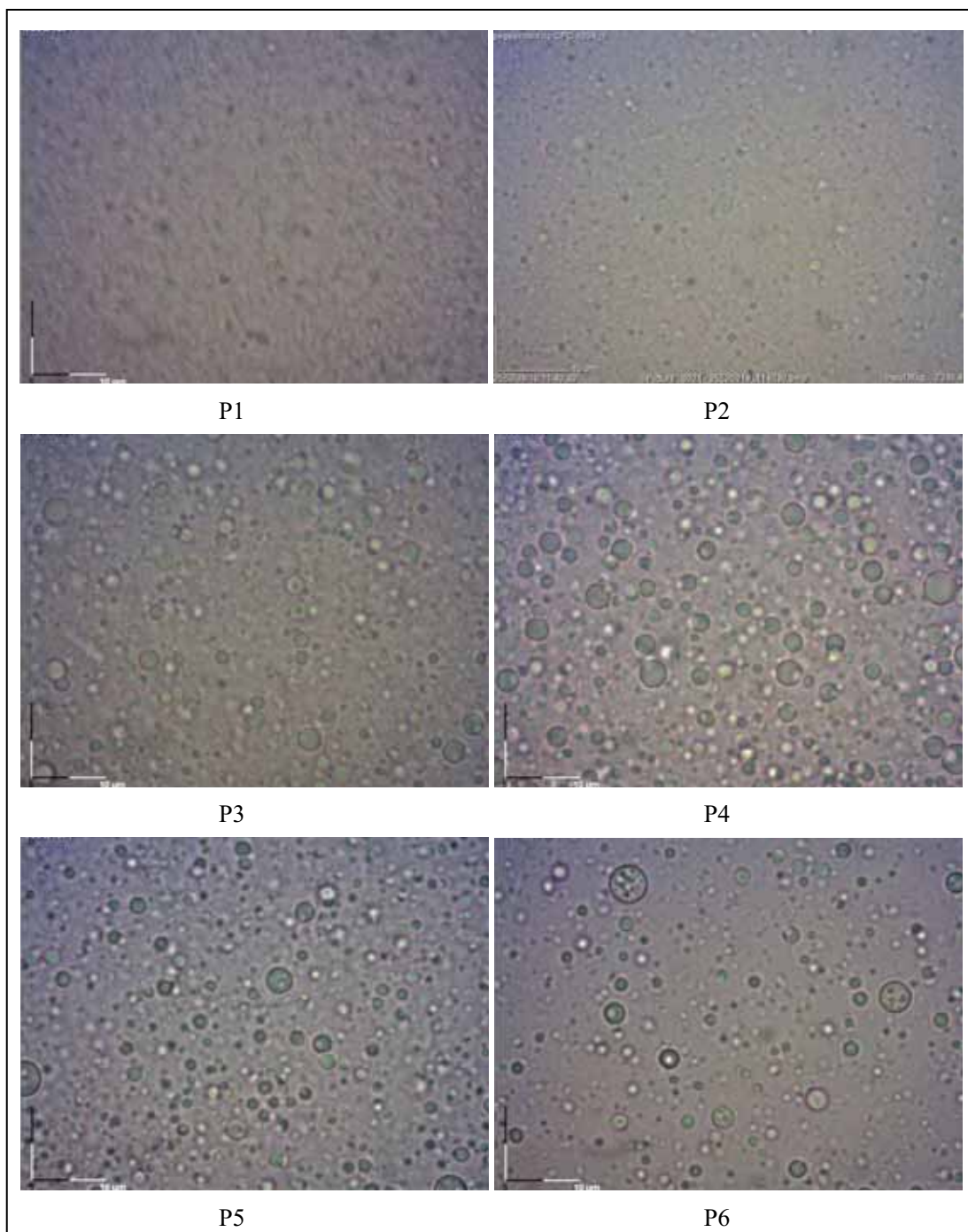


ภาพที่ 56 กราฟแสดงความสัมพันธ์ระหว่างอิมัลชันที่เตรียมได้จากน้ำมันถั่วเหลืองร่วมกับน้ำมันเปปเปอร์มินต์ในสัดส่วนต่างๆ (P1 คือ 75:25, P2 คือ 50:50, P3 คือ 40:60, P4 คือ 30:70, P5 คือ 20:80 และ P6 คือ 10:90) ต่อความคงตัวของอิมัลชัน

### 1.2.2.2 ผลของสัดส่วนน้ำมันถั่วเหลืองต่อขนาดของหยดน้ำมัน

จากที่กล่าวมาข้างต้นว่าขนาดของหยดน้ำมันมีผลโดยตรงต่อคุณสมบัติของอิมัลชัน (Kim and Kim 2003 : 2295-2301) และมีผลโดยตรงต่อการผ่าเชื้อร่วมด้วย (Pal et al. 2007 : 1712–1720) เนื่องจากการเตรียมอิมัลชันโดยใช้น้ำมันหอมระ夷 ในหัวข้อ 1.2.1.2 ให้ขนาดอนุภาคใหญ่ในช่วง ไมโครเมตร ในการวิจัยครั้งนี้ได้มีการศึกษาผลของการใช้น้ำมันถั่วเหลืองร่วมกับน้ำมันเปปเปอร์มินต์ในสัดส่วน 75:25, 50:50, 40:60, 30:70, 20:80 และ 10:90 ต่อขนาดของหยดน้ำมันดังแสดงในภาพที่ 57-58

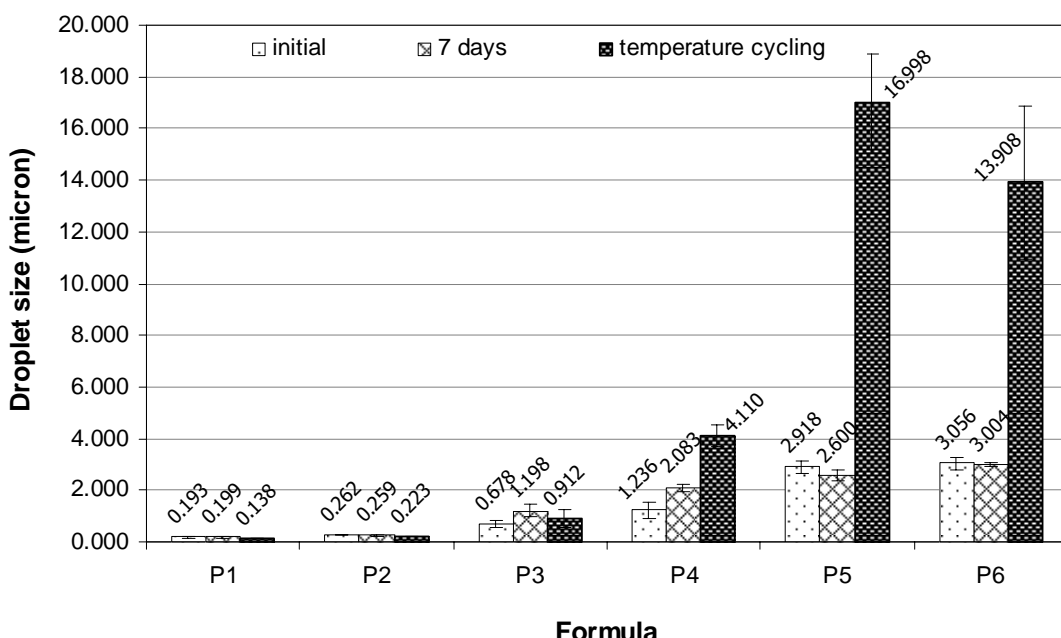
ผลการศึกษาพบว่าเมื่อใช้น้ำมันถั่วเหลืองร่วมกับน้ำมันเปปเปอร์มินต์ในสัดส่วน 40:60, 30:70, 20:80 และ 10:90 ล่งผลให้อิมัลชันที่เตรียมได้มีขนาดค่อนข้างใหญ่อยู่ในช่วง ไมครอนและสามารถเห็นอนุภาคของหยดน้ำมัน ได้อย่างชัดเจน โดยกล้องจุลทรรศน์ โดยมีขนาดเฉลี่ยที่วัดโดยเครื่องวัดขนาดอนุภาคเท่ากับ 0.678, 1.236, 2.918 และ 3.056 ไมโครเมตร ตามลำดับ ในขณะที่เมื่อใช้สัดส่วน 75:25, 50:50 สามารถเตรียมอิมัลชันที่มีขนาดอนุภาคเล็กมากในระดับนาโนเมตร เมื่อนำไปวัดขนาดโดยใช้เครื่องวัดขนาดอนุภาคจะมีขนาดอยู่ในช่วง 193-262 นาโนเมตร



ภาพที่ 57 ภาพถ่ายโดยกล้องจุลทรรศน์ของอิมัลชันที่เตรียมได้จากน้ำมันถั่วเหลืองร่วมกับน้ำมันเปปเปอร์มินต์ในสัดส่วนต่างๆ (P1 คือ 75:25, P2 คือ 50:50, P3 คือ 40:60, P4 คือ 30:70, P5 คือ 20:80 และ P6 คือ 10:90) ภายหลังการเตรียมและเก็บไว้ที่อุณหภูมิ 25 องศาเซลเซียสเป็นเวลา 24 ชั่วโมง (กำลังขยาย = 100x)

ซึ่งแสดงให้เห็นว่าการใช้น้ำมันถั่วเหลืองในสัดส่วนตั้งแต่ 50% โดยน้ำหนักขึ้นไปสามารถทำให้ระบบอิมัลชันมีขนาดเฉลี่ยของหยดน้ำมันในช่วงนาโนเมตรได้ซึ่งผลที่ได้ค่อนข้างสอดคล้องกับลักษณะทางกายภาพที่อธิบายไว้ในหัวข้อ 1.2.2.1

สำหรับผลความคงตัวภายหลังการเก็บที่อุณหภูมิห้องและสภาพเร่งได้แสดงเพิ่มเติมในภาพที่ 58 การใช้น้ำมันถั่วเหลืองในสัดส่วนตั้งแต่ 50% โดยน้ำหนักขึ้นไปขนาดของอนุภาคไม่มีการเปลี่ยนแปลงชัดเจนทั้งที่อุณหภูมิห้องและสภาพเร่ง โดยที่ระดับ 40% โดยน้ำหนักมีขนาดเพิ่มขึ้นเล็กน้อย แต่ในระดับที่น้อยกว่า 40% โดยน้ำหนักมีขนาดอนุภาคที่เพิ่มขึ้นอย่างชัดเจน ผลที่ได้ยืนยันการเพิ่มความคงตัวของระบบอิมัลชัน โดยใช้น้ำมันถั่วเหลือง

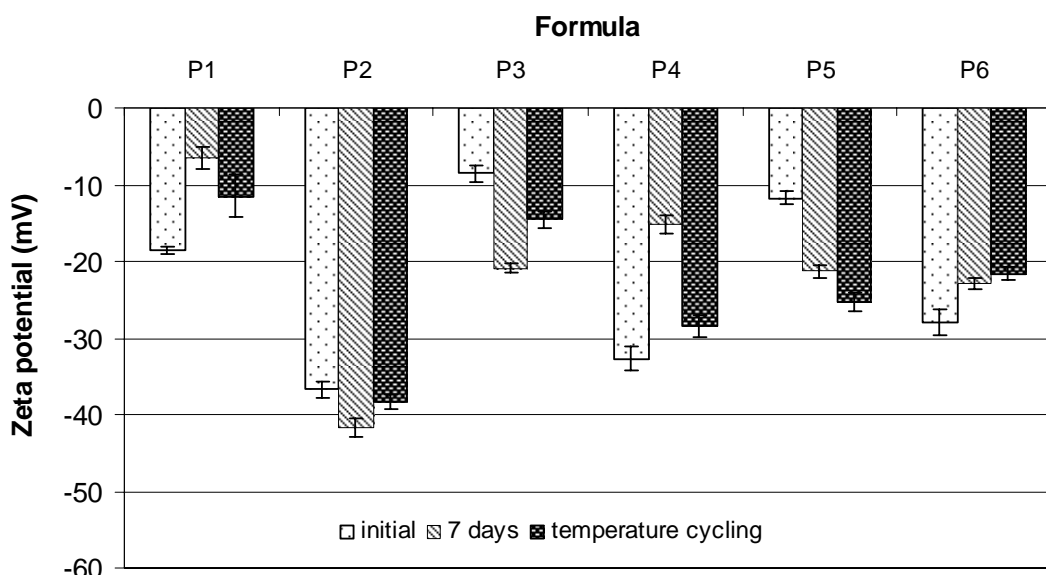


ภาพที่ 58 แสดงขนาดหยดน้ำมันของอิมัลชันที่เตรียมได้จากน้ำมันถั่วเหลืองร่วมกับน้ำมันเปปเปอร์มินต์ในสัดส่วนต่างๆ (P1 คือ 75:25, P2 คือ 50:50, P3 คือ 40:60, P4 คือ 30:70, P5 คือ 20:80 และ P6 คือ 10:90) ภายหลังการเตรียมและเก็บไว้ที่อุณหภูมิ 25 องศาเซลเซียสเป็นเวลา 24 ชั่วโมงและ 1 สัปดาห์และหลังการเก็บที่สภาพเร่ง

### 1.2.2.3 ผลของสัดส่วนน้ำมันถั่วเหลืองต่อค่าซีต้าโพเทนเชียล

ค่าซีต้าโพเทนเชียลเป็นตัวชี้วัดที่แสดงถึงประจุที่พิวของหยดน้ำมันดังที่ได้อธิบายไว้ในหัวข้อ 1.1.1.3 ในการศึกษาครั้งนี้มีการศึกษาปรับสัดส่วนของน้ำมันถั่วเหลืองต่อน้ำมันเปปเปอร์มินต์ซึ่งทำให้สัดส่วนของวัสดุน้ำมันในหยดน้ำมันเปลี่ยนแปลงไป เพื่อเป็น

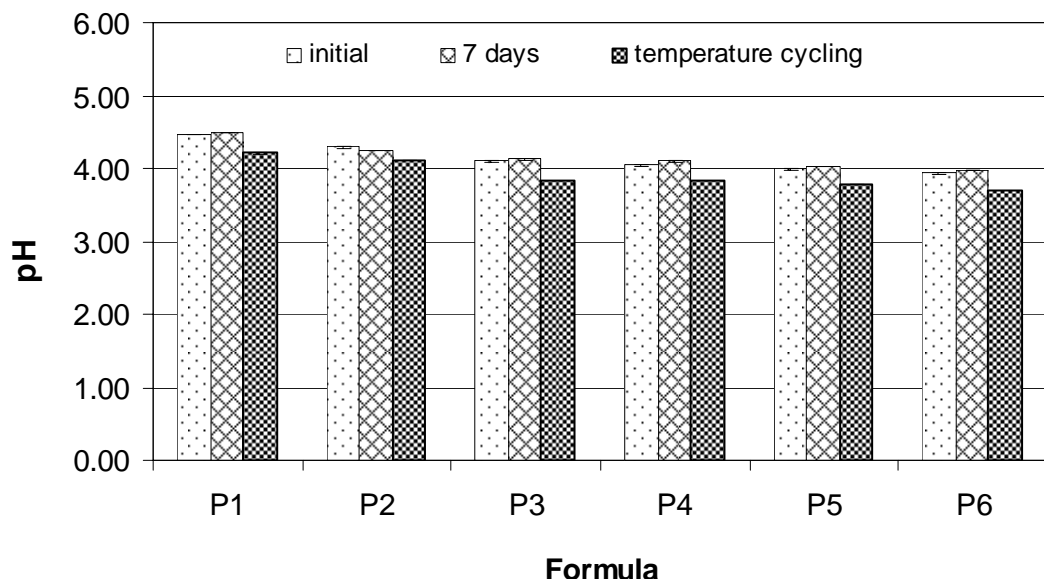
การศึกษาผลดังกล่าวต่อปรากฏการณ์พื้นผิวเพิ่มเติม จึงได้ทำการวัดค่าซีต้าโพเทนเซียลของตัวรับอิมัลชันที่ประกอบด้วยน้ำมันถั่วเหลืองและน้ำมันเปปเปอร์มินต์ในสัดส่วนต่างกัน ดังแสดงในภาพที่ 59 จากการศึกษาพบว่า การใช้น้ำมันถั่วเหลืองต่อน้ำมันเปปเปอร์มินต์ในสัดส่วนต่างกัน ให้ค่าซีต้าโพเทนเซียลเป็นลบทั้งหมด แต่ย่างไรก็ตามไม่ค่อยพบความสัมพันธ์ที่ชัดเจนระหว่างสัดส่วนของน้ำมันถั่วเหลืองที่เพิ่มขึ้นต่อค่าซีต้าโพเทนเซียล ซึ่งอาจเกิดเนื่องมาจากความแตกต่างของค่าซีต้าโพเทนเซียลของน้ำมันถั่วเหลืองและน้ำมันเปปเปอร์มินต์ไม่แตกต่างกันมาก จากผลการทดลองในหัวข้อ 1.1.1.3 จะพบว่าค่าซีต้าโพเทนเซียลของการใช้น้ำมันถั่วเหลืองชนิดเดียวกันมีค่าประมาณ -26 มิลลิโวลต์ ในขณะที่การใช้น้ำมันเปปเปอร์มินต์ชนิดเดียวกันมีค่าประมาณ -20 มิลลิโวลต์ (ผลการทดลองที่ 1.2.1.3) ซึ่งทำให้เมื่อนำมาทดสอบกันจึงอาจไม่มีผลชดเจนนักต่อค่าซีต้าโพเทนเซียล แต่ย่างไรก็ตามผลที่ได้ยังพบค่าที่ค่อนข้างเพิ่มขึ้นหรือลดลงไปเมื่อเทียบกับการใช้น้ำมันเดียว ซึ่งแสดงให้เห็นว่าจะมีหลายปัจจัยร่วมกันที่ส่งผลกระทบต่อค่าซีต้าโพเทนเซียล ยกตัวอย่างเช่นขนาดของหยดน้ำมัน การห่อหุ้มของสารลดแรงตึงผิวที่อาจเปลี่ยนแปลงไปเมื่อเปลี่ยนสัดส่วนของน้ำมัน เป็นต้น



ภาพที่ 59 แสดงค่าซีต้าโพเทนเซียลของอิมัลชันที่เตรียมได้จากน้ำมันถั่วเหลืองร่วมกับน้ำมันเปปเปอร์มินต์ในสัดส่วนต่างๆ (P1 คือ 75:25, P2 คือ 50:50, P3 คือ 40:60, P4 คือ 30:70, P5 คือ 20:80 และ P6 คือ 10:90) หลังการเตรียมและเก็บไว้ที่อุณหภูมิ 25 องศาเซลเซียส เป็นเวลา 24 ชั่วโมงและ 1 สัปดาห์ และหลังการเก็บที่สภาวะเร่ง

#### 1.2.2.4 ผลของสัดส่วนน้ำมันถั่วเหลืองต่อค่าความเป็นกรด-ด่างของอิมลชัน

ผลการทดสอบค่าความเป็นกรด-ด่างของอิมลชันที่เตรียมได้จากน้ำมันถั่วเหลืองร่วมกับน้ำมันเปลペอร์มินต์ในสัดส่วนต่างกัน ดังแสดงไว้ในภาพที่ 60 จากการศึกษาพบว่า การเพิ่มสัดส่วนของน้ำมันเปลペอร์มินต์ให้ค่าความเป็นกรด-ด่างที่ลดลงเล็กน้อย จาก 4.47 เป็น 3.93 และเมื่อทำการศึกษาต่อโดยวัดค่าความเป็นกรด-ด่างภายหลังการเก็บที่อุณหภูมิห้องและสภาพเร่ง พบร่วมกับน้ำมันเปลペอร์มินต์ทุกสัดส่วนมีค่าคงที่ไม่เกิดการเปลี่ยนแปลง ดังนั้นเมื่อนำผลของความคงตัว ขนาดของหยดน้ำมันของอิมลชัน และค่าซีต้าโพเทนเซียลมาริยา\_r ร่วมด้วย พบร่วมกับสัดส่วนของน้ำมันถั่วเหลืองที่สามารถเตรียมอิมลชันที่มีคุณสมบัติความคงตัวที่ดีจะต้องใช้น้ำมันถั่วเหลืองอย่างน้อย 50 % โดยนำหนัก ดังนั้นจะทำการใช้สัดส่วนระหว่างน้ำมันถั่วเหลืองต่อน้ำมันหอมระเหยเท่ากัน 50:50 ในการศึกษาต่อไป โดยจะทดลองใช้น้ำมันหอมระเหยชนิดอื่นแทนน้ำมันเปลペอร์มินต์รวมไปถึงเพื่อใช้ในการศึกษาผลการยับยั้งเชื้อก่อโรคทางทันตกรรมต่อไป



ภาพที่ 60 แสดงค่าความเป็นกรด-ด่างของอิมลชันที่เตรียมได้จากน้ำมันถั่วเหลืองร่วมกับน้ำมันเปลペอร์มินต์ในสัดส่วนต่างๆ (P1 คือ 75:25, P2 คือ 50:50, P3 คือ 40:60, P4 คือ 30:70, P5 คือ 20:80 และ P6 คือ 10:90) ภายหลังการเตรียมและเก็บไว้ที่อุณหภูมิ 25 องศาเซลเซียสเป็นเวลา 24 ชั่วโมงและ 1 สัปดาห์และหลังการเก็บที่สภาพเร่ง

### 1.2.3 ผลของน้ำมันถั่วเหลืองต่อคุณสมบัติของอิมัลชันของระบบที่ประกอบด้วยน้ำมันหอมระ夷ชนิดต่างกัน

จากการศึกษาที่ผ่านมาพบว่า อัตราส่วนที่เหมาะสมในการเตรียมอิมัลชันระหว่างน้ำมันถั่วเหลืองและน้ำมันหอมระ夷โดยใช้น้ำมันเปปเปอร์มินต์เป็นตัวแทนในการทดสอบ คือ 50:50 จึงได้ทำการศึกษาเพิ่มเติม โดยใช้อัตราส่วนนี้ในการเตรียมอิมัลชันโดยทดสอบกับน้ำมันหอมระ夷ชนิดต่างกันเพื่อประเมินผลเปรียบเทียบต่อไป

#### 1.2.3.1 ผลของน้ำมันถั่วเหลืองต่อลักษณะทางกายภาพของอิมัลชันของระบบที่ประกอบด้วยน้ำมันหอมระ夷ชนิดต่างกัน

ภาพที่ 61 แสดงผลเปรียบเทียบลักษณะทางกายภาพของอิมัลชันก่อนนำไปทดสอบความคงตัวโดยมีการเปรียบเทียบการใช้น้ำมันถั่วเหลืองร่วมกับน้ำมันหอมระ夷ในกลุ่มต่างกัน ได้แก่ น้ำมันกานพลู (สูตร F1), น้ำมันสเปียร์มินต์ (สูตร F2), น้ำมันเปปเปอร์มินต์ (สูตร F3), น้ำมันอโปทามินต์ (สูตร F4), น้ำมันยูคาลิปตัส (สูตร F5) และ น้ำมันทีทรี (สูตร S6) ซึ่งพบว่าการใช้น้ำมันหอมระ夷ในกลุ่มน้ำมันกานพลูเกิดการแยกของส่วนอิมัลชันที่มีสีขาวเข้มและขาวอ่อนอย่างชัดเจน (เกิด creaming) ในขณะที่การใช้น้ำมันถั่วเหลืองร่วมกับน้ำมันหอมระ夷ในกลุ่มที่เหลือคือ น้ำมันสเปียร์มินต์ น้ำมันเปปเปอร์มินต์ น้ำมันอโปทามินต์ น้ำมันยูคาลิปตัส และน้ำมันทีทรี ได้อิมัลชันที่มีลักษณะเป็นเนื้อเดียวกันตลอดแสดงให้เห็นถึงแนวโน้มของความคงตัวที่ดีกว่าของน้ำมันหอมระ夷ในกลุ่มนี้ ซึ่งผลที่ได้จะสอดคล้องกับผลการทดสอบโดยใช้น้ำมันหอมระ夷เดี่ยวที่ได้แสดงไว้ในหัวข้อ 1.2.1 ที่แสดงให้เห็นถึงความคงตัวที่ไม่ดีของน้ำมันกานพลูเมื่อใช้ระบบอิมัลชันดังกล่าว นอกจากนี้แล้วเมื่อพิจารณาเปรียบเทียบการใช้น้ำมันหอมระ夷ร่วมกับน้ำมันถั่วเหลืองจะพบแนวโน้มความคงตัวที่ดีกว่าการใช้น้ำมันหอมระ夷อย่างเดียวมากกว่า โดยทุกครั้งจะมีลักษณะทางกายภาพที่ดีขึ้นถึงแม้ว่าสูตรตำรับที่ประกอบด้วยน้ำมันกานพลูจะมีแนวโน้มการแยกชั้นกึ่งตาม



ภาพที่ 61 ลักษณะทางกายภาพของอิมัลชันที่เตรียมได้จากน้ำมันถั่วเหลืองร่วมกับน้ำมันหอมระเหยชนิดต่างๆ (F1 : น้ำมันกานพลู, F2 : น้ำมันสเปียร์มินต์, F3 : น้ำมัน佩ปเปอร์มินต์, F4 : น้ำมันอโปทามินต์, F5 : น้ำมันยูคาลิปตัส และ F6 : น้ำมันทีทري) หลังการเตรียมและเก็บไว้ที่อุณหภูมิ 25 องศาเซลเซียสเป็นเวลา 24 ชั่วโมง

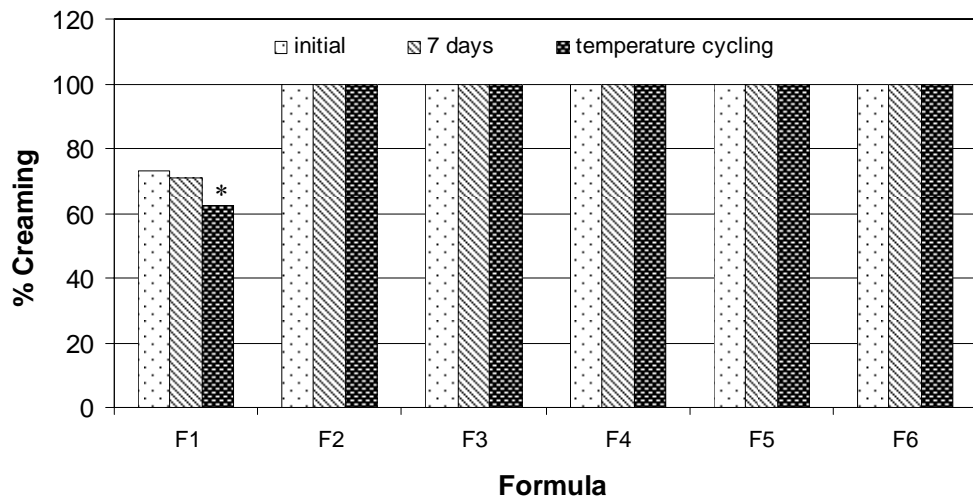
เพื่อเป็นการศึกษาความคงตัวเปรียบเทียบเพิ่มเติม จึงได้ทำการเก็บตัวอย่างอิมัลชันไว้ทั้งที่อุณหภูมิห้องและการเก็บในสภาวะเร่ง โดยการสลับอุณหภูมิที่ 4 และ 45 องศาเซลเซียส ดังแสดงในภาพที่ 62-63 ผลการศึกษาพบว่าการใช้น้ำมันถั่วเหลืองร่วมกับน้ำมันหอมระเหยมีผลต่อความคงตัวของอิมัลชันกล่าวคือ เมื่อใช้น้ำมันถั่วเหลืองร่วมกับน้ำมันหอมระเหยในกลุ่มน้ำมันกานพลูได้ตารับอิมัลชันที่มีความคงตัวไม่ดี สังเกตได้จากการแยกของชั้นครีม โดยมีแนวโน้มค่า佩อร์เซ็นต์ครีมลดลงหลังการศึกษาความคงตัวที่อุณหภูมิห้อง และเกิดการแยกชั้นระหว่างวัตถุภาคน้ำและน้ำมัน (cracking) เมื่อเก็บไว้ที่สภาวะเร่งคือที่อุณหภูมิ 4 องศาเซลเซียสสลับกับอุณหภูมิ 45 องศาเซลเซียส จำนวน 6 รอบ ในขณะที่ตารับอิมัลชันที่ประกอบด้วยน้ำมันถั่วเหลืองร่วมกับน้ำมันหอมระเหยในกลุ่มน้ำมันสเปียร์มินต์ น้ำมัน佩ปเปอร์มินต์ น้ำมันอโปทามินต์ น้ำมันยูคาลิปตัส และน้ำมันทีทريไม่เกิดการแยกของครีมโดยมี佩อร์เซ็นต์ครีมเท่ากับ 100 ทั้งหลังการเตรียมและเก็บไว้ที่ 25 องศาเซลเซียสเป็นเวลา 24 ชั่วโมงและ 1 สัปดาห์ และหลังจากเก็บไว้ที่สภาวะเร่งคือที่อุณหภูมิ 4 องศาเซลเซียสสลับกับอุณหภูมิ 45 องศาเซลเซียสจำนวน 6 รอบ ดังแสดงในภาพที่ 64 ซึ่งเป็นการยืนยันผลความคงตัวที่ดีกว่าของการใช้น้ำมันถั่วเหลืองร่วมด้วย ดังนั้นในการศึกษาต่อไปจะทำการนำน้ำมันถั่วเหลืองมาใช้ในการเตรียมอิมัลชันร่วมกับน้ำมันหอมระเหยเพื่อใช้ในการศึกษาปัจจัยอื่นต่อไป



ภาพที่ 62 ลักษณะทางกายภาพของอิมัลชันที่เตรียมได้จากน้ำมันถั่วเหลืองร่วมกับน้ำมันหอมระเหยชนิดต่างๆ (F1 : น้ำมันกานพลู, F2 : น้ำมันสเปียร์มินต์, F3 : น้ำมัน佩ปเปอร์มินต์, F4 : น้ำมันօอปทาโนินต์, F5 : น้ำมันยูคалиปตัส และ F6 : น้ำมันทีทราย) หลังการเตรียมและเก็บไว้ที่ 25 องศาเซลเซียสเป็นเวลา 1 สัปดาห์



ภาพที่ 63 ลักษณะทางกายภาพของอิมัลชันที่เตรียมได้จากน้ำมันถั่วเหลืองร่วมกับน้ำมันหอมระเหยชนิดต่างๆ (F1 : น้ำมันกานพลู, F2 : น้ำมันสเปียร์มินต์, F3 : น้ำมัน佩ปเปอร์มินต์, F4 : น้ำมันօอปทาโนินต์, F5 : น้ำมันยูคалиปตัส และ F6 : น้ำมันทีทราย) หลังการเตรียมและเก็บไว้ที่สภาพแวดล้อม

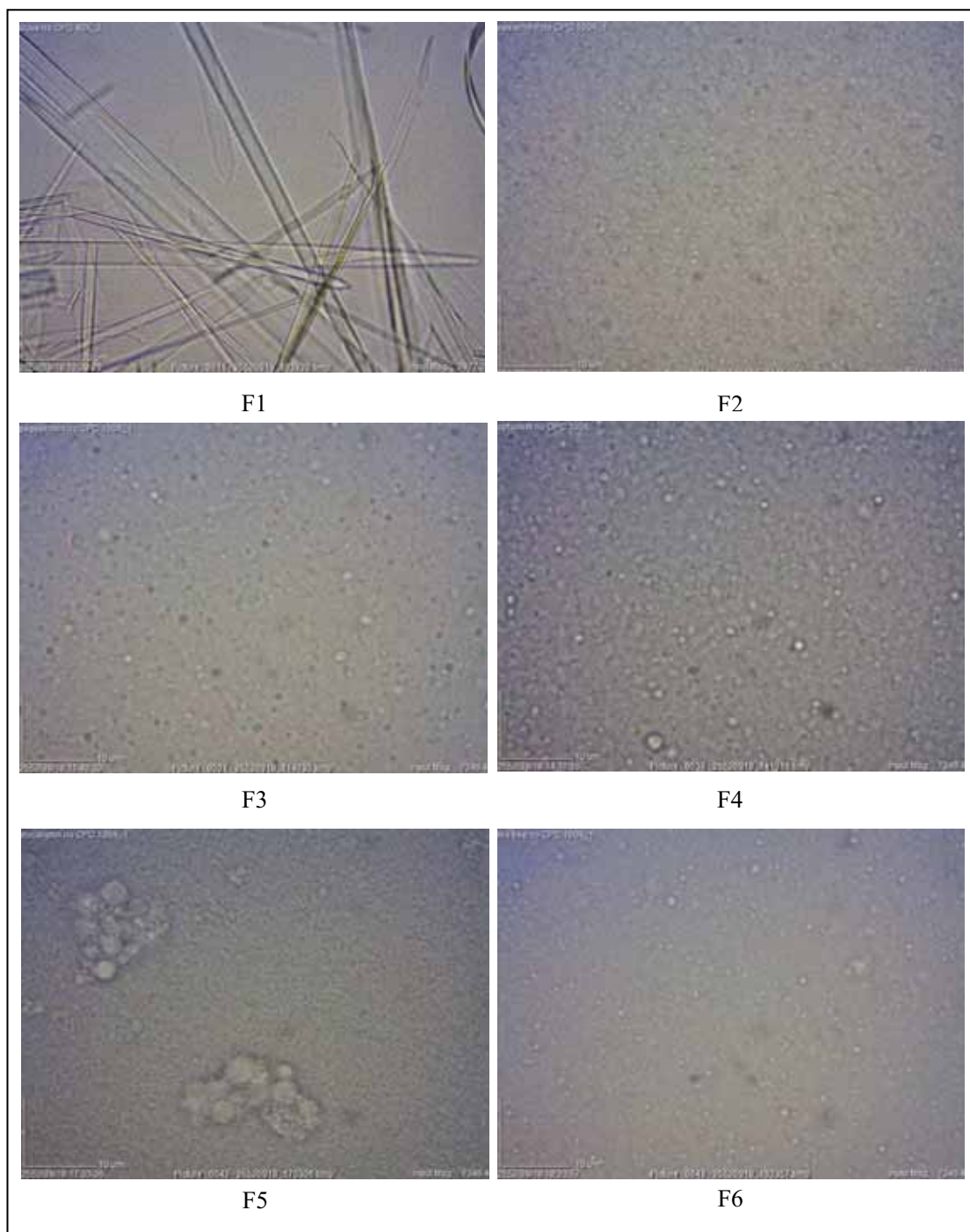


ภาพที่ 64 กราฟแสดงความสัมพันธ์ระหว่างอิมลชันที่เตรียมได้จากน้ำมันถั่วเหลืองร่วมกับน้ำมันหอมระ夷ชนิดต่างๆ (F1 : น้ำมันกานพลู, F2 : น้ำมันสเปียร์มินต์, F3 : น้ำมันเปลปเปอร์มินต์, F4 : น้ำมันอโปทามินต์, F5 : น้ำมันยูคาลิปตัส และ F6 : น้ำมันทีทรี) ต่อความคงตัวของอิมลชัน

หมายเหตุ \* เกิดการแยกชั้นแบบ cracking

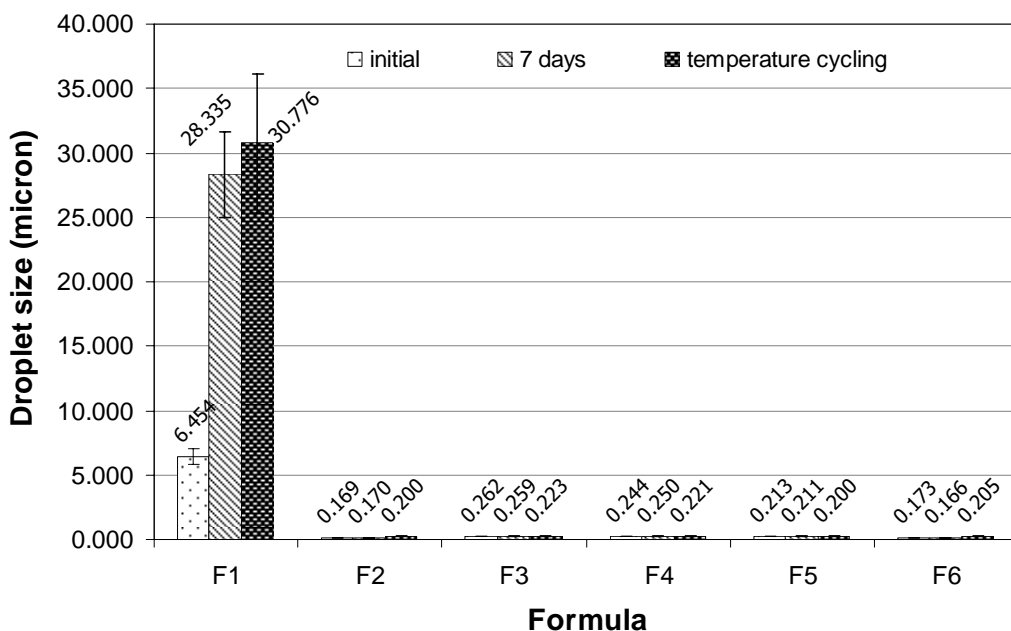
### 1.2.3.2 ผลของน้ำมันถั่วเหลืองต่อขนาดของหยดน้ำมันของอิมลชันของระบบที่ประกอบด้วยน้ำมันหอมระ夷ชนิดต่างกัน

จากที่กล่าวมาข้างต้นว่าขนาดของหยดน้ำมันมีผลโดยตรงต่อคุณสมบัติของอิมลชัน (Kim and Kim 2003 : 2295 – 2301) และมีผลโดยตรงต่อการมีเชื้อร่วมด้วย (Pal et al. 2007 : 1712–1720) เนื่องจากการเตรียมอิมลชันโดยใช้น้ำมันหอมระ夷 ในหัวข้อ 1.2.1 ให้ขนาดอนุภาคใหญ่ในช่วง ไมโครเมตร ในการวิจัยครั้งนี้ได้มีการศึกษาผลของการใช้น้ำมันถั่วเหลืองร่วมกับน้ำมันหอมระ夷ต่อขนาดของหยดน้ำมันดังแสดงในภาพที่ 65-66



ภาพที่ 65 ภาพถ่ายโดยกล้องจุลทรรศน์ของอิมัลชันที่เตรียมได้จากน้ำมันถั่วเหลืองร่วมกับน้ำมันหอยระเหยชนิดต่างๆ (F1 : น้ำมันกานพลู, F2 : น้ำมันสเปียร์มินต์, F3 : น้ำมันเปลปอร์มินต์, F4 : น้ำมันอองพาโนนต์, F5 : น้ำมันยูคาลิปตัส และ F6 : น้ำมันทีทรี) หลังการเตรียมและเก็บไว้ที่อุณหภูมิ 25 องศาเซลเซียสเป็นเวลา 24 ชั่วโมง (กำลังขยาย = 100x)

ผลการศึกษาพบว่าเมื่อใช้น้ำมันถั่วเหลืองร่วมกับน้ำมันหอมระเหยในกลุ่มน้ำมันกานพลูส่งผลให้อิมลชันที่เตรียมได้มีขนาดค่อนข้างใหญ่อยู่ในช่วงไม่กรองและเห็นผลึกของสารที่เป็นองค์ประกอบของน้ำมันกานพลูได้อย่างชัดเจน โดยมีขนาดเฉลี่ยที่วัดโดยเครื่องวัดขนาดอนุภาคเท่ากับ 6.454 ไมโครเมตร ในขณะที่เมื่อใช้น้ำมันถั่วเหลืองร่วมกับน้ำมันหอมระเหยในกลุ่มน้ำมันสเปียร์มินต์ น้ำมันเปลปเปอร์มินต์ น้ำมันออยปทานินต์ น้ำมันยูคาลิปตัส และน้ำมันทีทรี สามารถเตรียมอิมลชันที่มีขนาดอนุภาคเล็กมากในระดับนาโนเมตร (ภาพถ่ายด้วยกล้องจุลทรรศน์เห็นอนุภาคของหยดน้ำมันไม่ชัดเจน เนื่องจากมีขนาดอนุภาคที่เล็กเกินขีดจำกัดของกล้องที่ใช้ประกอบกับมีการเคลื่อนไหวของอนุภาคอย่างรวดเร็วจากการเคลื่อนไหวแบบบรรทางเนียนทำให้ยากต่อการถ่ายภาพ) เมื่อนำไปวัดขนาดโดยใช้เครื่องวัดขนาดอนุภาคจะมีขนาดอยู่ในช่วง 169-262 นาโนเมตร ซึ่งแสดงให้เห็นว่าการใช้น้ำมันถั่วเหลืองร่วมกับน้ำมันหอมระเหยในการเตรียมอิมลชันนั้นมีความเหมาะสมที่สุดในการเตรียม nanoimulsion สำหรับระบบที่ประกอบด้วยสูตรตำรับดังกล่าว

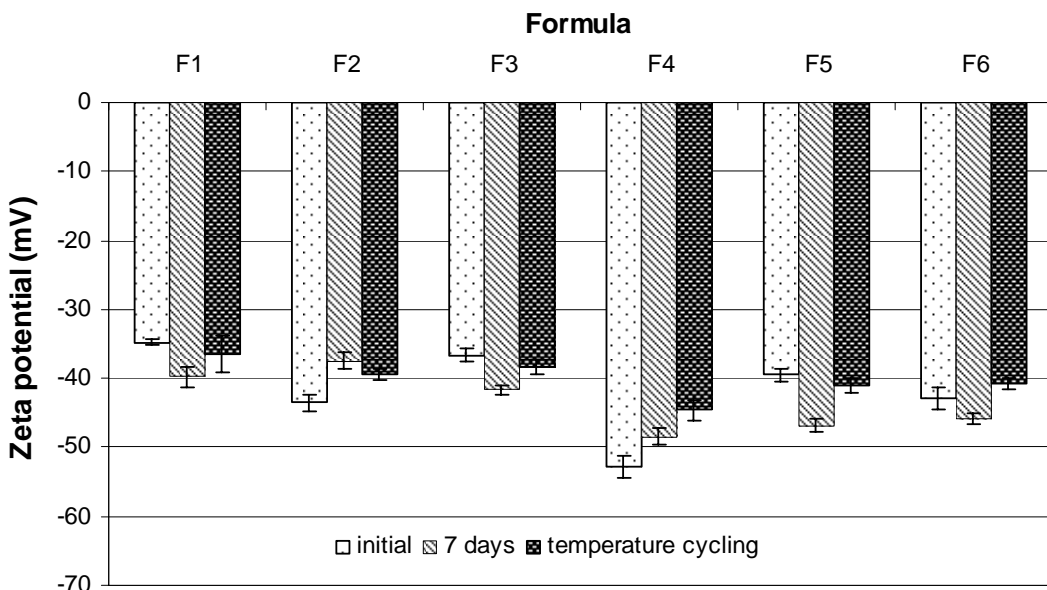


ภาพที่ 66 แสดงขนาดหยดน้ำมันของอิมลชันที่เตรียมได้จากน้ำมันถั่วเหลืองร่วมกับน้ำมันหอมระเหยชนิดต่างๆ (F1 : น้ำมันกานพลู, F2 : น้ำมันสเปียร์มินต์, F3 : น้ำมันเปลปเปอร์มินต์, F4 : น้ำมันออยปทานินต์, F5 : น้ำมันยูคาลิปตัส และ F6 : น้ำมันทีทรี) หลังการเตรียมและเก็บไว้ที่อุณหภูมิ 25 องศาเซลเซียสเป็นเวลา 24 ชั่วโมงและ 1 สัปดาห์ และหลังการเก็บที่สภาวะเร่ง

ในส่วนผลการทดสอบความคงตัวภายหลังการเก็บที่อุณหภูมิห้อง และสภาพเร่งต่อขนาดของหยดน้ำมันได้แสดงไว้ในภาพที่ 66 จากการศึกษาพบว่าขนาดอนุภาคของหยดน้ำมันของอิมัลชันมีแนวโน้มไม่แตกต่างอย่างชัดเจนเมื่อเก็บ ยกเว้นสูตรที่ใช้น้ำมันกานพลู มีแนวโน้มที่เพิ่มมากขึ้นอย่างชัดเจนจาก 6.454 ไมโครเมตร เป็น 28.335 ไมโครเมตรหลังเก็บที่อุณหภูมิห้อง และมีขนาดเพิ่มขึ้นเป็น 30.776 ไมโครเมตรหลังเก็บในสภาพเร่ง ซึ่งสอดคล้องกับผลลักษณะทางกายภาพในภาพที่ 64 ซึ่งมีเปอร์เซ็นต์ครีมลดลงอย่างชัดเจนหลังการเก็บซึ่งน่าจะเกิดจาก การตกผลึกมากขึ้นรวมไปถึงขนาดของหยดน้ำมันที่ใหญ่ขึ้นของน้ำมันกานพลู ส่งผลให้เกิดการแยกของชั้นครีมเพิ่มมากขึ้นจนเกิดการแยกชั้นวัฏภาชนะ และน้ำมันอย่างชัดเจน

#### 1.2.3.3 ผลของน้ำมันถัวเหลืองต่อค่าซีต้าโพเทนเซียลของอิมัลชันของระบบที่ประกอบด้วยน้ำมันหอมระเหยชนิดต่างกัน

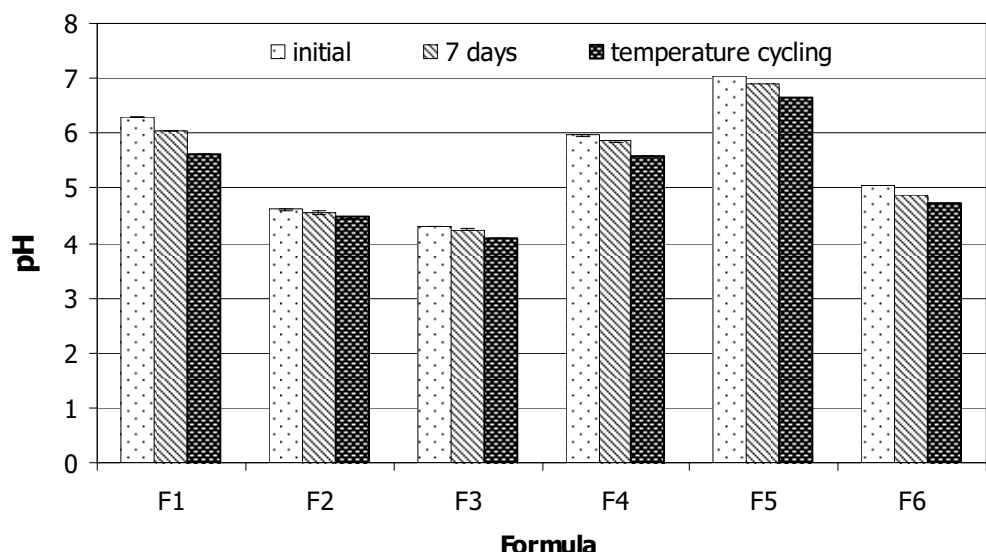
ผลการทดสอบค่าซีต้าโพเทนเซียลของอิมัลชันที่เตรียมได้โดยใช้น้ำมันถัวเหลืองร่วมกับน้ำมันหอมระเหยในกลุ่มน้ำมันกานพลู น้ำมันสเปียร์มินต์ น้ำมันเปลปีโปรด มินต์ น้ำมันօปทามินต์ น้ำมันยูคาลิปตัส และน้ำมันทีทราย แสดงไว้ในภาพที่ 67



ภาพที่ 67 แสดงค่าซีต้าโพเทนเซียลของหยดน้ำมันของอิมัลชันที่เตรียมได้จากน้ำมันถัวเหลืองร่วมกับน้ำมันหอมระเหยชนิดต่างๆ (F1 : น้ำมันกานพลู, F2 : น้ำมันสเปียร์มินต์, F3 : น้ำมันเปลปีโปรด มินต์, F4 : น้ำมันօปทามินต์, F5 : น้ำมันยูคาลิปตัส และ F6 : น้ำมันทีทราย) ภายหลังการเตรียมและเก็บไว้ที่อุณหภูมิ 25 องศาเซลเซียสเป็นเวลา 24 ชั่วโมงและ 1 สัปดาห์และหลังการเก็บที่สภาพเร่ง

จากการศึกษาพบว่า การใช้น้ำมันถั่วเหลืองร่วมกับน้ำมันหอมระ夷ทุกกลุ่มให้ค่าซีต้าโพเทนเชียลเป็นลบทั้งหมด โดยค่าที่ได้มีความใกล้เคียงกันและไม่ค่อยแตกต่างกับการใช้น้ำมันถั่วเหลืองอย่างเดียว ในขณะการใช้น้ำมันหอมระ夷เดียวมีความแตกต่างของค่าซีต้าโพเทนเชียลค่อนข้างมาก (ดังแสดงในภาพที่ 51) และคงให้เห็นว่าการใช้น้ำมันหอมระ夷ร่วมกับน้ำมันถั่วเหลืองนั้นน่าจะทำให้ผลของประจุที่พิวเป็นผลที่เกิดจากน้ำมันถั่วเหลืองเป็นหลัก นอกจากนี้แล้วในกรณีนี้ค่าซีต้าโพเทนเชียลจะไม่ใช้ตัววัดความคงตัวของหยดน้ำมันได้โดยตรงสังเกตจากค่าซีต้าโพเทนเชียลของอิมัลชันที่ประกอบด้วยน้ำมันกานพลูมีค่าที่สูงและไม่ค่อยเปลี่ยนแปลงทั้งๆที่ความคงตัวของระบบเสียแล้วก็ตาม ผลซีต้าโพเทนเชียลที่วัดได้นี้อาจเป็นการวัดที่หยดของน้ำมันถั่วเหลืองที่ยังกระจายอยู่ในรูปอิมัลชันในขณะที่น้ำมันกานพลูได้แยกตัวออกมาเป็นน้ำมันและผลึกขนาดใหญ่แล้ว

#### 1.2.3.4 ผลของน้ำมันถั่วเหลืองต่อค่าความเป็นกรด-ด่างของอิมัลชันของระบบที่ประกอบด้วยน้ำมันหอมระ夷ชนิดต่างกัน



ภาพที่ 68 แสดงค่าความเป็นกรด-ด่างของอิมัลชันที่เตรียมได้จากน้ำมันถั่วเหลืองร่วมกับน้ำมันหอมระ夷ชนิดต่างๆ (F1 : น้ำมันกานพลู, F2 : น้ำมันสเปียร์มินต์, F3 : น้ำมันแปปเปอร์มินต์, F4 : น้ำมันอโปทามินต์, F5 : น้ำมันยูคาลิปตัส และ F6 : น้ำมันทีทาร์) ภายหลังการเตรียม และเก็บไว้ที่อุณหภูมิ 25องศาเซลเซียสเป็นเวลา 24 ชั่วโมง และ 1 สัปดาห์และหลังการเก็บที่สภาพแวดล้อม

ผลการทดสอบของอิมัลชันที่เตรียมได้โดยใช้น้ำมันถั่วเหลืองร่วมกับน้ำมันหอมระเหยในกลุ่มน้ำมันกานพลู น้ำมันสเปียร์มินต์ น้ำมันเปลปเปอร์มินต์ น้ำมันอปปามินต์ น้ำมันยูคาลิปตัส และน้ำมันทีทรีแสดงไว้ในภาพที่ 68 จากการศึกษาพบว่า การใช้น้ำมันถั่วเหลืองร่วมกับน้ำมันหอมระเหยกลุ่มน้ำมันกานพลู น้ำมันสเปียร์มินต์ น้ำมันเปลปเปอร์มินต์ น้ำมัน ออปปามินต์ น้ำมันยูคาลิปตัส และน้ำมันทีทรีให้ค่าความเป็นกรด-ด่างเป็น 6.30, 4.61, 4.29, 4.75, 5.97, 7.04 และ 5.05 ตามลำดับ และเมื่อทำการศึกษาต่อโดยวัดค่าความเป็นกรด-ด่างภายหลังการเก็บที่อุณหภูมิห้องและสภาพแวดล้อม พบร่วมกับน้ำมันหอมระเหยทุกกลุ่มนี้ค่าคงที่ไม่เกิดการเปลี่ยนแปลง

## 2. การศึกษาความสามารถของอิมัลชันในการยับยั้งเชื้ออจุลินทรีย์ก่อโรคทางทันตกรรม (*S. mutans*)

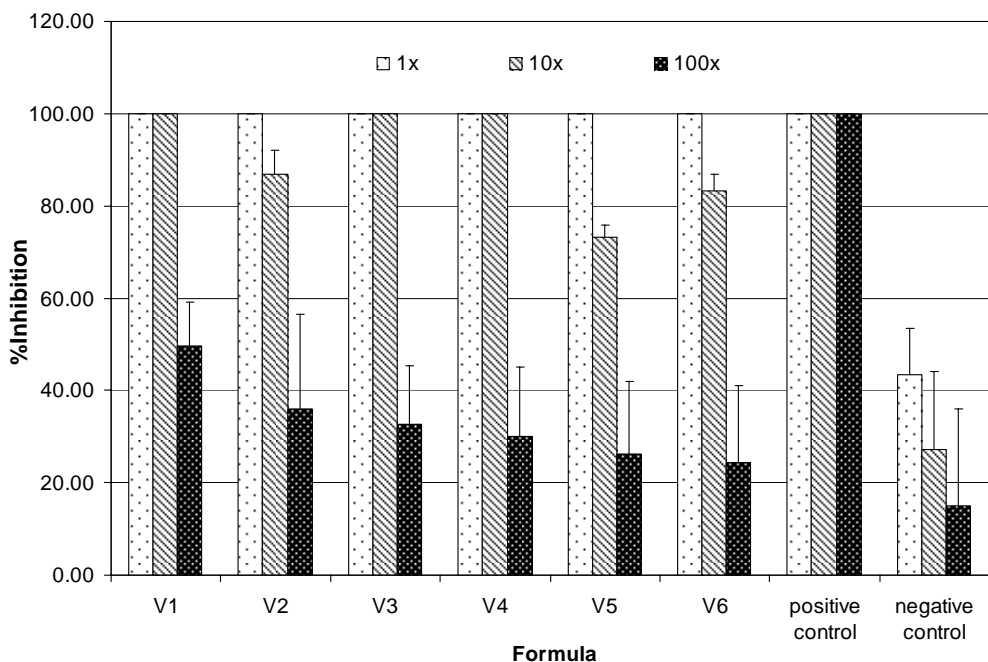
จากการศึกษาปัจจัยต่างๆ ที่มีผลต่อความสามารถตัวของอิมัลชันที่ประกอบด้วยน้ำมันหอมระเหยเจ้าสูตรต่ำรับที่เหมาะสมในการเตรียมอิมัลชัน การศึกษาต่อไปเป็นการนำอิมัลชันที่เตรียมได้จากน้ำมันหอมระเหยมาศึกษาความสามารถในการยับยั้งเชื้อก่อโรคทางทันตกรรม ได้แก่ *S. mutans* 104B ซึ่งเป็นเชื้อก่อโรคฟันผุที่พบมากที่สุดเป็นอันดับต้นๆ (รีวี เลิร์ ไฟศาล 2550 : 97-104) โดยใช้วิธีเจือจางในอาหารเหลว (broth dilution) ในการทดสอบ การทดสอบจะใช้อิมัลชันที่เตรียมได้ 3 ความเข้มข้น คือ ไม่เจือจาง เจือจาง 10 เท่า และเจือจาง 100 เท่า แยกทำการศึกษาเป็น 2 ส่วน ส่วนแรกศึกษาการยับยั้งเชื้อโดยใช้สูตรต่ำรับที่ประกอบด้วยน้ำมันหอมระเหยอย่างเดียว และในส่วนที่สองศึกษาผลการยับยั้งเชื้อของสูตรต่ำรับที่เตรียมจากน้ำมันหอมระเหยร่วมกับน้ำมันถั่วเหลือง ดังอธิบายอย่างละเอียดในลำดับต่อไป

### 2.1 ผลของน้ำมันหอมระเหยชนิดต่างๆ ในนาโนอิมัลชันต่อความสามารถในการยับยั้งเชื้อ *S. mutans*

การศึกษาผลของน้ำมันหอมระเหยชนิดต่างๆ ได้แก่ น้ำมันกานพลู น้ำมันสเปียร์มินต์ น้ำมันเปลปเปอร์มินต์ น้ำมันอปปามินต์ น้ำมันยูคาลิปตัส และน้ำมันทีทรีต่อความสามารถในการยับยั้งเชื้อ *S. mutans* พบร่วมกับอิมัลชันที่เตรียมได้จากน้ำมันหอมระเหยทุกกลุ่มนี้ ความสามารถในการยับยั้งเชื้อ *S. mutans* ได้ 100% เมื่อนำมาทดสอบโดยตรงกับเชื้อ (สัดส่วนระหว่างอิมัลชันต่อเชื้อ *S. mutans* ความเข้มข้น  $10^5$  โคลoniต่อ ml ลิตร) ในการทดสอบเท่ากับ อิมัลชัน 1 ส่วนต่อเชื้อ 9 ส่วน) เมื่อทำการเจือจางอิมัลชัน 10 เท่า ก่อนนำไปทดสอบพบว่าอิมัลชันที่ประกอบด้วยน้ำมันกานพลู น้ำมันเปลปเปอร์มินต์ และน้ำมันอปปามินต์มีความสามารถในการยับยั้งเชื้อ *S. mutans* เป็น 100% ในขณะที่อิมัลชันที่ประกอบด้วยน้ำมันสเปียร์มินต์ น้ำมันยูคาลิปตัส และน้ำมันทีทรีมี

ความสามารถในการยับยั้งเชื้อคลดลงเป็น 87, 73 และ 83% ตามลำดับ หลังจากนั้นทำการทดสอบต่อไปโดยนำอิมลชันมาเจือจางเพิ่มเป็น 100 เท่า พบว่าทุกสูตรมีความสามารถในการยับยั้งเชื้อแต่น้อยกว่าอิมลชันเจือจาง 10 เท่า ดังแสดงในภาพที่ 69 (ในการศึกษาครั้งนี้ได้ใช้เซทิลไพริดินีเมคลอไรด์ (cetylpyridinium chloride) เป็นชุดควบคุมบวก (positive control) ซึ่งพบว่า เซทิลไพริดินีเมคลอไรด์มีความสามารถในการยับยั้งเชื้อ *S. mutans* ได้ 100% ในทุกความเข้มข้นที่ทดสอบ และใช้อิมลชันที่เตรียมได้จากน้ำมันถั่วเหลืองเป็นชุดควบคุมลบ (negative control) ซึ่งพบว่า อิมลชันที่เตรียมได้จากน้ำมันถั่วเหลืองมีความสามารถในการยับยั้งเชื้อ *S. mutans* ได้ 43% และมีแนวโน้มการยับยั้งเชื้อน้อยลงเมื่อเจือจางมากขึ้น)

จากการผลการยับยั้งเชื้อดังกล่าว น้ำมันกานพลู น้ำมันสเปียร์มินต์ และน้ำมันเบปเปอร์มินต์มีแนวโน้มในการยับยั้งเชื้อมากที่สุดแต่อย่างไรก็ตามน้ำมันกานพลูมีความคงตัวทางกายภาพไม่ดีมากนัก ประกอบกับค่อนข้างมีความระคายเคืองมากกว่าเมื่อเทียบกับน้ำมันสเปียร์มินต์ และน้ำมันเบปเปอร์มินต์ ดังนั้นน้ำมัน 2 ชนิดหลังจึงมีแนวโน้มที่ดีในการนำไปใช้ต่อไป

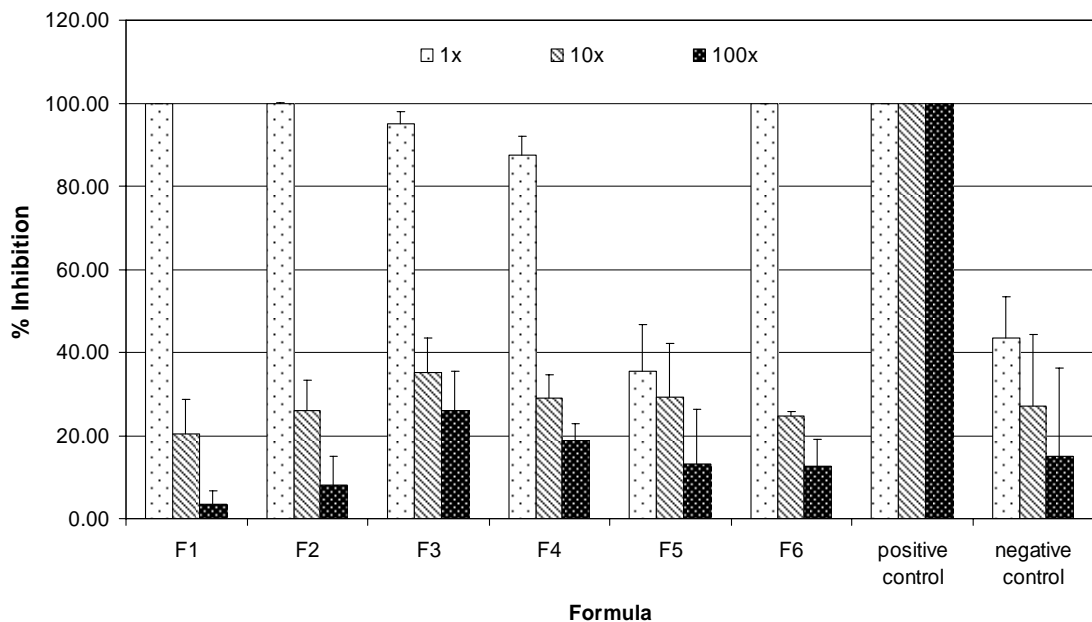


ภาพที่ 69 แสดงผลของน้ำมันหอมระเหยชนิดต่างกัน (V1 : น้ำมันกานพลู, V2 : น้ำมันสเปียร์มินต์, V3 : น้ำมันเบปเปอร์มินต์, V4 : น้ำมันอโปทามินต์, V5 : น้ำมันยูคาลิปตัส, V6 : น้ำมันทีทีเรีย, positive control : 0.2%CPC และ negative control : อิมลชันที่เตรียมได้จากน้ำมันถั่วเหลือง) ในนาโนอิมลชันที่ความสามารถเข้มข้นต่างๆ ต่อความสามารถในการยับยั้งเชื้อ *S. mutans*

## 2.2 ผลของนานาโอนิมัลชันจากน้ำมันถั่วเหลืองร่วมกับน้ำมันหอมระ夷ชนิดต่างๆ ต่อความสามารถในการยับยั้งเชื้อ *S. mutans*

จากการศึกษาข้างต้นพบว่าในสูตรที่ประกอบด้วยน้ำมันหอมระ夷เดียว อิมัลชันที่เตรียมได้ไม่มีความคงตัว ดังแสดงในหัวข้อ 1.2.1 ดังนั้นจึงได้เตรียมอิมัลชันที่ประกอบด้วยน้ำมันหอมระ夷โดยมีการใช้น้ำมันถั่วเหลืองร่วมด้วย พนวจฯ ได้อิมัลชันที่มีความคงตัวที่ดีขึ้น ดังแสดงในหัวข้อ 1.2.3 แต่อย่างไรก็ตามอาจส่งผลให้การยับยั้งเชื้อลดลงด้วย ดังนั้นเพื่อเป็นการศึกษาเพิ่มเติม จึงได้นำอิมัลชันที่ประกอบด้วยน้ำมันถั่วเหลืองร่วมกับน้ำมันหอมระ夷ในสัดส่วน 50:50 ที่แสดง ความคงตัวทางกายภาพที่ดีกว่าการใช้น้ำมันหอมระ夷เดียว มาทดสอบความสามารถในการยับยั้ง เชื้อ *S. mutans* ผลการทดสอบพบว่าอิมัลชันที่ประกอบด้วยน้ำมันหอมระ夷ร่วมกับน้ำมันถั่วเหลืองมีแนวโน้มการยับยั้งเชื้อน้อยลงเมื่อเทียบกับอิมัลชันที่ประกอบด้วยน้ำมันหอมระ夷อย่างเดียว โดยนำมันหอมระ夷ในกลุ่มน้ำมันกานพลู น้ำมันสเปียร์มินต์ และน้ำมันทีทรีมีความสามารถในการยับยั้งเชื้อ *S. mutans* เป็น 100% เมื่อนำมาทดสอบโดยตรงกับเชื้อ *S. mutans* และเมื่อทำการเจือจางอิมัลชัน 10 เท่าพบว่า ความสามารถในการยับยั้งเชื้อลดลงในทุกสูตร โดยมีความสามารถในการยับยั้งเชื้อออยู่ในช่วง 20-35% และเมื่อนำไปเจือจางที่ 100 เท่าพบว่า ความสามารถในการยับยั้ง เชื้อลดลง โดยเฉพาะในสูตรที่ประกอบด้วยน้ำมันกานพลู น้ำมันสเปียร์มินต์ และน้ำมันยูคาลิปตัส ในขณะที่อิมัลชันที่ประกอบด้วยน้ำมันเปลปเปอร์มินต์มีความสามารถในการยับยั้งเชื้อออยู่ที่ 26% เมื่อทำการเจือจางที่ 100 เท่า ดังแสดงในภาพที่ 70

ผลการทดสอบดังกล่าวแสดงให้เห็นว่า การใช้น้ำมันถั่วเหลืองเป็นส่วนประกอบของวัสดุภาชนะน้ำมัน มีผลทำให้การยับยั้งเชื้อที่เกิดจากน้ำมันหอมระ夷ลดลง ซึ่งน่าจะเกิดเนื่องมาจากปริมาณน้ำมันหอมระ夷ที่ลดลง ซึ่งเป็นข้อจำกัดของการนำน้ำมันถั่วเหลืองมาใช้เพื่อเพิ่มความคงตัวทางกายภาพ แต่อย่างไรก็ตาม เมื่อทำการทดสอบเบรเยนเทียนผลการยับยั้งเชื้อ *S. mutans* กับชุดควบคุมลบ (negative control) ซึ่งเป็นอิมัลชันสูตรที่มีน้ำมันถั่วเหลืองเดียว พนวจฯ อิมัลชันที่ไม่ได้เจือจางมีความสามารถในการยับยั้งเชื้อ *S. mutans* เป็น 43% แสดงให้เห็นว่าระบบนาโนอิมัลชันเอง มีความสามารถในการยับยั้งเชื้อได้ด้วย โดยหยดน้ำมันขนาดเล็กอาจไปหลอมรวมและรบกวนบริเวณเยื่อหุ้มเซลล์ของเชื้อก่อโรคต่างๆ (Karthikeyan, Amaechi and Lee 2009) ในส่วนการนำน้ำมันหอมระ夷มาเตรียมร่วมทำให้ประสิทธิภาพในการยับยั้งเชื้อมีมากขึ้น ซึ่งแสดงเห็นแนวโน้มที่ดีของการประยุกต์ใช้น้ำมันหอมระ夷ในรูปนาโนอิมัลชันเพื่อการยับยั้งเชื้อต่อไป



ภาพที่ 70 แสดงผลของ nano silver ชั้นจากน้ำมันถั่วเหลืองร่วมกับน้ำมันหอมระ夷ชนิดต่างกัน (F1 : น้ำมันกานพลู, F2 : น้ำมันสเปียร์มินต์, F3 : น้ำมันเปลเปลอร์มินต์, F4 : น้ำมันออยป่ามินต์, F5 : น้ำมันยูคาลิปตัส, F6 : น้ำมันทีทรี, positive control : 0.2%CPC และ negative control : อิมัลชันที่เตรียมได้จากน้ำมันถั่วเหลือง) ที่ความเข้มข้นต่างๆ ต่อความสามารถในการยับยั่งเชื้อ *S. mutans*

## บทที่ 5

### สรุปผลของการศึกษาวิจัย

1. ชนิดของสารลดแรงตึงผิวมีผลต่อคุณสมบัติของอิมัลชัน โดย PGO เป็นสารลดแรงตึงผิวที่เหมาะสมในการนำมาเตรียมอิมัลชันที่สุดเมื่อเทียบกับ POS, SLS และ PLX เนื่องจากสามารถเตรียมอิมัลชันที่มีความคงตัว ไม่เกิดการแยกชั้นครึ่ง มีขนาดอนุภาคหยดน้ำมันเล็กในระดับนาโนเมตร และมีค่าความหนืดที่เหมาะสม

2. ปริมาณของสารลดแรงตึงผิวมีผลต่อคุณสมบัติของอิมัลชัน โดยเมื่อปริมาณสารลดแรงตึงผิวในกลุ่ม PGO เพิ่มขึ้นจาก 1 ถึง 10 % โดยน้ำหนักขนาดอนุภาคหยดน้ำมันมีแนวโน้มลดลงจาก 2.163 ไมโครเมตร เป็น 114 นาโนเมตร

3. การเตรียมอิมัลชันโดยใช้น้ำมันหอมระ夷เป็นองค์ประกอบเพียงชนิดเดียวในวัสดุภัณฑ์น้ำมัน มีผลทำให้อิมัลชันส่วนใหญ่สูญเสียความคงตัว และขนาดอนุภาคหยดน้ำมันของอิมัลชันมีขนาดใหญ่

4. การเตรียมอิมัลชันโดยใช้น้ำมันหอมระ夷ร่วมกับน้ำมันถั่วเหลือง ทำให้อิมัลชันมีความคงตัวที่ดี และมีขนาดอนุภาคหยดน้ำมันเล็กลงในระดับนาโนเมตร

5. อิมัลชันที่เตรียมได้จากน้ำมันหอมระ夷ร่วมกับน้ำมันถั่วเหลืองสามารถเตรียมได้อนุภาระดับนาโนเมตร โดยมีขนาดอยู่ในช่วง 169 ถึง 262 นาโนเมตร เมื่อใช้อัตราส่วนระหว่างน้ำมันหอมระ夷ต่อน้ำมันถั่วเหลืองเป็น 50:50 และขนาดอนุภาคจะเล็กเมื่อปริมาณของน้ำมันถั่วเหลืองเพิ่มขึ้น

6. อิมัลชันที่มีส่วนผสมของน้ำมันหอมระ夷 มีฤทธิ์ในการยับยั้งเชื้อก่อโรคทางทันตกรรม *S. mutans* 104B ได้ 100% ทุกสูตรตำรับ

7. การเพิ่มสัดส่วนของน้ำมันถั่วเหลืองในวัสดุภัณฑ์น้ำมันมีผลทำให้ฤทธิ์ในการยับยั้งเชื้อ *S. mutans* ลดลง

### เอกสารอ้างอิง

- “อิมลัชัน” เอกสารประกอบวิชา 550 235 วิทยาการเครื่องสำอาง ภาควิชาเทคโนโลยีเภสัชกรรม คณะเภสัชศาสตร์ มหาวิทยาลัยศิริปารักษ์, 2551. (อัดสำเนา)
- พวงเพ็ชร เดชะประทุมวน. สารต้านฟันผุและสารลดคราบจุลินทรีย์. กรุงเทพฯ : โรงพิมพ์ จุฬาลงกรณ์มหาวิทยาลัย, 2536.
- พิมพ์ ลีลาพรพิสิฐ. อิมลัชันทางเครื่องสำอาง. เชียงใหม่ : คณะเภสัชศาสตร์ มหาวิทยาลัยเชียงใหม่, 2544.
- ร่วม เถียรไพบูลย์. แบบที่เรียกในช่องปาก. สงขลา : โรงพิมพ์นำผล, 2550.
- วรรณณ์ จารยาประเสริฐ. นาโนเทคโนโลยี: การนำส่างยาและเครื่องสำอางทางพิวอนิก. กรุงเทพฯ : บริษัท ประชาชน จำกัด, 2552.
- Corrigan, O.I., and A.M. Healy. “Surfactants in pharmaceutical products and system.” in Encyclopedia of Pharmaceutical Technology. New York : Marcel Dekker, 2002.
- Holmberg, Krister et al. Surfactants and Polymers in Aqueous Solution. 2<sup>nd</sup> ed. Chichester : John Wiley, 2003.
- Niazi, Sarfaraz K. Handbook of Pharmaceutical Manufacturing Formulations. 6 vols. Boca Raton, Fla. : CRC Press, 2004. Vol. 3, Liquid products, by Sarfaraz K. Niazi.
- Rowe, Raymond C., Paul J. Sheskey, and Siân C. Owen. Handbook of Pharmaceutical Excipients. 5<sup>th</sup> ed. London : Pharmaceutical Press, 2006.
- Sjöblom, Johann. “Emulsions and emulsion stability.” 2<sup>nd</sup> ed. Boca Raton : CRC/Taylor & Francis, 2006.
- Aframian, D.J., T. Davidowitz, and R.Benoliel. “The distribution of oral mucosal pH values in healthy saliva secretors.” Oral Dis 4, 12 (July 2006) : 420-423.
- Allaker, Robert P., and C.W. Ian Douglas. “Novel anti-microbial therapies for dental plaque-related diseases.” International Journal of Antimicrobial Agents 1, 33 (January 2009) : 8–13.
- Bakkali, F. et al. “Biological effects of essential oils-A review.” Food and Chemical Toxicology 2, 46 (2008) : 446-475.
- Baret, Jean-Christophe et al. “Kinetic Aspects of Emulsion Stabilization by Surfactants: A Microfluidic Analysis.” Langmuir 11, 25 (March 2009) : 6088–6093.

- Barsamian-Wunsch, P. et al. "Microbiological screening for cariogenic bacteria in children 9 to 36 months of age." *Pediatr Dent* 3, 26 (June 2004) : 231-239.
- Batish, Daizy R. et al. "Eucalyptus essential oil as a natural pesticide." *Forest Ecology and Management* 12, 256 (2008) : 2166-2174.
- Belli, Wesley A., and Robert E. Marquis. "Adaptation of *Streptococcus mutans* and *Enterococcus hirae* to acid stress in continuous culture." *Appl Environ Microbiol* 4, 57 (April 1991) : 1134-1138.
- Boyd, David A. et al. "Defects in D-alanyl-lipoteichoic acid synthesis in *Streptococcus mutans* result in acid sensitivity." *J Bacteriol* 21, 182 (November 2000) : 6055-6065.
- Burt, Sara. "Essential oils: their antibacterial properties and potential applications in foods-a review." *International Journal of Food Microbiology* 3, 94 (2004) : 223-253.
- Chaiyb, Kamel et al. "The chemical composition and biological activity of clove essential oil, *Eugenia caryophyllata* (*Syzygium aromaticum* L. Myrtaceae)." *Phytotherapy Research* 6, 21 (March 2007) : 501-6.
- Chepurnov, A.A. et al. "Inactivation of Ebola virus with a surfactant nanoemulsion." *Acta Tropica* 3, 87 (August 2003) : 315-320.
- Chhour, Kim-Ly et al. "Molecular analysis of microbial diversity in advanced caries." *J. Clin Microbial* 2, 43 (February 2005) : 843-849.
- Dashper, Stuart G., and Eric C. Reynolds. "Lactic acid excretion by *Streptococcus mutans*." *Microbiol*, no. 142 (1996) : 33-39.
- de Soet, J.J., B. Nyvad, and M. Kilian. "Strain-related acid production by oral streptococci." *Caries Res* 6, 34 (2000) : 486-490.
- Faoagali, J., N. George, and J. F. Leditschke. "Does tea tree oil have a place in the topical treatment of burns?." *Burns* 4, 23 (June 1997) : 349-351.
- Fernandez, Patrick et al. "Nano-emulsion formation by emulsion phase inversion." *Colloids and Surfaces A: Physicochemical and Engineering Aspects* 1-3, 251 (December 2004) : 53-58.

- Graf, H. "The glycolytic activity of plaque and its relation to hard tissue pathology; recent findings from intraoral pH telemetry research." Int Den J 3, 20 (September 1970) : 426-435.
- Grigoleit, H.-G., and P. Grigoleit. "Pharmacology and preclinical pharmacokinetics of peppermint oil." Phytomedicine 8, 12 (2005) : 612-616.
- Gullapalli, R.P., and B.B. Sheth. "Influence of an optimized non-ionic emulsifier blend on properties of oil-in-water emulsions." Eur J Pharm Biopharm 3, 48 (1999) : 233-238.
- Hamada, S., and H.D. Slade. "Biology, immunology, and cariogenicity of *Streptococcus mutans*." Microbiol Rev 2, 44 (June 1980) : 331-384.
- Hamilton, I.R., and N.D. Buckey. "Adaptation of *Streptococcus mutans* to acid tolerance." Oral Microbiol Immunol 2, 6 (December 2007) : 65-71.
- Hammer, K.A. et al. "A review of the toxicity of *Melaleuca alternifolia* (tea tree) oil." Food and Chemical Toxicology 5, 44 (May 2006) : 616-625.
- Hammond, Bruce G. et al. "Safety assessment of SDA soybean oil: Results of a 28-day gavage study and a 90-day/one generation reproduction feeding study in rats." Regulatory Toxicology and Pharmacology 3, 52 (December 2008) : 311-323.
- Hamouda, Tarek et al. "A novel surfactant nanoemulsion with a unique non-irritant topical antimicrobial activity against bacteria, enveloped viruses and fungi." Microbiology Research, no. 156, 1 (2001) : 1-7.
- Hazlett, Karsten R. O., Joseph E. Mazurkiewicz, and Jeffrey A. Banas. "Inactivation of the *gbpA* gene of *Streptococcus mutans* alter structural and functional aspects of plaque biofilm which are compensated by recombination of the *gtfB* and *gtfC* genes." Infect Immun, no. 67 (1999) : 3909-3914.
- Hazlett, Karsten R. O., Suzanne M. Michalek, and Jeffrey A. Banas. "Inactivation of the *gbpA* gene of *Streptococcus mutans* increases virulence and promotes in vivo accumulation of recombinations between the glucosyltransferase B and C genes." Infect Immun, no. 66 (1998) : 2180-2185.
- Hibbard, John S. "Analyses comparing the antimicrobial activity and safety of current antiseptic agents: a review." Journal of Infusion Nursing 3, 28 (June 2005) : 194-207.

- Hillman, J. D. et al. "Construction and characterization of an effector strain of *Streptococcus mutans* for replacement therapy of dental caries." Infect Immun 2, 68 (February 2000) : 543-549.
- Hillman, J.D., A Chen, and JL Snoep. "Genetic and physiological analysis of the lethal effect of L-(+)-lactate dehydrogenase deficiency in *Streptococcus mutans* complementation by alcohol dehydrogenase from *Zymomonas mobilis*." Infect Immun 10, 64 (1996) : 4319-4323.
- Hillman, Jeffrey D. "Genetically modified *Streptococcus mutans* for the prevention of dental caries." Antonie van Leeuwenhoek 1-4, 82 (August 2002) : 361-366.
- Hsu, Jyh-Ping, and Anca Nacu. "Behavior of soybean oil-in-water emulsion stabilized by nonionic surfactant." Journal of Colloid and Interface Science, no. 259 (December 2003) : 374-381.
- Hu, Deyu et al. "A randomized, double-blind clinical study to assess the antimicrobial effects of a cetylpyridinium chloride mouth rinse on dental plaque bacteria." Clinical Therapeutics 11, 31 (November 2009) : 2540-2548.
- Jafari, Seid Mahdi et al. "Re-coalescence of emulsion droplets during high-energy emulsification." Food Hydrocolloids 7, 22 (2008) : 1191-1202.
- Jeong, M.W., S.G. Oh, and Y.C. Kim. "Effects of amine and amine oxide compounds on the zeta-potential of emulsion droplets stabilized by phosphatidylcholine." Colloids and Surfaces A: Physicochemical and Engineering Aspects 1, 181 (June 2001) : 247-253.
- Johnson, C.P., S.M. Gross, and J.D. Hillman. "Cariogenic potential in vitro in man and in vivo in the rat of lactate dehydrogenase mutans of *Streptococcus mutans*." Arch Oral Biol 11-12, 25 (1980) : 707-713.
- Karthikeyan, R., B.T. Amaechi, and V.A. Lee. "Antimicrobial effects of nanoemulsion against *Streptococcus mutans*." Paper Presented at IADR/AADR/CADR 87th General Session and Exhibition, Miami, Florida 2 April 2009.
- Kentish, S. et al. "The use of ultrasonics for nanoemulsion preparation." Innovative Food Science and Emerging Technologies 2, 9 (April 2008) : 170-175.

- Kim, Chang Kee, and Byung Kyu Kim. "IPDI-based polyurethane ionomer dispersions: Effects of ionic, nonionic hydrophilic segments, and extender on particle size and physical properties of emulsion cast film." Journal of Applied Polymer Science 12, 43 (2003) : 2295 – 2301.
- Kritchevsky, David, Maxine M. Weber, and David M. Klurfeld. "Influence of different fats (Soybean oil, palm olein or hydrogenated soybean oil) on chemically-induced mammary tumors in rats." Nutrition Research 1, 12 (1992) : S175-S179.
- Lee, S.F. et al. "Construction and characterization of isogenic mutans of *Streptococcus mutans* deficient in major surface protein antigen P1(I/II)." Infect Immun 11, 57 (November 1989) : 3306-3313.
- Li, H., J. L. Madden, and B. M. Potts. "Variation in volatile leaf oils of the Tasmanian *Eucalyptus* species-1. Subgenus Monocalyptus." Biochemical Systematics and Ecology 3, 23 (1995) : 299-318.
- Liedtke, S. et al. "Influence of high pressure homogenization equipment on nanodispersions characteristics." International Journal of Pharmaceutics 2, 196 (2000) : 183–185.
- Loesche, Walter J. "Role of *Streptococcus mutans* in human dental decay." Microbiol Rev 4, 50 (December 1986) : 353-380.
- Ma, J.K. et al. "Conservation of the gene encoding streptococci antigen I/II in oral streptococci." Infect Immun 8, 59 (August 1991) : 2686-2694.
- Marklund, Britt-Inger et al. "Horizontal gene transfer of the *Escherichia coli* pap and prs pili operons as a mechanism for the development of tissue-specific adhesive properties." Molecular Microbiology 16, 6 (October 2006) : 2225 – 2242.
- Marsh, P.D., and M.V. Martin. "The resident oral microflora." in Oral microbiology. 4th Wright 2001 : 17-33.
- Matsumiya, Y. et al. "Molecular epidemiological study of vertical of vaginal *Lactobacillus* species from mothers to newborn infants in Japanese, by arbitrarily primed polymerase chain reaction." J. Infect Chemother 1, 8 (March 2002) : 43-49.
- Matsumoto, M. et al. "The role of glucan-binding proteins in the cariogenicity of *Streptococcus mutans*." Oral Microbiol Immunol, no. 47 (2003) : 213-215.

- McClements, David J., and Stephanie R. Dungan. "Factors that affect the rate of oil exchange between oil-in-water emulsion droplets stabilized by a nonionic surfactant: droplet size, surfactant concentration, and ionic strength." *J. Phys. Chem.* 97 (July 1993) : 7304–7308.
- McNeill, K., and I.R. Hamilton. "Acid tolerance response of biofilm cells of *Streptococcus mutans*." *FEMS Microbiol Lett* 221 (2003) : 25-30.
- Monchois, V., R.M. Willemot, and P.Monsan. "Glucansucrases: mechanism of action and structure-function relationships." *FEMS Microbiol Rev* 2, 23 (April 1999) : 131-151.
- Munro, Cindy L., Suzanne M. Michalek, and Francis L. Macrina. "Sucrose-derived exopolymers have site-dependent roles in *Streptococcus mutans*-promoted dental decay." *FEMS Microbial Lett* 3, 128 (May 1995) : 327-332.
- Munson, M.A. et al. "Molecular analysis of the microflora associated with dental caries." *J. Clin Microbial* 7, 42 (July 2004) : 3023-3029.
- Myc, Andrzej. et al. "The fungicidal activity of novel nanoemulsion (X8W60PC) against clinically important yeast and filamentous fungi." *Mycopathologia* 4, 155 (2002) : 195-201.
- Naito, Y. et al. "Thirteen-week dietary intake of rapeseed oil or soybean oil as the only dietary fat in Wistar Kyoto rats—change in blood pressure." *Food and Chemical Toxicology* 9, 38 (September 2000) : 811-816.
- Nakatsu, Tetsuo et al. "Biological activity of essential oils and their constituents." *Studies in Natural Products Chemistry* 2, 21 (2000) : 571-631.
- Ohta, Hirotaka. et al. "Characterization of a cell-surface protein antigen of hydrophilic *Streptococcus mutans* strain GS-5." *J Gen Microbiol*, no. 135 (1989) : 981-988.
- Pal, Sukdeb, Yu Kyung Tak, and Joon Myong Song. "Does the Antibacterial Activity of Silver Nanoparticles Depend on the Shape of the Nanoparticle? A Study of the Gram-Negative Bacterium *Escherichia coli*." *Appl Environ Microbiol* 6, 73 (March 2007) : 1712–1720.
- Petersen, F.C. et al. "Functional variation of the antigen I/II surface protein in *Streptococcus mutans*." *Infect Immun* 1, 70 (January 2002) : 249-256.

- Price, Shirley. "Using essential oils in professional practice," Complementary Therapies in Nursing and Midwifery 5, 4 (1998) : 144-147.
- Quan, C., G. Khoe, and D. Bagster. "Adsorption of sodium lauryl sulfate onto arsenic-bearing ferrihydrite." Water Research 2, 35 (February 2001) : 478-484.
- Quivey, Robert G. Jr. "Genetics of acid adaptation in oral streptococci." Crit Rev Oral Biol Med 4, 12 (2001) : 301-304.
- Russell, Roy R.B. "Glucan-binding proteins of *Streptococcus mutans* serotypec." J Gen Microbiol, no. 112 (1979) : 197-201.
- Ruth, Saskia M. van, Emad S. Shaker, and Patrick A. Morrissey. "Influence of methanolic extracts of soybean seeds and soybean oil on lipid oxidation in linseed oil." Food Chemistry 2, 75 (November 2001) : 177-184.
- Sadurní, Núria et al. "Studies on the formation of O/W nano-emulsions, by low-energy emulsification methods, suitable for pharmaceutical applications." Eur J Pharm Sci 5, 26 (December 2005) : 438-445.
- Saeed, Sabahat, Asma Naim, and Perween Tariq. "In vitro antibacterial activity of peppermint." Pakistan Journal of Botany 3, 38 (2006) : 869-872.
- Shah, P., D. Bhalodia, and P Shelat. "Nanoemulsion: A pharmaceutical review." Review Article 1, 1 (2010) : 24-32.
- Shah, Deepan S. H., and Roy R. B. Russell. "A novel glucan-binding protein from *Streptococcus mutans*." in Streptococcal genetics 6<sup>th</sup> Asheville NC 2002.
- Shakeel, Faiyaz et al. "Nanoemulsions as Vehicles for Transdermal Delivery of Aceclofenac." AAPS PharmSciTech 4, 8 (December 2007) : Article 104.
- Smith, Daniel J. et al. "Purification and antigenicity of a novel glucan-binding protein of *Streptococcus mutans*." Infect Immun 6, 62 (June 1994) : 2545-2552.
- Tcholakova, Slavka, Nikolai D. Denkov, and Thomas Danner. "Role of Surfactant Type and Concentration for the Mean Drop Size during Emulsification in Turbulent Flow." Langmuir 18, 20 (2004) : 7444-7458.

- Teanpaisan, R., and G. Dahlen. "Use of polymerase chain reaction techniques and sodium dodecyl sulfate polyacrylamide gel electrophoresis for differentiation of oral *Lactobacillus* species." Oral Microbial Immunol 2, 21 (February 2006) : 79-83.
- Whittaker, Catherine J., Christiane M. Klier, and Paul E. Kolenbrander. "Mechanisms of adhesion by oral bacteria." Ann Rev Microbiol, no. 50 (1996) : 513-552.
- Wright, D. Craig. "Antimicrobial oil-in-water emulsions." United States Patent, no. 5475667 (1996).
- Cargill, Incorporated. Emulsifiers [Online]. Accessed 15 May 2010. Available from <http://www.cargilltexturizing.com/products/functional/emulsifier/>
- Columbia University College of Dental Medicine. Illustrations: How a Tooth Decays [Online]. Accessed 22 March 2010. Available from <http://www.simplestepsdental.com/SS/>
- Encyclopædia Britannica. bacteria [Online]. Accessed 20 May. 2010. Available from <http://www.britannica.com/EBchecked/topic/48203/bacteria>
- Maple Tech International LLC. Tooth Decay [Online]. Accessed 1 September 2009. Available from <http://www.dentistdig.com/g/tooth-decay.html>

ภาคผนวก

ตารางที่ 13 แสดงผลความคงตัวของอิมัลชันที่เตรียมจากสารลดแรงตึงผิวนิดต่างๆ

สูตร	ชนิดสารลดแรงตึงผิว	% creaming		
		หลังการเตรียม 24 ชั่วโมง	หลังการเตรียม 1 สัปดาห์	หลังเก็บที่ สภาวะเร่ง
S1	POS	30	26	30
S2	PGO	100	100	100
S3	SLS	90	34	34
S4	PLX	100	100	96

ตารางที่ 14 แสดงผลความคงตัวของอิมัลชันที่เตรียมจากสารลดแรงตึงผิวคุณ PGO ปริมาณต่างกัน

สูตร	ปริมาณ PGO (% โดยน้ำหนัก)	% creaming		
		หลังการเตรียม 24 ชั่วโมง	หลังการเตรียม 1 สัปดาห์	หลังเก็บที่ สภาวะเร่ง
C1	1.0	100	100	100
C2	2.5	100	100	100
C3	5.0	100	100	100
C4	7.5	100	100	100
C5	10.0	100	100	100

ตารางที่ 15 แสดงผลความคงตัวของอิมัลชันที่เตรียมจากน้ำมันหอมระเหยชนิดต่างๆ

สูตร	ชนิดของ น้ำมันหอมระเหย	% creaming		
		หลังการเตรียม 24 ชั่วโมง	หลังการเตรียม 1 สัปดาห์	หลังเก็บที่ สภาวะเร่ง
V1	Clove oil	10	26	26
V2	Spearmint oil	28	26	14
V3	Peppermint oil	38	33	22
V4	Optamint oil	76	68	34
V5	Eucalyptus oil	100	100	100
V6	Tea tree oil	24	22	14

หมายเหตุ : F1 เกิด cracking ตลอดระยะเวลาในการเก็บ

ตารางที่ 16 แสดงผลความคงตัวของอิมัลชันที่เตรียมได้จากน้ำมันถั่วเหลืองร่วมกับน้ำมันเปปเปอร์มินต์ ในสัดส่วนต่างๆ

สูตร	สัดส่วนระหว่าง น้ำมันถั่วเหลืองต่อ น้ำมันเปปเปอร์มินต์	% creaming		
		หลังการเตรียม 24 ชั่วโมง	หลังการเตรียม 1 สัปดาห์	หลังเก็บที่ สภาวะเร่ง
P1	75 : 25	100	100	100
P2	50 : 50	100	100	100
P3	40 : 60	100	100	15.38
P4	30 : 70	25	22	20
P5	20 : 80	26	23	24
P6	10 : 90	30	28	22

ตารางที่ 17 แสดงผลความคงตัวของอิมัลชันที่เตรียมจากน้ำมันถั่วเหลืองร่วมกับน้ำมันหอมระเหย  
ชนิดต่างๆ

สูตร	ชนิดของ น้ำมันหอมระเหย	% creaming		
		หลังการเตรียม 24 ชั่วโมง	หลังการเตรียม 1 สัปดาห์	หลังเก็บที่ สภาวะเร่ง
F1	Clove oil	73.33	70.67	62.5
F2	Spearmint oil	100	100	100
F3	Peppermint oil	100	100	100
F4	Optamint oil	100	100	100
F5	Eucalyptus oil	100	100	100
F6	Tea tree oil	100	100	100

ตารางที่ 18 แสดงขนาดหยดน้ำมันของอิมัลชันที่เตรียมจากสารลดแรงตึงผิวนิดต่างๆ

สูตร	ชนิดสารลดแรงตึงผิว	ขนาดหยดน้ำมัน ( $\mu\text{m}$ )		
		หลังการเตรียม 24 ชั่วโมง	หลังการเตรียม 1 สัปดาห์	หลังเก็บที่ สภาวะเร่ง
S1	POS	$2.699 \pm 0.299$	$2.583 \pm 0.156$	$2.828 \pm 0.464$
S2	PGO	$0.193 \pm 0.050$	$0.151 \pm 0.007$	$0.196 \pm 0.031$
S3	SLS	$1.780 \pm 0.869$	$1.237 \pm 0.902$	$2.732 \pm 0.183$
S4	PLX	$1.767 \pm 0.260$	$1.009 \pm 0.115$	$4.026 \pm 1.323$

ตารางที่ 19 แสดงขนาดหยดน้ำมันของอิมัลชันที่เตรียมจาก PGO ปริมาณต่างๆ

สูตร	ปริมาณ PGO (% โดยน้ำหนัก)	ขนาดหยดน้ำมัน ( $\mu\text{m}$ )		
		หลังการเตรียม 24 ชั่วโมง	หลังการเตรียม 1 สัปดาห์	หลังเก็บที่ สภาวะเร่ง
C1	1.0	$2.163 \pm 0.091$	$1.649 \pm 0.030$	$1.800 \pm 0.143$
C2	2.5	$0.795 \pm 0.314$	$0.677 \pm 0.059$	$0.665 \pm 0.147$
C3	5.0	$0.233 \pm 0.005$	$0.214 \pm 0.005$	$0.230 \pm 0.001$
C4	7.5	$0.132 \pm 0.002$	$0.136 \pm 0.033$	$0.184 \pm 0.002$
C5	10.0	$0.114 \pm 0.001$	$0.111 \pm 0.003$	$0.434 \pm 0.240$

ตารางที่ 20 แสดงขนาดหยดน้ำมันของอิมัลชันที่เตรียมจากน้ำมันหอมระเหยชนิดต่างๆ

สูตร	ชนิดของ น้ำมันหอมระเหย	ขนาดหยดน้ำมัน ( $\mu\text{m}$ )		
		หลังการเตรียม 24 ชั่วโมง	หลังการเตรียม 1 สัปดาห์	หลังเก็บที่ สภาวะเร่ง
V1	Clove oil	$4.715 \pm 0.147$	$15.621 \pm 0.298$	$20.365 \pm 3.669$
V2	Spearmint oil	$3.581 \pm 0.224$	$2.240 \pm 0.281$	$1.970 \pm 0.345$
V3	Peppermint oil	$4.526 \pm 0.874$	$4.656 \pm 0.586$	$4.955 \pm 0.271$
V4	Optamint oil	$8.849 \pm 0.265$	$8.648 \pm 0.273$	$5.739 \pm 0.659$
V5	Eucalyptus oil	$41.273 \pm 24.929$	$15.243 \pm 2.933$	$20.134 \pm 3.905$
V6	Tea tree oil	$3.089 \pm 0.153$	$2.630 \pm 0.068$	$4.391 \pm 0.455$

ตารางที่ 21 แสดงขนาดหยดน้ำมันของอิมัลชันที่เตรียมได้จากน้ำมันพีชร่วมกับน้ำมันเปลปเปอร์มินต์ในสัดส่วนต่างๆ

สูตร	สัดส่วนระหว่างน้ำมันถั่วเหลืองต่อน้ำมันเปลปเปอร์มินต์	ขนาดหยดน้ำมัน ( $\mu\text{m}$ )		
		หลังการเตรียม 24 ชั่วโมง	หลังการเตรียม 1 สัปดาห์	หลังเก็บที่สภาวะเร่ง
P1	75 : 25	0.193 ± 0.032	0.199 ± 0.026	0.138 ± 0.002
P2	50 : 50	0.262 ± 0.011	0.259 ± 0.025	0.223 ± 0.006
P3	40 : 60	0.678 ± 0.125	1.198 ± 0.254	0.912 ± 0.332
P4	30 : 70	1.236 ± 0.332	2.083 ± 0.118	4.110 ± 0.425
P5	20 : 80	2.918 ± 0.244	2.600 ± 0.208	16.998 ± 1.921
P6	10 : 90	3.056 ± 0.242	3.004 ± 0.059	13.908 ± 2.945

ตารางที่ 22 แสดงขนาดหยดน้ำมันของอิมัลชันที่เตรียมจากน้ำมันถั่วเหลืองร่วมกับน้ำมันหอมระ夷ชนิดต่างๆ

สูตร	ชนิดของน้ำมันหอมระ夷	ขนาดหยดน้ำมัน ( $\mu\text{m}$ )		
		หลังการเตรียม 24 ชั่วโมง	หลังการเตรียม 1 สัปดาห์	หลังเก็บที่สภาวะเร่ง
F1	Clove oil	6.454 ± 0.580	28.335 ± 3.329	30.776 ± 5.395
F2	Spearmint oil	0.169 ± 0.001	0.170 ± 0.002	0.200 ± 0.001
F3	Peppermint oil	0.262 ± 0.011	0.259 ± 0.025	0.223 ± 0.006
F4	Optamint oil	0.244 ± 0.008	0.250 ± 0.001	0.221 ± 0.001
F5	Eucalyptus oil	0.213 ± 0.002	0.211 ± 0.002	0.200 ± 0.002
F6	Tea tree oil	0.173 ± 0.002	0.166 ± 0.004	0.205 ± 0.002

ตารางที่ 23 แสดงค่าซีต้าโพเทนเซียลของหยดน้ำมันของอิมัลชันที่เตรียมจากสารลดแรงตึงผิวนิดต่างๆ

สูตร	ชนิดสารลดแรงตึงผิว	ค่าซีต้าโพเทนเซียล (mV)		
		หลังการเตรียม 24 ชั่วโมง	หลังการเตรียม 1 สัปดาห์	หลังเก็บที่ สภาวะเร่ง
S1	POS	-41.71 ± 1.41	-34.94 ± 0.77	-39.69 ± 0.59
S2	PGO	-26.18 ± 1.24	-23.15 ± 1.68	-27.56 ± 0.91
S3	SLS	-63.53 ± 0.88	-77.69 ± 1.57	-73.27 ± 1.02
S4	PLX	-18.48 ± 1.11	-24.19 ± 1.49	-23.27 ± 0.29

ตารางที่ 24 แสดงค่าซีต้าโพเทนเซียลของหยดน้ำมันของอิมัลชันที่เตรียมจาก PGO ปริมาณต่างๆ

สูตร	ปริมาณ PGO (% โดยน้ำหนัก)	ค่าซีต้าโพเทนเซียล (mV)		
		หลังการเตรียม 24 ชั่วโมง	หลังการเตรียม 1 สัปดาห์	หลังเก็บที่ สภาวะเร่ง
C1	1.0	-26.95 ± 1.48	-25.13 ± 1.67	-19.89 ± 2.82
C2	2.5	-35.47 ± 0.66	-26.74 ± 1.04	-29.75 ± 0.48
C3	5.0	-26.18 ± 1.24	-24.72 ± 0.65	-25.34 ± 0.35
C4	7.5	-15.48 ± 1.41	-23.62 ± 1.21	-16.78 ± 1.08
C5	10.0	-19.66 ± 0.86	-24.97 ± 1.03	-20.36 ± 0.88

ตารางที่ 25 แสดงค่าซีต้าโพเทนเซียลของหยดน้ำมันของอิมัลชันที่เตรียมจากน้ำมันหอมระ夷ชนิดต่างๆ

สูตร	ชนิดของน้ำมันหอมระ夷	ค่าซีต้าโพเทนเซียล (mV)		
		หลังการเตรียม 24 ชั่วโมง	หลังการเตรียม 1 สัปดาห์	หลังเก็บที่สภาวะเร่ง
V1	Clove oil	-35.77 ± 0.78	-40.76 ± 1.16	-35.57 ± 0.78
V2	Spearmint oil	-33.77 ± 1.09	-55.88 ± 3.51	-55.35 ± 2.00
V3	Peppermint oil	-20.46 ± 1.70	-10.91 ± 1.11	-14.13 ± 1.44
V4	Optamint oil	-9.51 ± 1.91	-24.38 ± 0.49	-33.67 ± 2.01
V5	Eucalyptus oil	-53.70 ± 1.98	-3.11 ± 6.79	-37.09 ± 0.80
V6	Tea tree oil	-7.75 ± 3.51	-24.65 ± 0.95	-23.59 ± 0.90

ตารางที่ 26 แสดงค่าซีต้าโพเทนเซียลของหยดน้ำมันของอิมัลชันที่เตรียมจากน้ำมันถั่วเหลืองร่วมกับน้ำมันเปลปเปอร์มินต์ในสัดส่วนต่างๆ

สูตร	สัดส่วนระหว่างน้ำมันถั่วเหลืองต่อน้ำมันเปลปเปอร์มินต์	ค่าซีต้าโพเทนเซียล (mV)		
		หลังการเตรียม 24 ชั่วโมง	หลังการเตรียม 1 สัปดาห์	หลังเก็บที่สภาวะเร่ง
P1	75 : 25	-18.63 ± 0.56	-6.47 ± 1.85	-11.48 ± 0.65
P2	50 : 50	-36.67 ± 1.01	-41.63 ± 0.68	-38.32 ± 1.09
P3	40 : 60	-8.52 ± 1.51	-20.86 ± 1.39	-14.57 ± 0.59
P4	30 : 70	-32.71 ± 1.96	-15.21 ± 1.63	-28.46 ± 0.91
P5	20 : 80	-11.75 ± 1.70	-21.30 ± 0.60	-25.32 ± 0.49
P6	10 : 90	-27.91 ± 0.78	-22.85 ± 0.84	-21.58 ± 0.62

ตารางที่ 27 แสดงค่าซีต้าโพเทนเซียลของหยดน้ำมันของอิมัลชันที่เตรียมจากน้ำมันถั่วเหลืองร่วมกับน้ำมันหอมระ夷ชนิดต่างๆ

สูตร	ชนิดของน้ำมันหอมระ夷	ค่าซีต้าโพเทนเซียล (mV)		
		หลังการเตรียม 24 ชั่วโมง	หลังการเตรียม 1 สัปดาห์	หลังเก็บที่สภาวะเร่ง
F1	Clove oil	-34.78 ± 0.47	-39.81 ± 1.51	-36.477 ± 2.81
F2	Spearmint oil	-43.56 ± 1.12	-38.52 ± 1.21	-39.44 ± 0.92
F3	Peppermint oil	-36.67 ± 1.01	-41.63 ± 0.68	-38.32 ± 1.09
F4	Optamint oil	-52.75 ± 1.59	-48.44 ± 1.17	-44.61 ± 1.47
F5	Eucalyptus oil	-39.51 ± 0.89	-46.86 ± 0.93	-41.04 ± 1.19
F6	Tea tree oil	-42.86 ± 1.67	-45.78 ± 0.76	-40.73 ± 0.89

ตารางที่ 28 แสดงค่าความเป็นกรดค่างของอิมัลชันที่เตรียมจากสารลดแรงตึงผิวนิดต่างๆ

สูตร	ชนิดสารลดแรงตึงผิว	pH		
		หลังการเตรียม 24 ชั่วโมง	หลังการเตรียม 1 สัปดาห์	หลังเก็บที่สภาวะเร่ง
S1	POS	3.58 ± 0.01	3.50 ± 0.01	3.32 ± 0.00
S2	PGO	6.30 ± 0.01	6.41 ± 0.02	5.99 ± 0.01
S3	SLS	7.12 ± 0.01	7.07 ± 0.02	6.85 ± 0.01
S4	PLX	6.85 ± 0.01	6.83 ± 0.01	6.86 ± 0.01

ตารางที่ 29 แสดงค่าความเป็นกรดค่างของอิมัลชันที่เตรียมจาก PGO ปริมาณต่างๆ

สูตร	ปริมาณ PGO (% โดยน้ำหนัก)	pH		
		หลังการเตรียม 24 ชั่วโมง	หลังการเตรียม 1 สัปดาห์	หลังเก็บที่สภาวะเร่ง
C1	1.0	7.04 ± 0.07	6.97 ± 0.05	6.86 ± 0.01
C2	2.5	6.67 ± 0.04	6.55 ± 0.02	6.31 ± 0.02
C3	5.0	6.37 ± 0.01	6.26 ± 0.02	6.02 ± 0.01
C4	7.5	5.68 ± 0.02	5.63 ± 0.01	5.48 ± 0.01
C5	10.0	5.65 ± 0.02	5.63 ± 0.01	5.49 ± 0.01

ตารางที่ 30 แสดงค่าความเป็นกรดค่างของอิมัลชันที่เตรียมจากน้ำมันหอมหายชันนิดต่างๆ

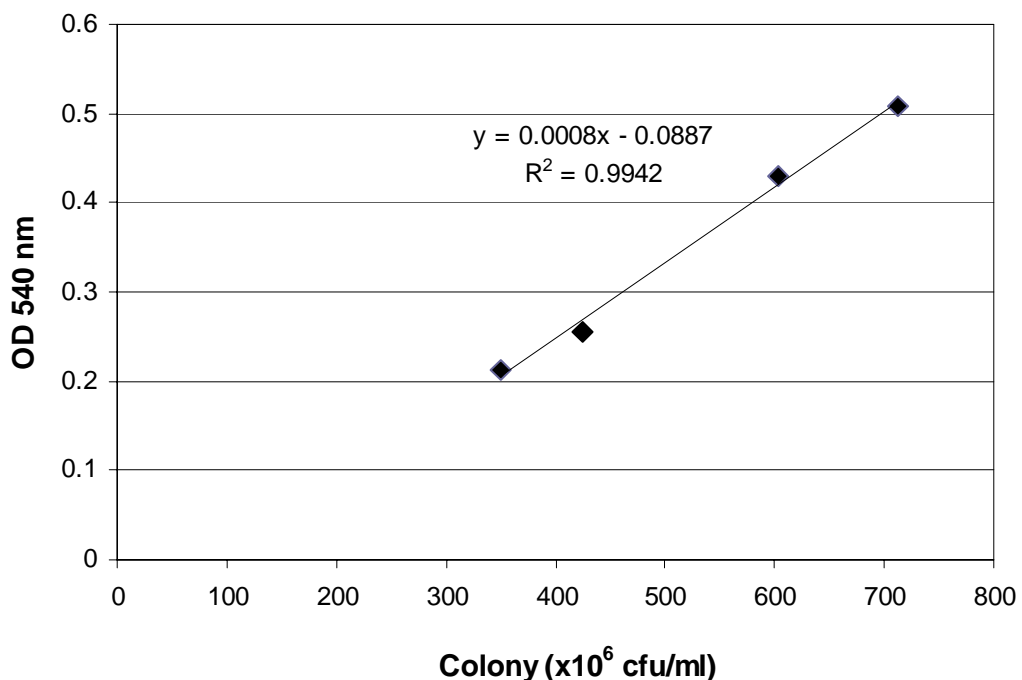
สูตร	ชนิดของ น้ำมันหอมหาย	pH		
		หลังการเตรียม 24 ชั่วโมง	หลังการเตรียม 1 สัปดาห์	หลังเก็บที่ สภาวะเร่ง
V1	Clove oil	5.36 ± 0.02	5.26 ± 0.01	5.00 ± 0.01
V2	Spearmint oil	4.20 ± 0.01	4.13 ± 0.00	3.94 ± 0.01
V3	Peppermint oil	3.98 ± 0.02	3.85 ± 0.01	3.63 ± 0.01
V4	Optamint oil	5.48 ± 0.01	5.37 ± 0.01	4.97 ± 0.01
V5	Eucalyptus oil	7.55 ± 0.08	7.29 ± 0.04	6.79 ± 0.02
V6	Tea tree oil	4.48 ± 0.01	4.39 ± 0.01	4.21 ± 0.00

ตารางที่ 31 แสดงค่าความเป็นกรดค่างของอิมัลชันที่เตรียมจากน้ำมันถั่วเหลืองร่วมกับน้ำมัน  
เบปเปอร์มินต์ในสัดส่วนต่างๆ

สูตร	สัดส่วนระหว่างน้ำมันพืช ต่อน้ำมันเบปเปอร์มินต์	pH		
		หลังการเตรียม 24 ชั่วโมง	หลังการเตรียม 1 สัปดาห์	หลังเก็บที่ สภาวะเร่ง
P1	75 : 25	4.47 ± 0.01	4.49 ± 0.01	4.21 ± 0.01
P2	50 : 50	4.29 ± 0.01	4.25 ± 0.01	4.10 ± 0.01
P3	40 : 60	4.10 ± 0.01	4.13 ± 0.01	3.84 ± 0.01
P4	30 : 70	4.05 ± 0.01	4.10 ± 0.01	3.83 ± 0.01
P5	20 : 80	3.99 ± 0.01	4.02 ± 0.01	3.77 ± 0.00
P6	10 : 90	3.93 ± 0.01	3.97 ± 0.01	3.70 ± 0.00

ตารางที่ 32 แสดงค่าความเป็นกรดค่างของอิมัลชันที่เตรียมจากน้ำมันถั่วเหลืองร่วมกับน้ำมันหอมระ夷ชนิดต่างๆ

สูตร	ชนิดของน้ำมันหอมระ夷	ขนาดหยอดน้ำมัน ( $\mu\text{m}$ )		
		หลังการเตรียม 24 ชั่วโมง	หลังการเตรียม 1 สัปดาห์	หลังเก็บที่สภาวะเร่ง
F1	Clove oil	$6.30 \pm 0.02$	$6.04 \pm 0.01$	$5.61 \pm 0.01$
F2	Spearmint oil	$4.61 \pm 0.01$	$4.55 \pm 0.01$	$4.47 \pm 0.01$
F3	Peppermint oil	$4.29 \pm 0.01$	$4.25 \pm 0.01$	$4.10 \pm 0.01$
F4	Optamint oil	$5.97 \pm 0.01$	$5.86 \pm 0.01$	$5.58 \pm 0.02$
F5	Eucalyptus oil	$7.04 \pm 0.01$	$6.91 \pm 0.01$	$6.64 \pm 0.01$
F6	Tea tree oil	$5.05 \pm 0.01$	$4.86 \pm 0.01$	$4.75 \pm 0.01$



ภาพที่ 71 กราฟมาตรฐานเชื้อ *Streptococcus mutans* 104B

ตารางที่ 33 แสดงความสามารถในการยับยั้งเชื้อ *S. mutans* ของอิมลชันที่ประกอบด้วยน้ำมันหอมระ夷ชนิดต่างกัน (1x)

สูตร	น้ำมันหอมระ夷	จำนวน colony			% inhibition				
		n = 1	n = 2	n = 3	n = 1	n = 2	n = 3	Mean	SD
V1	<i>S. mutans</i>	145	142	207					
	Clove oil	0	0	0	100.00	100.00	100.00	100.00	0.00
	Spearmint oil	0	0	0	100.00	100.00	100.00	100.00	0.00
	Peppermint oil	0	0	0	100.00	100.00	100.00	100.00	0.00
	Optamint oil	0	0	0	100.00	100.00	100.00	100.00	0.00
	Eucalyptus oil	0	0	0	100.00	100.00	100.00	100.00	0.00
	Tea tree oil	0	0	0	100.00	100.00	100.00	100.00	0.00
	Positive control (CPC 0.2%)	0	0	0	100.00	100.00	100.00	100.00	0.00
	Negative control (C3 : Soybean oil)	86	92	94	40.69	35.21	54.59	43.50	9.99

ตารางที่ 34 แสดงความสามารถในการยับยั้งเชื้อ *S. mutans* ของอิมลชันที่ประกอบด้วยน้ำมันหอมระ夷ชนิดต่างกัน (10x)

สูตร	น้ำมันหอมระ夷	จำนวน colony			% inhibition				
		n = 1	n = 2	n = 3	n = 1	n = 2	n = 3	Mean	SD
V1	<i>S. mutans</i>	145	142	207					
	Clove oil	0	0	0	100.00	100.00	100.00	100.00	0.00
	Spearmint oil	28	14	22	80.69	90.14	89.37	86.73	5.25
	Peppermint oil	0	0	0	100.00	100.00	100.00	100.00	0.00
	Optamint oil	0	0	0	100.00	100.00	100.00	100.00	0.00
	Eucalyptus oil	39	42	50	73.10	70.42	75.85	73.12	2.71
	Tea tree oil	27	27	26	81.38	80.99	87.44	83.27	3.62
	Positive control (CPC 0.2%)	0	0	0	100.00	100.00	100.00	100.00	0.00
	Negative control (C3 : Soybean oil)	120	117	110	17.24	17.61	46.86	27.24	17.00

ตารางที่ 35 แสดงความสามารถในการยับยั้งเชื้อ *S. mutans* ของอิมลชันที่ประกอบด้วยน้ำมันหอมระ夷ชนิดต่างกัน (100x)

สูตร	น้ำมันหอมระ夷	จำนวน colony			% inhibition				
		n = 1	n = 2	n = 3	n = 1	n = 2	n = 3	Mean	SD
	<i>S. mutans</i>	145	142	207					
V1	Clove oil	85	74	83	41.38	47.89	59.90	49.72	9.40
V2	Spearmint oil	119	97	86	17.93	31.69	58.45	36.03	20.61
V3	Peppermint oil	115	97	112	20.69	31.69	45.89	32.76	12.64
V4	Optamint oil	114	112	109	21.38	21.13	47.34	29.95	15.06
V5	Eucalyptus oil	120	118	115	17.24	16.90	44.44	26.20	15.80
V6	Tea tree oil	135	105	124	6.90	26.06	40.10	24.35	16.67
	Positive control (CPC 0.2%)	0	0	0	100.00	100.00	100.00	100.00	0.00
	Negative control (C3 : Soybean oil)	136	145	126	6.21	0.00	39.13	15.11	21.03

ตารางที่ 36 แสดงความสามารถในการยับยั้งเชื้อ *S. mutans* ของอิมลชันที่เตรียมได้จากน้ำมันถั่วเหลืองร่วมกับน้ำมันหอมระ夷ชนิดต่างๆ (1x)

สูตร	น้ำมันหอมระ夷	จำนวน colony			% inhibition				
		n = 1	n = 2	n = 3	n = 1	n = 2	n = 3	Mean	SD
	<i>S. mutans</i>	114	134	127					
V1	Clove oil	0	0	0	100.00	100.00	100.00	100.00	0.00
V2	Spearmint oil	0	0	1	100.00	100.00	99.21	99.74	0.45
V3	Peppermint oil	9	3	6	92.11	97.76	95.28	95.05	2.83
V4	Optamint oil	19	10	17	83.33	92.54	86.61	87.49	4.66
V5	Eucalyptus oil	88	74	78	22.81	44.78	38.58	35.39	11.33
V6	Tea tree oil	0	0	0	100.00	100.00	100.00	100.00	0.00
	Positive control (CPC 0.2%)	0	0	0	100.00	100.00	100.00	100.00	0.00
	Negative control (C3 : Soybean oil)	86	92	94	40.69	35.21	54.59	43.50	9.99

ตารางที่ 37 แสดงความสามารถในการยับยั้งเชื้อ *S. mutans* ของอิมัลชันที่เตรียมได้จากน้ำมันดิจิทั่วเหลืองร่วมกับน้ำมันหอมระ夷ชนิดต่างๆ (10x)

สูตร	น้ำมันหอมระ夷	จำนวน colony			% inhibition				
		n = 1	n = 2	n = 3	n = 1	n = 2	n = 3	Mean	SD
	<i>S. mutans</i>	114	134	127					
V1	Clove oil	83	119	98	27.19	11.19	22.83	20.41	8.27
V2	Spearmint oil	93	97	86	18.42	27.61	32.28	26.11	7.05
V3	Peppermint oil	85	83	74	25.44	38.06	41.73	35.08	8.55
V4	Optamint oil	88	92	85	22.81	31.34	33.07	29.07	5.50
V5	Eucalyptus oil	97	80	86	14.91	40.30	32.28	29.16	12.98
V6	Tea tree oil	85	100	97	25.44	25.37	23.62	24.81	1.03
	Positive control (CPC 0.2%)	0	0	0	100.00	100.00	100.00	100.00	0.00
	Negative control (C3 : Soybean oil)	120	117	110	17.24	17.61	46.86	27.24	17.00

ตารางที่ 38 แสดงความสามารถในการยับยั้งเชื้อ *S. mutans* ของอิมัลชันที่เตรียมได้จากน้ำมันดิจิทั่วเหลืองร่วมกับน้ำมันหอมระ夷ชนิดต่างๆ (100x)

สูตร	น้ำมันหอมระ夷	จำนวน colony			% inhibition				
		n = 1	n = 2	n = 3	n = 1	n = 2	n = 3	Mean	SD
	<i>S. mutans</i>	114	134	127					
V1	Clove oil	124	128	119	0.00	4.48	6.30	3.59	3.24
V2	Spearmint oil	102	135	110	10.53	0.00	13.39	7.97	7.05
V3	Peppermint oil	93	85	98	18.42	36.57	22.83	25.94	9.46
V4	Optamint oil	98	106	100	14.04	20.90	21.26	18.73	4.07
V5	Eucalyptus oil	115	100	108	-0.88	25.37	14.96	13.15	13.22
V6	Tea tree oil	106	108	112	7.02	19.40	11.81	12.74	6.25
	Positive control (CPC 0.2%)	0	0	0	100.00	100.00	100.00	100.00	0.00
	Negative control (C3 : Soybean oil)	136	145	126	6.21	0.00	39.13	15.11	21.03

### ประวัติผู้วิจัย

ชื่อ	นางสาวศิริกาญจน์ เพ็งอัน
ที่อยู่	109 ถนนสنانมจันทร์ ตำบลสนานมจันทร์ อำเภอเมือง จังหวัดนครปฐม 73000
ประวัติการศึกษา	
พ.ศ. 2549	สำเร็จการศึกษาปริญญาวิทยาศาสตรบัณฑิต สาขาวิชาเทคโนโลยีชีวภาพ จากมหาวิทยาลัยศิลปากร พระราชวังสานมจันทร์ นครปฐม
พ.ศ. 2551	ศึกษาต่อระดับปริญญามหาบัณฑิต สาขาวิชาวิทยาการทางเภสัชศาสตร์ บัณฑิตวิทยาลัย มหาวิทยาลัยศิลปากร